

CO9 elettronica

n. 9

OM

CB

Hi-Fi

edizioni
C
D

Publicazione mensile
sped. in abb. post. g. III
1 settembre 1975

L. 1.000

ZODIAC

Garanzia e Assistenza:  IRTEL - Modena



*Esclusiva per l'Italia: MELCHIONI ELETTRONICA - Divisione RADIOTELEFONI - Via Colletta, 39 - 20135 Milano

ANTENNE ZODIAC®

Garanzia e Assistenza: SIRTEL - Modena



**PER VALORIZZARE
ED AUMENTARE
LA POTENZA
DEL VOSTRO
TRASMETTITORE**

Antenne di qualità **ZODIAC** per tutte le bande
di frequenza di uso mobile e fisso
Richiedete catalogo



41100 MODENA - Piazza Manzoni, 4 - Tel. 059/304164-304165



Ricetrasmittitore UHF-FM Standard-Nov.El. SR-C430

CARATTERISTICHE

Frequenza 430-440Mhz. - N. Canali 12 + 1 canale
memoria (di cui 3 quarzati) Alimentazione 13,8 V. C.C.
Consumo - Ricezione 0,6 A.
- Standby 0,2 A. - Trasmissione 2,5 A.

TRASMETTITORE

Potenza uscita 10 Watt. - Modulazione FM. (Dev.
± 5 KHz) - Fattore moltiplicazione dei quarzi 24
volte - Spurie e armoniche Almeno 50 dB
sotto la portante.

RICEVITORE

Sensibilità 0,4 µV. a 20 dB. segnale disturbo.
Sensibilità dello squelch 0,2 µV.
Selettività Attenuazione del canale adiacente -
di 75 dB.
Circuito Supereterodina a doppia conversione.



Ricetrasmittitore UHF-FM Standard-Nov.El. SR-C432

CARATTERISTICHE

Frequenza 430-440 Mhz. -
N. Canali 6 (di cui 2 quarzati) Alimentazione 12,5 V. C.C.
Consumo in Ricezione 100 mA. - in Standby 11 mA. -
in Trasmissione 800 mA.

TRASMETTITORE

Potenza uscita 2,2 Watt - Modulazione FM. (Dev.
± 12 KHz.) Fattore moltiplicazione dei quarzi 24 volte.
Spurie e armoniche Almeno 50 dB sotto la portante.

RICEVITORE

Sensibilità 0,4 µV a 20 dB. segnale disturbo.
Sensibilità dello squelch 0,2 µV.
Selettività Attenuazione del canale adiacente - di 75 dB.
Circuito Supereterodina a doppia conversione.



NOVEL S.R.L.

Via Cuneo, 3 - 20149 Milano
Telefono 433817 - 4981022

L.E.M.

via Digione, 3 - 20144 MILANO
tel. (02) 468209 - 4984866

**ECCEZIONALE OFFERTA
MATERIALE NUOVO**

100 Condensatori PIN UP

200 Resistenze 1/4-1/2-1-2-3-5-7 W

3 Potenzimetri normali

3 Potenzimetri con interruttore

3 Potenzimetri doppi

3 Potenzimetri a filo

**10 Condensatori elettrolitici
9-12-25-50 V.**

5 Autodiodi 12A - 100 V.

5 Diodi 6A - 100 V.

5 Diodi 40A - 100 V.

5 Ponti B40/C2500

Tutto questo materiale garantito
all'eccezionale prezzo di

L. 5.000

+ spese spedizione

indice degli inserzionisti

di questo numero

pagina	nominativo
1279	ACCU ITALIA
1388-1389-1390-1391	A.C.E.I.
1255	ALPHA ELETTRONICA
1367-1368-1369	AMTRON
1370-1371-1372	AMTRON
1272	AUTELETT
1268-1269	AZ
1396	BBE
1273	CALETTI
1264-1265-1392-1393	CAMPIONE ELECTRONICA ELCA SAS
1253	CASSINELLI
1260	CENTRO ELETTRONICO BISCOSSI
1366	C.E.P.
1256-1277	C.T.E.
1278	DERICA ELETTRONICA
1407	DI BERNARDO
1398	DIGITRONIC
1397	ELCO ELETTRONICA
1297	ELECTROMECC
1394	ELETTROMECCANICA RICCI
1402	ELETTRONICA CORNO
1391	ELETTROACUSTICA VENETA
1385	ELETTRO NORD ITALIANA
1406	ELETT. SHOP CENTER
1259	EL.RE
1387	ELT ELETTRONICA
1263	EMC
1274	ESCO
1399-1400-1401	FANTINI
1374	FOSCHINI
4 ^a copertina	G.B.C.
1275-1403	G.B.C.
1258	HIGH FIDELITY
1378	IST
1377	KIT COLOR
1375	KIT COMPEL
1380	LARIR
1257	LEA
1250	LEM
1404-1405	MAESTRI
1266-1267-1402	MARCUCCI
1395	MECANORMA
1386	M.E.I.
1271	MELCHIONI
1 ^a copertina	MELCHIONI
1379	MOELLER
1382-1383	MONTAGNANI
1307	M.R.M.
3 ^a copertina	NOV.EL
1249	NOV.EL
1276	PERRY ELETTRONICA
1262	P.G. ELECTRONICS
1407	PHILIPS
1384	QUECK
1252	RADIOSURPLUS ELETTRONICA
1381	RC ELETTRONICA
1380	REAL KIT
1376	SHF ELTRONIK
2 ^a copertina	SIRTEL
1408	VARIAN
1270	VECCHIETTI
1280	WILBIKIT
1254	ZETA ELETTRONICA
1261	ZETAGI

cq elettronica

settembre 1975

sommario

- 1250 **indice degli Inserzionisti**
- 1281 **economia e precisione: un marker allo 0,004%** (Tonazzi)
- 1288 **Arrivano... gli EBS e la Ambifonia** (Pallottino)
- 1290 **Il punto sui calcolatori tascabili** (Zagarese e Martini)
- 1298 **Oscillatore a rilassamento ultrastabile** (Panzieri)
- 1299 **Alimentatori & C. a go-go**
Alimentatore stabilizzato a parzializzazione (D'Alimonte e Borelli)
L'alimentatore che non dissipa (Zucca)
- 1308 **Tre schemini "pazzi"** (D'Altan)
- 1318 **Sweepare è facile** (Corinaldesi)
- 1324 **operazione ascolto** (Zella)
realizzazione di un ricevitore a doppia conversione
- 1332 **Effemeridi** (Medri)
- 1333 **Un vecchio amico alla ribalta del surplus:**
AN/TRC - 8 - ricevitore R48 (Bianchi)
- 1340 **musica elettronica: un tipico, versatile sintetizzatore** (Marincola)
- 1345 **Voltautona x Elionauta = VOLTAGALVANAUTA®** (Urbani con Lascari e Niresi)
- 1350 **Crossover elettronico a due vie** (Borromei)
- 1360 **L'asservimento di una porta munita di motore elettrico** (Giardina)
- 1367 **UK808/S - Analizzatore per tiristori** (note Amtron)
- 1373 **offerte e richieste**

(disegni di M. Montanari e G. Magagnoli)

EDITORE edizioni CD
DIRETTORE RESPONSABILE Giorgio Toti
REDAZIONE - AMMINISTRAZIONE
ABBONAMENTI - PUBBLICITA'
40121 Bologna, via C. Boldrini, 22 - ☎ 55 27 06 - 55 12 02
Registrazione Tribunale di Bologna, n. 3330 del 4-3-68
Diritti di riproduzione e traduzione
riservati a termine di legge.
STAMPA
Tipo-Lito Lame - 40131 Bologna - via Zanardi, 506/B
Spedizione in abbonamento postale - gruppo III
Pubblicità inferiore al 70%
DISTRIBUZIONE PER L'ITALIA
SODIP - 20125 Milano - via Zuretti, 25 - ☎ 69.67
00197 Roma - via Serpieri, 11/5 - ☎ 87.49.37

DISTRIBUZIONE PER L'ESTERO
Messagerie Internazionali - via M. Gonzaga, 4
20123 Milano ☎ 872.971 - 872.973
ABBONAMENTI: (12 fascicoli)
ITALIA L. 10.000 c/ post. 8/29054 edizioni CD Bologna
Arretrati L. 800
ESTERO L. 11.000
Arretrati L. 800
Mandat de Poste International } edizioni CD
Postenweisung für das Ausland } 40121 Bologna
payable à / zahlbar an } via Boldrini, 22
Italia
Cambio Indirizzo L. 200 in francobolli
Manoscritti, disegni, fotografie, anche se non
pubblicati, non si restituiscono.

Mostra mercato di

RADIOSURPLUS ELETTRONICA

via Jussi 120 - c.a.p. 40068 S. Lazzaro di Savena (BO)

tel. 46.22.01

Migliaia di emittenti possono essere captate in AM-CW-SSB con i più famosi ricevitori americani il

BC 312 e BC 348

Perfettamente funzionanti e con schemi

Nuovo catalogo materiale disponibile L. 500

OFFERTA SPECIALE:

TX Collins ART-13 da 2÷18 Mc con sintonia automatica a L. 50.000 completo di schemi.

TX Collins GRC19 da 1,5÷20 Mc con sintonia automatica digitale completo di schemi.

NOVITA' DEL MESE:

Trasformatori con entrata da 95 a 250 Vac uscita 115 Vca/cc stabilizzati.

Relay ceramici 12 Vcc.

Ricevitori AN/GRR-5, da 1500 Kc a 18 Mc in 4 gamme, calibratore incorporato con battimento ogni 200 Kc - AM - CW - SSB. Alimentazione 6-12-24 Vcc e 115 Vac con schemi.

VISITATECI - INTERPELLATECI

orario al pubblico dalle 9 alle 12,30
dalle 15 alle 19
sabato compreso

E' al servizio del pubblico:
vasto parcheggio.

NovoTest

2

NUOVA SERIE TECNICAMENTE MIGLIORATO PRESTAZIONI MAGGIORATE PREZZO INVARIATO

BREVETTATO

Classe 1,5 c.c. 2,5 c.a.

FUSIBILE DI PROTEZIONE

GALVANOMETRO A NUCLEO MAGNETICO
21 PORTATE IN PIU' DEL MOD. TS 140

Mod. TS 141 20.000 ohm/V in c.c. e 4.000 ohm/V in c.a.

10 CAMPI DI MISURA 71 PORTATE

VOLT C.C. 15 portate: 100 mV - 200 mV - 1 V - 2 V - 3 V - 6 V - 10 V - 20 V - 30 V - 60 V - 100 V - 200 V - 300 V - 600 V - 1000 V

VOLT C.A. 11 portate: 1,5 V - 15 V - 30 V - 50 V - 100 V - 150 V - 300 V - 500 V - 1000 V - 1500 V - 2500 V

AMP. C.C. 12 portate: 50 µA - 100 µA - 0,5 mA - 1 mA - 5 mA - 10 mA - 50 mA - 100 mA - 500 mA - 1 A - 5 A - 10 A

AMP. C.A. 4 portate: 250 µA - 50 mA - 500 mA - 5 A

OHMS 6 portate: Ω x 0,1 - Ω x 1 - Ω x 10 - Ω x 100 - Ω x 1 K - Ω x 10 K

REATTANZA 1 portata: da 0 a 10 MΩ

FREQUENZA 1 portata: da 0 a 50 Hz - da 0 a 500 Hz (condens. ester.)

VOLT USCITA 11 portate: 1,5 V (condens. ester.) - 15 V - 30 V - 50 V - 100 V - 150 V - 300 V - 500 V - 1000 V - 1500 V - 2500 V

DECIBEL 6 portate: da -10 dB a +70 dB

CAPACITA' 4 portate: da 0 a 0,5 µF (aliment. rete) da 0 a 50 µF (da 0 a 500 µF (aliment. batteria)

Mod. TS 161 40.000 ohm/V in c.c. e 4.000 ohm/V in c.a.

10 CAMPI DI MISURA 69 PORTATE

VOLT C.C. 15 portate: 150 mV - 300 mV - 1 V - 1,5 V - 2 V - 3 V - 5 V - 10 V - 30 V - 50 V - 60 V - 100 V - 250 V - 500 V - 1000 V

VOLT C.A. 10 portate: 1,5 V - 15 V - 30 V - 50 V - 100 V - 300 V - 500 V - 600 V - 1000 V - 2500 V

AMP. C.C. 13 portate: 25 µA - 50 µA - 100 µA - 0,5 mA - 1 mA - 5 mA - 10 mA - 50 mA - 100 mA - 500 mA - 1 A - 5 A - 10 A

AMP. C.A. 4 portate: 250 µA - 50 mA - 500 mA - 5 A

OHMS 6 portate: Ω x 0,1 - Ω x 1 - Ω x 10 - Ω x 100 - Ω x 1 K - Ω x 10 K

REATTANZA 1 portata: da 0 a 10 MΩ

FREQUENZA 1 portata: da 0 a 50 Hz - da 0 a 500 Hz (condens. ester.)

VOLT USCITA 10 portate: 1,5 V (condens. ester.) - 15 V - 30 V - 50 V - 100 V - 300 V - 500 V - 600 V - 1000 V - 2500 V

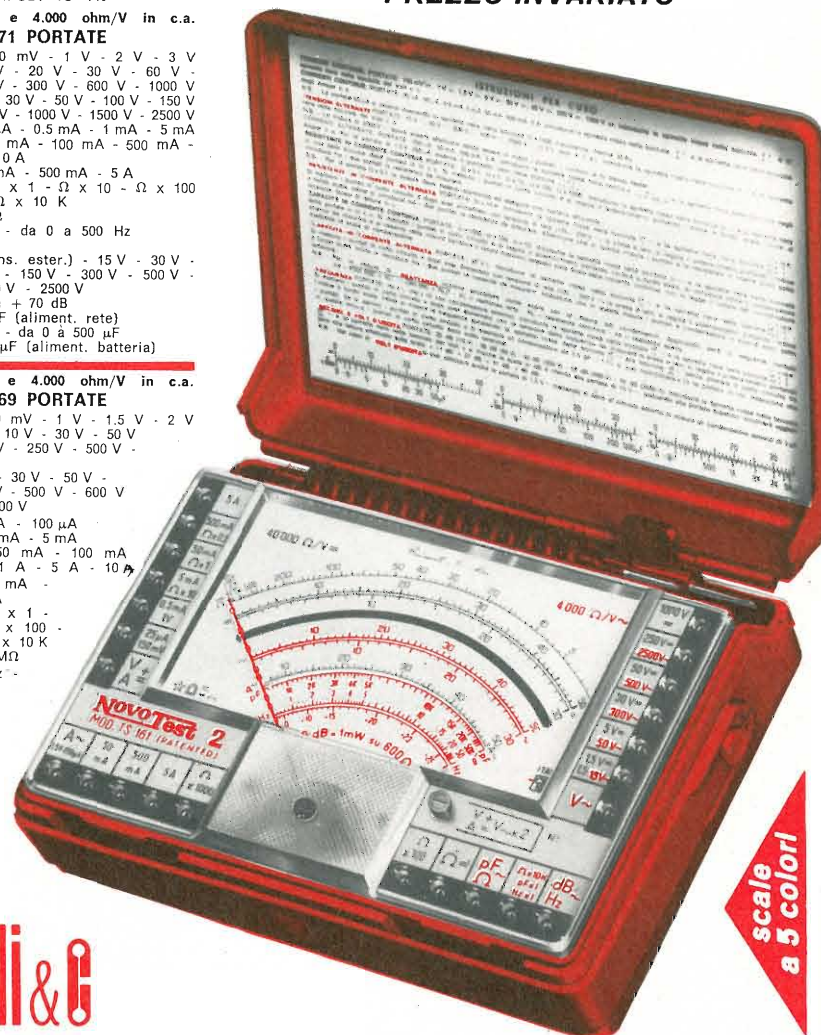
DECIBEL 5 portate: da -10 dB a +70 dB

CAPACITA' 4 portate: da 0 a 0,5 µF (aliment. rete) da 0 a 50 µF (da 0 a 500 µF (alim. batteria)

MISURE DI INGOMBRO

mm. 150 x 110 x 46

sviluppo scala mm 115 peso gr. 600



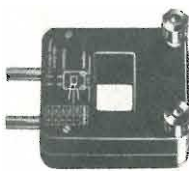
scale a 5 colori

ITALY **Cassinelli & C.**

20151 Milano ■ Via Gradisca, 4 ■ Telefoni 30.52.41 / 30.52.47 / 30.80.783

una grande scala in un piccolo tester

ACCESSORI FORNITI A RICHIESTA



RIDUTTORE PER CORRENTE ALTERNATA

Mod. TA6/N portata 25 A - 50 A - 100 A - 200 A



DERIVATORE PER CORRENTE CONTINUA Mod. SH/150 portata 150 A Mod. SH/30 portata 30 A



PUNTALE ALTA TENSIONE

Mod. VC5 portata 25.000 Vc.c.



CELLULA FOTOELETTRICA

Mod. L1/N campo di misura da 0 a 20.000 LUX



TERMOMETRO A CONTATTO

Mod. T1/N campo di misura da -25° + 250°

DEPOSITI IN ITALIA:

ANCONA - Carlo Giongo Via Milano, 13

BARI - Biagio Grimaldi Via Buccari, 13

BOLOGNA - P.I. Sibani Attilio Via Zanardi, 2/10

CATANIA - Elettro Sicula Via Cadamosto, 18

FIRENZE - Dr. Alberto Tiranti Via Frà Bartolommeo, 38

GENOVA - P.I. Conte Luigi Via P. Salvago, 18

TORINO - Rodolfo e Dr. Bruno Pomè C.so D. degli Abruzzi, 58 bis

PADOVA - Pierluigi Righetti Via Lazzara, 8

PESCARA - GE - COM Via Arrone, 5

ROMA - Dr. Carlo Riccardi Via Amatrice, 15

IN VENDITA PRESSO TUTTI I MAGAZZINI DI MATERIALE ELETTRICO E RADIO TV

ORION 1001

elegante e moderno amplificatore stereo professionale 30+30 WRMS

Ideale per quegli impianti dai quali si desidera un buon ascolto di vera alta fedeltà sia per la musica moderna che classica.

Totalmente realizzato con semiconduttori al silicio nella parte di potenza, protetto contro il sovraccarico e il corto circuito, nella parte preamplificatrice adotta una tecnologia molto avanzata: i circuiti ibridi a film spesso interamente progettati e realizzati nei nostri laboratori.

Mobile in legno e metallo, pannello satinato argento, V-U meter per il controllo della potenza di uscita.



Potenza 30+30 W RMS
 Uscita altoparlanti 8 Ω
 Uscita cuffia 8 Ω
 Ingressi phono magn. 3 mV
 Ingressi aux 100 mV
 Ingressi tuner 250 mV
 Tape monitor reg. 150 mV/100K
 Tape monitor ripr. 250 mV/100K
 Controllo T. bassi ± 18 dB a 50 Hz
 Controllo T. alti ± 18 dB a 10 kHz
 Banda passante 20÷40.000 Hz (-1,5 dB)
 Distorsione armonica < 0,2 %
 Distorsione d'interm. < 0,3 %
 Rapp. segn./distur. > 65 dB
 Ingresso b. livello > 75 dB
 Rapp. segn./disturb. ingresso a. livello > 75 dB
 Dimensione 420 x 290 x 120
 Alimentazione 220 V c.a.

Speakers system:
 in posiz. off funziona la cuffia (phones)
 in posiz. A solo 2 box principali
 in posiz. B solo 2 box sussidiari in un'altra stanza

ORION 1001 montato e collaudato L. 106.000
 ORION 1001 KIT di montaggio con unità premontate L. 87.000

Per chi volesse acquistare singolarmente tutti i pezzi che costituiscono il mod. ORION 1001 sono disponibili:

MPS	L. 21.500	Mobile	ORION 1001	L. 7.000
AP30S	L. 28.500	Pannello	ORION 1001	L. 2.500
Telaio ORION 1001	L. 6.500	KIT minuterie	ORION 1001	L. 9.600
TR80 220/36/12+12	L. 6.200	V-U meter		L. 5.200

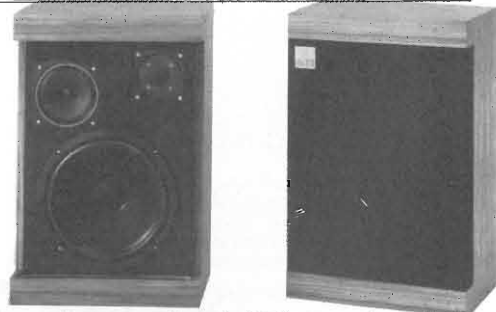
per un perfetto abbinamento DS33

35÷40 W sistema tre vie a sospens. pneum.

altoparlanti:

- 1 Woofer da 26 cm
- 1 Midrange da 12 cm
- 1 Tweeter a cupola da 2 cm

risposta in frequenza 30÷20.000 Hz
 frequenza di crossover 1200 Hz; 6000 Hz
 impedenza 8 Ω (4 Ω a richiesta)
 dimensioni cm 35 x 55 x 30



DS33 montato e collaudato L. 63.000 cad.
 DS33 KIT di montaggio L. 53.500 cad.

Per chi volesse acquistare singolarmente tutti i pezzi che costituiscono il mod. DS33 sono disponibili:

Mobile	L. 17.000	Filtro 3-30/8	L. 10.500	MR127/8	L. 5.500
Tela	L. 2.000	W250/8	L. 12.500	Dom-Tw/8	L. 6.000

PREZZI NETTI imposti compresi di I.V.A. - Garanzia 1 anno su tutti i modelli tranne i kit di montaggio. Spedizione a mezzo pacco postale o corriere a carico del destinatario. Per gli ordini rivolgersi ai concessionari più vicini o direttamente alla sede.

CONCESSIONARI

TELSTAR	- 10128 TORINO	- via Gioberti, 37/D
L'ELETTRONICA	- 16121 GENOVA	- via Brig. Liguria, 78-80/r
ELMI	- 20128 MILANO	- via H. Balzac, 19
A.C.M.	- 34138 TRIESTE	- via Settefontane, 52
AGLIETTI & SIENI	- 50129 FIRENZE	- via S. Lavagnini, 54
DEL GATTO	- 00177 ROMA	- via Casilina, 514-516
Elett. BENSO	- 12100 CUNE0	- via Negrelli, 30
ADES	- 36100 VICENZA	- v.le Margherita, 21
Elett. ARTIG.	- 60100 ANCONA	- via XXIX Settembre 8/b-c
Bottega della Musica	- 29100 PIACENZA	- via Farnesiana 10/b

ZETA elettronica

via L. Lotto, 1 - tel. (035) 222258
 24100 BERGAMO

parma, via alessandria, 7 tel. 0521-34758

alpha+ electronics



AL 720

TENSIONE D'INGRESSO: 220 Vc.a. - 50 Hz.
 TENSIONE D'USCITA: 12,6 Vc.c.
 CORRENTE: 2A max.
 STABILITÀ: migliore del 2% in variazione di rete del 10% o del carico da 0 a 2A
 PROTEZIONE: elettronica a limitatore di corrente
 RIPPLE: 1 mV con carico 2A

AL 721

TENSIONE D'INGRESSO: 220 Vc.a. - 50 Hz.
 TENSIONE D'USCITA: regolaz. continua da 5 a 15 Vc.c.
 CORRENTE: 2,5A max.
 STABILITÀ: migliore del 2% in variazione di rete del 10% o del carico da 0 a 2,5A
 PROTEZIONE: elettronica a limitatore di corrente
 RIPPLE: 1 mV con carico 2A



AL 721-S

TENSIONE D'INGRESSO: 220 Vc.a. - 50 Hz.
 TENSIONE D'USCITA: regolaz. continua da 5 a 15 Vc.c.
 CORRENTE: 2,5A max.
 STABILITÀ: migliore del 2% in variazione di rete del 10% o del carico da 0 a 2,5A
 PROTEZIONE: elettronica a limitatore di corrente
 RIPPLE: 1 mV con carico 2A



AL 722

TENSIONE D'INGRESSO: 220 Vc.a. - 50 Hz.
 TENSIONE D'USCITA: regolazione continua da 8 a 30 Vc.c.
 CORRENTE: 5 A a 15 V. max. e 2,5 A a 30 V. max.
 STABILITÀ: migliore del 2% in variazione di rete del 10% o del carico da 0 al massimo
 PROTEZIONE: elettronica a limitatore di corrente
 RIPPLE: 2 mV a pieno carico



AL 722-S

TENSIONE D'INGRESSO: 220 Vc.a. - 50 Hz.
 TENSIONE D'USCITA: regolazione continua da 8 a 30 Vc.c.
 CORRENTE: 5 A a 15 V. max. e 2,5 A a 30 V. max.
 STABILITÀ: migliore del 2% in variazione di rete del 10% o del carico da 0 al max.
 PROTEZIONE: elettronica a limitatore di corrente
 RIPPLE: 2 mV a pieno carico

PUNTI DI VENDITA

BOLOGNA	S.A.R.R.E. s.n.c. Bacchilega G. - via Ferrarese, 110
CATANZARO	ELETTRONICA TERESA - via XX Settembre
CESENA	CASA DELL'AUTORADIO - v.le Marconi, 243
COSENZA	FRANCO ANGOTTI - via Alberto Serra, 19
FIRENZE	S. GANZAROLI & FIGLI - via Giovanni Lanza, 45 b
GENOVA	ROSSI OSVALDO - via Gramsci, 149 r
PALERMO	TELEAUDIO FAULISI - via N. Garzilli, 19
PALERMO	TELEAUDIO FAULISI - via G. Galilei, 34
PIACENZA	E.R.C. - v.le Sant'Ambrogio, 35
ROMA	BISCOSSI - via della Giuliana, 107
ROMA	RADIO ARGENTINA - via Torre Argentina, 47
SALERNO	JPPOLITO FRANCESCO - piazza Amendola, 9
SIRACUSA	MOSCUSA FRANCESCO - Corso Umberto I, 46
TARANTO	PACARD - via Pupino, 19
TERNI	TELERADIO CENTRALE - via S. Antonio, 46
TORINO	C.A.R.T.E.R. - via Savonarola, 6
VERCELLI	RACCA GIANNI - Corso Adda, 7

OFFERTA ESTATE SCORTE LIMITATE

CALCOLATRICE SCIENTIFICA BROTHER

Completa di radice quadrata,
circuito π , percentuale, costante
automatica.
Quattro operazioni con DISPLAY da
8 numeri di colore verde.
Garanzia mesi 3

L. 32.500



CALCOLATRICE TABULEX

Quattro operazioni
con costante
DISPLAY da 6 numeri
rossi.
Tascabile.

L. 21.500



CAR STEREO 8 TEMPEST

Potenza 4 + 4 W

L. 25.000



MODELLO LEVICO

Riproduttore amplificato di musicassette
Potenza di uscita 7W per altoparlante
7 semiconduttori al silicio + 2 circuiti integrati
Dispositivo di protezione antirottura del nastro, controllo
elettronico velocità, stop automatico a fine nastro
Avvolgimento rapido del nastro
Presa per due altoparlanti
Alimentazione 12 Vcc negativo a massa
Dimensioni: 177x50x115

L. 28.900

BINOCOLI PRISMATICI CON CUSTODIA GIAPPONESI

12x50
20x50

L. 26.000
L. 30.000



LANTERNA FLUORESCENTE

Per campeggio
alimentazione 8 batterie
torcia, tubo da 6W



L. 11.000

CUFFIA STEREO REGOLABILE

Risposta frequenza
50-18.000 Hz Hp 5000



L. 8.900

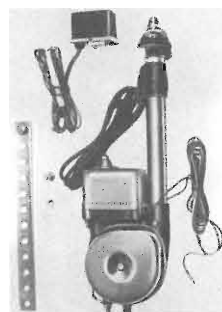
COPPIA ALTOPARLANTI STEREO

8 + 8 W da auto



la coppia L. 5.000

ANTENNA ELETTRICA con relè da auto



L. 15.000

C. T. E.

International s.n.c.

via Valli, 16-42011 BAGNOLO IN PIANO (RE)-tel. 0522-61397

NOI FACCIAMO SOLO ALIMENTATORI

MOD. APS 15

15V 10A stab. 0,02%
Prezzo L. 89.000 IVA incl.
GARANZIA: TRE ANNI



L.E.A. snc - via Staro, 10 - 20134 MILANO - tel. 2157169 - 218636



dal 4 all'8 Settembre non prendere appuntamento

ti aspetta High Fidelity per presentarti

**audio
video
75**

4-8 settembre
Fiera di Milano
P.za 6 Febbraio

ricetrasmisione
apparecchiature ed equipaggiamenti
per CB, OM e altri sistemi

teleradiodiffusione
attrezzature per la produzione
e la diffusione di programmi televisivi

audio professionale
impianti per la sonorizzazione
e gli studi di registrazione

la mostra che aspettavi

AUDIO VIDEO ti offre il panorama aggiornato delle apparecchiature per la produzione, la registrazione, la trasmissione e la ricezione dei suoni e delle immagini: dal "baracchino" allo studio televisivo, dalla videocassetta all'impianto "suoni e luci" per discoteca, dall'antenna alla sala d'incisione. Se ti interessano gli sviluppi della comunicazione televisiva, se ti occupi dei problemi connessi ai moderni mezzi di informazione, se ti appassiona il radiantismo o la tecnologia elettronica in generale, se operi tecnicamente o commercialmente o professionalmente nel campo dell'audio o del video, non puoi mancare a questo appuntamento. Nei cinque giorni di mostra puoi anche esaminare in "High Fidelity" la produzione mondiale delle più nuove apparecchiature Hi-Fi (230 marche di 18 paesi) e nel "Salone Internazionale della Musica" la più vasta offerta nel settore dello strumento musicale e dell'amplificazione (280 marche di 23 Paesi).

Tutti i giorni dalle 9,30 alle 19. Lunedì 8 settembre chiusura alle 15.

Segreteria Generale
20124 Milano - Via Vitruvio 38 - Tel. 20.21.13-20.46.169

EL.RE ELETTRONICA REGGIANA
VIA S. PELLICO, 2 - TEL. (0522) 82.46.50
42016 GUASTALLA (R.E.)

PROMOZIONALE RICETRASMETTITORI

SOMMERKAMP TS 624

SOMMERKAMP TS 630

SOMMERKAMP TS 5030 P

SOMMERKAMP TS 1608

SOMMERKAMP FT 277 B

SOMMERKAMP FTDX 505

SOMMERKAMP FT 501

SOMMERKAMP YO 100

SOMMERKAMP YC 355 D

SOMMERKAMP FR 101

SOMMERKAMP FL 101

SOMMERKAMP FL 2277

A RICHIESTA DEPLIANTS E PREZZI

CENTRO ELETTRONICO BISCOSSI

VIA DELLA GIULIANA, 107 - 00195 ROMA - TELEFONO (06) 31.94.93

OFFERTE DI MATERIALE (I.V.A. esclusa)

Kit per circuiti stampati completo di 4 basette, acido, inchiostro e penna	L. 2.500	Caricabatterie da 4 A 220 V 6/12 V u.	L. 11.500
Inchiostro per circuito stampato	L. 530	Voltmetri da pannello 4 x 4	L. 3.800
Acido per circuito stampato 1/2 lt	L. 600	Amperometri da pannello 4 x 4	L. 4.000
Bombola spray pulisci contatti	L. 900	Busta con 10 spine punto linea	L. 1.000
Dissipatori per TO3	L. 550	Busta con 10 prese punto linea	L. 1.000
Dissipatori per TO3 doppi 10 x 10	L. 1.100	Busta con 10 jack Ø 3,5 mm	L. 1.000
Dissipatori per TO5	L. 100	Busta con 10 spine 3 o 5 contatti	L. 1.500
Cordoni alimentazione compl.	L. 400	Busta con 10 prese 3 o 5 contatti	L. 1.500
Trasformatori da 0,6 A	L. 1.000	Busta con 10 zoccoli per integrati 1416	L. 2.000
Trasformatori da 1 A	L. 1.600	Busta con 10 deviatori a slitta	L. 1.000
Trasformatori da 3 A	L. 3.000	Manopole con indice	L. 250
Trasformatori da 4 A	L. 5.600	Manopole senza indice	L. 200
Potenziometri senza interruttore	L. 250	Portabatterie per 4 stilo	L. 200
Potenziometri con interruttore	L. 300	Banane colori vari	L. 40
Potenziometri doppi senza interruttore	L. 800	Boccole da pannello	L. 100
Potenziometri doppi con interruttore	L. 1.000	Fusibili 5 x 20	L. 40
Potenziometri a cursore	L. 700	Commutatori rotanti più vie e posiz.	L. 550
Cavo coassiale RG8	al m. L. 400	Impedenze T. Geloso 555/556/557	L. 550
Cavo coassiale RG58	al m. L. 140	Impedenze varie	L. 200
Riduttori per cavo RG58	L. 150	Impedenze VK200	L. 150
Spina tipo PL259	L. 650	Compensatori ceramici	L. 250
Quarzi per CB	L. 1.200	Busta minuteria assortita	L. 500
Alimentatori per Stereo 8 e 4 da 1,6 A	L. 7.000	Cassetti componibili 6 x 12 x 4	L. 300
Alimentatori stabilizzati da 2 A 12 V	L. 13.000	Cassetti componibili 12 x 12 x 5	L. 750
Riduttori auto	L. 1.500	Cassetti componibili 16 x 7 x 20	L. 1.200
Riduttori auto stabilizzati	L. 2.650	Busta con 10 diodi 1 A 400 V	L. 900
		10 m cavo schermato	L. 1.000

ATTENZIONE: per tutto il materiale non contemplato nella presente pagina, rimane valido il listino della Ditta A.C.E.I. di Milano.

OFFERTE SPECIALI

N. 1	L. 2.500	N. 2	L. 2.200	N. 3	L. 2.200	N. 4	L. 3.200	N. 5	L. 2.800	N. 6	L. 2.500
1 AD161 1 AD162 1 AY102 1 SN7404 2 BY127 o sim		1 AD143 1 AF109 1 BC148 1 SN7490 1 LED rosso		1 AC187K 1 AC188K 1 BC113 1 TAA611 1 BF245		1 2N3055 1 AF106 1 BC147 1 SN7410 1 B40 C2200 1 TBA810		1 AU106 1 BC149 1 SN7410 1 B40 C2200 3 OA95		1 BD137 1 BD138 3 1N4007 1 LED rosso 3 Zener 1 W	
N. 7	L. 4.000	N. 8	L. 2.400	N. 9	L. 2.300	N. 10	L. 2.300	N. 11	L. 2.500	N. 12	L. 3.700
1 SN7490 1 BC301 1 AF115 1 TAA611 3 Zener 1/2 W 1 AC141 1 AC142 1 2N3055		1 AD149 1 EC107 1 BC108 1 BC115 2 BC113 1 1A709 1 2N1613 1 2N3819 1 SN7402		1 AC180K 1 AC181K 1 BC107 1 BC109 1 1A709 1 B40 C2200 1 AC127 1 AC128		1 AC127 1 AC128 3 1N4007 1 SN7400 1 B40 C2200 1 BF222 1 BF235 1 BSX26		1 2N1711 1 BD137 1 BD138 1 LED rosso 1 1N914 2 Zener 1 W 2 2N4007 1 BC238		1 1A723 1 EC147 3 Zener 1 W 1 B40 C1000 1 BF235 1 2N1711 1 2N3055 1 BC301	
N. 14	L. 8.000	N. 15	L. 7.000	N. 16	L. 7.000	N. 18	L. 1.500	N. 19	L. 8.500	N. 20	L. 7.400
1 PL504 1 PL35 1 PC88 1 PCF82 1 PCL82 1 PCL805 1 DY87 1 ECF82 1 PCL84		1 PL504 1 PFL200 1 PCI82 1 TV18 1 6T8 1 PABC80 1 ECH81 1 12A116 1 DY87 1 PCL805		1 AU106 1 AU110 1 TV18 5 1N4007 5 Zener 1 AC187K 1 AC188K 1 AF109 1 AF239		1 BC107 1 BC147 1 EC154 1 BC237 1 BC238 1 BC208 1 BC270 1 BF196 1 BF222		1 FND70 1 9368 1 SN7490 1 SN7400 1 1A741 1 1A723 1 2N3819 1 2N2646 1 LED rosso		1 AU106 1 BD142 1 BD137 1 AU110 1 PCL82 1 ECF82 1 PCL85 1 DY87 1 Cond. 100/350	

ATTENZIONE: La vendita viene effettuata nelle ore di negozio in via Della Giuliana 107 e in via Ostiense 166 di Roma, anche per corrispondenza, alle stesse condizioni della Ditta A.C.E.I. di Milano.

S 9 + R 5? Qui c'è sotto qualcosa!

CHIARO E' UN ZETAGI

NUOVO LINEARE a valvole mod. BV130



CARATTERISTICHE:

Alimentazione: 220V 50 Hz
Potenza uscita: 80 W AM-150SSB
Potenza ingresso: 1-5 W
USA DUE VALVOLE
Frequenza: 26 ÷ 30 MHz

L. 93.500 IVA inclusa



NUOVO LINEARE B50

CB da mobile
AM-SSB
Input: 0,5 ÷ 4 W
Output: 25 ÷ 30 W
L. 45.000 IVA inclusa

AMPLIFICATORI LINEARI

MOD.	F. MHz	AL. Volt	Ass. Amp.	Input Watt	Output Watt	Modulaz. Tipo	Prezzo
B 12-144 Transistor	140-170	12-15	1,5-2	0,5-1	10-12	AM-FM SSB	42.500
B 40-144 Transistor	140-170	12-15	5-6	8-10	35-45	AM-FM SSB	79.000
B 50 Transistor	25-30	12-15	3-4	1-4	25-30	AM-SSB	45.000
B 100 Transistor	25-30	12-15	6-7	1-4	40-60	AM-SSB	93.500
BV 130 a Valvole	25-30	220	-	1-6	70-100	AM-SSB	93.500

Spedizioni ovunque in contrassegno.
Per pagamento anticipato s. sp. a nostro carico.

Consultateci chiedendo il nostro catalogo generale inviando L. 200 in francobolli.

L. 93.500 IVA inclusa

LINEARE MOBILE B 100

60 W AM - 100 SSB
Comando alta e bassa potenza
Frequenza: 26 ÷ 30 MHz



La **ZETAGI** ricorda anche la sua vasta gamma di alimentatori stabilizzati che possono soddisfare qualsiasi esigenza.



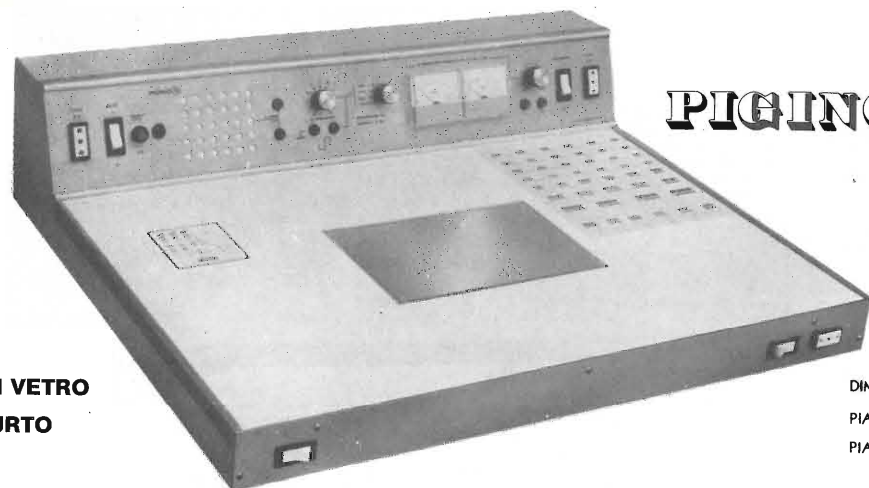
ZETAGI

via E. Fermi, 8 - Tel. (039) 66.66.79
20059 VIMERCATE (MI)

P.G. ELECTRONICS

FRASSINE...46100.MANTOVA

TAVOLO DA LAVORO COMPLETO DI PIANO LUMINOSO PER
HOBBISTI RADIOAMATORI TECNICI RIPARATORI E SCUOLE



PIGINO-75.

PIANO IN VETRO
ANTIURTO

DIMENSIONI: 60x50x14 cm
PIANO UTILE: 60x38 cm
PIANO LUMINOSO: 15x20 cm

CARATTERISTICHE:

- * **ALIMENTATORE** STABILIZZATO REGOLABILE DA 3V. A 15V. CON PROTEZIONE CONTRO IL CORTOCIRCUITO - CARICO MAX 2,5 A - STABILITA' 0,1% - RIPPLE 0,01 V. VOLTMETRO ED AMPEROMETRO INCORPORATI
- * **GENERATORE** DI B.F. CON USCITA A 200 400 800 1600 Hz E ATTENUATORE REGOLABILE DA 0 A 5V.
- * **ALTOPARLANTE** INCORPORATO 5 OHM 3W.
- * **PIANO LUMINOSO** DA 15 X 20 cm. PER OSSERVARE I CIRCUITI STAMPATI
- * **INTERRUTTORE** GENERALE SOTTO FUSIBILE CON LAMPADA SPIA
- * **PRESE** DI SERVIZIO: N°2 DA 6A. 220 V. +1PER IL SALDATORE CON COMANDO PER RIDURRE DEL 50% LA CORRENTE DI RISCALDAMENTO (ESCLUDIBILE)
- ★ **PREZZO L. 47.000 più IVA**

PG ELECTRONICS P.zza FRASSINE 11 MANTOVA t. 370447

1262

cq - 9/75

emc

electronic
marketing
company s.p.a.

41100 Modena, via Medaglie d'oro, n° 7-9
telefono (059) 219125-219001-telex 51305

i "4," nella nuova versione

SIMBA SSB

BENGAL SSB



CHEETAH SSB

PANTHER SSB

PEARCE-SIMPSON
DIVISION OF GLADDING CORPORATION

5W AM
15W SSB

220V.50Hz
13,8V.2A

00195 ROMA - via Dardanelli, 46 - tel. (06) 319448 ■ 35100 PADOVA - via Eulero, 62/a - tel. (049) 623355

"consultate le pagine gialle per i nostri punti di vendita"

cq - 9/75

1263

IMAGE



Con l'acquisto del suo apparecchio, proprietario di un transcevitore **ICOM** ha già superato tutti i criteri. **ICOM** è il concetto di una soluzione di transcevitore che, grazie alla combinazione di tecnica moderna e elementi di costruzione offre il massimo del possibile. Per il proprietario risulta da questo coetto un optimum.

La gioia nel possesso



CAMPIONE ELECTRONICA ELCA SAS

Vendita esclusiva
in Europa:

Corso Italia 14
CH 6911 Campione
Tel.: 091 (Lugano) / 68 95 55
Telex: CH 73 639 ELCA

Nuovo Com-phone 23

Il radiotelefono per eccellenza.



È l'ultimo nato della famiglia Lafayette. Assomiglia ad un telefono, ma viaggia a 27 megacicli. È una nuova proposta dei designers per gli utenti della citizen's band. Ricetrasmittitore supereterodina a doppia conversione controllato a quarzo mediante sintetizzatore. Stazione di tipo mobile indicata per l'installazione in auto o come stazione base. 23 canali, 5 Watt.

Lafayette

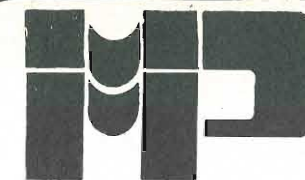
MARCUCCI

Via F.lli Bronzetti 37, 20129 Milano
Tel. (02) 7386051

VIDEON

GENOVA - via Armenia, 15
tel. (010) 363607 - 318011

Radiotelefoni - Apparecchiature per
Radioamatori - HI-FI - Radio - TV -
Registratori - Elettrodomestici



M.M.P. ELECTRONICS

Radiotelefoni - Apparecchiature per
Radioamatori - HI-FI - Radio - TV -
Registratori - Componenti elettronici



ALTA FEDELTÀ
FEDERICI ALESSANDRO

Distributore
Roma città

ROMA - Corso d'Italia, 34/B - C
tel. (06) 857941/2

Radiotelefoni - Apparecchiature per
Radioamatori - HI-FI - Radio - TV -
Registratori - Componenti elettronici

MAINARDI

VENEZIA - Campo dei Frati, 3014
tel. (041) 222338

Radiotelefoni - Apparecchiature per
Radioamatori - HI-FI - Radio - TV -
Registratori - Componenti elettronici

RADIOTUTTO

di Casini

TRIESTE - Galleria Fenice 8/10
tel. (040) 69455

Radiotelefoni - Apparecchiature per
Radioamatori - HI-FI - Radio - TV -
Registratori - Componenti elettronici

OMEGA



di Guido Ceccolini

PESARO - Viale Trento, 172
Tel. (0721) 32912

Radiotelefoni - HI-FI - TV a circuito chiuso
Laboratorio assistenza

RA. TV. EL.

Elettronica

TARANTO - via Dante, 241 - tel. (099) 821551

Forniture elettroniche - Civili e Industriali -
Ricambi Elettrodomestici - Registratori
- HI-FI - Radio - TV -

ALLEGRO

TORINO - C.so Re Umberto, 31
tel. (011) 510442

Radiotelefoni - Apparecchiature per
Radioamatori - HI-FI - Componenti elettronici

BERNASCONI & C.

NAPOLI - via G. Ferraris, 66/C
tel. (081) 335281

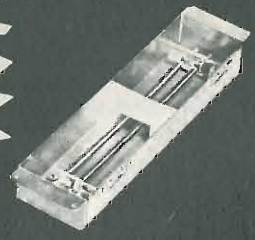
Radiotelefoni - Apparecchiature per
Radioamatori - HI-FI - Radio - TV -
Registratori - Materiale elettrico
Componenti elettronici



BOLZANO - v.le Drusa, 313 zona Artigianale
tel. (0471) 37400 - 37406

Radiotelefoni - Apparecchiature per
Radioamatori - HI-FI - Radio - TV -
Registratori - Componenti elettronici

novità
dalla
Germania



RE 4 L. 4.800

Unità di riverbero
2 spirali - Ingresso 15 Ω - Uscita
30 K Ω - Frequenza 100/300 Hz -
Ritardo 25-30 mS - Eco 2,5 sec. -
Dimens. 23X5,5x3 cm.



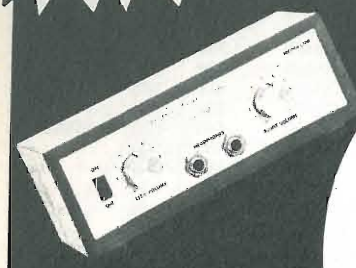
HK 4 L. 1.300

Tasto telegrafico.
Indispensabile per chi deve
dare l'esame di radioamatore



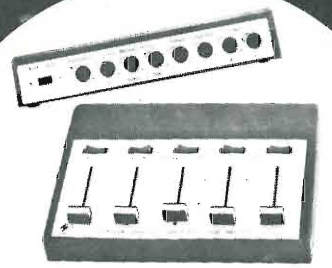
HT 20 L. 3.900

Tweeter HI-FI.
Frequenza 3.000 - 20.000 Hz.
8 Ω 20 W a 12 dB per ottava.
Diametro 65 mm.



SHA 10 L. 19.000

Ampli stereo HI-FI per cuffie.
Per ascoltare bene senza dis-
turbare.
Equalizzato RIAA magnetico o
ceramico - Uscita 2 x 50 mW/
8 Ω - 10 transistors - Batteria
9V entrocontenuta.



MPX 1000 L. 50.500

Miscelatori universale a 4 ingressi. Per
impianti HI-FI o discoteche 2 microf ad alta
e bassa impedenza: 600 e 50000 Ω - Re-
gistratore sintonizzatore, pik-up cera-
mico o magnetico stereo. - Uscita max.
2,5 V. mono e stereo. - Connettori
IN-OUT tipo europeo DIN. Aliment.
interna a pile.



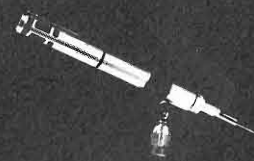
EA 41 L. 20.500

Unità di riverbero amplificata
per ottenere effetti eco.
Ingresso 6 mV. - Uscita 600 mV.
Ritardo 20-30 mS regolabili.



STC 500 L. 51.500

Equalizzatore d'ambiente per
impianti HI-FI, discoteche ecc.
5 frequenze: 40,200,1200,6000,
15000 Hz. - Regolazione 10 dB -
Equalizzato RIAA magnetico
3mV/47 KΩ. - Ausiliario 2V/100
K - Uscita 2V/50 K stereo, mono -
Rapporto S/N = 60 dB - Alimen-
tazione a 2 pile 9V.



ECM 650 L. 18.700

Microfono a condensatore con
caratteristiche professionali.
Per discoteche, complessi mu-
sicali, trasmettitori, eccetera.
Risposta in frequenza 50/15000
Hz, 600 Ω - Sensibilità 0,5
mV/1KHz/p bar - Alimentazio-
ne interna 1,5 V. - Corredato
di 6m. di cordone, supporto e
batterie.

ZODIAC

TANTI AMICI IN PIÙ NELL'ETERE

Garanzia e Assistenza: SITTEL - Modena



Esclusiva per l'Italia: MELCHIONI ELETTRONICA - Divisione RADIOTELEFONI - Via Colletta, 39 - 20135 Milano

GMH GIANNI VECCHIETTI
via L. Battistelli, 6/C - 40122 BOLOGNA - tel. 55.07.61.

CONCESSIONARI: ANCONA - DE-DO ELECTRONIC - via Giordano Bruno N. 45 □ BARI - BENTIVOGLIO FILIPPO -
via Carulli N. 60 □ CATANIA - RENZI ANTONIO - via Papale N. 51 □ FIRENZE - PAOLETTI FERRERO - via Il Prato N. 40R □
GENOVA - ELI - via A. Odaro N. 30 □ GENOVA - DE BERNARDI - via Tolot N. 7 □ MILANO - MARCUCCI S.p.A. - via
F.lli Bronzetti N. 37 □ MODENA - ELETTRONICA COMPONENTI - via S. Martino N. 39 □ PARMA - HOBBY CENTER - via
Torelli N. 4 □ PADOVA - BALLARINI GIULIO - via Jappelli N. 9 □ PESCARA - DE-DO ELECTRONIC - via Nicola Fabrizi
Umberto N. 31 □ ROMA - COMMITTERI & ALLIE - via G. Da Castel Boli N. 37 □ TORINO - ALLEGRO FRANCESCO - Corso Re
Frani N. 3614 □ TRIESTE - RADIO TRIESTE - viale XX Settembre N. 15 □ VENEZIA - MAINARDI BRUNO - Campo Dei
Frati N. 26 □ CORTINA (BL) - MARK EQUIPMENTS - via C. Battisti N. 34.

RICHIEDETE
SUBITO
GRATIS
I DEPLIANTS
DEL NOSTRO
MATERIALE
ELETTRONICO

Vi prego di spedirmi il depliant **C 9**

Cognome _____
Nome _____
Via _____
Cap. _____ Città _____
Prov. _____
Firma _____
Staccare e spedire a

GIANNI VECCHIETTI
via L. Battistelli, 6/C - 40122 BOLOGNA - tel. 55.07.61

RADIOCOMANDI



VERSIONE PLUG-IN

Tipo **TCC-1** monocanale a 900 combinazioni di codice
 Tipo **TCC-2** bicanale a 900 combinazioni di codice
 Tipo **TCC-3** tricanale a 900 combinazioni di codice



VERSIONE NORMALE

TRASMETTITORE controllato a quarzo - banda: 27 ÷ 30 MHz - Radiatore: a ferrite - portata: 50 ÷ 100 metri - Dimensioni: 58 x 105 x 27.

RICEVITORE supereterodina controllato a quarzo. Ingresso: a FET con protezione a diodi, elevato grado di affidamento, grandissima immunità contro disturbi di natura elettromagnetica e/o radio. Portata contatti relè: 2 A 220 Vc.a.

Il **TCC** può essere impiegato per applicazioni industriali e professionali dove sia richiesto un elevato grado di sicurezza di esecuzione dei comandi; es.: comando di relè, motori elettrici, avvisatori ottico-acustici, macchine operatrici, serrande, cancelli, ecc. o per la teletrasmissione di segnali, controlli conteggi, ecc.

Questo telecomando trova anche pratica applicazione come chiave elettronica in quanto le sue 900 combinazioni di codice lo cautelano largamente contro esecuzioni indesiderate.

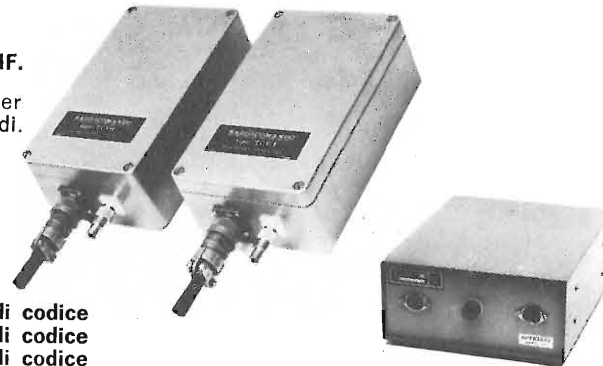
Di questa serie viene prodotto anche un tipo per impieghi civili a 35 combinazioni di codice, tipo

TCR-1 monocanale
 TCR-2 bicanale
 TCR-3 tricanale

Altre versioni:

TCV-1 TCV-2 TCV-3
 per portate fino a 50 ÷ 80 Km, banda VHF e UHF.

- Completo di codificatore e decodificatore per la trasmissione-ricezione di 1, 2 o 3 comandi.
- Elevatissima immunità contro i disturbi
- 600 combinazioni di codice



Unità di codifica e decodifica:

Tipo **TC-RT-1** monocanale a 600 combinazioni di codice
 Tipo **TC-RT-2** bicanale a 600 combinazioni di codice
 Tipo **TC-RT-3** tricanale a 600 combinazioni di codice

Queste unità vanno usate in unione ad apparati ricetrasmittenti, di qualsiasi frequenza, per la trasmissione-ricezione di comandi e/o segnali.

Le caratteristiche di potenza, portata, stabilità, ecc. dipendono dal ricetrasmittente usato.

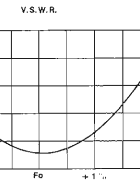
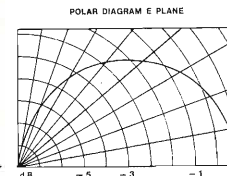
- Alimentazione 11 ÷ 15 Vcc
- Il codificatore va collegato all'ingresso del trasmettitore (micro).
- Il decodificatore va collegato all'uscita del ricevitore (dopo il rivelatore e prima dell'eventuale squelch).
- grandissima immunità contro i disturbi di natura elettromagnetica e radio.
- banda trasmessa 30 ÷ 2400 Hz.

A vostra disposizione per informazioni, documentazione, versioni particolari, quotazioni ecc.

AUTELETT
 AUTOMAZIONE ELETTRONICA

31042 FAGARE' - TREVISO
 VICOLO POSTUMIA, 3 - ☎ (0422) 70068
 C.C.I.A.A. TREVISO 105887

NUOVI MODELLI AD ALTA EFFICENZA ED AFFIDABILITÀ



ALPHA
S4B 27
 base loaded

CARATTERISTICHE MECCANICHE ED ELETTRICHE

Irradiante

Trecciola di rame argentata incorporata nello stilo in fibra di vetro.
 Molla di smorzamento oscillazioni in acciaio inox.
 Snodo continuo con corsa di 180°.
 Maniglia per bloccaggio snodo, in acciaio inox.
 Bobina di carico ad alto Q, inserita alla base.
 Lunghezza totale circa mm. 1400.

Base

In Nylon e ottone cromato, contatti argentati in bronzo fosforoso.

Connettore

Tipo BNC (U.S. MIL UG 290 A/U) 50 Ohm. In dotazione m. 4 cavo RG 58 A/U completo di connettore BNC (U.S. MIL UG 88 A/U).

Frequenza 27 MHz.

Foro di fissaggio Ø mm. 24 - Spessore bloccabile mm. 0 ÷ 5.
 Larghezza di banda ±1% dal centrobanda - VSWR ≤ 1,50 : 1,00.
 Potenza 50 W.

ELETTROMECCANICA
caletti S.R.L.
 20127 MILANO - Via Felicità Morandi, 5
 Tel. 28.27.762 - 28.99.612

OSCAR 27
 top loaded

CARATTERISTICHE MECCANICHE ED ELETTRICHE

Irradiante

Stilo Anticorodal Ø 7 mm. Stub di accordo in acciaio inox, cone-lock.
 Bobina di carico, ad alto Q, avvolta su fibra di vetro.
 Tutto il complesso radiante è rivestito da una guaina nera, a basso TAN δ.
 Molla smorzamento oscillazioni in acciaio inox.
 Snodo a sfera cromato, con posizionamento a tacche ogni 15°.
 In dotazione chiave per bloccaggio snodo.
 Lunghezza totale circa mm. 1600.

Base

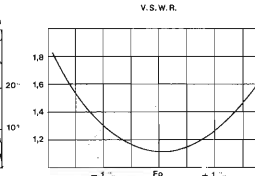
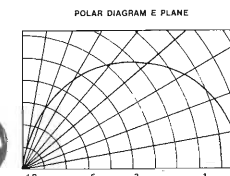
In anticorodal e Nylon, contatti argentati in bronzo fosforoso.

Connettore

Tipo UHF (U.S. MIL. SO 239) 50 Ohm.
 In dotazione m. 4 cavo RG 58 A/U completo di connettore UHF (U.S. MIL. PL 259).
 Foro di fissaggio Ø mm. 16 - Spessore bloccabile mm. 0 ÷ 8.

Frequenza 27 MHz.

Larghezza di Banda ±1% dal centro banda.
 VSWR ≤ 1,50 : 1,00.
 Potenza 50 W.



REPERIBILI PRESSO I MIGLIORI RIVENDITORI

CONNETT. COAX NUOVI - TEFLON

1	PL259 Amphenol	L. 600
2	SO239	L. 600
4	PL258 doppia fem.	L. 1000
13	UG88/U BNC maschio vol.	L. 700
24	UG1094/U ENC fem. pan.	L. 600
23	UG290/U BNC fem. pan. con flangia	L. 900
18	B2800 BNC ANGOLO	L. 3000
16	BNC doppia fem. volante	L. 1500
25	UG21B/U N maschio vol.	L. 1800
36	UG584/U N fem. pan.	L. 1800
44	UG421/U UHF maschio per Collins 390 URR	L. 2000

RICETRANS SCR522 (BC624+BC625)

Nuovi in imballo originale completi di tutte le valvole, schemi ecc. Freq. di lavoro 100-156 MHz
L. 50.000

FILO ARGENTATO

235	Ø 1 mm conf. m 10 L.	1000
236	Ø 1,5 mm conf. m 6 L.	1200
237	Ø 2 mm conf. m 6 L.	2000
239	Ø 3 mm conf. m 8 L.	3500
215	BOBINA supporto ceramico Ø 51 x 127 mm. Filo rame argentato Ø 1,5 mm. Per accordi antenna 10-20-40-80 m. Compensata termicamente all'interno. Ottima	L. 2500

RELAIS PER COMMUTAZ. UHF

151	CERAMICO ALLIED CONTROL 2 sc 10 A+AUX 12 Vdc	L. 2500
163	COASSIALE MAGNECRAFT 12 Vdc imp. tip 50 Ω miniat. ultracompatto	L. 5000
164	CERAMICO 12-24 Vdc 2 bobine 2 sc 10 A+5 contatti in apertura registrabili	L. 6000

DIODI IR

193	1N4003 200 Vpiv 1 A	L. 100
191	1N4004 400 Vpiv 1 A	L. 110
190	1N4005 600 Vpiv 1 A	L. 120
192	1N4006 800 Vpiv 1 A	L. 130
189	1N4007 1000 Vpiv 1 A	L. 150
211	30S1 250VPIV 3 A	L. 450
213	30S10 1200VPIV 3 A	L. 700
188	71HF5 50 V 70 A	L. 2000
195	71HF5R come sopra - polarità inversa	L. 2000
205	TRIAC 400 VI 25 A AEG	L. 6000
196	2N3055 Motorola - 1ª scelta	L. 800
197	2N3055 Fairchild - 1ª scelta	L. 770
215	CA3085 RCA regolat. di tens. con Data sheet	L. 2700
210	µA723-L123 - DIL	L. 840

COMMUTAT. ROTANTI CERAMICA

125	6 vie 3 pos.	L. 1600
132	1 via 11 pos. 10 A antiarco	L. 1600
134	2 vie 4 pos.	L. 800
135	4 vie 3 pos. min. stagno	L. 1500
143	1 via 5 pos. 10 A antiarco	L. 1200
144	1 via 10 pos. 15 A antiarco	L. 3000
145	2 vie 4 pos. 8000 VI GE	L. 2500

POTENZIOMETRI DI PRECISIONE MULTIGIRI 5 W

250	3 kΩ 3 giri L. 0,5 %	L. 2500
255	10 kΩ 3 giri L. 0,5 %	L. 2500
256	1 kΩ 3 giri L. 0,5 %	L. 2500
251	5 kΩ 10 giri L. 0,1 %	L. 3500
253	100 kΩ 10 giri L. 0,2 %	L. 3500
254	50 kΩ 10 giri L. 0,25 %	L. 3500
261	2 kΩ 10 giri L. 0,015 %	L. 3500

POTENZIOMETRI DI PREC. MULTIGIRI MINIATURA 2 W

262	25 kΩ 10 giri L. 0,3 %	L. 3500
267	2,8 kΩ 10 giri L. 0,5 %	L. 3500
269	5 kΩ 10 giri L. 0,5 %-0,2 %	L. 3500
270	1 kΩ 10 giri L. 0,2 %-0,5 %	L. 3500
278	20 kΩ 10 giri L. 0,5 %	L. 3500
268	10 + 10 kΩ 10 giri L. 0,1 %	L. 4000
273	600+600 Ω 10 giri L. 0,1 %	L. 4000

CAVO COASSIALE RG8 originale USA - Ottimo - al m L. 600

352	ANTENNA DIPOLO accordabile 420-450 MHz tipo AT413/TRC. Robusta costruzione in ottone protetto elettroliticamente, completa di connettore C maschio e femmina - Ottima	L. 10000
376	TEMPORIZZATORE HAYDON 0-30 sec in 150 tempi prefissabili. Alimentazione 24-28 Vdc	L. 3500
377	VENTOLE ROTRON piccole 115 V 13 W	L. 8000
378	VENTOLE USA tipo BOXER 115 V 17 W	L. 9000
230	TRASFORMATORE prim. 220 V - sec. 12 V 10 A	L. 6000
234	TRASFORMATORE prim. 220 V - n. 4 sec. separati 6 V - 5 A cad. Impregnati sottovuoto - ottimi	L. 6000
301	MOTORINI 16-24 Vdc doppio senso di rotaz.	L. 2500
304	MOTORINO 27 Vdc 1/100 HP 7000 Rpm	L. 4000

OPTOELETTRONICA

178	DISPLAY MAN 7 MONSANTO 7 seg LED rosso - 5 Vdc - 20 mA per seg. Punto decimale - H20 x L10 mm	L. 2900
185	DISPLAY PANAPLEX 9 DIGITS (cifre) a scarica di gas: 160-180 Vdc completo di foglio caratteristiche. L70 x H20 x P3 mm	L. 7000
205	NIXIE ZM1000 PHILIPS	L. 1800
185	DISPLAY A 5 CIFRE HEWELETT PACKARD 5082-7466 miniatura con lente 5 mA x seg. Con foglio caratteristiche e applicazione	L. 6000
	DICDO LASER GaAs Hetero Structure LASD10 infrarosso 4,2 W. Con foglio caratteristiche ed applicazione	L. 14000
176	DIODO LED ROSSO OPCOA Ø 5 mm	L. 300
183	DIODO LED VERDE Ø 5 mm	L. 400
182	DIODO LED VERDE Ø 3 mm	L. 400

INTEGRATI MOS-LSI

181	CHIP CALCOLATORE CAL-TEX CT 5005. 12 digits - 3 funzioni di memoria - Costante - punto decimale fisso ad 1, 2, 3, 4, 5, o 0 - uscite ed ingressi in multiplex per il min. dei componenti esterni - possibilità di essere trasformato in calcolatore scrivente - possibilità di operazione con visualizzatori a LED, incandescenza, fluorescenti ed a scarica di gas. Tutto in unico chip a 28 piedini DIL. Con foglio dati e applicazioni	L. 10000
187	CHIP OROLOGIO CAL-TEX CT 7001 con calendario - Indicazione dei secondi, minuti, ore, giorni e mesi. Comprende temporizzatori a ritardo programmabile per ON-OFF radio e pilotaggio sveglia. Operazioni 12-24 ore ed indicazione AM-PM. In unico chip a 28 piedini DIL. Con foglio dati e schema di applicazione completo. E' il più sofisticato dei MOS per orologi. Tasti USA nuovi imballati ottimi	L. 15000
216	MICROFONI PIEZOELETTRICI SHURE da tavolo	L. 5000

CONDIZIONI DI VENDITA - La merce è garantita come descritta. Le spedizioni sono a 1,2 PT o FFSS. Il pagamento contrassegno salvo diversi accordi con il cliente. Le spese di spedizione sono a carico del cliente, l'imballo sempre ben curato è gratis. Preghiamo non inviare importi anticipati. Non si accettano ordini di materiale inferiori a L. 4000 escluse le spese di porto.

i migliori QSO hanno un nome
SOMMERKAMP

Ricetrasmittitore portatile «Sommerkamp» Mod. TS 5632 DX

32 canali tutti quarzati
Potenza d'ingresso stadio finale: 5 W

Limitatore automatico di disturbi, squelch, segnale di chiamata
Presca per auricolare, microfono, microtelefono, antenna esterna e alimentatore.

Alimentazione: **12 Vc.c.**
Dimensioni: **230x75x40**
ZR/4532-12

IN VENDITA PRESSO TUTTE LE SEDI

G.B.C.
italiana



ESCO

ELECTRONIC SURPLUS COMPONENTS

U6050 IZZALINI DI TODI (PG) ITALY - TEL. 882127

PERRY

ELETRONICA

Costruzione accessori CB-OM - Alimentatori fino a 50 V e 10 A max
Progetti, realizzazione prototipi

Via Reggio Emilia, 10
Tel. 453.209 - 40139 BOLOGNA



COMMUTATORE ELETRONICO AUTOMATICO D'ANTENNA - MOD. ACP/36

Il commutatore automatico è un dispositivo che permette di applicare ad un apparato ricetrasmittente, di utilizzare due diverse antenne: una per trasmettere l'altra per ricevere. L'apparecchio è nato dall'esigenza, in questo periodo di super affollamento nelle gamme radiantistiche, ed in particolare CB, di ridurre l'entità dei segnali in arrivo e di « farsi sentire » il più lontano possibile in trasmissione, in tal modo risulterà possibile, grazie all'antenna più piccola ricevere i « SOI » locali praticamente esenti da disturbi (QRM) e dai « catti » « sblater ». Pigiando il PTT del microfono entrerà in funzione l'antenna più grande, posta ad esempio sul tetto dell'abitazione, verso cui verranno convogliati i segnali del trasmettitore, il tutto naturalmente senza alcun intervento manuale.

CARATTERISTICHE TECNICHE

- Alimentazione: 12-15 Vcc
2 transistori
6 diodi
- Tempo di rilassamento SSB: da 0,3 a 1,8 secondi circa
- Connettori: 3 tipo SD219
- Contenitore in alluminio anodizzato, circuito stampato in vetroresina, componenti di qualità professionale.

L. 18.000

ALIMENTATORE 5 A REGOLABILE CON ALTOPARLANTE SUPPLEMENTARE TIPO SE/5 A

Interpretando le esigenze di CB e OM abbiamo realizzato questo apparato che unisce in un unico elegante mobile in legno laccato e alluminio un alimentatore stabilizzato di elevate prestazioni ed affidabilità, ad un altoparlante ad alto rendimento a magnete corazzato.

CARATTERISTICHE TECNICHE

- Tensione uscita: 9 ÷ 15 V
- Corrente: 5 A
- Ripple: 30 mV
- Protezione elettronica contro i corto circuiti in uscita
- Altoparlante: 2,5 W ad alta resa 8 Ω, presa per cuffia.

~~nuovo prezzo L. 35.000~~ ancora fino al 30/9 L. 28.000



Spedizioni ovunque in contrassegno.
Per pagamento anticipato spese spedizione a nostro carico.



nei migliori negozi

ALIMENTATORI

- Alimentatore 32 V 1,5 A mod. **KT 101/32**
- Alimentatore 42 V 1,5 A mod. **KT 101/42**
- Alimentatore regolabile 5 ÷ 15 V 2 A con strumento mod. **KT 102**
- Alimentatore 12,6 V 2 A max. mod. **KT 103**
- Alimentatore da laboratorio 5 A mod. **KT 104**
- Caricabatteria con valvola aut. mod. **KT 105**
- Trasformatore per KT 101/32 mod. **TRA 32**
- Trasformatore per KT 101/42 mod. **TRA 42**

BASSA FREQUENZA

- Preamplificatore con pusaletiera stereo mod. **KT 201**
- Preamplificatore stereo regolazione tono mod. **KT 202**
- Amplificatore HI-FI 18 W RMS mod. **KT 203**
- Amplificatore 18+18 W HI-FI mod. **KT 204**
- Preamplificatore mono (slaidar) mod. **KT 205**
- Preamplificat. stereo (slaidar) mod. **KT 206**
- Amplificatore 7 W mono HI-FI mod. **KT 207**
- Amplificatore HI-FI 7+7 W mod. **KT 208**
- Miscelatore 3 ingressi mod. **KT 209**
- Amplificatore a circuito integrato 1,5 W mod. **KT 210**
- Amplificatore a circuito integrato 2,5 W mod. **KT 211**
- Amplificatore a circuito integrato 6 W mod. **KT 212**
- Amplificatore HI-FI 7+7 W completo mod. **KT 214**
- Indicatore Stereo mod. **KT 215**
- Casse acustiche 10 W 2 vie mod. **KT 216**
- Casse acustiche 20 W 3 vie mod. **KT 217**
- Filtri crossover 3 vie mod. **KT 218**
- Amplificatore HI-FI 18+18 W completo mod. **KT 236**
- Mascherina per amplificatore con indicatore st. mod. **MAS 256**
- Mascherina per amplificatore con potenziometri tipo slaidar mod. **MAS 258**
- Mobile in legno per amplificatore HI-FI mod. **MB 288**

VARI E CURIOSITA'

- Luci psichedeliche 3 x 600 W mod. **KT 301**
- Interruttore crepuscolare mod. **KT 302**
- Regolat. di velocità motori c.a. mod. **KT 303**
- Allarme antifurto a ultrasuoni mod. **KT 304**
- Inverter 12 Vcc 220 Vca 150 W mod. **KT 305**
- Riduttore 24 Vcc a 12 Vcc 2 A mod. **KT 306**
- Temporizzatore mod. **KT 307**
- Allarme auto (automatico) mod. **KT 308**
- Sirena elettronica mod. **KT 309**
- Guardiano elettronico per auto mod. **KT 310**
- Oscillofono mod. **KT 311**
- Ozonizzatore auto mod. **KT 312**
- Ozonizzatore casa mod. **KT 313**
- Apricancello elettronico mod. **KT 319**
- Frequenzimetro digitale mod. **KT 320**
- Orologio digitale mod. **KT 321**
- Allarme da auto ad ultrasuoni mod. **KT 322**
- Variatore di luci mod. **KT 323**
- Ricevitore OM in KIT mod. **KT 324**
- KIT ricevitore OM-OL batterie-corrente mod. **KT 325**
- KIT radiorologio mod. **KT 326**
- Rischiattutto elettronico mod. **KT 340**
- Amplificatore telefonico mod. **KT 341**

ALTA FREQUENZA

- Gamma Match mod. **KT 414**
- Compressore espansore della dinamica mod. **KT 415**
- Rosmetro mod. **KT 416**
- Wattmetro-Rosmetro 10 ÷ 100 W mod. **KT 417**
- Preamplificat. d'antenna 27 MHz da 25 dB mod. **KT 418**
- Convertitore CB 27 ÷ 1,6 MHz mod. **KT 419**
- Lineare 70 W CB mod. **KT 420**
- Miscelatore ricetrasmittente-autoradio mod. **KT 421**
- Commutatore a 3 posizioni + carico fittizio mod. **KT 422**
- Trasmettitore 27 MHz 5 W mod. **KT 423**
- Ricevitore 27 MHz mod. **KT 424**

C. T. E.

International s.n.c.

via Valli, 16-42011 BAGNOLO IN PIANO (RE)-tel. 0522-61397

DERICA ELETTRONICA

00181 ROMA - via Tuscolana, 285 B - tel. 06-727376

TRANSISTORS:

BC 113	L. 180*	BF 199	L. 250*
BC 139	L. 350*	BF 258	L. 400*
BC 148/b	L. 200*	BF 367	L. 250*
BC 158/B	L. 200*	BF 374	L. 250*
2N 333	L. 120*	BF 394	L. 350*
BD 159	L. 500*	TJ 291/b(BC 207)	L. 200*
BD 506	L. 400*	TJ 292/b (BC 208)	L. 200*
BF 198	L. 250*		

DIODI:

BA 129	L. 130*	OA 91	L. 75*
BA 130	L. 90*	TRO 5 (200V-1A)	L. 150*
SFD 115 (1N542)	L. 75*	EM513	L. 220*
BY 188	L. 200*	R6083	L. 70*
BA 157	L. 300*	R6125	L. 70*

Ponti nuovi 30V-12A	L. 1.000*
Ponti nuovi 400V-2,5A	L. 1.200*
Autodiodi nuovi 50V-25A	L. 300*

SCR 100V-1,8A	L. 450*
SCR 400V-5A	L. 1.200*
SCR 120V-70A	L. 8.000*

LED FLW 117	L. 400
TRIMPOT 500 Ω BOURNS	L. 400*
INTEGRATO MC 1358 (CA 3065)	L. 1.600*
INTEGRATO TAA 550	L. 650*

PER ANTIFURTI:

INTERRUTTORE REED con calamita	L. 450*
COPPIA MAGNETE E INTERRUTTORE REED in contenitore plastico	L. 1.800*
COPPIA MAGNETE E DEVIATORE REED IN CONTENITORE PLASTICO	L. 2.800*
INTERRUTTORE A VIBRAZIONE (Tilt)	L. 2.800*
SIRENE POTENTISSIME 12 V	L. 15.000*
MICRORELAIS 24V-4 scambi	L. 2.000*
RELAIS in vuoto orig. americani 12V-6 interruttori con zoccolo - 40x36x56	L. 1.500*
Microrelai SIEMENS nuovi da montag.	
12V 2 scambi	L. 1.600*
12V 4 scambi	L. 1.800*
CALAMITE in plastica per tutti gli usi mm 8 x 3,5 al m.	L. 1.200*
CALAMITE mm 22x15x7	cad. L. 150*
CALAMITE mm 39x13x5	cad. L. 150*
CALAMITE \varnothing mm 14x4	cad. L. 100*
INTERRUTTORI KISSLING (IBM) 250V-6A	L. 250
MICROSWITCH orig. MICRO MINIATURE	L. 350
MICROSWITCH SEMPLICE E VARI TIPI DI LEVE	L. 1.100
INTERRUTTORI TERMICI KLIXON (nc) a temperatura regolabile da 37° e oltre	L. 1.000*

LAMPADINE MIGNON WESTINGHOUSE 6 V cad.	L. 70
ACIDO - INCHIOSTRO per circuiti gratis 2 hg. bachelite ramata)	L. 1.500
MICROFONI PIEZO - LESA con start	L. 3.000
MICROFONI PIEZO-LESA senza start o' supporto	L. 3.000

VETRONITE - VETRONITE - VETRONITE - doppio rame

Delle seguenti misure ne abbiamo quantità enormi:			
mm 294x245	L. 1.350	mm 425x363	L. 2.750
mm 350x190	L. 1.200	mm 450x270	L. 2.200
mm 375x260	L. 1.750	mm 525x310	L. 2.900

Richiedeteci le misure che Vi occorrono, ne abbiamo altri 120 tagli.

AMPLIFICATORI NUOVI di importazione BI-PAK 50W RMS (25 eff) a transistor, risposta 15 Hz a 100.000 \pm 1 dB, distorsione migliore 0,1% a un KHz, rapporto segnali disturbo 80 dB, alimentazione 10-35V; misure mm 63 x 105 x 13. con schema L. 8.500

IL NEGOZIO RESTERA' CHIUSO:

Sabato pom. e domenica: da maggio a settembre
Domenica e lunedì: da ottobre a aprile.

Microamplificatori nuovi BF, con finali AC 180-181, alim. 9V-2,5W eff. su 5 Ω , 2W eff. su 8 Ω , con schema L. 2.500*

TUBI CATODICI (usati ma funzionanti) 5ABP1 L. 10.000*
TUBI CATODICI (usati ma funzionanti) 7MP7 L. 7.500*
CINESCOPIO RETTANGOLARE 6" schermo alluminizzato 70° completo dati tecnici (NUOVI) L. 7.000*

MICROFONI CON CUFFIA alto isolamento acustico MK 19 L. 4.500*
MOTORINI STEREO 8 AEG usati L. 1.800*
MOTORINI Japan 4,5V per giocattoli L. 350*
MOTORINI temporizzatori 2,5 RPM - 220V L. 1.500*
MOTORINI 70W Eindowen a spazzole reversibili 120-160-220V L. 2.000*

MOTORI MARELLI monofasi 220 V - Ac pot. 110W L. 12.000*
MOTORIDUTTORI 115V AC pot. 100W 4 RPM reversibili adatti per rotori antenna L. 15.000*

BOBINE da 250 mt. CAVETTO BIPOLARE PER CABLAGGI 2x5/10 L. 2.500*
BOBINE da 300 mt. CAVETTO BIPOLARE PER CABLAGGI 2x5/10 L. 3.000*
BOBINE da 300 mt. CAVETTO UNIPOLARE AL SILICONE 5/10 L. 3.000*

PACCO 2 KG. materiale elettronico assortito con schede, diodi, transistors, bachelite ecc. L. 2.000
PACCO 100 RESISTENZE assortite al 2% e 5% L. 1.500

TRASFORMATORI DA SMONTAGGIO da 130W E da 210 a 250 V U 6,3-0-6,3 L. 6.000

TRASFORMATORI NUOVI SIEMENS 8W E universale U 12V L. 1.200*

COMMUTATORI CTS a 10 posizioni 2 settori perni coassiali, comando indipendente alto isolamento L. 600
COMMUTATORE A LEVETTA 1 via-3 posizioni L. 350
COMMUTATORE 2 vie-6posiz. -perno a vite contatti arg. L. 550*
Commutatori 2 vie 13 posiz. L. 1.500

SUPPORTO CERAMICO per Pi - greco completo di avvolgimento con prese intermedie \varnothing cm 5 L. 3.500

TERMOMETRI 50-400 °F L. 1.300
COMPLESSO TIMER-SUONERIA 0-60 min. e interruttore prefissabile 0-10 ore, tipo pannello 200x60x70 "General Electric" 220V - 50 Hz L. 4.500*

QUARZI per BC 610 varie frequenze L. 500*
QUARZI da 20 a 26 MHz con progressione di 100 KHz (BC 603) L. 1.000*
QUARZI da 20 a 28 Mhz con progressione di 100 KHz (BC 603), L. 1.500*

CONTACOLPI elettromeccanici a 5 cifre 12/24V cad. L. 500

Contacolpi mecc. a 4 cifre azerabile L. 900
Contacolpi elett. 7 cifre azerabile L. 5.000

SCHEDE NUOVE OLIVETTI con un reed-relè deviatore 17 Trans al silicio, diodi, resistenze, ecc. cad. L. 2.000

SCHEDE NUOVE OLIVETTI con un reed-relè, 11 Trans al silicio, diodi, resistenze ecc. L. 1.200

CONNETTORI SOURIAU (come nuovi) a elementi combinabili con 5 spine da 5A o con 8 spine da 3A con attacchi a saldare, coppie maschi e femmine L. 400*

N.B.: Per le rimanenti descrizioni vedi CQ.

(*) Su questi articoli, sconti per quantitativi.

I prezzi vanno maggiorati del 12% per I.V.A. - Spedizioni in contrassegno più spese postali.

Batterie dryfit



Le batterie dryfit sono accumulatori ermetici ricaricabili del tipo piombo - acido solforico che non necessitano di manutenzione. Si distinguono per la loro grande stabilità con funzionamento a cicli. Sono la fonte ideale di energia per tutti gli apparecchi portatili indipendenti dalla rete e particolarmente indicate per un'utilizzazione stazionaria; la loro lunga durata le rende inoltre adatte all'alimentazione di soccorso in parallelo degli impianti elettrici.

ACCU ITALIA SPA
Accumulatori Sonnenschein

Calderara di Reno (Bo) via Armaroli, 12
Tel. 72.25.02 - telex 51536

SCATOLE DI MONTAGGIO ELETTRONICHE

**Vacanze sicure?.....
montandovi il Kit antifurto !**

L'antifurto super automatico professionale « WILBI-KIT » vi offre la possibilità di lasciare con tutta tranquillità, anche per lunghi tempi, la Vostra abitazione, i Vostri magazzini, depositi, negozi, uffici, contro l'incalzare continuo dei ladri, salvaguardando con modica spesa i vostri beni.

NOVITA' **KIT N. 27 L. 28.000**

4 TEMPORIZZAZIONI

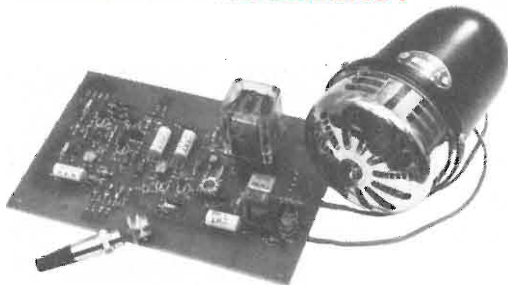
L'unico antifurto al quale si può collegare direttamente qualsiasi sensore: reed, micro interruttori, foto cellule, raggi infrarossi, ecc. ecc.

VARI FUNZIONAMENTI:

- chiave elettronica a combinazione
- serratura elettronica con contatti trappola
- porte negative veloci
- porte positive veloci
- porte negative temporizzate
- porte positive temporizzate
- porte positive inverse temporizzate
- porte negative inverse temporizzate

- tempo regolabile in uscita
- tempo regolabile in entrata
- tempo regolabile della battuta degli allarmi
- tempo di disinnescamento aut. regolabile
- reinserimento autom. dell'antifurto
- alimentazione 12 Vcc.
- assorbimento in preallarme 2 mA
- carico max ai contatti 15 A.

VERSIONE AUTO L. 19.500



Kit N. 1 - Amplificatore 1,5 W	L. 3.500	Kit N. 28 - Antifurto automatico per automobile	L. 19.500
Kit N. 2 - Amplificatore 6 W R.M.S.	L. 6.500	Kit N. 29 - Variatore di tensione alternata 8000 W	L. 9.600
Kit N. 3 - Amplificatore 10 W R.M.S.	L. 8.500	Kit N. 30 - Variatore di tensione alternata 20.000 W	L. 18.500
Kit N. 4 - Amplificatore 15 W R.M.S.	L. 14.500	Kit N. 31 - Luci psichedeliche canale medi 8000 W	L. 12.500
Kit N. 5 - Amplificatore 30 W R.M.S.	L. 16.500	Kit N. 32 - Luci psichedeliche canale alti 8000 W	L. 12.500
Kit N. 6 - Amplificatore 50 W R.M.S.	L. 18.500	Kit N. 33 - Luci psichedeliche canale bassi 8000 W	L. 12.900
Kit N. 7 - Preamplificatore Hi-Fi alta impedenza	L. 7.500	Kit N. 34 - Alimentatore stabilizzato 22 V 1,5 A per Kit N. 4	L. 5.500
Kit N. 8 - Alimentatore stabilizzato 800 mA 6 Vcc	L. 3.850	Kit N. 35 - Alimentatore stabilizzato 33 V 1,5 A per Kit N. 5	L. 5.500
Kit N. 9 - Alimentatore stabilizzato 800 mA 7,5 Vcc	L. 3.850	Kit N. 36 - Alimentatore stabilizzato 55 V 1,5 A per Kit N. 6	L. 5.500
Kit N. 10 - Alimentatore stabilizzato 800 mA 9 Vcc	L. 3.850	Kit N. 37 - Preamplificatore Hi-Fi bassa impedenza	L. 7.500
Kit N. 11 - Alimentatore stabilizzato 800 mA 12 Vcc	L. 3.850	Kit N. 38 - Alim. stab. variabile 4-18 Vcc con protezione S.C.R. 3A	L. 12.500
Kit N. 12 - Alimentatore stabilizzato 800 mA 15 Vcc	L. 3.850	Kit N. 39 - Alim. stab. variabile 4-18 Vcc con protezione S.C.R. 5A	L. 15.500
Kit N. 13 - Alimentatore stabilizzato 2A 6 Vcc	L. 7.800	Kit N. 40 - Alim. stab. variabile 4-18 Vcc con protezione S.C.R. 8A	L. 18.500
Kit N. 14 - Alimentatore stabilizzato 2A 7,5 Vcc	L. 7.800	Kit N. 41 - Temporizzatore da 0 a 60 secondi	L. 7.500
Kit N. 15 - Alimentatore stabilizzato 2A 9 Vcc	L. 7.800	Kit N. 42 - Termostato di precisione al 1/10 di grado	L. 9.500
Kit N. 16 - Alimentatore stabilizzato 2A 12 Vcc	L. 7.800	Kit N. 43 - Variatore crepuscolare in alternata con fotocellula	L. 5.500
Kit N. 17 - Alimentatore stabilizzato 2A 15 Vcc	L. 7.800	Kit N. 44 - Variatore crepuscolare in alternata con fotocellula	L. 12.500
Kit N. 18 - Riduttore di tensione per auto 800 mA 6 Vcc	L. 2.500	Kit N. 45 - Luci a frequenza variabile 8.000 W	L. 17.500
Kit N. 19 - Riduttore di tensione per auto 800 mA 7,5 Vcc	L. 2.500	Kit N. 46 - Temporizzatore profess. da 0-45 secondi, 0-3 minuti, 0-30 minuti	L. 18.500
Kit N. 20 - Riduttore di tensione per auto 800 mA 9 Vcc	L. 2.500	Kit N. 47 - Micro trasmettitore FM 1 W	L. 6.500
Kit N. 21 - Luci a frequenza variabile 2.000 W	L. 12.000	Kit N. 48 - Preamplificatore stereo per bassa o alta impedenza	L. 19.500
Kit N. 22 - Luci psichedeliche 2000 W canali medi	L. 6.500	Kit N. 49 - Amplificatore 5 transistor 4 W	L. 5.500
Kit N. 23 - Luci psichedeliche 2.000 W canali bassi	L. 6.900	Kit N. 50 - Amplificatore stereo 4+4 W	L. 9.800
Kit N. 24 - Luci psichedeliche 2.000 W canali alti	L. 6.500	Kit N. 51 - Preamplificatore per luci psichedeliche	L. 7.500
Kit N. 25 - Variatore di tensione alternata 2.000 W	L. 4.300		
Kit N. 26 - Carica batteria automatico regolabile da 0,5A a 5A	L. 16.500		
Kit N. 27 - Antifurto superautomatico professionale per casa	L. 28.000		

Per le caratteristiche più dettagliate dei Kits vedere i numeri precedenti di questa Rivista.

I PREZZI SONO COMPRESIVI DI I.V.A.

Assistenza tecnica per tutte le nostre scatole di montaggio. **Già premontate 10% in più.** Le ordinazioni possono essere fatte direttamente presso la nostra casa. Spedizioni contrassegno o per pagamento anticipato oppure sono reperibili nei migliori negozi di componenti elettronici. Cataloghi e informazioni a richiesta inviando 450 lire in francobolli.

un marker allo 0,004%

Edoardo Tonazzi

In regime di austerità anche in elettronica è giusto cercare di risparmiare ed ecco il perché di questo generatore, « marker » in inglese, che pur avendo una discreta precisione, pari a circa lo 0,004 %, è poco costoso.

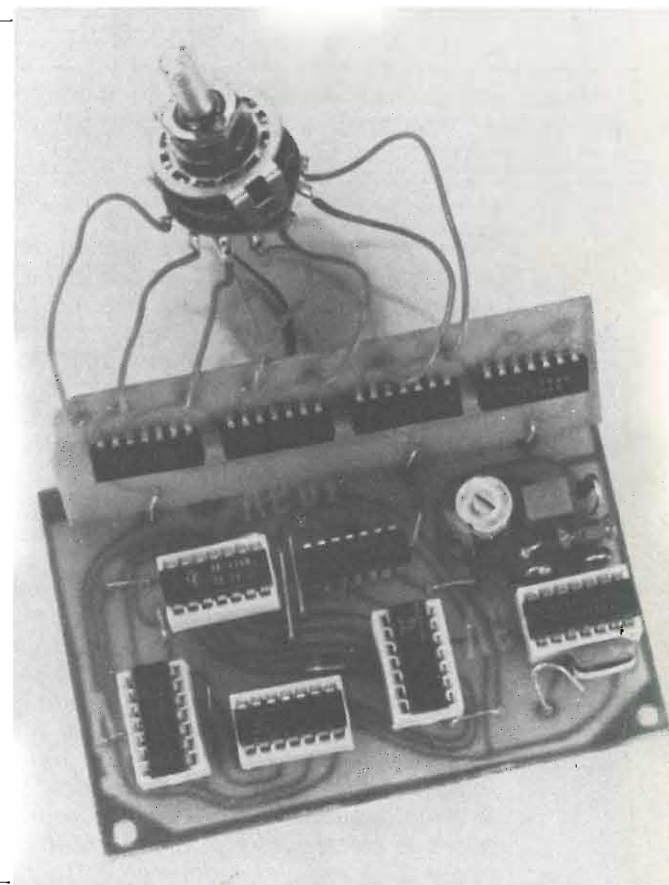


figura 1

Foto del generatore di segnali di tipo simmetrico, completo di stadi divisorii. Il commutatore serve a scegliere la frequenza preferita.

La soluzione dell'equazione prezzo-prestazioni la si è trovata nei cristalli ceramici, da pochi anni in commercio a basso prezzo.

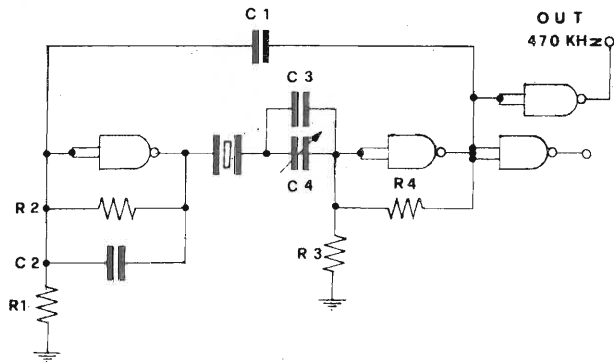
Infatti, in ogni generatore che si rispetti si lavora con un oscillatore pilotato, ma i quarzi adatti a frequenze campioni non sono molto economici e non è ancora possibile realizzare un oscillatore libero che sia sufficientemente preciso, a basso prezzo.

Ecco dunque come entrano in causa i noti filtri ceramici Murata reperibili un po' ovunque.

Poiché inoltre se si vuole una gamma di frequenze campioni, la cosa più comoda è che siano di valori tondi o meglio multiple di dieci, la cosa più conveniente è stato ricorrere alla logica digitale.

figura 2

Circuito oscillatore pilotato da un cristallo ceramico.



Come si vede in figura 2, usando della logica TTL la serie 74 che ben si presta a questo scopo, si realizza l'oscillatore con un 7400.

Tuttavia, poiché si utilizza un filtro ceramico è stato necessario fare sì che i due cristalli di cui esso è composto siano in parallelo, e che affinché la « deviazione » sia minima, siano caricati nella maniera ottimale.

Questo fine lo si è raggiunto con una adatta rete di pilotaggio per l'integrato e ponendo in serie al cristallo un compensatore di adeguato valore e di ottime caratteristiche che verrà tarato al momento della messa a punto in modo tale che il segnale generato sia proprio 470 kHz.

Qui giunti si pone il problema dei segnali sottomultipli; questo lo si può risolvere rapidamente con un divisore per 47 ottenuto con due 7493 in cascata, ovvero servendosi di sette bistabili Master-Slave di tipo T, e sfruttando per il resettaggio all'ultimo impulso di conteggio, un « and » a quadruplo ingresso ottenuto col 7420, e l'uscita del trentaduesimo bit.

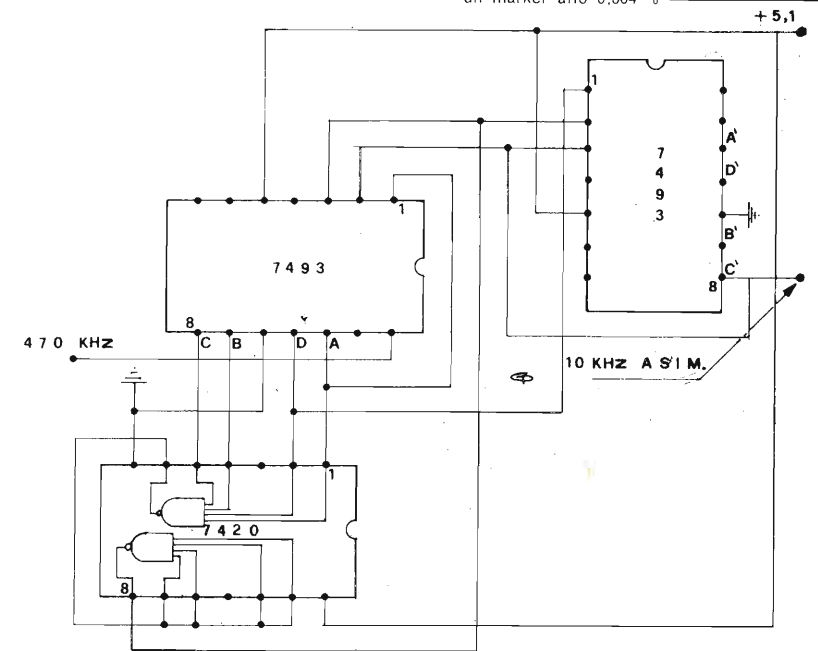
Con questo circuito sussiste però un altro problema, quand'anche si prelevi il segnale di uscita relativo al sesto bistabile, si otterrà sì un segnale a 10 kHz, ma di precisione e duttilità non adeguate alle proprie necessità; giacché indipendentemente dalla forma d'onda generata dall'oscillatore, l'uscita a bassa frequenza avrà dei fronti d'onda asimmetrici, l'inferiore infatti sarà il doppio del superiore.

A questo punto occorrendo un segnale a 10 kHz simmetrico, la cosa migliore è stata quella di completare il circuito con una soluzione circuitale che a 23,5 impulsi modifichi il fronte d'onda d'uscita.

Si è ottenuto ciò sfruttando metà 7420, espandendolo con due porte « nand », dotandolo così di sei ingressi, e ricorrendo al bistabile inutilizzato di uno dei due 7493.

figura 3

Divisore per 47 con segnale di uscita di tipo asimmetrico.



Infatti, poiché il bistabile è un Master-Slave coll'impulso giusto, si può alzare il livello di uscita, che ritornerà a zero con l'impulso di reset globale.

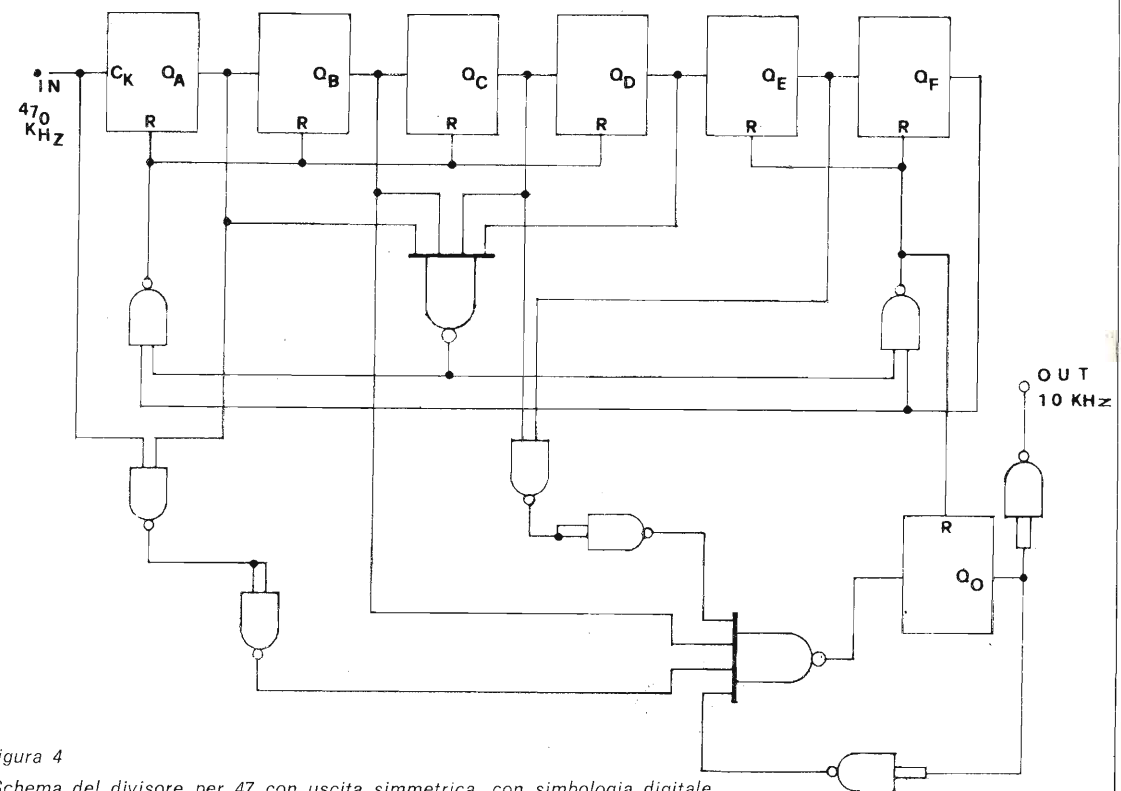


figura 4

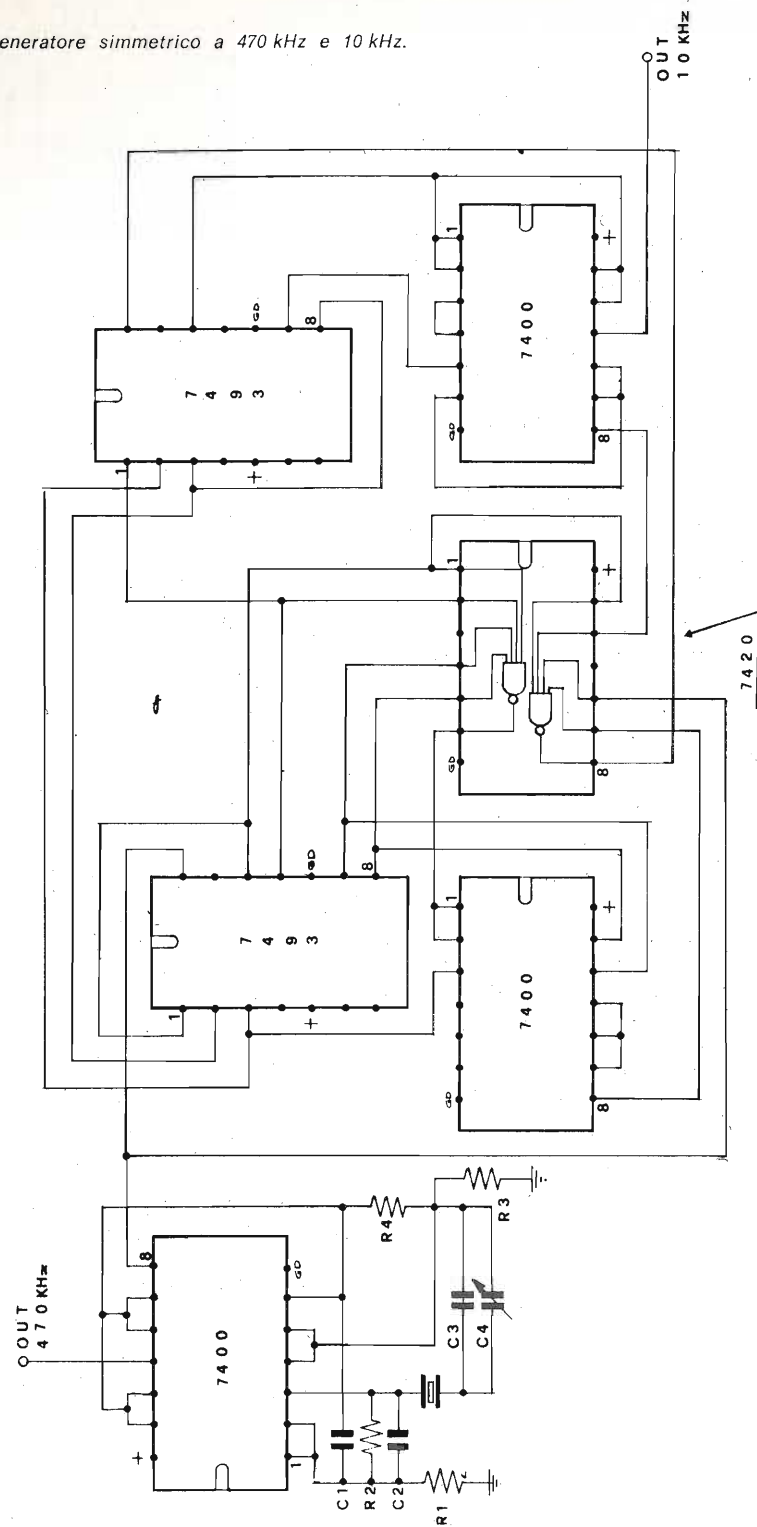
Schema del divisore per 47 con uscita simmetrica, con simbologia digitale.

figura 5

Schema circuitale completo del generatore simmetrico a 470 kHz e 10 kHz.

R_1 , 1 k Ω , 5 %
 R_2 , 1,8 k Ω , 5 %
 R_3, R_4 , 2,7 k Ω , 5 %

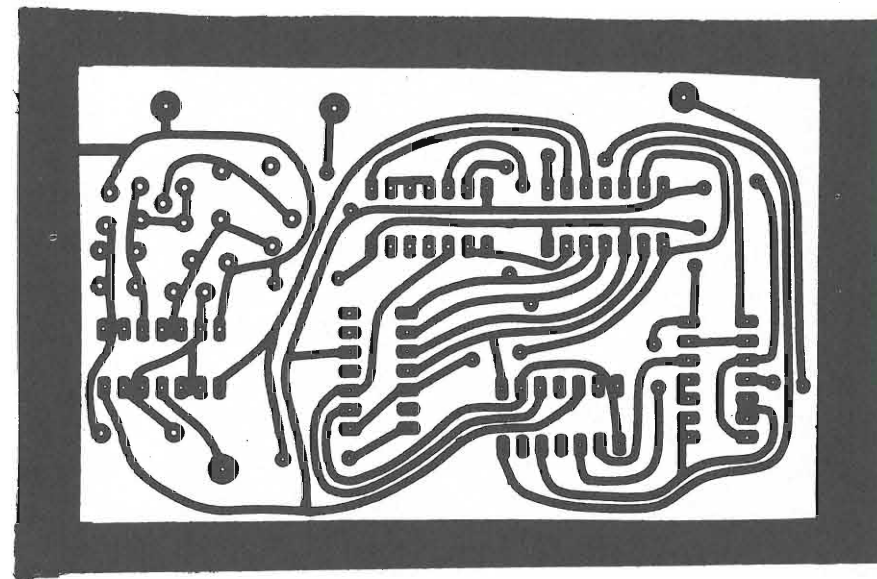
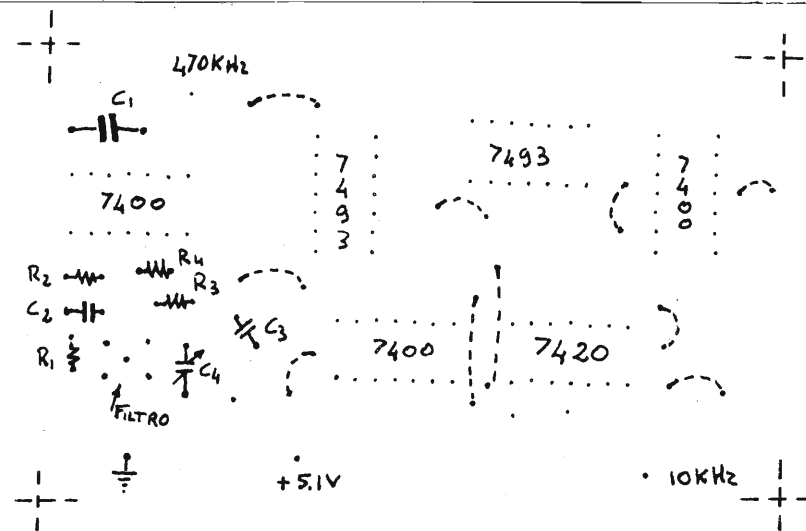
C_1 , 0,1 μ F
 C_2 , 1,8 nF, NPO
 C_3 , 22 pF, NPO
 C_4 , 10-40 pF



Per meglio chiarire il concetto di precisione è da tener presente che quanto più piccolo è l'errore commesso dai divisori tanto più preciso sarà il segnale all'uscita; di qui segue che se si vuole una uscita a 1 Hz simmetrico, converrà dividere un segnale quanto più simmetrico possibile, di frequenza elevata e molto stabile.

figura 6

Circuito stampato dello schema di figura 5. Misure reali.

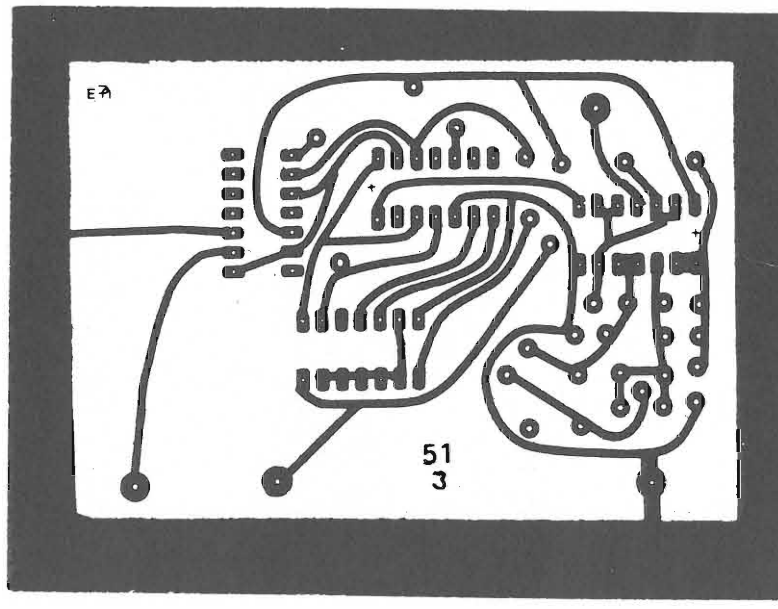


E' ovvio che sulla precisione del segnale generato influiranno anche la temperatura ambientale e la tensione di alimentazione; perciò è bene non porre l'apparato in ambienti troppo caldi o freddi, mentre l'alimentazione dovrà essere ottimamente stabilizzata. E' evidente che lo strumento andrà realizzato con la tecnica del circuito stampato, su vetronite, per ottenere una ottima stabilità meccanica del tutto.

In figura 7 ho riportato anche il circuito stampato del generatore con diviso-
re asimmetrico; penso possa essere utile a chi non serva uno strumento
più complesso.

figura 7

Circuito stampato dello
schema delle figure 2 e 3.



Dalle foto (figure 1 e 9) è possibile vedere il circuito « simmetrico » prov-
visto di ulteriori divisori, in particolare si possono notare, oltre agli in-
tegrati, il filtro ceramico e i condensatori.

Come utile complemento del generatore a 10 kHz è possibile realizzare un
comunissimo divisore simmetrico con quattro 7490, che permette di otte-
nere segnali con fronti simmetrici a 1 kHz, 100 Hz, 10 Hz, 1 Hz e asim-
metrici a 2 kHz, 200 Hz, 20 Hz, 2 Hz.

Di questo circuito penso possa bastare solo il circuito stampato che ripor-
ta anche i punti da cui andranno prelevati i suddetti segnali (figura 8).

figura 8

Circuito stampato,
lato del rame,
del divisore da aggiungere
al generatore a 10 kHz.

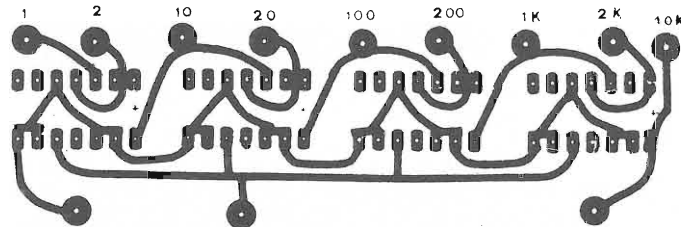
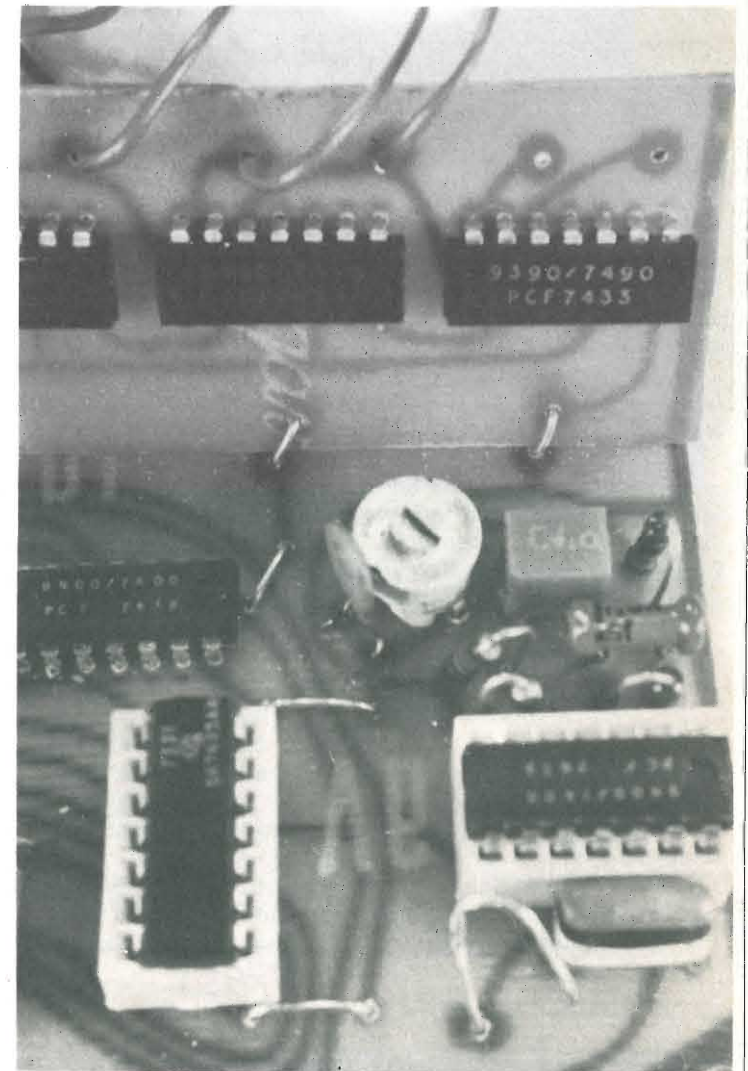


figura 9

E' ben visibile in questa foto
tutto lo stadio oscillatore del generatore.
Si notino i ponticelli realizzati,
con filo stagnato, tra le varie piste;
e il sistema con cui si è collegato il circuito
dei successivi divisori.



Mi auguro di essere stato abbastanza esauriente, comunque un attento
sguardo alle foto può chiarire altri eventuali dubbi sull'aspetto pratico del
montaggio dell'apparato; per la inevitabile taratura dell'oscillatore con-
siglio di servirsi di un ottimo frequenzimetro digitale. * * * * *

Arrivano gli EBS e la Ambifonia

ing. Gianvittorio Pallottino

EBS = TUBO ELETTRONICO A SEMICONDUTTORI

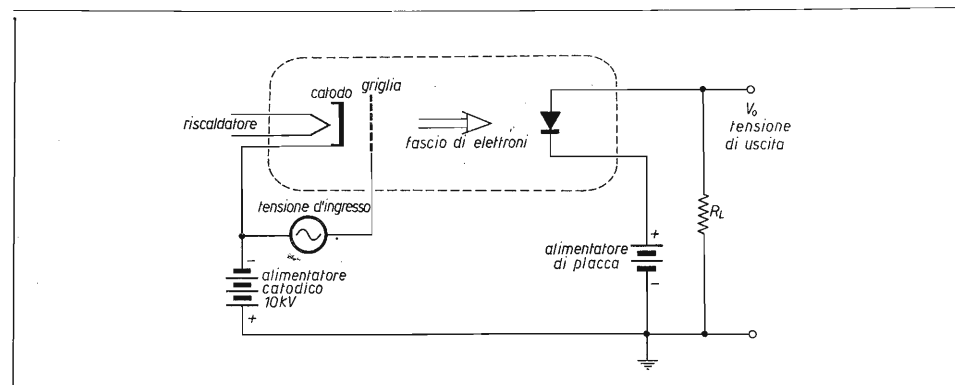
Che i semiconduttori si stiano diffondendo in tutti i settori dell'elettronica è un fatto ben noto, ma che giungessero a diffondersi persino all'interno dei tubi elettronici, questo non era previsto!

I dispositivi EBS (semiconduttori bombardati mediante elettroni), recentemente sviluppati negli USA, rappresentano un felice matrimonio tra tubi elettronici e semiconduttori.

Con gli EBS si sono ottenute prestazioni particolarmente buone dal punto di vista del prodotto banda-guadagno e del tempo di salita, rispetto ai dispositivi confrontabili attualmente impiegati.

Per esempio, si è utilizzato un EBS per realizzare un modulatore ottenendo una uscita di 800 V in meno di 1 ns, cioè con una velocità di salita di un milione di volt per milionesimo di secondo.

Il tipo fondamentale di dispositivo EBS è una specie di triodo, la cui placca è però costituita da un diodo a semiconduttore che viene bombardato dagli elettroni emessi dal catodo e nel quale hanno luogo effetti di moltiplicazione.



Lo schema di un EBS è illustrato in figura: gli elettroni emessi dal catodo arrivano sul diodo a gran velocità grazie all'alta differenza di tensione tra catodo e diodo.

Il diodo è polarizzato inversamente e quando un elettrone lo colpisce nella zona di transizione, si genera una coppia elettrone-lacuna che aumenta la corrente inversa del diodo.

Perché ciò accada l'elettrone in arrivo deve perdere circa 4 V, ma siccome possiede un'energia di 10 kV è chiaro che per un solo elettrone in arrivo dal catodo ne circola almeno un migliaio nel circuito del diodo.

Vi sono anche altre versioni di EBS, per esempio del tipo a onde migranti (TWT), e si prevede che in pochi anni questi dispositivi, molto semplici nella loro struttura, si affermeranno, soprattutto nelle applicazioni di potenza a radiofrequenza.

* * *

DAL QUADRASONICO ALL'AMBISONICO

Un gruppo di ricercatori delle università inglesi di Reading e Oxford ha sviluppato una nuova tecnica HiFi, denominata « Ambisonics ».

E' noto il sistema quadrasonico, in cui il suono di un'orchestra viene diviso in quattro parti secondo certe regole e fornito all'ascoltatore dai quattro angoli di una stanza.

Nel sistema ambisonico, invece, il suono è riprodotto in modo da ricostruire il suono originale, come ascoltato in un certo punto della sala, compresi gli echi e gli altri effetti.

Troppo spesso infatti nella riproduzione stereofonica e quadrasonica si ha la netta impressione che il suono provenga dalle sorgenti sonore e non si riesce a ricavare la sensazione originale.

Con il sistema ambisonico si utilizza in registrazione un sistema di quattro microfoni direzionali a cardiode, che sono sistemati praticamente nello stesso punto.

Le loro facce sono però allineate secondo le facce di un tetraedro (*) rovesciato, in modo da raccogliere i suoni secondo quattro direzioni che formano tra loro il medesimo angolo.

Come poi i segnali così raccolti vengano utilizzati in pratica, cioè in qual modo vengano combinati ed elaborati per alimentare poi il sistema di altoparlanti, non è stato ancora rivelato.

E' stato fatto però un notevole lavoro di psico-acustica allo scopo di riprodurre i segnali in modo che un ascoltatore riceva i suoni come se provenissero da tutte le direzioni.

Il risultato ottenuto in pratica è una riproduzione perfetta fino a 500 Hz. Alle frequenze superiori, in cui la testa dell'ascoltatore non è più trascurabile rispetto alla lunghezza d'onda, la riproduzione non è più perfetta dal punto di vista fisico ma la sensazione è del tutto soddisfacente dal punto di vista psicofisico grazie alle tecniche di correzione impiegate. * * *

(*) Definizione geometrica del tetraedro: dicesi tetraedro il contenitore tetrapak del latte...

CAMPIONATO HRD/SWL 1975

Nei giorni 4 e 5 ottobre avrà luogo il VK/ZL Contest.

I relativi log potranno essere chiesti a Ermanno Pazzaglia - casella postale 3012 - Bologna allegando L. 100 in francobolli.

Dovranno essere inviati allo stesso, debitamente compilati, entro il 3 novembre.

Il punto sui calcolatori tascabili

Giancarlo Zagarese e Paolo Martini

Tutti noi che ci interessiamo di elettronica abbiamo visto con segreto piacere la nascita e la commercializzazione dei piccoli calcolatori elettronici.

Per alcuni forse si trattava di un piacere epidermico dovuto al fatto che l'elettronica, in una sua nuova realizzazione, era sempre più presente nella vita di ogni giorno, per altri di una segreta aspirazione a possedere una Macchina che fosse in grado di imitare le terrificanti prestazioni del computer, per altri ancora significava l'inizio della fine della schiavitù dalla carta e matita e da qualche scorticata calcolatrice meccanica di seconda mano.

Ancora una volta, però, l'elettronica non solo ha tenuto fede alle promesse ma, come al solito, le ha completamente superate.

È successo infatti che il poveretto che guardava con animo lieve uno o due uccelli che arrivavano da oltre mare nel radioso sole di una nuova alba, si sia improvvisamente accorto di essere completamente circondato da un numero spaventoso di uccellini, uccelli e uccellacci peggio ancora che in un film di hitchcockiana memoria.

... completamente circondato da un numero spaventoso...



E non basta! in mano probabilmente stringe un vecchio uccello spennacchiato e spiumato, spesso pagato a caro prezzo, mentre nel cuore cova un'ira profonda dovuta al fatto che i minicalcolatori, unici in questi tempi, hanno l'incredibile faccia tosta non solo di migliorare le caratteristiche, ma anche di diminuire il prezzo.

Ecco quindi gli articolisti, novelli uccellatori, cercare di incasellarli in gabbie diverse e distinte.

Si può tentare una classificazione degli uccelli — pardon — dei minicalcolatori in funzione del modo di presentazione dei risultati elaborati, oppure in funzione delle dimensioni/peso e del tipo di alimentazione o anche, cosa a nostro parere più interessante, in funzione delle capacità operative.

*

1° tipo di classificazione: salvo pochissime eccezioni che hanno delle scriventi su rotolo o su piccoli supporti cartacei, la stragrande maggioranza dei minicalcolatori presenta i risultati solo per la lettura.

Il display ha un numero di cifre che varia da sei a dodici; spesso le macchine possono però operare con un maggiore numero di cifre che non vengono visualizzate.

Il superamento della capacità di calcolo viene indicato sul display da appositi simbolismi.

La classificazione dovrebbe tenere conto del tipo di display utilizzato, ossia nixie, panaplex, sette segmenti, LED, cristalli liquidi, che presentano una migliore o peggiore visibilità in ambiente illuminato e/o a distanza.

L'unica utilità di una classificazione del genere è però soltanto nella identificazione della anzianità di progetto della macchina, che, salvo la necessità di particolari applicazioni, può valutarsi dall'ordine in cui sono stati elencati i display stessi.

*

2° tipo di classificazione: dimensioni, peso e tipo di alimentazione.

Le tre caratteristiche sono state riunite in quanto le prime due sono funzione della terza.

L'ingombro e il peso degli LSI a partire dal primo TMS1802 (Texas) è veramente minimo, per cui è il tipo di alimentazione che identifica se un calcolatore può o no essere considerato tascabile.

A) Alimentazione a pile con a volte una presa esterna per collegamento a un alimentatore da rete, a volte fornito insieme al calcolatore.

Questo tipo di calcolatore ha quasi sempre il vantaggio di una estrema maneggevolezza e piccolezza ma può presentare a nostro parere i seguenti svantaggi sui quali è bene informarsi prima di procedere all'acquisto:

- difficoltà di lettura per piccolezza o, peggio, scarsa luminosità del display;
- difficile maneggevolezza dei tasti di impostazione cifre e operatori con conseguente alta possibilità di errori in ingresso;
- difficoltà di reperimento delle pile utilizzate; questo solo per pochi modelli in quanto la maggior parte impiega le AAA;
- autonomia relativamente scarsa, almeno per un uso piuttosto intenso della macchina;
- possibilità di deterioramento della macchina per fuoriuscita di liquidi dalle pile utilizzate (sono soprattutto esposti i contatti della tastiera);
- possibilità di mal funzionamento se in uso con l'alimentatore esterno auto-costruito, spesso di non elevate caratteristiche per ragioni di costo (a questo proposito gli articolisti si sentono vivamente in dovere di consigliare al posto di un alimentatore auto-costruito una semplice scatola di pile di capacità più elevata).



... difficoltà di lettura ...

B) Alimentazione da rete.

Sono i cosiddetti calcolatori da tavolo che evitano tutti gli svantaggi connessi con l'alimentazione a pile. A nostro parere trovano una scarsa collocazione di mercato, in quanto per il tipo di lavoro richiesto finiscono per subire una violenta concorrenza dagli ormai molti modelli di calcolatori elettronici scriventi.

C) Alimentazione ad accumulatori ricaricabili.

E' probabilmente il sistema migliore in quanto l'alimentatore da rete, generalmente progettato con cura, è impiegabile in alternativa all'uso degli accumulatori a seconda delle esigenze del momento. Anche questo sistema presenta degli svantaggi:

- costo talora notevolmente più elevato;
- spesso se non quasi sempre il minicalcolatore deve essere alimentato esclusivamente con uno dei due sistemi, mentre sarebbe preferibile anche la possibilità di alimentazione con le comuni pile per evitare di trovarsi con il calcolatore inutilizzabile (con gli accumulatori scarichi e lontano dalla rete di alimentazione).

Prima di passare al terzo e più interessante tipo di classificazione gli articolisti vogliono fare una considerazione.

I minicalcolatori ereditano dai vecchi modelli delle calcolatrici meccaniche i tasti di introduzione cifre e i tasti operativi, ma mentre dei sani e robusti tasti erano indispensabili nel caso di azionamento meccanico non si vede perché debbano essere lasciati, per giunta resi sempre più mini, sopra i minicalcolatori. Sarebbero naturalmente più comodi altri sistemi, come contatti a sfioramento lungo i lati della macchina, o anche dispositivi di contatto tra piastrine e una specie di puntale collegato al circuito.

Pensiamo che si sia un po' nella situazione delle prime barche di plastica che avevano la carena ricopiata « pari pari » dalle barche di legno, venature comprese, salvo poi a essere sostituite da barche a carena liscia più facili da fare e migliori nell'uso pratico.

3° tipo di classificazione: la classificazione in funzione delle capacità operative è quella che deve guidare l'acquirente o l'utilizzatore in funzione delle sue specifiche esigenze di calcolo presenti o probabili in futuro. La classificazione può essere proposta come segue:

- A) Macchine che eseguono le quattro operazioni fondamentali e null'altro.
- B) Macchine che oltre le quattro operazioni fondamentali eseguono anche altre operazioni, tipicamente il calcolo della percentuale, e che siano almeno dotate di un registro di memoria.
- C) Macchine cosiddette « scientifiche » che intendono sostituire il regolo calcolatore (su queste ci dilungheremo nel corso dell'articolo in quanto riteniamo che per le loro caratteristiche siano quelle di maggior interesse per i lettori della rivista).
- D) Macchine dotate di programmazione: si è in questo caso in presenza di autentici computers nonostante le ridotte dimensioni.

Prima di scendere nei dettagli dei vari tipi di minicalcolatori esistenti è bene premettere una partizione del tutto generale, e cioè far notare che le macchine possono operare o con la logica cosiddetta algebrica oppure con la logica di Lukasiewicz detta anche notazione inversa polacca.

Senza addentrarci nei particolari delle due diverse notazioni matematiche vediamo come esse influenzano le manovre operative delle diverse macchine: nella notazione algebrica c'è bisogno di premere il tasto di uguale (=) allorché si voglia completare una operazione, mentre nella notazione inversa polacca il risultato è implicitamente ottenuto premendo uno dei tasti operativi; valga ai fini esplicativi il seguente esempio:

algoritmo	notazione algebrica	notazione inversa polacca
3+	introdurre numero	3
2=	premere tasto	(+)
	introdurre numero	2
5	premere tasto	(=)
	→ Sul display appare	5

Ai fini pratici, per identificare quale tipo di logica la macchina adoperi, è spesso sufficiente controllare se vi sia o meno la presenza del tasto di « uguale » e provare a eseguire una semplice operazione di moltiplicazione; per inciso ricordiamo che la manovra per introdurre il primo operando, — tasto ENTER (↑), tipico della notazione inversa polacca, è spesso assolta nelle piccole macchine dal tasto di addizione.

A) Macchine che eseguono le quattro operazioni fondamentali. Riportiamo, senza nessuna pretesa di completezza, alcuni modelli commerciali: Plustronic 636; Sinclair Cambridge; Texas TI2000; Toshiba BC0808.

In queste macchine sono presenti i seguenti comandi: interruttore di accensione, tasto di annullamento registri, gli undici tasti di introduzione cifre e virgola, i quattro tasti delle operazioni fondamentali ed eventualmente il tasto di uguale se operano con la notazione algebrica semplice.

Questo tipo di calcolatore presenta il vantaggio del prezzo più basso e nonostante la limitatezza dei tasti operativi è in grado di compiere un formidabile numero di calcoli purché sia impiegato da una persona che abbia un po' di conoscenza di matematica e che sappia come risolvere solo con le operazioni fondamentali radici, valori di polinomi, funzioni trigonometriche, ecc.

E' appena il caso di far notare che la rapidità di calcolo delle macchine permette l'uso di algoritmi alternativi che normalmente sono inusabili per il tempo richiesto dal loro svolgimento.

Naturalmente l'esperto sa già queste cose; quelli che lo sono un po' meno si abbiano una promessa: un articolo specifico su tali metodi di calcolo.

B) *Macchine con qualche cosa in più.*

Riportiamo, senza nessuna pretesa di completezza, alcuni modelli commerciali: Asaki AE8, AE12M, AE1204M; CBC Minicom; Canon LE80M, LE81; Kaltron 1008P, 1008M; Litton Royal RC83, RC86M; Mallory VIP10; Minolta Minolcom; Sharp 814; Sinclair Executive, Memory; Tesak Syrtis; Texas TI1500, TI2500, TI2550, TI3500, TI4000; Toshiba BC1217A; Unitrex 1200; Virofax 8MP.

Dopo le macchine che potremmo tranquillamente definire « spartane », troviamo un grosso gruppo di macchine che, naturalmente con aggravio di costo, offrono un certo numero delle sottoelencate caratteristiche.

COSTANTE (tasto K): nei calcolatori con notazione algebrica il tasto K permette di non reinserire il secondo operatore; opera sempre sulle operazioni di moltiplicazione e di divisione, ma in qualche tipo di calcolatore anche sulla somma e sulla sottrazione. Le macchine con notazione inversa polacca ne sono logicamente prive. Il tasto K permette di calcolare rapidamente le potenze con esponente sia negativo che positivo e risulta comodo se si debbano fare molte operazioni ripetitive con un numero costante (per esempio lunghezze di circonferenze con diversi raggi: $r_1; r_2; r_3; \dots r_n$ moltiplicato 2π). Con le dovute accortezze matematiche e ricordando il tipo di logica con cui la macchina opera si può impiegare il tasto K come un registro di accumulo intermedio.

PERCENTUALE (tasto %): il tasto è particolarmente comodo nel caso di catene di percentuali (per esempio in noti negozi di elettronica si può finalmente sapere rapidamente qual'è il prezzo da pagare se la cassiera dice: « C'è lo sconto del 25 % + il 10 %, però deve pagare l'Iva del 12 % »: $L \cdot 10.000 - 25\%$; risultato + $12\% \equiv L \cdot 10.000 - 24,4\% = L \cdot 7.560$).

CANCELLAZIONE DEGLI ZERI NON SIGNIFICATIVI: il calcolatore non visualizza sul display gli zeri non significativi (per esempio 361,190000000 diventa 361,19, realizzando un certo risparmio di energia — il display succhia succhia...

VIRGOLA MOBILE: il calcolatore presenta la caratteristica di poter troncare a una certa cifra decimale i calcoli (per esempio V.M. posizione 2 il numero 19,1141 viene troncato in 19,11). La proprietà è comoda allorché con calcoli finanziari si debba via via estrarre risultati parziali, in modo da non trovarsi poi una approssimazione diversa al termine della quadratura.

REGISTRO DI MEMORIA (tasto immagazzinamento STO oppure M; tasto richiamo RCL oppure MR): i calcolatori sono provvisti di un vero e proprio registro di memoria in cui possono essere conservati, fin quando la macchina è accesa, un numero di digits generalmente uguali ma anche superiore a quello del display. Il registro di memoria è una autentica comodità, in quanto usando un minicalcolatore ben presto ci si accorge che l'operazione più antipatica e anche più faticosa di errori è quella di trascrivere a penna dei risultati parziali; rende inoltre particolarmente agevoli molti degli algoritmi matematici derivati dalle serie che normalmente vengono impiegati per calcolare radici, funzioni trascendenti, ecc. Questi vantaggi sono a volte accresciuti dalla presenza dei tasti $M+$ e $M-$ che permettono rispettivamente di aggiungere o sottrarre un numero direttamente nel registro di memoria e sono particolarmente comodi nel caso di calcoli che implicano l'accrescimento algebrico di una lunga somma (per esempio il tipico lavoro di cassa).

Al termine di questo elenco e prima di passare a una categoria un po' atipica, gli articolisti si sentono in dovere di raccomandare un attento controllo del costo; infatti tra le ditte è in atto una vera e propria guerra dei prezzi per cui a volte regalano e a volte si fanno pagare fin troppo bene anche una sola delle caratteristiche che siamo venuti via via elencando.

B bis) E' una classe atipica: si tratta di macchine che spesso sono propagandate come scientifiche, ma che a parere degli articolisti non hanno la caratteristica che fa di un minicalcolatore un vero e proprio regolo calcolatore.

Questi minicalcolatori atipici posseggono dei tasti con cui sono in grado di eseguire alcuni tra i più semplici algoritmi in uso nei calcoli tecnici come ad esempio: $1/x; \sqrt{x}; x^2$; alcune funzioni trascendenti, ecc. ma mancano della notazione esponenziale.

C) *Macchine cosiddette scientifiche.*

Riportiamo, senza nessuna pretesa di completezza, alcuni modelli commerciali: Aristo; Canon F5; Hewlett-Packard HP35, HP45; Litton Royal ESR35; Sinclair Scientific; Texas SR10, SR11, SR50.

Sono le macchine chiamate dagli americani « Slide rule » in quanto assolvono vere e proprie funzioni di regolo calcolatore.

Chi è costretto a calcoli tecnico-scientifici opera normalmente con numeri molto grandi e molto piccoli che però hanno generalmente poche cifre significative. (per esempio, per calcolare una tipica frequenza di risonanza):

$$f = \frac{1}{2\pi \sqrt{L \cdot C}}$$

per $\left\{ \begin{array}{l} C = 250 \text{ pF} \\ L = 500 \text{ } \mu\text{H} \end{array} \right.$

si ha:

$$f = \frac{1}{2\pi \sqrt{0,000\,000\,000\,250 \cdot 0,000\,500}} = \dots \approx 450.000 \text{ Hz}$$

In questo caso e in tutti i casi simili è molto più conveniente usare la cosiddetta notazione esponenziale, in cui i numeri vengono comunque considerati come prodotti di potenze positive o negative di 10.

Ripetendo in notazione esponenziale l'esempio precedente diventa:

$$f = \frac{1}{2\pi \sqrt{250 \cdot 10^{-12} \cdot 500 \cdot 10^{-6}}} = \frac{1}{2\pi \sqrt{1250 \cdot 10^{-16}}} \approx \frac{10^8}{222} \approx 450 \cdot 10^3 \text{ Hz}$$

Il regolo calcolatore e i minicalcolatori, a questo livello mini solo per le loro dimensioni esterne, operano seguendo questo metodo.

Nelle macchine con notazione esponenziale sono presenti all'estrema destra del display tre digit che sono riservati al segno e a due cifre per l'esponente ed è presente in tastiera un tasto (E oppure EX) che premuto alle cifre permette di introdurre l'esponente.

Queste macchine coprono generalmente il terrificante spazio operativo di 200 decenni, ossia da 10^{-99} a 10^{+99} e non hanno difficoltà a trattare valori espressi in farad delle capacità di uso comune di un condensatore.

Non tutte le cifre sono significative, ma anche nel più piccolo dei minicalcolatori sono almeno cinque in confronto delle tre, al massimo quattro, di un comune regolo; inoltre rispetto al regolo vi è la comodità dell'indicazione contemporanea dell'esponente.

Alcune di queste macchine operano con la notazione esponenziale rigida, in cui solo una cifra può essere impostata come intero (per esempio $219,45 \times 10^{+29}$ diventa necessariamente $2,1945 \times 10^{+31}$) come nel caso della Sinclair Scientific; altre più costose sono in grado di lavorare in virgola mobile che passa automaticamente in notazione esponenziale allorché si supera il numero di cifre contenute nel display.

Per inciso si ricorda che anche alcune macchine con minore potenza di calcolo, descritte nei gruppi A e B, posseggono uno spazio operativo che va da 10^{-20} a 10^{+80} — quelle con l'integrato LSI C550 della G.I. e impiegano sistemi di divisione e moltiplicazione successiva per ripescare le cifre significative, in quanto senza digit specifici per l'esponente.

Premessi i necessari chiarimenti sulla logica interna di calcolo di questi minicalcolatori scientifici, vediamo quali sono le cose calcolabili con la pressione di uno o due tasti — già siccome sanno fare troppe cose, spesso non c'è lo spazio materiale per poter mettere in tastiera tutti i tasti necessari, per cui si ricorre all'artificio di un tasto giallo o, che so, verdastro che va premuto prima del tasto operativo in modo da abilitare la seconda funzione.

Per esempio nella HP45, premendo il tasto \ln si ha il logaritmo naturale di x, premendo il tasto giallo e successivamente il tasto \ln si ha il $\log_{10}x$.

I tasti comuni a tutti i tipi di macchine scientifiche sono: interruttore di alimentazione, cancellazione dei registri, introduzione di cifre e virgola, introduzione esponente, operatori delle quattro operazioni fondamentali e per quelle con notazione algebrica anche quello di uguale. Tasti che possono essere presenti — gli articolisti consigliano però di non farsi affascinare dalle novelle circe, se non da quelle indispensabili perché, ah! per ogni funzione in più il prezzo sale, sale...

- tasto di introduzione di costanti (tipicamente π);
- tasti di introduzione e richiamo per il o i registri di memoria;
- tasti di algoritmi algebrici (tipicamente: $1/x$; x^2 ; \sqrt{x} ; %);
- tasti di algoritmi trascendenti (tipicamente: $\log_{10}x$; $\ln x$; 10^x ; e^x ; y^x);
- tasti di funzione trigonometrica (tipicamente: $\sin x$; $\cos x$; $\tan x$, e loro inverse); le macchine più semplici operano solo con i gradi espressi in radianti mentre le più complesse possono operare con i gradi sessagesimali e sessagesimali nonché eseguire le conversioni relative;
- tasti di funzioni iperboliche (tipicamente: $\sinh x$; $\cosh x$; $\tanh x$, e loro inverse);
- tasti di trasformazione tra coordinate polari e cartesiane e viceversa;
- tasto di calcolo di fattoriale;
- tasto di trasformazione da notazione decimale in ottale;
- tasto di ecc. ecc. ecc. ...

C bis) Ricordiamo che esistono, sempre con notazione esponenziale, anche alcune macchine che posseggono algoritmi specifici per i calcoli finanziari.

D) Macchine dotate di programmazione. Riportiamo, senza alcuna pretesa di completezza, alcuni modelli commerciali: CompuCorp 324G, 326; Hewlett Packard HP65.

Eccoci nel regno lontano e fatato, in cui variabili e algoritmi, forsennati disturbatori della nostra povera mente, diventano dolci e tranquilli servitori, dandoci i risultati richiesti dopo non molti millisecondi.

Che grossa comodità avere a disposizione una macchina programmabile, per giunta tascabile!

Troppo spesso chi opera in campo elettronico ha bisogno di una lunga sequenza di calcoli per poter arrivare a un risultato, salvo poi a dover ricominciare perché, forse, era meglio partire da dei parametri un po' diversi da quelli di inizio. In tutti questi casi, come d'altronde in tutti i casi che richiedono un alto numero di ripetizioni dello stesso tipo di calcolo, si apprezza la comodità e la sicurezza di una macchina programmabile.

Che cosa fanno queste macchine programmabili? Praticamente tutto ciò che fanno le loro sorelle minori del gruppo C, ma in più hanno la possibilità di memorizzare una lunga sequenza di algoritmi e di eseguirli, allorché, introdotti i dati iniziali, si preme il tasto di « inizio esecuzione programma ».

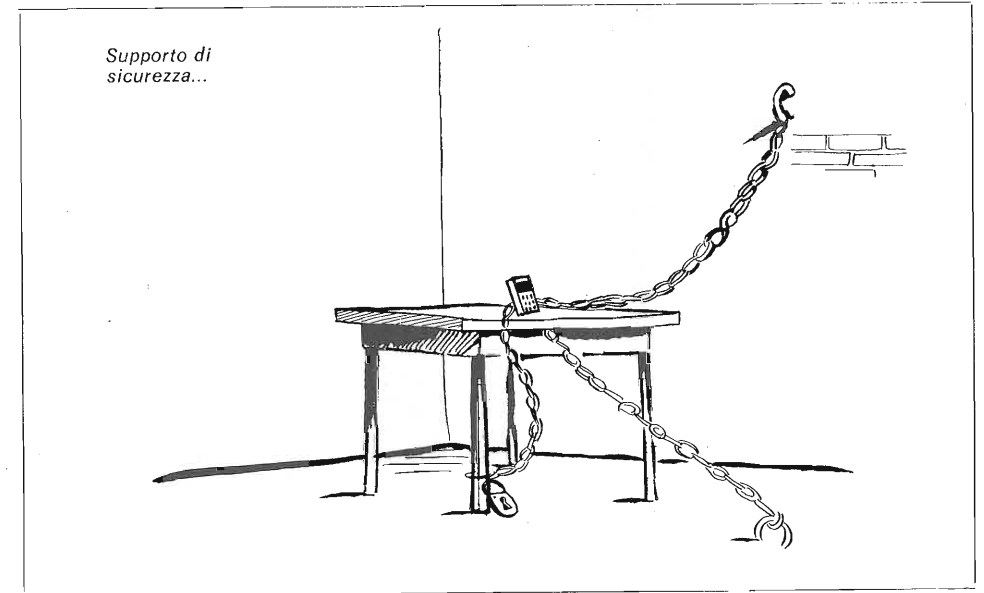
Esistono due tipi di macchine programmabili: quelle con programma che viene distrutto allo spegnimento della stessa, e quelle che hanno la possibilità di « scrivere » un programma su di un piccolo supporto magnetico in modo da poterlo « rileggere » all'atto della riaccensione.

Il secondo tipo ha l'ulteriore vantaggio di poter conservare una « biblioteca » di programmi in poco spazio, un po' come la riserva di cassette di musica per il mangianastri quando si va in gita al mare.

Il paragone con le cassette può essere spinto oltre, infatti è possibile tagliare un angolino della scheda in modo da garantirla contro la involontaria cancellazione ed è possibile acquistare delle schede con programmi preregistrati di cui ci permettiamo di riportare qualche titolo attinente allo scibile elettronico: « circuiti risonanti serie e parallelo, attenuatori a T e a π , progetto di filtri passabanda, effetto pelle e fattore Q, progetto di trasformatori, conversione tra parametri S e Y, progetto di circuiti di alimentazione, conversioni di dB, serie di Fourier, dissipatori... ».

Sentiamo distintamente i sospiri dei lettori!

Svantaggi (che faccia tosta, vero?): la descrizione degli svantaggi può essere condensata nella obbligatorietà dell'acquisto di accessori come il « 82007 » (per i calcolatori della HP), così descritto: « Supporto di sicurezza. E' il sistema più semplice per evitare che il calcolatore vi sparisca dalla scrivania. E' fornito completo di cavo d'acciaio lungo due metri ».



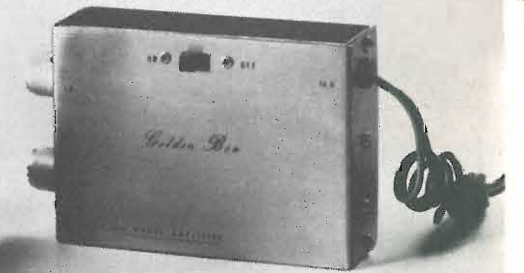
A questo punto, nell'augurare che l'elettronica ci porti ancora nuove e più mirabili cose, non resta altro da fare che darci appuntamento per un prossimo articolo. * * * * *

sei esigente...?

il tuo amplificatore lineare è un ELECTROMECC solid state



AR 27-S
35W output



GOLDEN BOX
15W output

Spedizione contrassegno - ELECTROMECC s.p.a. - via D. Comparetti, 20 - 00137 Roma - tel. (06) 8271959

Oscillatore a rilassamento ultrastabile

Leandro Panzieri

La principale causa di instabilità in frequenza degli oscillatori a UJT sta nel fatto che la loro resistenza interbase R_{b1b2} varia notevolmente con la temperatura. Il presente circuito è insensibile alle variazioni termiche grazie all'azione di «bootstrap» realizzata facendo retroagire la tensione esistente ai capi di C_1 (prelevata tramite Q_1 e Q_2 , connessi in Darlington per avere alto guadagno e alta impedenza di ingresso) sulla base b_2 di UJT mediante uno zener compensato.

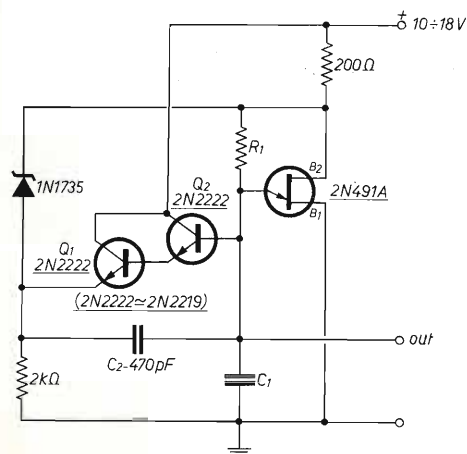
Caratteristiche:

- tensione di alimentazione: 10 ÷ 18 V;
- frequenza del segnale di uscita: prefissabile utilizzando la relazione

$$f = \frac{1 - \eta}{\eta} \cdot \frac{1}{R_1 C_1}$$

dove η è un parametro caratteristico dell'UJT impiegato;

- stabilità: -0,05 % quando la temperatura passa da 0 °C a 55 °C; 0,5% per una variazione della tensione di alimentazione pari al 100 %;
- per una uscita a 60 Hz, C_1 deve essere maggiore di 1 nF e R_1 deve avere un valore compreso tra 10 k Ω e 50 k Ω .



Note sui componenti.

Il diodo zener 1N1735 è un elemento compensato termicamente.

I transistori possono essere sostituiti con altri di caratteristiche analoghe senza che le prestazioni del circuito vengano degradate apprezzabilmente.

La stabilità del segnale di uscita dipende moltissimo dalle caratteristiche di R_1 e C_1 .

E' consigliabile che R_1 sia un elemento a film metallico con tolleranza del 1% e che C_1 sia un condensatore al tantalio.

Al fine di non perturbare il circuito, è bene che l'uscita veda un carico più elevato possibile. * * * * *

Bibliografia

M.J. Debronsky (KDJ Labtron Corp., Dayton, Ohio).

Alimentatori & C. a go - go

(segue dal n. 8/75)

ing. Sergio D'Alimonte e Vittorio Borelli

Alimentatore stabilizzato a parzializzazione

Lo scopo di questo articolo è di proporre un tipo di alimentatore la cui particolarità risiede nel gruppo di regolazione realizzato a interruzione (parzializzazione).

La presentazione del progetto vero e proprio, che costituisce la seconda parte dell'articolo, è preceduta da una esposizione teorica abbastanza ampia che, oltre a descrivere la struttura e il funzionamento di questa classe di alimentatori, introduce alcuni concetti e alcune considerazioni importanti ai fini della progettazione.

Nella seconda parte si illustrano brevemente le soluzioni circuitali adottate e i criteri seguiti nel dimensionamento di alcuni componenti fondamentali; questi conferisce al progetto una certa elasticità, rendendo possibile l'effettuazione di alcune modifiche.

Regolatori tipo serie

I regolatori di tensione più comunemente usati sono del tipo a caduta; il loro schema di principio, riportato in figura 1, mette in evidenza due blocchi:

1) un elemento di regolazione in serie, con la funzione di creare una caduta di tensione;

2) un circuito di controllo in retroazione, che rileva lo scostamento della tensione d'uscita dal valore voluto e agisce sull'elemento di regolazione in modo tale da compensare l'errore.

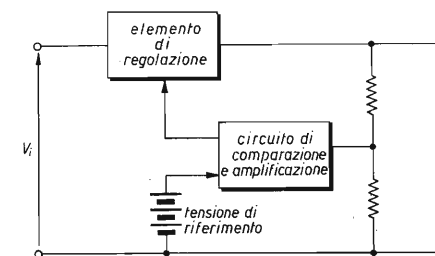
Generalmente si usa come elemento di regolazione un transistor di potenza. Tale soluzione presenta numerosi vantaggi quali, ad esempio, la semplicità di realizzazione e l'efficienza della regolazione, ma ha anche il sostanziale svantaggio consistente nel fatto che la caduta di tensione è ottenuta mediante un fenomeno di tipo dissipativo.

Nei casi in cui è importante limitare la dissipazione di calore (e quindi la potenza perduta) si preferisce utilizzare come elemento di regolazione un circuito a parzializzazione (switching regulator).

Il parzializzatore presenta l'indubbio vantaggio di creare una caduta di tensione mediante un fenomeno reattivo, quindi tipicamente non dissipativo.

figura 1

Schema a blocchi di un regolatore tipo serie.



Il parzializzatore

Il circuito di principio del parzializzatore, riportato in figura 2, è composto essenzialmente di un condensatore C, un induttore L, un diodo D, un interruttore S; quest'ultimo commuta periodicamente con periodo T, costante, risultante dalla somma di un periodo di chiusura (t_{on}) e di un periodo di apertura (t_{off}).

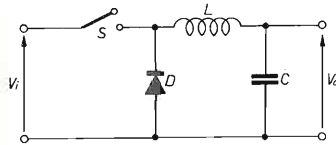


figura 2

Schema di principio del parzializzatore.

Vediamo in breve il funzionamento del circuito: durante t_{on} il diodo D non conduce e l'induttore, trovandosi in serie al carico, si carica. Durante t_{off} l'induttore, dovendosi scaricare, costringe D a condurre e viene quindi a trovarsi in parallelo al carico.

Poiché il diodo funziona praticamente come un interruttore in opposizione di fase rispetto a S, ai suoi capi è presente una tensione rettangolare; la funzione del circuito LC è di filtrare tale tensione, livellandola attorno al valor medio

$$V_o = V_i \frac{t_{on}}{T} \quad (1)$$

Dall'espressione (1) risulta evidente che si può ottenere il controllo della tensione di uscita agendo sul tempo di conduzione dell'interruttore. La formula (1) (legge del parzializzatore in regime stazionario) è ricavabile anche in modo rigoroso, imponendo che l'incremento subito dalla corrente dell'induttore durante t_{on} ($\Delta_1 I_L$) sia uguale al decremento subito dalla stessa durante t_{off} ($-\Delta_2 I_L$) e facendo l'ipotesi preliminare che sia V_i che V_o si mantengano costanti per la durata di T:

$$\Delta_1 I_L = \frac{1}{L} (V_i - V_o) t_{on}$$

$$\Delta_2 I_L = -\frac{1}{L} V_o t_{off}$$

L'ipotesi fatta ha molta importanza dal punto di vista pratico, perchè risulta tanto più vera quanto maggiore è C (per quanto riguarda V_o) e quanto minore è T (per quanto riguarda V_i).

Tale osservazione fornisce un criterio pratico sia per il dimensionamento di C, che dovrà essere sufficientemente grande, sia per la scelta di T, che dovrà essere molto minore del periodo di ondulatione della tensione di rete (10 msec).

Circuito di regolazione

Ai fini di descrivere il modo in cui si ottiene la regolazione della tensione e di studiare la stabilità del regolatore, è conveniente rappresentare l'intero circuito in termini di schema a blocchi; ciascun blocco rappresenta sinteticamente una parte di circuito.

Dall'esame dello schema si può notare che la regolazione avviene mediante un circuito di controreazione.

Osserviamo che una frazione della tensione di uscita (V_o) viene prelevata mediante un partitore e confrontata con una tensione di riferimento (V_r).

La differenza di tensione risultante dal confronto, opportunamente amplificata (blocco 5), costituisce il parametro errore (E), che deve agire sull'elemento di regolazione.

I blocchi 6 e 7 servono sostanzialmente per evidenziare il modo in cui si ottiene una dipendenza lineare del tempo di chiusura dell'interruttore (t_{on}) dall'errore E.

Notiamo infatti che al valore di E viene sommata un'onda a forma di dente di sega (con valor medio nullo), avente periodo T e ampiezza V_d ; il tutto, applicato a un circuito a soglia (tensione di soglia = V_s), permette di ottenere sull'uscita del blocco 7 degli impulsi rettangolari di ampiezza V_i e periodo uguale a quello del dente di sega.

E' intuitivo che la durata degli impulsi viene così a dipendere da E, risultando variabile tra 0 e T; il legame è espresso dalla formula

$$\frac{t_{on}}{T} = \frac{E + V_d/2 - V_s}{V_d}$$

che può essere semplificata ponendo $V_s = V_d/2$

$$\frac{t_{on}}{T} = \frac{E}{V_d}$$

La successione di impulsi così ottenuta va a comandare l'interruttore S di figura 2, realizzando in tal modo il controllo sulla tensione di uscita.

V_i è ancora da notare che la presenza del blocco 2 è giustificata dal fatto che il blocco 1 non tiene conto del comportamento dinamico (cioè in regime non stazionario) del parzializzatore; comportamento che risulta caratterizzato dalla presenza del filtro LC (passa basso) e che va tenuto in considerazione nello studio della stabilità.

La teoria dei controlli insegna che uno dei parametri più significativi ai fini dello studio sull'efficacia della regolazione e sulla stabilità di un circuito retroazionato è il guadagno d'anello, inteso come il prodotto dei guadagni di ciascuna parte del circuito formante l'anello di reazione. La schematizzazione fatta e la conoscenza del funzionamento (funzione di trasferimento) di ogni blocco ci permette di calcolare facilmente tale parametro, che, nel nostro caso, per frequenze inferiori alla frequenza di taglio del circuito LC, assume la forma

$$G = H A \frac{V_i}{V_d}$$

G = guadagno d'anello
H = guadagno del partitore
A = guadagno dell'amplificatore

essendo trascurabile l'effetto del blocco 2.

Poiché la reiezione del ripple alla frequenza di rete risulta essere direttamente proporzionale al guadagno d'anello, è evidente che converrebbe rendere G molto elevato.

D'altra parte considerazioni sulla stabilità del circuito consigliano di non spingere G oltre certi limiti.

Osserviamo infatti che il filtro LC, per frequenze superiori a quella di taglio, introduce nell'anello di reazione sia un'attenuazione che uno sfasamento; quest'ultimo rende la reazione pressoché positiva per frequenze elevate.

L'innesco di un'oscillazione permanente a tali frequenze può essere evitato solo se l'attenuazione del filtro è maggiore del guadagno complessivo

dei restanti blocchi sull'anello. In figura 3 è riportata la funzione di trasferimento dell'anello e il relativo diagramma delle fasi.

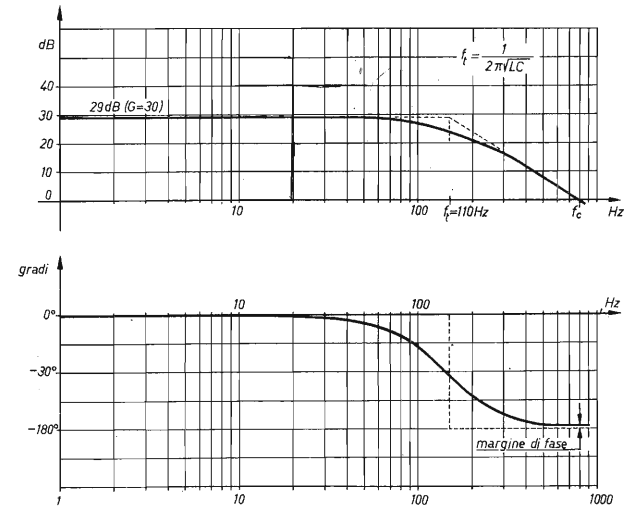


figura 3

Diagramma di Bode della funzione di trasferimento d'anello (andamento qualitativo sotto carico)

Una possibile realizzazione

L'esposizione a carattere teorico fin qui svolta, oltre ad essere importante per la comprensione del funziona-

mento dell'alimentatore, costituisce anche l'indispensabile premessa per la traduzione in termini circuitali dello schema a blocchi di figura 4.

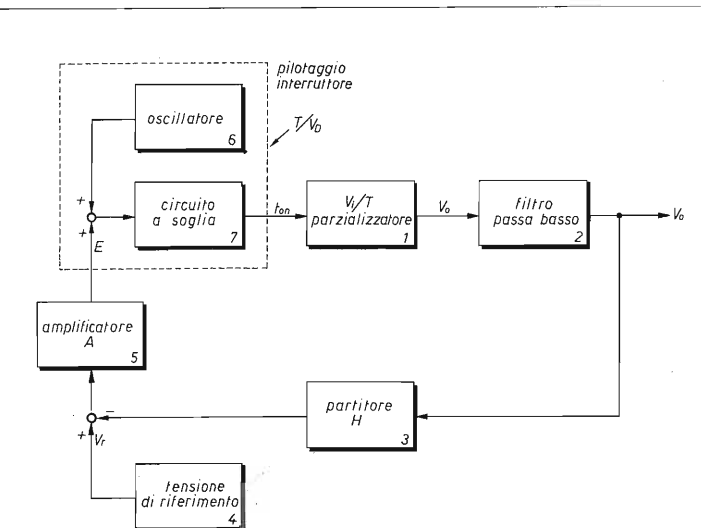
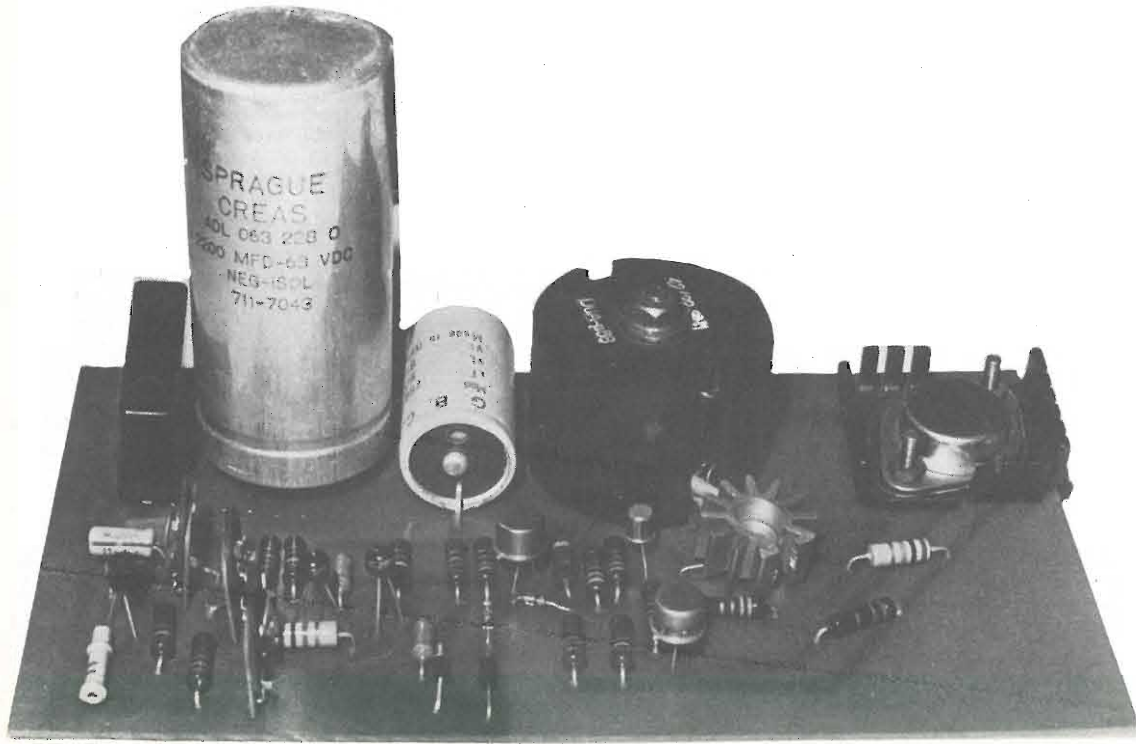


figura 4

a) Schema a blocchi

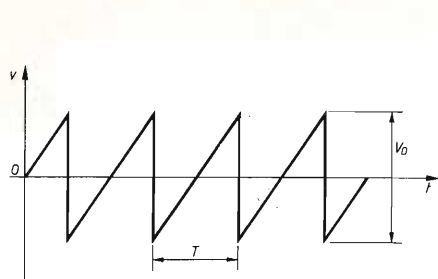


figura 4
b) Forma d'onda all'uscita del blocco 6.

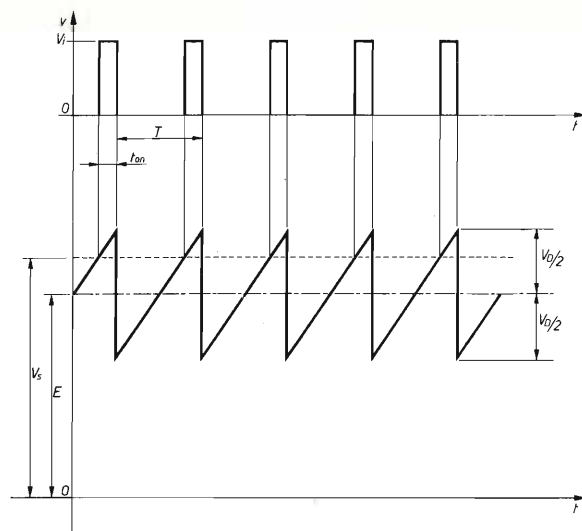


figura 4
c) Forma d'onda in ingresso e in uscita del blocco 7.

Molte sono le soluzioni che si possono praticamente adottare; essendo inutile esaminarle tutte, si farà riferimento al circuito di figura 5, corrispondente a quello del prototipo realizzato. I requisiti che ci siamo proposti di ottenere sono riportati a lato.

- corrente di carico max 1 A
- tensione nominale di uscita 20 V (+40% ÷ -20%)
- ripple alla frequenza di commutazione 0,01%
- ripple alla frequenza di rete 0,2%
- tempo di risposta della regolazione <2 msec

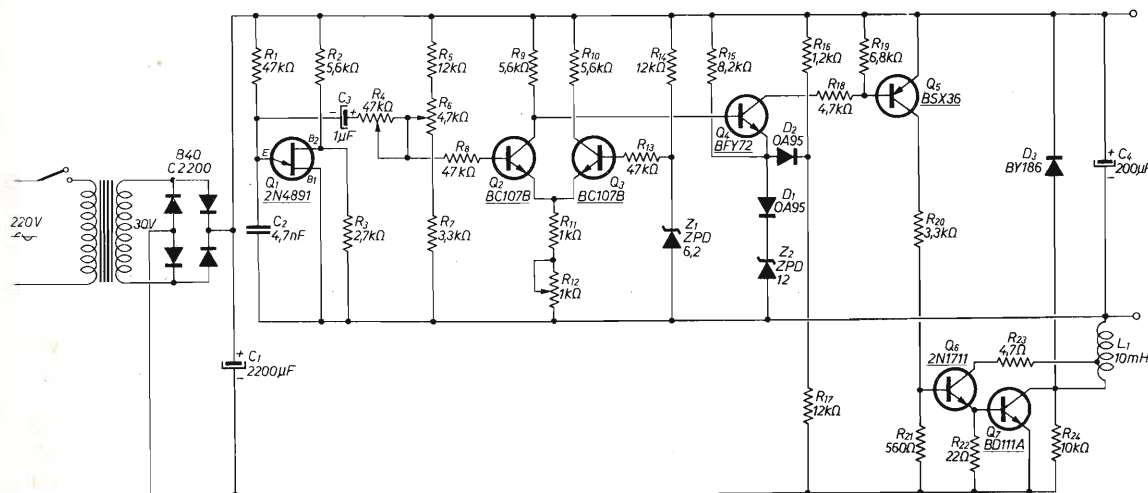


figura 5
1) L'induttore L_1 è stato realizzato su nucleo a olla Philips P42/29 con $\mu_r = 68$, avvolgendo 174 spire di filo di rame smaltato da 0,8 mm. La presa intermedia è stata ricavata alla 30ª spira del collettore di Q_7 .
2) D_1 va munito di aletta di raffreddamento.
3) Tutte le resistenze sono da 1/2 W al 5%.

Per quanto riguarda la scelta di T e di G, che risulta, entro certi limiti, arbitraria, abbiamo imposto:

$$T = 50 \mu\text{sec} \quad G = 30$$

tenendo presenti le osservazioni precedentemente fatte su questi parametri.

Analizzando lo schema elettrico di figura 5, osserviamo innanzitutto che il parzializzatore vero e proprio è costituito dai componenti C_4 , D_3 , L_1 , Q_7 , Q_8 . I due transistori Q_7 e Q_8 realizzano elettronicamente l'interruttore e sono stati collegati in un circuito Darlington modificato, che permette a Q_7 di saturare.

L'induttanza di L_1 è stata massimizzata (tenendo presenti le caratteristiche del nucleo), in modo tale da minimizzare l'ondulazione di corrente; infatti

$$|\Delta I_{L \max}| = \frac{V_o}{L} T$$

E' opportuno realizzare l'induttore su nucleo in ferrite, possibilmente a olla, che permetta di ottenere un'induttanza dell'ordine di una decina di millihenry senza saturare alla massima corrente di carico prevista.

Il valore di C_4 è stato determinato imponendo che l'ondulazione di tensione alla frequenza di commutazione in uscita (ΔV_o) fosse uguale o inferiore a quanto richiesto dalle specifiche

$$\Delta V_o \approx \frac{V_o T^2}{8 LC}$$

Nel dimensionamento di C_4 si è inoltre evitato di scegliere un valore tale da far cadere la frequenza di taglio del filtro LC al di sotto di 100 Hz (frequenza del ripple di rete) per non rendere inefficace il filtraggio (di tipo attivo) realizzato dal regolatore.

Il diodo D_3 deve essere un diodo veloce ($t_r < 1 \mu\text{s}$) in grado di portare una corrente diretta dell'ordine della massima corrente di carico.

L'oscillatore a dente di sega con periodo di 50 μsec , che fornisce la temporizzazione al parzializzatore, è stato realizzato in modo semplice, mediante un transistor unigiunzione, posto in un classico circuito a rilassamento.

L'oscillazione, sommata alla frazione di V_o presente sul partitore R_5 , R_6 , R_7 , viene applicata all'amplificatore differenziale, che opera il confronto con la tensione di riferimento (Z_1) e amplifica l'errore.

Il trimmer R_4 va regolato in modo tale che sul collettore di Q_2 il dente di sega abbia un'ampiezza uguale a 2 V.. Segue un circuito a soglia, realizzato con un transistor BFY72 e uno stadio di pilotaggio dei transistori di switch. I diodi D_1 , D_2 e le resistenze R_{10} , R_{11} costituiscono un semplice circuito di start automatico, che manda in conduzione il transistor di switch durante il transitorio iniziale.

Per coloro che fossero interessati alla realizzazione del circuito, possiamo aggiungere che eventuali sostituzioni di componenti non sono particolarmente critiche.

Una considerazione a parte va fatta per il diodo e il transistor di commutazione, che devono essere sufficientemente veloci.

L'induttore del prototipo è stato realizzato su nucleo della Philips, a olla, tipo P42/29, con $\mu_r = 68$, reperibile presso la ditta Virtec di Milano.

Alcune considerazioni

Le misure effettuate hanno dimostrato la buona efficienza del prototipo e una sostanziale concordanza delle caratteristiche con i valori teoricamente previsti; in particolare abbiamo rilevato che la dissipazione di potenza da parte del transistor di commutazione è molto contenuta, tanto che è

stato sufficiente munire lo stesso di un'aletta di ridotte dimensioni. Probabilmente è possibile ottenere risultati migliori aumentando il guadagno d'anello e la frequenza di commutazione, va però detto che, anche spingendo le caratteristiche al limite, è impensabile ottenere, da circuiti di questo tipo, prestazioni comparabili con quelle di un buon regolatore serie a transistor.

In sostanza, come si è già detto, il maggiore vantaggio di un regolatore a parzializzazione consiste nella dissipazione molto limitata.

Poiché tale vantaggio diventa tanto più sensibile quanto maggiori sono le potenze in gioco, riteniamo che, ridimensionando opportunamente il circuito presentato, si potrebbe ottenere un progetto di un certo interesse pratico per tutti coloro che avessero il problema di dover alimentare un complesso di notevole potenza. * *

ing. Livio Zucca

Un alimentatore stabilizzato che non dissipa

(Switching power supply)

Ciò che voglio presentarvi in queste pagine non è il solito rimpasto, perfezionamento o peggioramento del classico alimentatore stabilizzato che ormai sanno fare anche i bambini, ma è un circuito che funziona in base a un principio diverso, leggermente più sofisticato. Non è una novità in assoluto, questo no, ma sono in pochi a conoscerlo, e ancora più rari coloro che sanno esattamente come funziona.

Consiglio la lettura a tutti coloro che si sono interessati agli alimentatori tradizionali e che ne hanno realizzato magari qualche prototipo.

Ho voluto realizzare appositamente una soluzione circuitale la più semplice possibile, affinché risultasse comprensibile a tutti. Afferrato il concetto potrete sbizzarrirvi a complicarlo e completarlo, così come è successo con quelli tradizionali.

Principio di funzionamento

Per linearità di trattazione vorrei soffermarmi due secondi sul principio di funzionamento di un alimentatore stabilizzato tradizionale onde scoprire, per successivo confronto, pregi, difetti e differenze rispetto allo « switching power supply ».

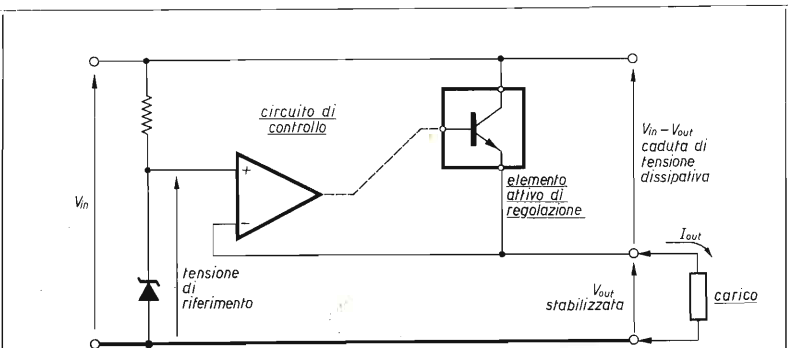


figura 1
Schema di principio di un alimentatore stabilizzato tradizionale.

Nell'alimentatore tradizionale si ottiene, da un potenziale più elevato, una tensione di uscita stabilizzata, tramite una caduta di tensione dissipativa. La figura 1 schematizza il funzionamento: il circuito di controllo confronta la tensione di uscita con una tensione di riferimento e varia la conduzione dell'elemento attivo di regolazione in modo tale da far tendere la tensione di uscita al valore di quella di riferimento. L'elemento attivo di regolazione assorbe la caduta di tensione ($V_{in}-V_{out}$) ed è percorso da quasi tutta la corrente di uscita I_{out} che scorre nel carico; quindi dissipa la potenza

$$I_{out} (V_{in}-V_{out})$$

tanto maggiore quanto più grande è la differenza tra la tensione di uscita e quella di ingresso.

Tale elemento attivo di regolazione è costituito in genere da uno o più transistori di potenza, montati su grandi dissipatori termici, i quali danno all'alimentatore l'aspetto di un termosifone, più che di una apparecchiatura elettronica.

In regime di austerità sprecare tanta energia è un vero delitto, oltre al fatto che una soluzione tecnicamente più elegante è senza dubbio auspicabile. Facciamo un esempio numerico per chiarirci le idee in modo quantitativo. Supponiamo di voler alimentare un circuito che funzioni a 5 V e assorba 2 A (potrebbe essere un circuito formato da integrati logici).

Supponiamo inoltre di avere a disposizione una fonte di tensione pari a 24 V, come in realtà disponiamo, ad esempio, su taluni automezzi.

Ottenere 5 V da 24 con un alimentatore stabilizzato tradizionale significa, nel migliore dei casi, per una corrente di uscita di 2 A, utilizzare una potenza di $5 \times 2 = 10$ W e sprecare una potenza pari a $(24-5) \times 2 = 38$ W!

In questo caso cercare una soluzione migliore è un dovere. E la soluzione esiste ed è anche abbastanza semplice concettualmente: è sufficiente realizzare una caduta di tensione non dissipativa.

Ma come fare? Osserviamo il circuitino di figura 2.

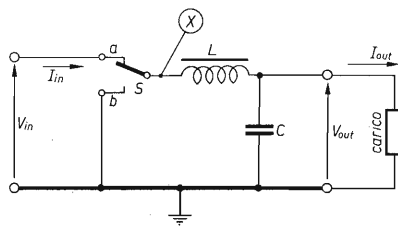


figura 2

Schema di principio.

Il commutatore « S » si porta alternativamente sulla posizione « a » e sulla posizione « b », generando al punto « X » una forma d'onda rettangolare

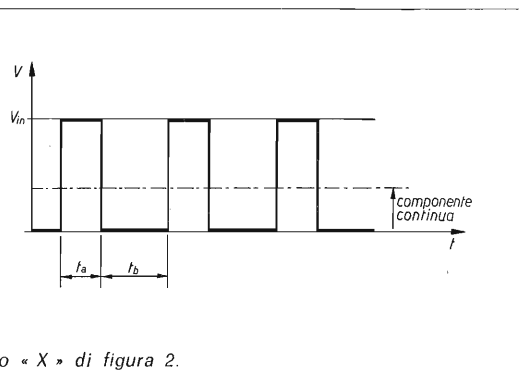


figura 3

Forma d'onda al punto « X » di figura 2.

Il valore di questa componente continua dipende da quanto tempo il commutatore rimane sulla posizione « a » rispetto alla posizione « b », come si può osservare sulla figura 3.

Ora se noi applichiamo al punto « X » un filtro passa-basso LC, otteniamo in uscita una tensione continua pari alla componente continua della forma d'onda rettangolare e poiché nel circuito non abbiamo inserito alcun componente resistivo, abbiamo realizzato una caduta di tensione non dissipativa. Questo è il primo principio su cui si basa il funzionamento dello « switching power supply ».

Potrete notare da un semplice calcolo, o anche solo intuitivamente, che la corrente di ingresso I_{in} è minore della corrente I_{out} che scorre nel carico.

Risulta inoltre lampante che variando il rapporto tra i tempi « t_a » e « t_b », varierà la tensione di uscita. Quindi, similmente agli alimentatori stabilizzati tradizionali, se confrontiamo la tensione di uscita con una tensione di riferimento in modo da correggere automaticamente i tempi « t_a » e « t_b », otterremo un alimentatore che, oltre a non dissipare energia termica, sarà anche stabilizzato.

Il circuito

A questo punto la difficoltà non è più concettuale, ma esclusivamente circuitale.

Bisognerà ricavare una tensione di riferimento, collegare un comparatore di errore, realizzare una reazione opportuna, ma soprattutto realizzare elettronicamente il commutatore « S ». Così nasce lo schema definitivo di figura 4.

Compiamo ancora una fatica: cerchiamo di seguire dettagliatamente lo schema.

avente un valore picco-picco pari a V_{in} e una componente continua minore di V_{in} .

L_1, C_4 costituiscono il filtro passa-basso LC di uscita.

Q_2, Q_3, D_1 costituiscono il commutatore « S ». La chiusura « a » è garantita dal darlington Q_2, Q_3 . E' stata scelta la configurazione darlington per ottenere una bassa potenza nei circuiti di pilotaggio. La chiusura « b » è garantita semplicemente dal diodo D_1 per la seguente ragione: quando Q_2, Q_3 si interdicono, la tensione ai capi dell'induttanza tende a ribaltarsi e il diodo D_1 si polarizza automaticamente in modo diretto.

Q_1, R_6, R_7 : circuito di pilotaggio del darlington. Il transistor Q_1 si trova o in conduzione o in interdizione e quindi anch'esso funziona da interruttore.

C_3, R_4 circuito di accoppiamento tra l'uscita del comparatore e la base del transistor Q_1 . Il condensatore C_3 serve per aumentare la velocità di commutazione di Q_1 .

R_1, D_{z1}, C_2 tensione di riferimento. Può essere realizzata in molti altri modi; questo è il più semplice. Il condensatore C_2 è indispensabile a evitare indesiderati accoppiamenti.

C_1 attenua la componente alternata di I_{in} derivante dalla commutazione di Q_2, Q_3, D_1 . E' indispensabile per il corretto funzionamento dell'alimentatore.

A, R_2, R_3, R_5 costituiscono il comparatore che confronta la tensione di uscita con la tensione di riferimento. A differenza del comparatore che esiste in un alimentatore stabilizzato tradizionale, questo non lavora in linearità, bensì la sua uscita si trova sempre saturata o verso l'alimentazione positiva o verso massa, a seconda che la tensione di uscita tenda rispettivamente a diminuire o ad aumentare. R_3 serve a conferire al sistema una piccola isteresi in grado di stabilizzare l'oscillazione.

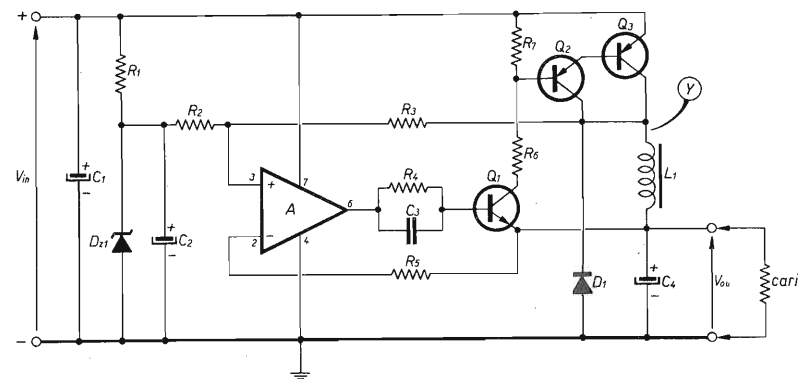


figura 4

Schema finale.

- R_1 1,5 k Ω
- R_2 1 k Ω
- R_3 470 k Ω
- R_4 2,2 k Ω
- R_5 1 k Ω
- R_6 390 Ω
- R_7 100 Ω
- tutte da 1/2 W al 5 %
- C_1 400 μ F, 40 V, elettrolitico
- C_2 10 μ F, 12 V, elettrolitico (vedi testo)
- C_3 2,7 nF, ceramico
- C_4 100 μ F, 12 V, elettrolitico (vedi testo)
- L_1 0,35 mH (vedi testo)

- Q_1 2N1711
- Q_2 TIP31 Texas
- Q_3 TIP33 Texas (con dissipatore da 3÷5 W)

D_1 BYX61200 Motorola oppure 1N3879 Sescosem (con dissipatore da 3÷5 W)

D_{z1} diodo zener da 5,1 V, 400 mW

A amplificatore operazionale tipo μ A748 (L148)

figura 5

Forme d'onda di tensione e di corrente

Le più interessanti sono: quella di tensione al punto « Y » (figura 4) e quelle di corrente nel diodo D_1 , nel transistor Q_3 e nell'induttore L_1 . Le vediamo rispettivamente nelle figure 5-a), b), c), d) ricavate sperimentalmente all'oscilloscopio per una tensione di alimentazione di 24 V e una corrente di uscita di 2,15 A.

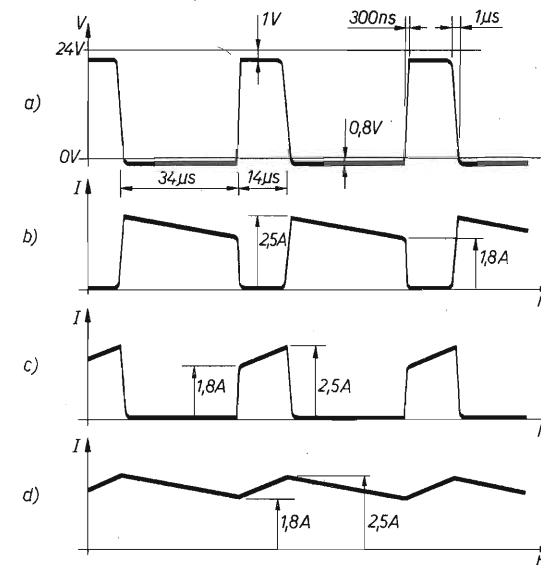
Da queste forme d'onda possiamo trarre alcune considerazioni.

Ci accorgiamo, ad esempio, che l'alimentatore « switching » in realtà un po' « scalda »; e questo per più di una ragione.

Innanzitutto una certa porzione di potenza è assorbita dai circuiti di controllo, e questa è inevitabilmente una potenza persa.

Ma il fatto più importante è che il commutatore « S » della figura 2 non si traduce nel circuito reale in un vero e proprio interruttore.

Quando il darlington è saturato, in realtà tra collettore ed emettitore di Q_3 c'è una tensione di circa un volt, proprio mentre scorre una corrente che va da 1,8 a 2,5 A: ciò da' origine a un'altra fetta di potenza perduta.



- a) Andamento della tensione al punto « Y »; notare: frequenza fondamentale ≈ 20 kHz, tempo di chiusura del darlington ≈ 300 ns, tempo di apertura ≈ 1 μ s;
- b) andamento della corrente nel diodo D_1 ;
- c) andamento della corrente nel transistor Q_3 ;
- d) andamento della corrente nell'induttore L_1 .

La commutazione inoltre non è istantanea, ma richiede un certo tempo dipendente dalla qualità dei transistori e del diodo impiegati. Nel tempo di commutazione la tensione ai capi dell'elemento attivo aumenta mentre la corrente diminuisce, e viceversa. Ciò dà origine a un picco di potenza dissipata, come risulta evidente dalla figura 6, ricavata anch'essa all'oscilloscopio, espandendo l'asse dei tempi. Analogo ragionamento si può fare per il diodo D_1 .

lizzata in più rispetto agli alimentatori tradizionali. Lo scoglio più duro è la scelta dei materiali, soprattutto per il transistor di potenza, il diodo, il condensatore e l'induttanza del filtro.

1) Il transistor di potenza. Mentre negli « altri » alimentatori in genere il vecchio amico 2N3055 risolveva ogni problema, qui la questione è diversa: serve un transistor di potenza PNP che sia veloce, e per veloce intendo con tempi di commutazione inferiori al microsecondo.

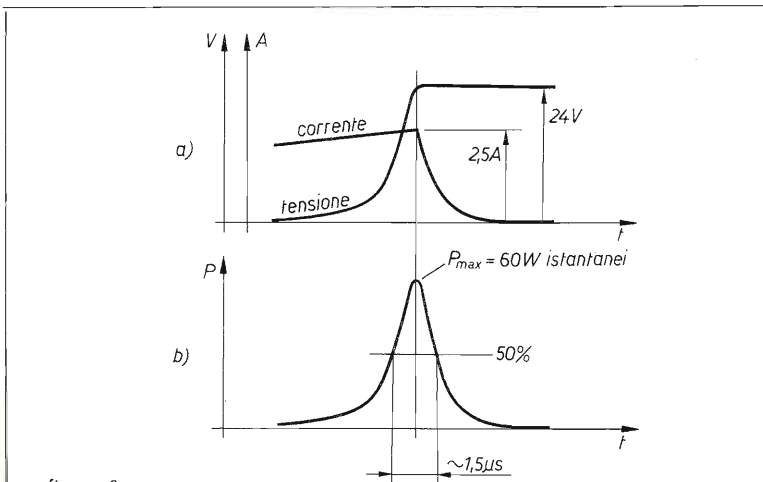


figura 6

a) Andamento della tensione ai capi del transistor Q_3 , e della corrente di collettore nell'istante di apertura del darlington;
b) relativo picco di potenza dissipata.

Il risultato di tutte queste porzioni di potenza dissipata è che il rendimento dell'intero circuito è inferiore a uno, come, d'altro canto, in tutte le « macchine » del mondo. Qui, ovviamente, abbiamo inteso come rendimento il rapporto tra la potenza uscente e la potenza entrante, cioè:

$$\eta = \frac{V_{out} \cdot I_{out}}{V_{in} \cdot I_{in}}$$

Valori accettabili del rendimento per questo ordine di grandezza di tensioni e correnti e per i materiali usati, sono i valori nell'intorno di 0,7. Ciò significa che se abbiamo: $V_{in} = 24V$, $V_{out} = 5V$, $I_{out} = 2A$, avremo una potenza di uscita di 10W, una potenza di ingresso di circa 14,3W e una potenza persa di 4,3W. Questa potenza persa è tuttavia assai minore della potenza di 38W che avremmo perduto se avessimo usato un alimentatore stabilizzato tradizionale.

Qualche difficoltà

Lo « switching power supply » presenta senza dubbio qualche difficoltà rea-

Ricordiamoci che più veloce sarà la commutazione, minore sarà la consistenza del relativo picco di potenza dissipata e migliore sarà il rendimento globale.

2) Il diodo.

Analogo ragionamento vien fatto per il diodo, il quale deve essere scelto, quindi, tra le « fast recovery series » (diodi veloci, in parole povere).

3) I condensatori.

C_3 e C_4 dovrebbero essere condensatori elettrolitici al tantalio in quanto le frequenze in gioco sono piuttosto elevate per condensatori elettrolitici normali.

Infatti, sebbene la frequenza fondamentale della commutazione sia solamente di circa 20 kHz, si tratta pur sempre di un'onda rettangolare con armoniche superiori che raggiungono frequenze dell'ordine di alcuni megahertz.

A quelle frequenze l'angolo di perdita di un elettrolitico normale è eccessivo e può compromettere il funzionamento del circuito.

Se pensate che il costo dei condensatori al tantalio sia eccessivo o se non li trovate facilmente in commercio, potrete avviare con qualche elet-

tronico di buona qualità in parallelo a un ceramico di capacità discreta (ad esempio 47 nF).

4) L'induttanza.

La chiave di tutto l'alimentatore è appunto l'induttanza L_1 che presenta qualche difficoltà tecnologica per le seguenti ragioni:

— il suo valore è discretamente elevato (350 μ H);
— il fattore di qualità deve essere buono fino a una frequenza di almeno 50 kHz;
— deve sopportare una corrente di almeno 3 A senza saturare il nucleo ferromagnetico.

Il materiale ideale per la realizzazione di questa induttanza sarebbe un bel nucleo toroidale (del diametro di 3-4 cm e sezione di 0,7-1 cm²) di « permalloy sinterizzato » o altro materiale ferromagnetico simile; ma la difficoltà di trovare sul mercato italiano tale nucleo scoraggerebbe molti autocostruttori e sperimentatori appassionati.

Io ne ho trovato qualche esemplare come fondo di magazzino di una ditta specializzata, ma mi considero fortunato.

Consiglio quindi di costruire L_1 avvolgendo 60 spire di filo tipo P36/22 Al 100 della Philips, Mullard o Siemens che con un po' di fortuna potrete trovare anche sui mercatini surplus di materiale telefonico.

Comunque altre soluzioni sono possibili, purché teniate presenti queste due raccomandazioni: non usate per il nucleo ferro da trasformatori in quanto l'induttanza così fabbricata avrebbe un pessimo fattore di qualità alle frequenze elevate; non usate nuclei di ferrite senza o con poco traferro, altrimenti rischiate di saturare il nucleo (detto per inciso, se saturate il nucleo « spaccate » i transistori).

Consigli pratici

Ricordatevi che avete a che fare con un'onda rettangolare di 20 kHz, quindi è indispensabile adottare quelle cautele in sede di montaggio proprie delle frequenze modestamente elevate: collegamenti corti e logicità nella disposizione dei componenti.

Siete anche di fronte a un circuito che, ad anello aperto, ha un guadagno notevole, quindi un accoppiamento indesiderato dovuto a un cattivo montaggio può compromettere il corretto funzionamento.

Può succedere che, in particolari soluzioni di montaggio, vi sia un disturbo sull'ingresso « 3 » dell'operazionale. In questo caso un condensatore ceramico, ad esempio del valore di 2,7 nF in parallelo alla resistenza R_2 può sistemare ogni cosa, senza peggiorare in modo apprezzabile la stabilità della tensione di uscita.

Se realizzate l'alimentatore su un circuito stampato, consiglio di usare piste di una certa larghezza (tre o più millimetri) per quei collegamenti che portano le maggiori correnti.

Usi e applicazioni

Principalmente l'uso dello « switching power supply » è consigliato in quei casi in cui si deve ottenere da batterie una tensione molto minore di quella fornita dalle stesse. Oggi però si sta divulgando anche per l'alimentazione dalla rete, soprattutto per piccole tensioni e grandi correnti, in quanto permette i seguenti vantaggi:

— minore dissipazione globale;
— minore dissipazione anche nei diodi raddrizzatori;
— minore ingombro;
— migliore stabilità, soprattutto per grandi sbalzi della tensione di rete;
— condensatori di filtraggio molto più piccoli.

Difetti e possibili migliorie

Il difetto principale di questo alimentatore è costituito dal « ripple » di tensione residuo in uscita e dal « ripple » di corrente in ingresso. Il primo è dell'ordine di 50 mV_{pp} alla frequenza di 20 kHz, e con questa configurazione circuitale difficilmente è riducibile.

Il secondo dipende dalla qualità del condensatore C_1 e dalla disposizione dei componenti. Entrambi i difetti sono eliminabili, o almeno fortemente riducibili, ricorren-

do a soluzioni circuitali più sofisticate che richiedono, in genere, l'uso di più induttanze. Posso suggerirvi, a titolo di esempio, lo schema di principio di figura 7, da

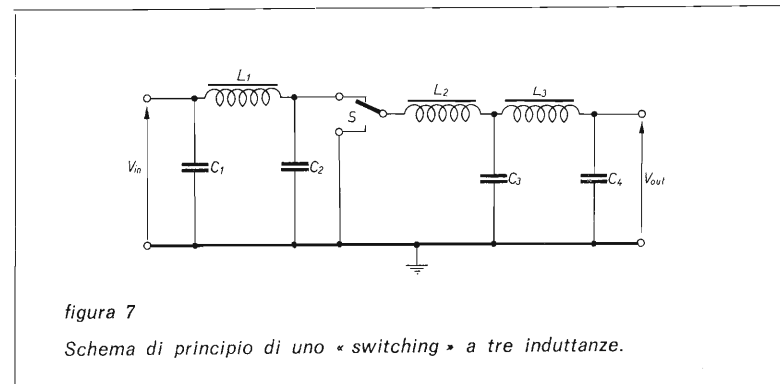


figura 7

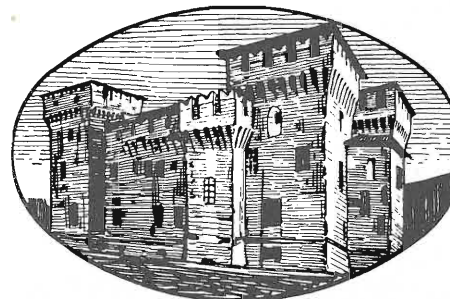
Schema di principio di uno « switching » a tre induttanze.

do a soluzioni circuitali più sofisticate che richiedono, in genere, l'uso di più induttanze. Posso suggerirvi, a titolo di esempio, lo schema di principio di figura 7, da

soluzioni, lavorando a un problema che esisterà sempre e comunque in qualsiasi apparecchiatura elettronica: quello delle alimentazioni. In bocca al lupo, dunque. * * * * *

34^a MOSTRA MATERIALE RADIANTISTICO MANTOVA

27 - 28
settembre
1975



27 - 28
settembre
1975

nei locali del
GRANDE COMPLESSO MONUMENTALE SAN FRANCESCO
via Scarsellini (vicino alla stazione FFSS)

Orario per il pubblico: 27 sabato dalle ore 9 alle ore 12,30
dalle ore 15 alle ore 19
28 domenica dalle ore 8,30 alle ore 12,30
dalle ore 14,30 alle ore 19

Durante la mostra opererà la stazione I/2-MRM

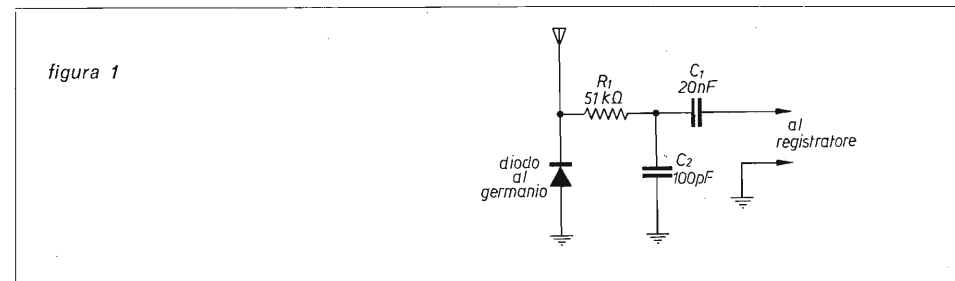
Tre schemini "pazzi"

IW2AIU, dottor Alberto D'Altan

Dalla mano di un amico misterioso ricevo una serie di progettini che la mia enorme capacità di deduzione identifica come certamente copiati. Poco male: l'importante è che servano! A dire il vero che servano non ne sono certissimo... O meglio: a qualcuno serviranno, ad altri no... insomma, io li pubblico.

1°: Monitor per registrare su nastro l'emissione del baracchino

Siamo certi che la nostra modulazione sia chiara e comprensibile? Come ci ascoltano gli amici in frequenza? Con quale voce ci presentiamo nel nobile mondo dell'etere? Domande affascinanti, destinate a rimanere senza risposta a meno di non disporre di un aggeggio che raccolga la nostra emissione, la demoduli e la invii a un registratore a nastro, Semplicissimo, direte, basta disporre di un secondo baracchino e, ovviamente, di un registratore. Economico, soprattutto. A parte il registratore, a nastro o a cassette, che è necessario, tutto quello che occorre invece è il circuitino di figura 1.

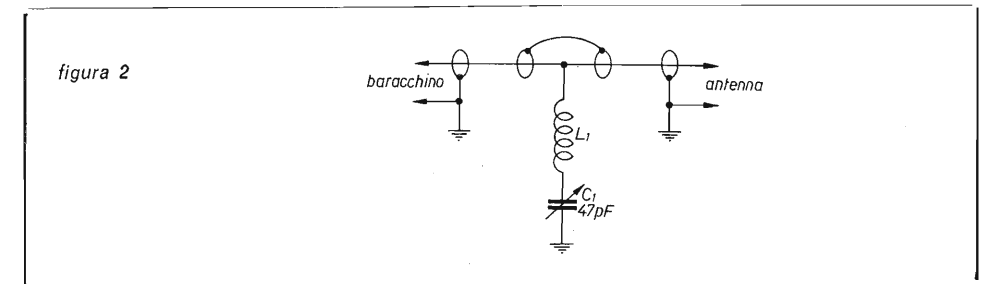


Convieni montarlo in una scatola. Come antenna va bene un pezzo di filo da far passare vicinissimo al baracchino. Se quest'ultimo è schermato troppo bene basta aprirne il coperchio. Se l'antenna è a tiro si può andare a captare la nostra RF vicino all'antenna stessa. L'uscita BF verso il registratore è costituita da un cavo BF al termine del quale si monterà uno spinotto adatto all'ingresso del nostro registratore.

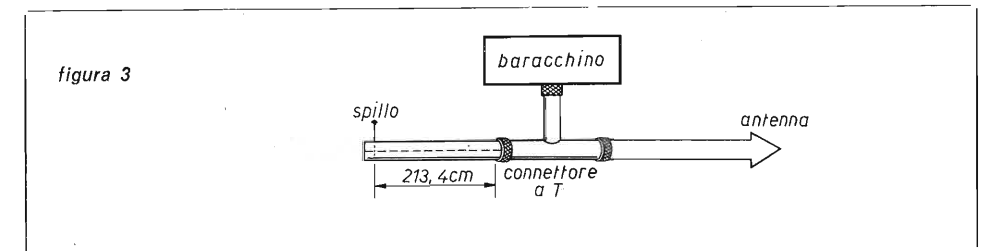
2° e 3°: Trappola anti TVI

Non occorrono evidentemente commenti. Il problema TVI è serio e in certi casi occorrono filtri come quelli già pubblicati sulla rivista. Quella che vi presento è una semplice trappola costituita da un circuito risonante serie, come quella che dovrebbe già esistere nell'interno del baracchino.

Comunque meglio due trappole che una sola e, inoltre, chi sa se quel maledetto lineare è ben filtrato? Ecco dunque il gioiello (figura 2).



Inutile dire che occorre una scatola metallica con due connettori SO-239. Tutto quello che si deve fare è regolare C_1 finché sul televisore l'interferenza risulta minima. Altra valida versione dello stesso aggeggio, per chi voglia spendere più soldi ed esibire una mostruosità estetica agli amici, è quella rappresentata in figura 3.



L'aggiustamento per la minima interferenza TV procede come segue. Su un tratto di cavo RG58/U lungo circa 228 cm si segna la lunghezza di 213 cm a partire dal connettore. La lunghezza ideale viene trovata mettendo in corto il cavo in punti posti alcuni centimetri in là o in qua rispetto al segno. Questa operazione viene eseguita **infilando uno spillo nello spessore del cavo** (ah! ah!) e guardando il TV. Si sposta lo spillo fino a ottenere la minima interferenza. * * * * *

RISULTATI "FLASH" del BARTG

- 1) I1PYS 221.998
- 2) W3EKT 219.520
- 3) KZ5BH 197.100

Il prossimo mese risultati completi e commenti.

W8YEK collega cento Paesi in SSTV 14LCF, professor Franco Fanti

Gene Kundert, W8YEK ha collegato cento Paesi in 2 x SSTV (collegamento bilaterale).

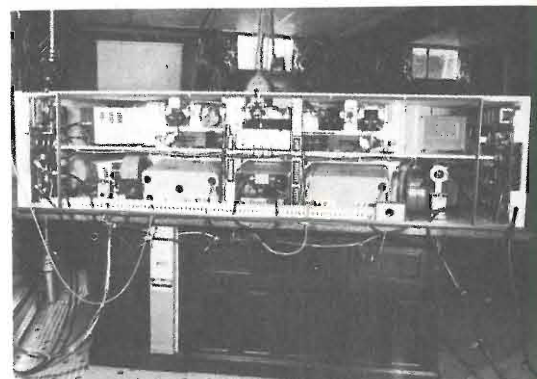
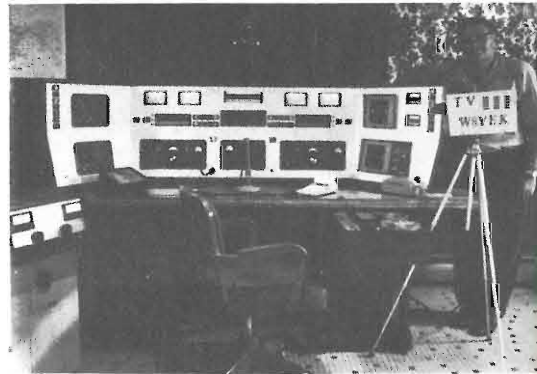
E' questa la dimostrazione dell'interesse che la Slow Scan ha conquistato tra i Radioamatori in un periodo relativamente breve.

Chi è W8YEK?

Chi opera in SSTV è quasi impossibile che non lo abbia collegato perché come egli dice: ... *opero da 10 a 12 ore al giorno, sette giorni alla settimana, e nell'inverno e in estate da 2 a 4 ore al giorno.*

Da Gene ho ricevuto alcune fotografie che presentano una stazione a console veramente notevole.

- | | |
|----------------------|------------------------|
| C3HD ANDORRA | LUJAAG ARGENTINA |
| KC4UX ANTARCTICA | LX1SK LUSSEMBOURG |
| ON8D MORGICO | OA8F PERU |
| CP1FW BOLIVIA | OD5HC LEBANON |
| CR6CA ANZOLA | OB6GC AUSTRIA |
| CT1PC PORTUGAL | OH5MM FINLAND |
| CK2GH PHILIPPINES | OK1NH CZECHOSLOVAKIA |
| DJ0CN GERMANY 1971 | ON4DN BELGIUM |
| DJ1UP W GERMANY 1971 | ON3LP GREENLAND |
| DU1FR PHILIPPINES | OY1NB FAEROE IS. |
| EA4DT SPAIN | OZ4IP DENMARK |
| EA6HO BALEARIC IS. | PA0LAM NETH AMSTERDAM |
| EA8CI CANARY IS. | PJ2CU NETH CURACAO |
| EL2CB LIBERIA | PA7EEG BRAZIL |
| EP2FB IRAN | PZ1DA SURINAM |
| ET3DS ETHIOPIA | SM4AMM SWEDEN |
| FBAX1 FRANCE | SV1CG GREECE |
| FG7AT GUADELOUPE IS. | K4PQM717 COSTA RICA |
| FL8BH FR SOMALILAND | TJ1AX CAMEROON |
| FM7WW MARTINIQUE | TR8WR GABON REP |
| FP8AQ ST PIERRE IS. | TU2DD IVORY COAST |
| GS2T ENGLAND | VE6RM CANADA |
| GR2VZ GUERNSEY IS. | VK6MI AUSTRALIA |
| G3WVY N IRELAND | VK9XX XMAS IS. |
| GM3KJF SCOTLAND | P79MC NEW GUINEA |
| GW3DZ WALES | VP2AR ANTIGUA |
| HA71F HUNGARY | VP2ME MONTSERRAI |
| H99IT SWITZERLAND | K4CX0 VP7 BAHAMA IS. |
| H80NL LIECHTENSTEIN | VP9GR BERMUDA IS. |
| H41BU ECUADOR | V08H SEYCHELLES IS. |
| HK7XI COLOMBIA | VS6AI HONG KONG |
| HL9W KOREA | VU2KV INDIA |
| HP1XMU PANAMA | XC1JM MEXICO |
| H91HH HONDURAS | XB8K ACES |
| HS1AH THAILAND | YN1RBD NICARAGUA |
| H21SH SAUDI ARABIA | YU2CDS YUGOSLAVIA |
| HLCF ITALY | YU6AS VENEZUELA |
| IS1PM SARINIA | ZF1AD CAYMAN |
| JA7FS JAPAN | ZL1ALV N ZEALAND |
| JY8AA JORDAN | ZS6UR SOUTH AFRICA |
| W4MS USA | ZS3R SOUTH WEST AFRICA |
| KC4DX HAWAII | 4X4V8 ISRAEL |
| WA6AXE KGB - GUAM | 5W1AT W SAMOA |
| KH6DEH HAWAII | 6Y5PB JAMAICA |
| KL7DRZ ALASKA | YB3AA Y INDONESIA |
| KP4GN PUERTO RICO | BR1W GUYANA |
| K55DW SAMOA | 9W2AM KUWAIT |
| KV4CM VIRGIN IS. | 9O5BG REP. OF CONGO |
| KX4DR MARSHALL IS. | 9X5PB RWANDA |
| LA35G NORWAY | 8Y4VU TRINIDAD |



Nella prima foto W8YEK è accanto alla sua stazione nella quale vi è un poco di tutto. A destra due converters e una telecamera SSTV, al centro una linea Collins, poi dall'indicatore di altezza dell'antenna al frequenzimetro, dal registratore all'orologio digitale, e una vasta strumentazione.

Il tutto installato sopra e dentro una scrivania di antiquariato solidissima nonostante i suoi 90 anni.

Nel complimentarmi con Gene per la magnifica stazione e per i risultati conseguiti presento anche l'elenco delle stazioni che ha lavorato per dare una dimostrazione del fenomeno Slow Scan TeleVision. * * * * *

Antenne

professor Corradino Di Pietro, IØDP

C. Di Pietro
via Pandosia 43
00183 Roma

Prima di descrivere uno dei prossimi mesi un'antenna yagi autocostruita, che ne direste di rivedere insieme alcuni principi fondamentali delle antenne?

L'argomento è vastissimo e dovrò per forza limitarmi alle cose essenziali. Per chi volesse approfondire la materia, posso suggerire « **Il manuale delle antenne** » di Angelo Barone, (edizioni CD).

Anzi, in questa breve chiacchierata, non posso pubblicare molti grafici e formule, e farò spesso riferimento al suddetto libro nel quale troverete tutti i dati per la costruzione delle varie antenne HF e VHF (yagi, cubical quad, ground-plane ecc.), degli adattatori di impedenza e degli strumenti per la messa a punto delle antenne (il misuratore di campo, il ponte per la misura dell'impedenza di un'antenna, ecc.).

Mi sembra superfluo sottolineare quanto sia importante una buona antenna.

Se si vuole aumentare l'efficienza della nostra stazione, è preferibile migliorare il sistema radiante piuttosto che aumentare la potenza.

Convieni sia dal punto di vista economico e sia dal punto di vista delle interferenze che un aumento della potenza può provocare.

Ciò è dovuto al fatto che i circuiti d'ingresso dei televisori non riescono a bloccare un segnale troppo forte.

Capisco che la colpa è del televisore ma non è facile farlo capire all'utente.

Per questo caso di interferenza basta mettere un filtro passa-alto sul ricevitore TV. Anche se questo filtro è esterno al televisore, l'utente profano considera l'inserzione del filtro una manomissione al suo apparecchio.

C'è poi il problema: chi paga il filtro? Dovrebbe pagarlo l'utente, ma chi lo convince?

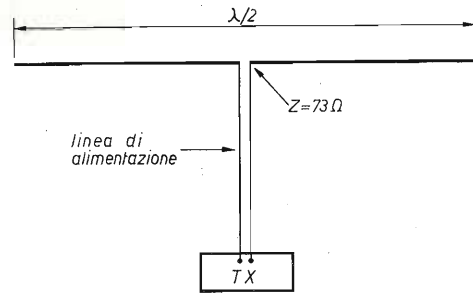
Lunghezza elettrica di un dipolo

Il dipolo si considera l'antenna fondamentale dalla quale derivano la maggior parte delle altre antenne; vediamo subito quanto deve essere lungo un dipolo per poter funzionare bene alla frequenza sulla quale dobbiamo trasmettere (figura 1).

Tutti sanno che il dipolo deve essere lungo $\lambda/2$, cioè la metà della lunghezza d'onda.

figura 1

L'antenna fondamentale è il dipolo che in teoria deve essere lungo mezza lunghezza d'onda e che presenta al centro una resistenza di radiazione di 73Ω (valore teorico).



Da questa premessa, si deduce subito la formula per il calcolo:

$$\text{lunghezza dipolo} = \frac{150}{\text{frequenza in MHz}}$$

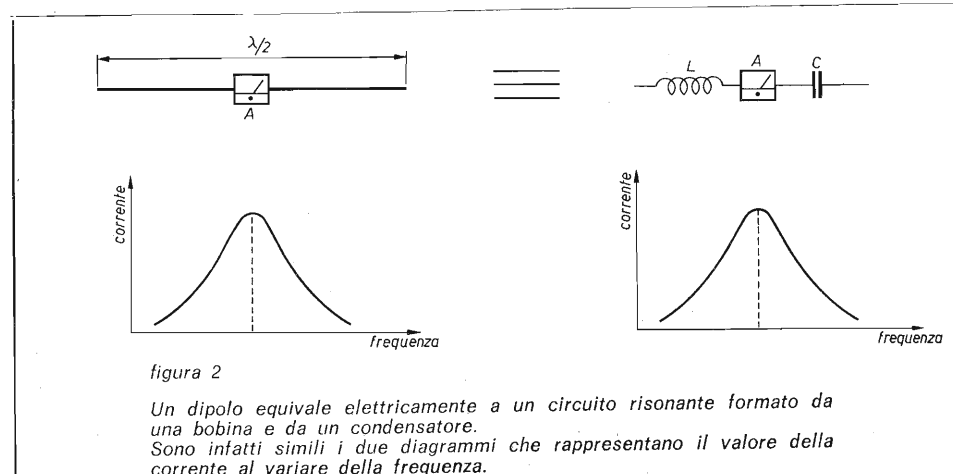
Supponendo di voler calcolare la lunghezza di un dipolo per 14,2 MHz (siamo circa al centro banda dei 20 m), si ha:

$$\frac{150}{14,2} = 10,57 \text{ m}$$

Diciamo subito che questa è la lunghezza teorica o elettrica. In pratica la lunghezza reale è un po' più corta, ma questo lo vedremo dopo. Per il momento restiamo alla teoria che dice che un dipolo « risuona » quando è lungo mezza lunghezza d'onda. La parola « risuona » ci fa pensare subito ai circuiti risonanti a LC, ossia a un circuito formato da una bobina e da un condensatore che, come è noto anche ai principianti, risuona a una certa frequenza che si trova con una nota formuletta.

Dipolo e circuito risonante a LC

Anche se a prima vista potrebbe sembrare strano, esiste una forte analogia tra un dipolo e un circuito a LC. Più esattamente, un dipolo alimentato al centro ha il suo equivalente elettrico in un circuito LC in serie. In figura 2 ho disegnato un dipolo e un circuito LC in serie.



Per chi lo avesse dimenticato, vediamo che succede quando un circuito risonante in serie viene collegato a una tensione RF di qui si può variare la frequenza.

Se la frequenza è bassa, la reattanza del condensatore è alta, e passa poca corrente.

Man mano che la frequenza aumenta, la reattanza del condensatore diminuisce ma aumenta la reattanza della bobina.

Ci sarà un punto, cioè una frequenza, dove la reattanza capacitiva e la reattanza induttiva sono uguali.

Ricordando che le due reattanze sono di natura opposta, deve esservi una frequenza alla quale le due reattanze si annullano o, in parole povere, è come se queste due reattanze non ci fossero più nel circuito.

La conseguenza è che, a questa frequenza di risonanza, la corrente sarà massima, sarà limitata solamente dalla resistenza ohmica del circuito, e questa resistenza ohmica è costituita soprattutto dalla resistenza del filo della bobina.

Se continuiamo ad aumentare la frequenza, accade che adesso la reattanza induttiva prende il sopravvento su quella capacitiva e la corrente comincia a scendere.

Tutto ciò è chiaramente illustrato dal grafico sotto il circuito a LC.

Adesso, se facciamo lo stesso esperimento con il dipolo, noteremo che l'amperometro A (sistemato al centro del dipolo) si comporterà allo stesso modo, e infatti il grafico che rappresenta questa corrente è simile al grafico del circuito LC.

Ammettiamo di fare la prova con un filo di una decina di metri che, come calcolato un momento fa, risuona sui 14 MHz.

Se la frequenza è inferiore ai 14 MHz, l'amperometro A accuserà poca corrente.

Aumentando la frequenza, la corrente aumenta per raggiungere un massimo a 14 MHz.

Se continuo ad aumentare la frequenza, la corrente diminuisce, esattamente come è avvenuto nell'esperimento con il circuito LC.

Tiriamo le somme: non possiamo negare che tra un pezzo di filo e un circuito LC c'è una forte analogia.

Ho usato di proposito la parola analogia in quanto tra i due circuiti risonanti ci sono anche delle differenze.

Per distinguere i due circuiti risonanti, il dipolo si chiama circuito risonante lineare o a costanti concentrate.

La ragione che il dipolo è chiamato un circuito a costanti distribuite è che in esso la capacità e l'induttanza sono distribuite su tutto il filo.

Per coloro che ancora non fossero persuasi che un filo ha induttanza e capacità, facciamo un altro esperimento.

Ammettiamo di voler sempre trasmettere sui 14 MHz ma non abbiamo lo spazio per stendere dieci metri di filo, ammettiamo di avere spazio solo per sette metri.

Che si fa? si aggiunge al filo dell'antenna una bobina (o un condensatore) e l'antenna risuona a 14 MHz.

C'è ancora una precisazione da fare per quello che riguarda la capacità e l'induttanza del dipolo.

Induttanza e capacità non sono distribuite uniformemente ma l'induttanza è più forte al centro mentre la capacità è più forte alle estremità.

Questo è importante quando non si ha lo spazio per una certa antenna. Per portarla a risonanza alla frequenza che ci interessa, si mette dell'induttanza nella parte centrale del dipolo oppure della capacità alle estremità.

Avrete notato, nelle antenne montate su automobili, la presenza di una bobina e di un « cerchietto metallico » all'estremità. Questo cerchietto è una capacità e serve per ridurre le dimensioni dell'antenna. A causa del suo aspetto viene chiamato « capacitive hat » (« cappello » capacitivo).

Resistenza di radiazione

Un dipolo ideale (teso nel libero spazio e fatto con filo infinitamente sottile) ha al centro una resistenza di radiazione di 73Ω e si tratta di una resistenza pura (senza reattanze capacitive o induttive).

In pratica questo valore di 73Ω è influenzato da diversi fattori come diametro del filo, altezza dal suolo, ecc.

Vediamo in che senso influisce il diametro del filo o del tubolare con cui è costruita l'antenna.

Più il filo è grosso, più la resistenza di radiazione diminuisce.

Ovviamente l'effetto è più marcato in un dipolo tubolare e nel libro summenzionato c'è un grafico che dà il valore di questa resistenza di radiazione a secondo del diametro o, per essere più preciso, a secondo del rapporto tra lunghezza d'onda e diametro.

Ugualmente un altro diagramma mostra come l'altezza del dipolo dal suolo fa variare questa resistenza di radiazione.

Va altresì precisato che il termine resistenza di radiazione è un termine fittizio o convenzionale, cioè la parola « resistenza » non va interpretata come una perdita.

Esistono in un'antenna anche delle vere perdite (il filo presenta una resistenza ohmica al passaggio della RF e anche gli isolatori costituiscono una perdita), però queste vere perdite, in un dipolo ben costruito, sono limitate.

In pratica ciò significa che quasi tutta la RF che arriva in antenna viene irradiata e solamente una piccola parte va effettivamente perduta.

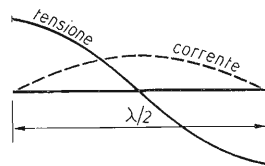
La faccenda del diametro diventa più importante in VHF e UHF per la ragione che si tratta di un rapporto fra lunghezza d'onda e diametro.

Tensione e corrente in un dipolo

La radiofrequenza in arrivo sul dipolo si distribuisce secondo la figura 3.

figura 3

In un dipolo la corrente si distribuisce come è indicato dalla linea tratteggiata, cioè è massima al centro e minima alle estremità. L'opposto avviene per la tensione.



La corrente ha la massima ampiezza al centro: lo si chiama **ventre** di corrente (current loop), mentre è minima alle due estremità.

La tensione si distribuisce in maniera opposta alla corrente. Si ha un minimo al centro (**nodo** di tensione) e un valore massimo alle estremità. Il fatto che la tensione e la corrente si distribuiscono nel modo illustrato nella figura 3 ha delle implicazioni pratiche.

Come esempio, prendiamo un dipolo tubolare dove a volte è necessario mettere qualche isolatore di sostegno.

Per avere un minimo di perdite, è bene mettere l'isolatore dove la tensione è bassa, cioè verso il centro.

Larghezza di banda

Abbiamo visto che un dipolo risonante a una certa frequenza presenta al centro una resistenza pura (senza reattanze) di una settantina di ohm. Che accade se ci spostiamo di frequenza sopra o sotto la frequenza di risonanza?

Avviene quello che capita nel corrispondente circuito LC.

Oltre alla resistenza ohmica, si ha anche una reattanza induttiva o capacitiva.

Per noi radioamatori il problema non è molto grave dato che (purtroppo!) le nostre bande sono piuttosto strette.

Se sintonizziamo il nostro dipolo al centro della banda, anche spostandoci agli estremi della banda, non introduciamo reattanze tanto grandi da darci fastidio.

In ogni modo conviene sempre avere reattanze più basse possibili e all'uopo basta fare il diametro dell'antenna abbastanza grosso.

Più grosso è il diametro, minore è la reattanza quando ci si sposta dal centrobanda.

Anche qui si nota una correlazione tra dipolo e circuito risonante LC.

Sto parlando del « Q » o fattore di merito.

Allorché si vuole che un circuito LC lasci passare una certa banda di frequenze bisogna farlo con un Q non troppo elevato.

In un dipolo, il Q dipende dal diametro del filo o tubolare o, sempre per la precisione, dipende dal rapporto tra lunghezza d'onda e diametro.

Balun

Un dipolo alimentato al centro è un'antenna simmetrica e dovrebbe essere alimentato con una linea di alimentazione simmetrica (per esempio la piattina da 75Ω).

L'uso della piattina presenta alcuni inconvenienti.

— Anche se costa meno del cavo coassiale, si rovina a causa degli agenti atmosferici e allora va sostituita, così si annulla il minor costo iniziale.

— Difficoltà di installazione in quanto va distanziata dal muro.

— L'uscita dei moderni trasmettitori è asimmetrica, va bene quindi per il cavo coassiale: se si usa la piattina bisogna metterci un « transmatch » (adattatore).

— Anche se poco, la piattina irradia; a parte la perdita di RF, ciò potrebbe causare interferenze.

Per le suddette ragioni la maggior parte degli OM usano il cavo coassiale il quale, a causa della sua asimmetria rispetto al dipolo, produce due effetti negativi:

— il diagramma di radiazione del dipolo viene alterato;

— il cavo coassiale irradia e questa è forse la cosa più fastidiosa (TVI). Come si rimedia?

Si interpone un **balun** tra il dipolo e la linea di alimentazione.

A proposito il termine balun proviene dalla contrazione di « **BAL**anced to **UN**balanced » e quindi va pronunciato con l'accento sulla prima sillaba (bàlun, non balùn).

Spesso un balun viene considerato un adattatore d'impedenza ma, per precisione, dovrebbe essere considerato un simmetrizzatore.

Infatti adatta una linea asimmetrica (il cavo coassiale) a un'antenna simmetrica, senza operare un adattamento d'impedenza in quanto l'impedenza caratteristica del cavo coassiale è dello stesso ordine di grandezza della resistenza di radiazione del dipolo, cioè una settantina di ohm.

Tempo fa qualcuno mi ha chiesto se un dipolo poteva essere alimentato con cavo coassiale da 52 Ω.

La risposta è affermativa in quanto la resistenza di radiazione di un dipolo si aggira spesso sui sessanta ohm.

Come spiegato prima, questa resistenza di radiazione dipende da vari fattori la cui valutazione esatta non è sempre possibile.

A questo punto qualcuno obietterà che non tengo molto in considerazione le onde stazionarie.

Ho notato che oggi giorno molti OM hanno una grande paura di queste onde stazionarie, e ad esse vanno tutte le colpe se qualcosa nel TX non va. Temo che si esageri, così come si esagerava un tempo in senso inverso allorché non ci si preoccupava molto di queste onde stazionarie.

Spesso alle onde stazionarie si dà la colpa se il PA si esaurisce in poco tempo; si dimentica che ci sono altre ragioni che portano all'esaurimento dalle povere valvole finali!

Adattatore di impedenza a quarto d'onda

Se la resistenza di radiazione dell'antenna e la resistenza caratteristica del cavo coassiale sono molto diverse, è necessario interporre un adattatore d'impedenza. Ne esistono di diversi tipi, vediamo quello a quarto d'onda che è anche chiamato adattatore a « Q ».

Avevo una ground-plane per i 20 m, la cui resistenza di radiazione è sull'ordine di 30 Ω.

Il cavo che avevo a disposizione era di 73 Ω.

In un primo tempo collegai direttamente il cavo all'antenna.

Siccome tutto funzionò abbastanza bene, per un certo tempo trasmisi senza preoccuparmi del « mismatch » (disadattamento); un bel giorno, per scrupolo di coscienza, andai a misurare il ROS e trovai che era 1 : 3!

In questo caso il rimedio più semplice è di interporre uno spezzone di cavo coassiale di impedenza caratteristica « intermedia » tra la resistenza di radiazione dell'antenna (nel mio caso una trentina di ohm) e l'impedenza caratteristica del cavo che si ha a disposizione (nel mio caso il cavo da 73 Ω).

Ecco come si trova l'impedenza caratteristica dello spezzone.

$$\sqrt{30 \times 73} = 53$$

Basta moltiplicare la resistenza di radiazione per l'impedenza del cavo coassiale che si possiede, e poi si estrae la radice quadrata.

Il risultato ci dice che lo spezzone di cavo da interporre deve essere da 53 Ω.

Siccome esiste in commercio proprio il cavo da 52 Ω, il gioco è fatto. Calcoliamo adesso la lunghezza di questo spezzone che deve essere un quarto d'onda.

Ricordato che la ground-plane era sintonizzata su 14,2, il quarto d'onda si trova così:

$$\text{quarto d'onda} = \frac{75}{14,2} = 5,28 \text{ m}$$

Questa sarebbe la lunghezza dello spezzone se la velocità di propagazione delle onde radio fosse di 300 km/s come avviene nello spazio.

Nel cavo coassiale le onde radio viaggiano a velocità inferiore a causa del dielettrico.

Dobbiamo quindi moltiplicare la lunghezza teorica della quarto d'onda per 0,66:

$$5,28 \times 0,66 = 3,48 \text{ m}$$

Giunto a questo punto, misi lo spezzone e le onde stazionarie sparirono. Per completezza devo dire che questo 0,66 vale per i normali cavi che noi adoperiamo.

Possono esserci dei cavi coassiali a bassissime perdite per i quali questo fattore di velocità è differente.

Per maggiori ragguagli rimando sempre al libro di Angelo Barone.

Lunghezza pratica del dipolo

Per più di una ragione, la lunghezza reale del dipolo è leggermente più corta di mezza lunghezza d'onda.

Prendiamo prima in considerazione un dipolo fatto con un filo.

Per sorreggere un dipolo filare bisogna metterci due isolatori alle estremità.

L'isolatore e il cappio (loop) che il filo forma intorno all'isolatore costituiscono una piccola capacità che fa risuonare l'antenna a una frequenza più bassa.

La stessa cosa accade in un circuito LC: se si aggiunge una piccola capacità, il circuito risuona a una frequenza leggermente più bassa.

Questa influenza degli isolatori si chiama « end effect » (effetto di terminazione) e non è esattamente valutabile poiché dipende dalla forma fisica dell'isolatore, dal materiale con cui è fatto, dalla forma fisica del cappio, ecc.

Si usa allora per le antenne filari un fattore di accorciamento di 0,95.

Nel caso della nostra antenna per i 20 m si ha:

$$10,57 \times 0,95 = 10,05 \text{ m}$$

Come si vede, i due isolatori hanno accorciato l'antenna di mezzo metro circa.

Esaminiamo ora un dipolo costruito con tubolare.

In questo caso i due isolatori alle estremità non ci sono, al massimo potrebbe essere necessario mettere qualche isolatore al centro dove, essendoci un nodo di tensione (figura 3), il loro effetto accorciante è molto minore.

L'effetto di accorciamento delle antenne tubolari è dovuto principalmente al diametro, e qui la faccenda può essere valutabile con una certa precisione (nel solito libro c'è un grafico che dà il fattore di accorciamento a secondo del rapporto tra lunghezza d'onda e diametro).

Supponendo di usare un tubo da due centimetri di diametro, il grafico ci dice che la lunghezza elettrica dell'antenna deve essere moltiplicata per 0,97:

$$10,57 \times 0,97 = 10,25 \text{ m}$$

Come si nota, la lunghezza reale tra un dipolo a filo e un dipolo tubolare non è trascurabile.

Ci sarebbe ancora molto da dire sull'argomento ma lo spazio a mia disposizione è terminato, mentre sulle antenne non si terminerebbe mai! * * *

Sweepare è facile

16MCF, Massimo Corinaldesi

Farlo bene, un po' meno.

L'apparecchio che descrivo non è certo la soluzione ottima a tale problema, più che altro spero possa servire da spunto per migliori realizzazioni da parte di chi è meno inesperto di me.

Alcune volte, pasticciando con i ricevitori, sorge la necessità o, più semplicemente, la curiosità di sapere « come » risponde la media.

Il metodo a punti è certamente il migliore ma anche il più lungo e noioso: viene allora in aiuto quell'apparecchietto che una mente burlesca ha chiamato **sweep** quando, forse, **sweeper** sarebbe stato più adatto.

Premessa

Siccome possedevo un piccolo oscillatore variabile a valvola da 140 kHz a 25 MHz, ho deciso dapprima di ringiovanirlo con un FET poi, già che c'ero, di sweeparlo decentemente.

La cosa non ebbe esito immediato.

Anzitutto uno sweep per OM deve essere in grado di farci vedere filtri stretti e a basso fattore di forma senza deformazioni dell'immagine.

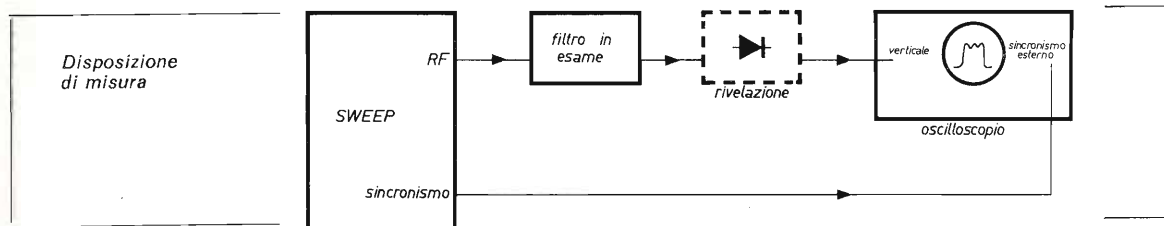
Per questo occorre che la frequenza di sweepaggio sia più bassa possibile compatibile con il tempo di persistenza dei fosfori dell'oscilloscopio che si sta usando.

Occorre inoltre che tale sweepaggio avvenga linearmente nel tempo (1).

Il primo requisito tiene conto del fatto che quanto più il circuito in esame è selettivo, tanto più ha la tendenza a creare oscillazioni smorzate di ampiezza rilevabile mentre la frequenza di spazzolamento è già giunta a un valore cui, in regime statico, dovrebbe invece corrispondere un'ampiezza molto minore.

Il secondo deriva dal fatto che la scansione orizzontale in un oscilloscopio è lineare nel tempo.

Questo poiché per la mia realizzazione non ho seguito l'uso di pilotare l'asse X con la stessa tensione di sweepaggio, ma l'asse X è pilotato dal circuito di scansione proprio dell'oscilloscopio sincronizzato con la frequenza di sweepaggio:



Il perché di questa scelta sta nel fatto che per la frequenza di sweepaggio ho predisposto il valore di 5 Hz: è abbastanza bassa e produce in verità un certo sfarfallio fastidioso nell'immagine, ma dato che tali misure non si fanno tutti i giorni, meglio farle bene e perdere un po' in comodità.

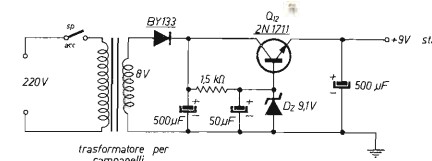
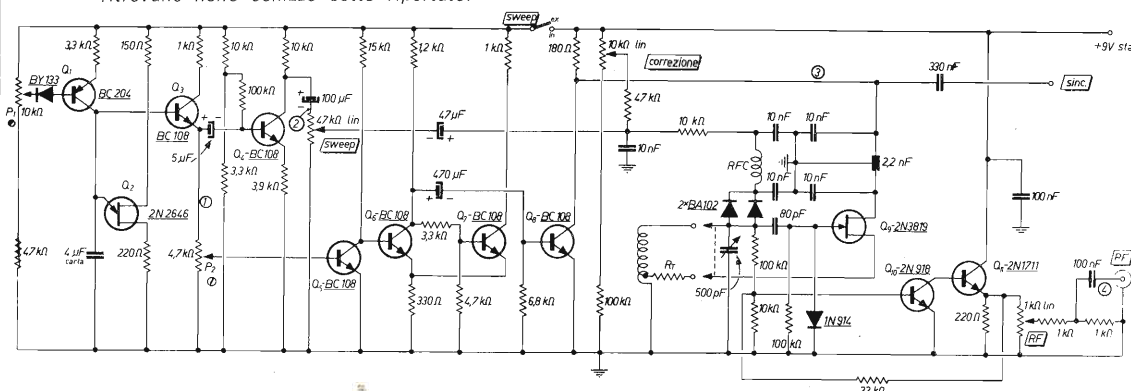
Scelta la frequenza, c'è da scegliere la forma d'onda.

Ho usato il dente di sega lineare poiché, rispetto alla più normale sinusoidale, provoca durante ogni periodo una variazione di tensione meno rapida nel tempo. Infatti, a parità di frequenza e di ampiezza massime, la sinusoidale passa dal valore minimo al massimo in un semiperiodo, mentre il dente di sega impiega un periodo intero, cioè il doppio.

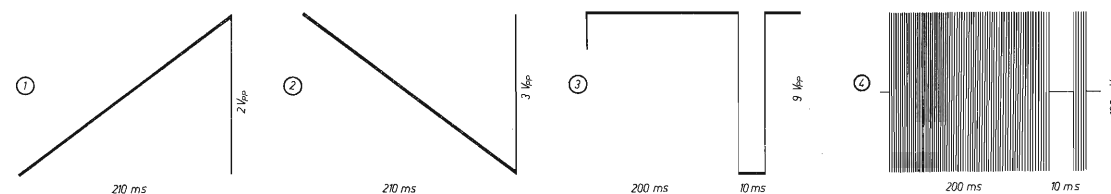
Detto questo, scende subito come sia estremamente difficile pilotare l'asse X di un oscilloscopio normale con un dente di sega a 5 Hz.

Schema elettrico dello sweep.

I numeri entro i circoletti sono i punti di rilevamento delle forme d'onda all'oscilloscopio, e si ritrovano nello schizzo sotto riportato.



forme d'onda rilevate nel prototipo



Si creano delle fortissime non linearità nella scansione effettiva dello schermo a causa delle capacità di accoppiamento che, in tali amplificatori, non sono sufficientemente alte.

Tale difetto scompare solo con amplificatori X accoppiati in continua, ma qui siamo su apparati abbastanza poco diffusi almeno a livello amatoriale.

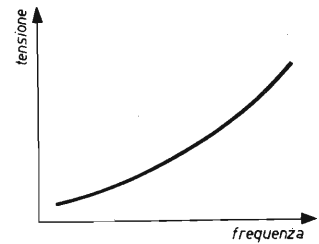
Quindi basta predisporre il tempo di scansione in modo che tutto l'asse X venga percorso in circa 200 ms, si commuta su sincronismo esterno (positivo) collegandolo alla apposita uscita dello sweep(er), e il gioco è fatto con molta più linearità.

Questo però non toglie che l'amplificatore verticale è bene che sia in continua dato che si ha sempre da visualizzare un involuppo a 5 Hz.

Comunque i problemi non finirono qui.

Resta il fatto che lo sweepaggio in frequenza debba avvenire linearmente nel tempo affinché l'asse X dello schermo presenti linearmente le frequenze come un vero e proprio grafico tensione/frequenza.

Il perché di ciò può essere intuitivamente reso a questo modo (non me ne vogliono i matematici!): si è detto che l'asse X è spazzolato con una legge tensione/spazio lineare. Noi vogliamo come risultato una rappresentazione frequenza/spazio lineare, occorre perciò « abbinarla » a una legge frequenza/tensione anch'essa lineare:



$$\frac{\text{tensione}}{\text{spazio}} \cdot \frac{\text{frequenza}}{\text{tensione}} = \frac{\text{frequenza}}{\text{spazio}}$$

utilizzando una specie di equazione dimensionale.

Detta in soldoni, a noi a questo punto occorre un VCO in RF che abbia un legame lineare tra frequenza generata e tensione di pilotaggio.

Normalmente si usano oscillatori LC pilotati a varicap, ma la legge tensione-frequenza in questo caso è ben lontana dall'essere lineare (vedi grafico a lato).

Una soluzione elegante ce la propone (2) tenendo conto del fatto che tale funzione benché non lineare è pur sempre monotona. Si fa uso di un circuito di correzione della tensione di comando dal dente di sega a una forma più ingobbita (in pratica un generatore di funzione) tale da linearizzare a tratti tale legame.



Il relativo circuito è sì semplice, ma richiede una taratura per punti da effettuarsi su ogni esemplare, cosa un po' fastidiosa anche per chi possa adoperare un frequenzimetro digitale.

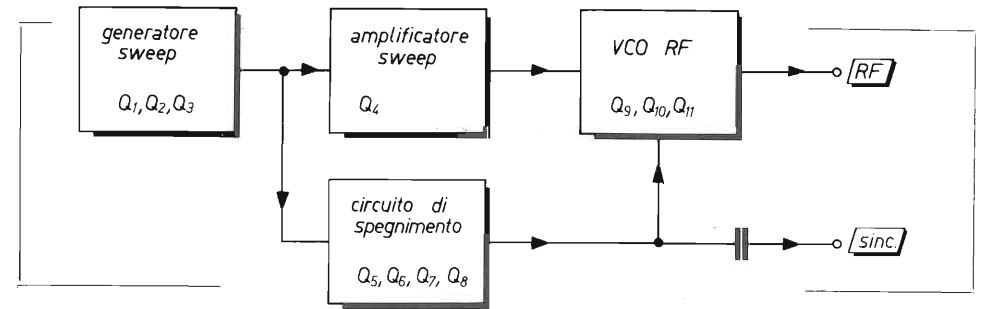
Noi, più modestamente, operiamo così,

Pilotando con piccole tensioni sfrutteremo solo un piccolo tratto del grafico, ora tale tratto può essere considerato lineare almeno in prima approssimazione.

Saremo costretti ad avere tassi di sweepaggio molto bassi, ma saremo più certi che la figura che si vede sullo schermo sia realmente la curva di risposta indagata.

Resta da vedere il circuito di spegnimento.

Questo, bloccando periodicamente l'oscillazione, permette al filtro di smorzarsi per circa 10 ms e lo preserva dal fronte di discesa del dente di sega che, estremamente breve, lo sottoporrebbe a uno sweepaggio estremamente rapido. In totale tutto l'apparato segue questo schema a blocchi:



Generatore e amplificatore di sweepaggio

È composto da un oscillatore a rilascio Q_2 , pilotato da un generatore a corrente costante Q_1 .

Segue un separatore di emettitore Q_3 e un amplificatore-separatore Q_4 . Questo stadio è fortemente controreazionato ciò che porta a buona linearità ma bassa amplificazione.

È sorprendente la versatilità degli unigiunzione.

P_1 va regolato per ottenere la voluta durata del tempo di presentazione, nel mio caso 200 ms.

Chi trovasse fastidiosa la scansione a 5 Hz non ha altro che regolare P_1 per valori maggiori di frequenza.

addirittura si potrebbe portare a pannello o P_1 stesso o un commutatore che selezioni diversi trimmer prearati a piacimento in modo così da sweepare velocemente per filtri larghi, e lentamente per filtri più stretti.

Circuito di spegnimento

Niente altro che un trigger (Q_6, Q_7), pilotato da Q_5 , utile a fare sì che Q_3 « senta » un carico per quanto più stabile possibile, anche se basso.

Q_8 è montato a interruttore e agisce saturandosi e portando così a zero (in pratica circa 0,3 V) la tensione di alimentazione dell'oscillatore RF.

Dato il funzionamento saturo-interdetto, un comune BC108 va benissimo.

P_2 va regolato per ottenere il voluto tempo di spegnimento, che personalmente ho posto in circa 10 ms.

Tutto questo stadio sarebbe molto più intelligentemente sostituibile con un monostabile, ma ho fatto dei tentativi falliti senza pietà.

Forse non ho scelto il circuito più adatto.

Oscillatore e separatore RF

Si tratta di un normale ECO a FET.

Le bobine che ho usato sono quelle di un gruppo RF prodotto dalla Corbetta appositamente per oscillatore modulato a valvola, comunque non c'è ragione che ne impedisca l'autocostruzione per le gamme che più interessano.

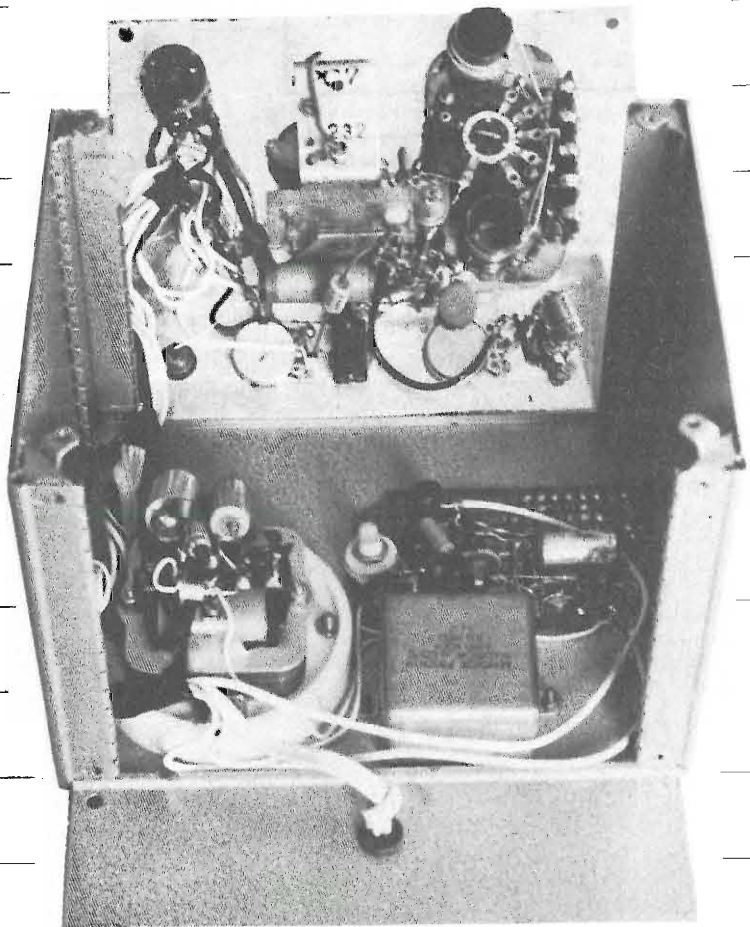
Le RT, da provare gamma per gamma, non sono certo necessarie: assieme al 1N914 servono a mantenere costante la tensione RF in gate a Q_9 per farlo funzionare sempre nelle stesse condizioni.

Segue un separatore (Q_{10}, Q_{11}) non troppo lineare fino ai 25 MHz, ma sufficiente allo scopo.

Montando un FET in source-follower non ho notato netti miglioramenti anche per quanto riguarda il trascinarsi in frequenza sotto carico.

Sembrerà brutale spegnere proprio l'oscillatore, ma spegnendo solo i separatori un po' di RF esce sempre: andrebbe bene provare con un anello di diodi pilotati da un'onda quadra.

Comunque così facendo non si notano bird-chirping al BFO del mio RX. Notare che, chiudendo l'interruttore di sweep e tenendo a zero il controllo di tasso di sweep, si ha una specie di modulazione di ampiezza utile per riconoscere il segnale.



Conclusioni

L'oscillatore RF si è dimostrato sufficientemente stabile allo scopo. L'uscita RF non è molto alta e varia da gamma a gamma a causa del separatore non buono, comunque si è sui 100 mV_{pp} con una ottima sinusoide. Il tasso di sweep massimo varia chiaramente con la capacità del variabile inserita, nel mio caso da meno di 1% a variabile chiuso a circa 8% a variabile aperto, comunque queste misure sono legate alla capacità residua del cablaggio e al tipo di varicap usati: nel mio caso ho messo due BA102, uno punto verde e uno punto blu.

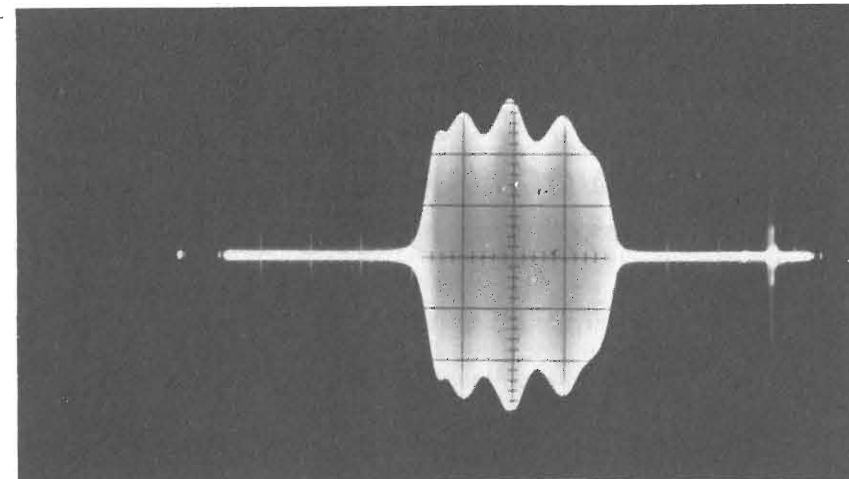
Un difetto è questo: date le grosse capacità di accoppiamento, si hanno lunghe costanti di tempo nel circuito dei varicap.

Perciò il comando « correzione », che può peraltro essere omesso collegando i varicap al +9 V con 47 k Ω , richiede alcuni secondi per poter agire dopo essere stato ruotato, così pure agendo sull'interruttore di sweep e sulla accensione generale si hanno spostamenti di frequenza che si annullano nel giro di 10 o 15 sec.

Come risultati ho potuto vedere la risposta di un filtro meccanico Collins per SSB a 455 montato nella catena di media del mio RX autocostruito, e la immagine è accettabile.

Mentre per medie — o filtri — sempre a 455 kHz ma più larghe, lo sweepaggio può rivelarsi insufficiente.

A ciò si può ovviare iniettando il segnale RF prima del mixer, regolando il tasso di sweep al minimo indispensabile.



Curva di risposta di una catena MF 455 kHz con filtro meccanico da 2,4 kHz. La non perfetta orizzontalità del ripple è dovuta a una non buona regolazione dei trasformatori MF.

Anche un quarzo per BFO sempre a 455 si fa vedere pur se con una vistosa serie di code di risonanza (per questi Q penso occorrono frequenze di sweep molto al di sotto di 1 Hz).

Particolari note costruttive non ve ne sono, tranne quella di curare almeno meccanicamente la parte RF.

Il circuito non è per nulla critico e i componenti sostituibili con equivalenti al più con qualche riaggiustaggio alle polarizzazioni.

Per sapere a quanti kilohertz corrisponde una divisione orizzontale sullo schermo basta spostare l'immagine tra i due estremi dello schermo stesso e guardare sulla scala tarata dello sweep a quale intervallo di kilohertz corrisponde, si divide poi per il numero di divisioni attraversate (1).

Circa il possibile impiego con RX già funzionanti, consiglio di tenere il livello di RF al minimo possibile e disattivare il circuito di CAG che in certi casi deforma molto l'immagine, specie a seconda delle costanti di tempo inserite in esso. Un'altra cosa: un errore in cui ero caduto è ricordarsi che i costruttori forniscono le caratteristiche dei filtri in dB mentre noi osserviamo una scala di tensione lineare.

Inoltre tenere presente che lo sweepaggio è unilaterale, nel senso che la frequenza viene shiftata solo verso valori inferiori a quello che segna la scala. Sperando di essere stato utile a qualcuno e ben cosciente di non aver scoperto nulla di nuovo, resto a disposizione di chi si voglia mettere in contatto con me.

Riferimenti bibliografici del testo

- 1) Giampaolo Fortuzzi, Generatore sweep a lenta scansione per filtri a quarzo, **cq elettronica**, febbraio 1967.
- 2) H. Schreiber, Vobulateur accordé par diode à capacité variable, **Radio-Constructeur**, juillet-août 1970.

Giuseppe Zella, I2-12315, presenta:

operazione ascolto

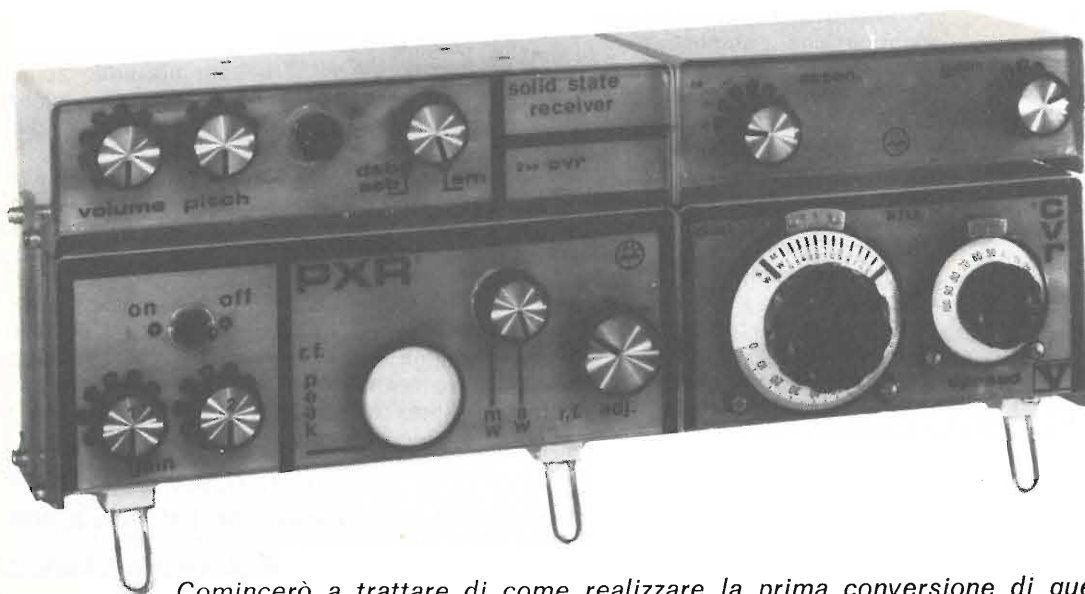
**costruiamo insieme
una completa stazione d'ascolto
per ricevere un po' di tutto**

(segue dai numeri precedenti)

1) realizzazione di un ricevitore a doppia conversione

a) La prima conversione

Iniziamo la realizzazione del ricevitore a doppia conversione di frequenza presentato nei numeri scorsi e che mi auguro abbia incontrato il vostro favore.



Comincerò a trattare di come realizzare la prima conversione di questo ricevitore, che potrà già essere provata in unione a qualunque ricevitore dotato della gamma dei 31 m e quindi della frequenza di 9000 kHz.

Partiamo quindi dal modulo contenente l'alimentatore e la basetta col circuito dei due stadi amplificatori RF: il contenitore dei detti circuiti è un « Teko » modello BC/4.

Inizieremo a praticare i fori necessari per la fuoriuscita dei perni dei vari comandi, ovvero dei due potenziometri che controllano il guadagno dei due stadi amplificatori (transistori Q_1 , Q_2), del condensatore variabile di accordo C_{v1}/C_{v3} e per il controllo fine di RF, C_{v2} , nonché per il commutatore di banda $S_1/S_2/S_3/S_4$ e per l'interruttore dell'alimentazione.

Sulla parte posteriore del box verranno poi praticati altri fori in cui andranno inserite le due prese da pannello tipo BNC oppure SO239, corrispondenti all'ingresso dell'antenna e all'uscita dei due stadi amplificatori RF. Oltre alle due prese da pannello verranno anche montate due prese da pannello tipo banana per l'alimentazione dei vari stadi componenti il ricevitore nonché altre due prese dello stesso tipo per l'ingresso della tensione delle pile in caso di alimentazione autonoma.

Verranno pure praticati fori che permettano la inserzione del transistor Q_{20} dell'alimentatore che andrà fissato sulla parte posteriore del modulo, come riportato nelle fotografie.

Dopo di questo verranno praticati fori necessari al fissaggio della basetta che porta i due stadi amplificatori RF: questi fori verranno praticati nella parte inferiore del box, in modo da consentire alla basetta un fissaggio orizzontale.

Nella parte posteriore andrà poi praticato un altro foro in cui andrà inserito un gommino passacavo, in cui verrà infilato il cavo di alimentazione da rete. Fatto tutto ciò, si passerà a praticare altri fori per il fissaggio del condensatore variabile C_{v1}/C_{v3} ; indi si potrà iniziare a montare l'alimentatore stabilizzato nel modo più razionale possibile.

Fatto ciò, si passerà al montaggio dei vari comandi; dopo aver realizzato le bobine L_2/L_3 , L_4/L_5 secondo i dati qui riportati, s'inseriranno le stesse nella basetta dopo aver praticato i fori necessari alla loro inserzione.

Le bobine, una volta inserite, andranno poi fissate con dell'ottimo collante alla basetta stessa; i numeri di riferimento 1, 2, 3, 4 riportati sia sulla basetta che sullo schema elettrico contraddistinguono i vari capi delle bobine nel seguente ordine: 1 = inizio del link; 2 = fine del link; 3 = inizio della bobina; e infine 4 = fine della bobina.

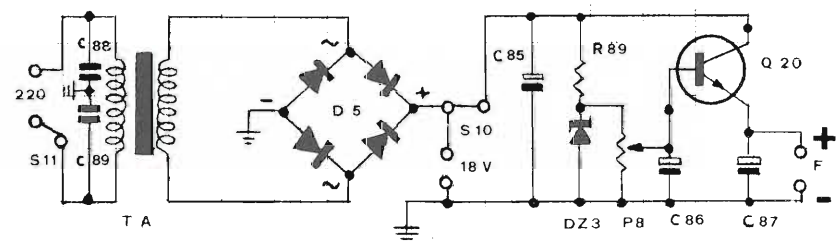
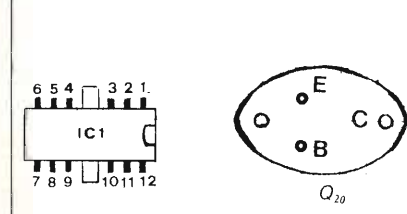
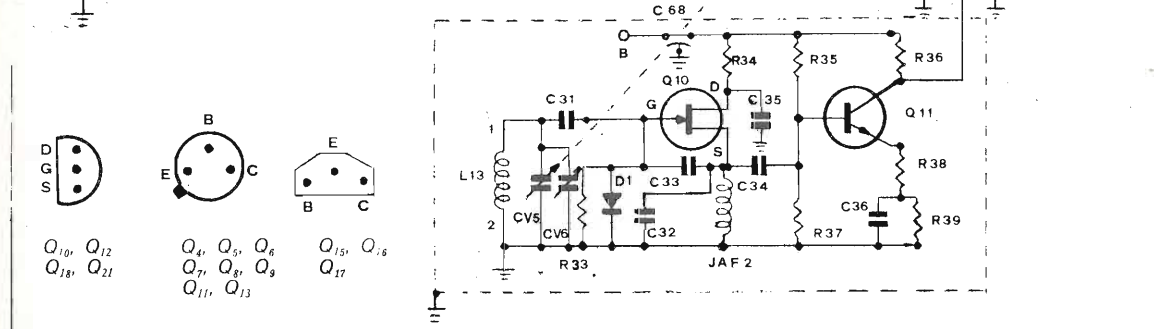
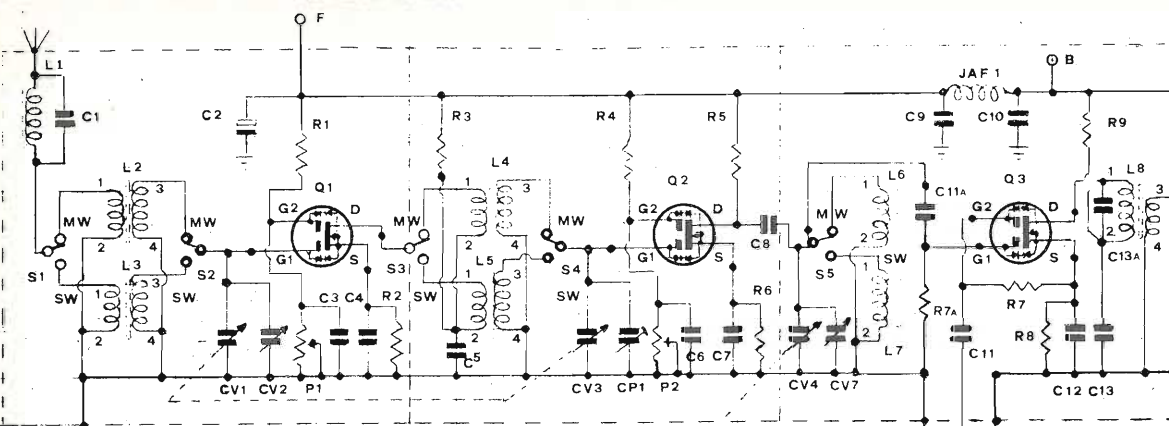
I capi 1 e 3 di $L_2/L_3/L_4/L_5$ andranno direttamente saldati al commutatore doppio $S_1/S_2/S_3/S_4$.

Al terminale corrispondente al rotore di ogni singola via verranno effettuati i collegamenti seguenti: al rotore di S_1 si collegherà la trappola L_1/C_1 in serie all'antenna; a quello di S_2 andrà invece collegata la parte fissa di C_{v1} e la G_1 del mosfet Q_1 (vedi basetta lato componenti); a quello di S_3 si collegherà invece il drain di Q_1 (vedi basetta) e infine al rotore di S_4 si collegherà la G_1 di Q_2 (vedi basetta) e l'altra sezione del variabile C_{v3} (C_{v1} e C_{v3} sono le due sezioni di un variabile doppio).

Su quest'ultima sezione andrà poi direttamente saldato il compensatore C_{p1} collegato tra questa sezione e massa.

I collegamenti tra l'ingresso d'antenna e la trappola L_1/C_1 e quella d'uscita da C_8 alla femmina coassiale andranno fatti con cavetto per alta frequenza. I collegamenti tra i due potenziometri P_1 e P_2 e la basetta andranno effettuati mediante cavetto schermato.

I collegamenti tra le bobine e il commutatore di banda dovranno risultare i più corti possibile; com'è visibile dalla riproduzione della basetta, tra uno stadio amplificatore e l'altro va interposto uno schermo costituito da un lamierino in rame, ottone, o altro, che andrà collegato a massa. I due mosfet sono montati su zoccoli appositi reperibili ovunque.



Componenti alimentatore stabilizzato

- C₈₅ 2200 μF, 40 V
- C₈₆ 2200 μF, 40 V
- C₈₇ 470 μF, 25 V
- C₈₈ 1 nF, 1 kV
- C₈₉ 1 nF, 1 kV
- S₁₀/S₁₁ doppio interruttore
- R₈₉ 250 Ω, 3 W
- P₈ 25 kΩ, trimmer
- D₅ raddrizzatore a ponte B30/C2200
- D₂₃ zener 15 V, 4 W
- Q₂₀ 2N3055 (RCA, Motorola)
- T_A trasformatore d'alimentazione minimo 15 W, primario universale, secondario 20 V

Componenti amplificatore RF

- C₁ 220 pF
- C₂ 100 μF, 16 V, elettrolitico
- C₃ 10 nF
- C₄ 0,1 μF
- C₅ 10 nF
- C₆ 10 nF
- C₇ 0,1 μF
- C₈ 1 nF
- tutti ceramici, tranne C₂
- C_{v1}/C_{v3} variabile doppio (330+330) pF demoltiplicato
- C_{v2} variabile ceramico da 50 pF
- C_{pl} compensatore ceramico da 10 a 60 pF
- R₁ 100 kΩ
- R₂ 150 Ω
- R₃ 470 Ω
- R₄ 100 kΩ
- R₅ 470 Ω
- R₆ 150 Ω
- tutte da 1/8 W, 5%
- L₁ 12 spire di filo Ø 0,25 mm avvolte su supporto Ø 6 mm con nucleo
- L₂ 150 spire di filo Ø 0,1 mm avvolte in tre strati su supporto Ø 8 mm con nucleo, link 10 spire stesso filo avvolte dal lato freddo di L₂
- L₃ 30 spire filo Ø 0,22 mm avvolte su supporto Ø 8 mm con nucleo, link 5 spire stesso filo avvolte dal lato freddo di L₃
- L₄ come L₁
- L₅ come L₃
- S₁/S₂/S₃/S₄ commutatore in steatite o ceramica a due sezioni, due vie, due posizioni
- P₁, P₂ potenziometri a variazione lineare da 47 kΩ ciascuno
- Q₁, Q₂ FTO601 Fairchild (Gate Protected MOS Cascode N-Channel Field Effect RF Amplifier)

Componenti VFO

- C₁₁ 50 pF
- C₂₁ 220 pF
- C₃₂ 220 pF
- C₃₃ 220 pF
- C₃₄ 220 pF
- C₃₅ 6,8 nF
- C₃₆ 6,8 nF
- C₆₈ 1 nF, passante
- C_{v4}/C_{v5} variabile doppio da (270+270) pF demoltiplicato
- C_{v6}/C_{v7} variabile doppio da (18+18) pF (miniatura)
- D₁ 1N914
- J_{FA2} impedenza alta frequenza da 3 mH
- L₁₃ 6 spire di filo Ø 0,30 mm su supporto quadrato tipo GBC O/696-00
- Q₁₀ FET BF244
- Q₁₁ 2N708
- R₃₃ 470 kΩ
- R₃₄ 1 kΩ
- R₃₅ 47 kΩ
- R₃₆ 2,7 kΩ
- R₃₇ 4,7 kΩ
- R₃₈ 270 Ω
- R₃₉ 100 Ω
- NPO o mica argentata
- ceramici

Componenti stadio mixer 1

- C₉ 10 nF
- C₁₀ 10 nF
- C_{11A} 1 nF
- C₁₂ 10 nF
- C₁₃ 10 nF
- C_{13A} 47 pF
- R₇ 100 kΩ
- R_{7A} 100 kΩ
- R₈ 270 Ω
- R₉ 100 Ω
- ceramici
- C_{v4} sezione del variabile doppio (C_{v4}/C_{v5}) da (270+270) pF demoltiplicato
- C_{v7} sezione del variabile doppio (C_{v6}/C_{v7}) da (18+18) pF (miniatura)
- L₆ 180 spire filo Ø 0,1 mm avvolte in tre strati su supporto Ø 8 mm con nucleo
- L₇ 35 spire filo Ø 0,22 mm avvolte su supporto Ø 8 mm con nucleo
- L₈ 40 spire filo Ø 0,35 mm avvolte su supporto Ø 6 mm con nucleo, link di 7 spire stesso filo avvolte dal lato freddo di L₈
- J_{AF1} impedenza alta frequenza 3 mH
- S₅ commutatore in steatite o ceramica, una sezione, una via, due posizioni
- Q₃ FTO601 Fairchild (Gate Protected Mos Cascode N - Channel Field Effect RF Amplifier oppure 40673 (RCA).

Una volta montata completamente questa sezione si potrà, dopo aver provveduto alla taratura della stessa, passare al collaudo pratico sempreché si disponga di un ricevitore dotato delle gamme coperte da questa sezione. Supposto che sia così, basterà collegare l'uscita del modulo all'ingresso d'antenna del ricevitore mediante uno spezzone di cavetto per alta frequenza: l'antenna andrà naturalmente collegata all'ingresso del modulo amplificatore.

Posto in funzione il tutto è avendo cura di mantenere al minimo l'amplificazione mediante i due potenziometri P_1 , P_2 , si sintonizzerà una qualunque emissione col ricevitore.

Quello che si sarà sintonizzato può risultare molto debole in quanto i vari stadi dell'amplificatore potrebbero essere dissintonizzati rispetto al segnale ricevuto; basterà ora agire sul comando del variabile doppio fino a che il segnale sintonizzato non aumenti d'intensità in modo notevole.

Con il comando del variabile C_{v2} che assolve al compito di affinare la sintonia del primo stadio e renderlo così il più selettivo possibile si migliorerà poi la qualità della ricezione; agendo quindi sul potenziometro P_1 si potrà aumentare ulteriormente l'intensità del segnale ricevuto.

Il potenziometro P_2 andrà invece mantenuto sempre in posizione corrispondente al minimo di amplificazione del secondo stadio per le seguenti ragioni: il secondo stadio amplificatore equipaggiato con Q_2 ha in condizioni normali la funzione di compensatore d'inserzione, serve cioè a compensare le perdite di segnale derivanti dalle varie connessioni esistenti tra i vari componenti costituenti il circuito.

Solo in particolari condizioni, quando cioè si ha bisogno di dare « birra » al ricevitore in quanto si sta ricevendo un segnale particolarmente debole, si agirà sul comando del potenziometro P_2 che farà aumentare il guadagno di Q_2 e di conseguenza l'amplificazione complessiva.

Man mano che ci si sposterà in frequenza con il ricevitore si accorderanno gli stadi dell'amplificatore agendo sul variabile come dianzi detto.

Il tutto, se realizzato secondo le istruzioni e con una certa cura, funzionerà subito e bene; unica raccomandazione è quella di non avere fretta di terminare, questo al fine di non dover rifare tutto di nuovo dopo aver invocato (si fa per dire) tutti i santi del calendario.

Ricordo ancora una volta di porre particolare cura nella realizzazione delle bobine e poi di tutto il complesso in quanto questo rappresenta una sezione di capitale importanza dell'intero complesso ricevente.

La tensione di alimentazione dovrà risultare non superiore ai 15 V_{cc} e non inferiore a detto valore.

Altra raccomandazione che sarà forse considerata superflua ma che ritengo necessaria è quella di fare attenzione a non invertire tra loro i terminali dei mosfet e di non aggeggiarci attorno con il circuito alimentato pena la sicura distruzione dei transistor stessi. La basetta andrà fissata al contenitore mediante distanziatori in alluminio o altro materiale interposti tra la basetta e il box medesimo.

realizzazione del modulo VFO e mixer

Una volta stabilito che l'alta frequenza funziona, possiamo senz'altro passare alla realizzazione dell'altro modulo in cui sono contenuti il VFO e il circuito del mixer di prima conversione.

Per quanto riguarda la realizzazione meccanica si procederà come per il modulo precedente; il box in cui andrà realizzato quanto segue è il BC/3 sempre « Teko ».

In questo box andranno inseriti, oltre alle due basette stampate, i seguenti componenti: il commutatore S_5 che per comodità è stato montato posteriormente, il condensatore variabile doppio C_{v4}/C_{v5} uguale a quello impiegato per l'alta frequenza, il variabilino C_{v6}/C_{v7} avente funzione di band-spread e infine le solite due femmine coassiali da pannello di ingresso e uscita e le due femmine a banana per l'alimentazione del modulo.

Sulla parte anteriore del box si dovranno poi montare le due manopole demoltiplicate dotate di scala graduata (vedi foto), che andranno a innestarsi sui perni dei due variabili C_{v4}/C_{v5} e C_{v6}/C_{v7} .

Le due basette stampate andranno, una volta fissate al box tramite i soliti distanziatori, schermate una dall'altra mediante interposizione di uno schermo costituito da un lamierino metallico che andrà saldato al box stesso.

Sul lamierino verrà praticato un foro entro cui andrà inserito il condensatore passante C_{68} a cui andrà collegata l'alimentazione della basetta del VFO e dall'altro capo l'impedenza J_{AF1} e i due condensatori C_9 e C_{10} .

I terminali contrassegnati con 1 delle bobine L_6/L_7 corrispondenti all'inizio dell'avvolgimento, andranno direttamente saldati sui terminali del commutatore S_5 ; sul terminale corrispondente al rotore del commutatore andrà collegato il cavetto di collegamento proveniente dalla femmina coassiale d'ingresso, una sezione del condensatore variabile C_{v4}/C_{v5} a cui sarà stata già collegata una delle due sezioni di C_{v6}/C_{v7} , e il terminale proveniente da C_{11A} (vedi basetta).

Le bobine L_6/L_7 , L_8 verranno inserite sulla basetta nei fori appositi e poi incollate con dell'ottimo collante.

La bobina oscillatrice L_{13} andrà invece avvitata alla basetta e poi anch'essa incollata come le precedenti.

Dopo aver completato il montaggio del complesso avendo avuto cura di collegare solidamente a massa ogni parte facente capo al VFO (ricordo che un montaggio meccanico eseguito di corsa avrà come risultato nella migliore delle ipotesi instabilità dell'oscillatore) e al mixer, potremmo anche provare se il tutto funziona.

Se così sarà si procederà alla taratura dei due circuiti; ricordo che il VFO deve risultare in grado di lavorare entro i limiti di frequenza da 9.540 a 16.500 kHz.

La bobina L_8 andrà accordata alla frequenza di 9.000 kHz.

Effettuate le operazioni di taratura, possiamo passare all'intero collaudo della prima conversione procedendo come segue: collegare il modulo amplificatore RF al modulo che abbiamo ora realizzato, mediante uno spezzone di cavo coassiale per RF intestato con due connettori maschi tipo BNC o PL.

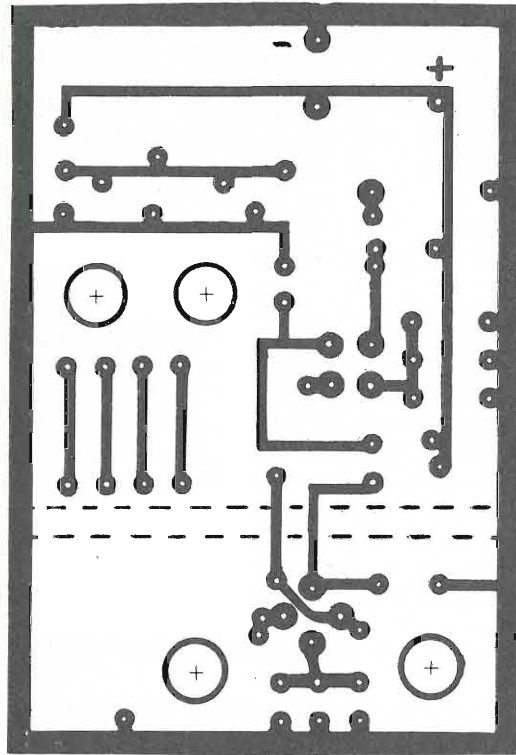
Collegheremo l'uscita della RF con l'ingresso del modulo VFO e mixer e l'uscita di quest'ultimo sempre mediante cavo come il precedente all'ingresso d'antenna del ricevitore sintonizzato sulla frequenza di 9.000 kHz. E' salutare che il ricevitore sia completamente schermato da segnali esterni che potrebbero raggiungere l'ingresso d'antenna e mixarsi a quello proveniente dalla prima conversione.

* * *

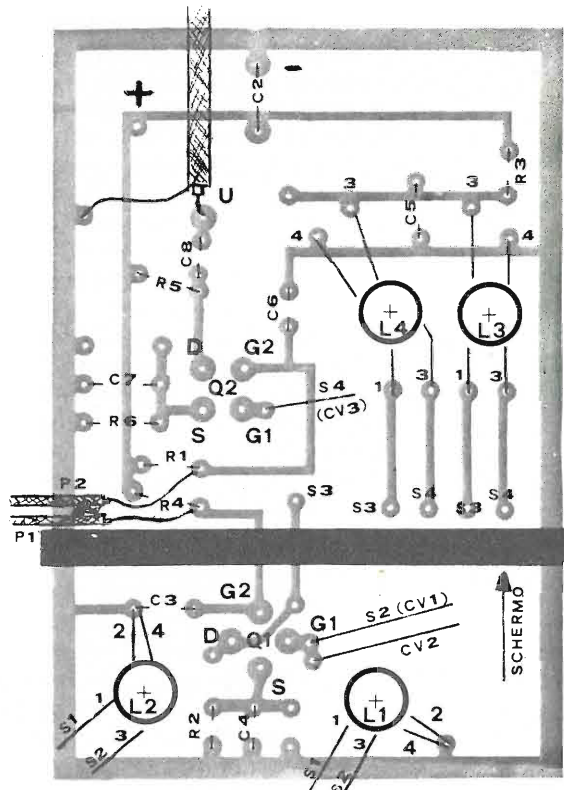
Effettuate tutte queste operazioni, possiamo senz'altro porre in funzione il convertitore SENZA PIU' TOCCARE IL COMANDO DI SINTONIA DEL RICEVITORE.

Agendo sulla manopola demoltiplicata di C_{v4}/C_{v5} andremo a sintonizzare una qualunque emissione che centeremo ulteriormente agendo sulla manopola del band-spread C_{v6}/C_{v7} , comando che useremo poi sempre più frequentemente di quello precedente.

Basetta amplificatore RF
(scala 1:1)

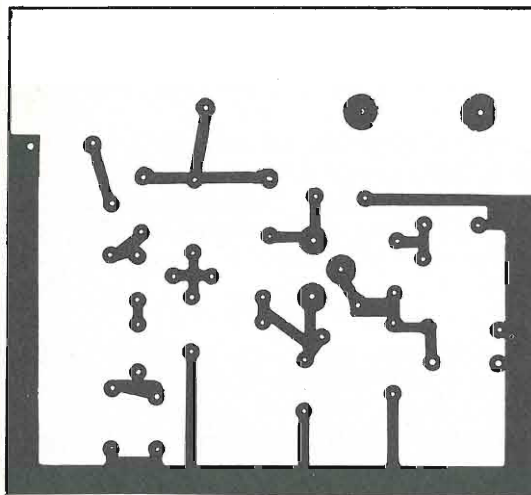


lato rame

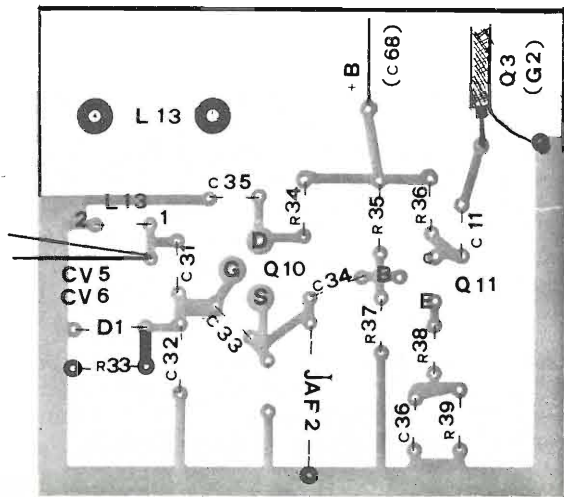


lato componenti

Basetta VFO
(scala 1:1)

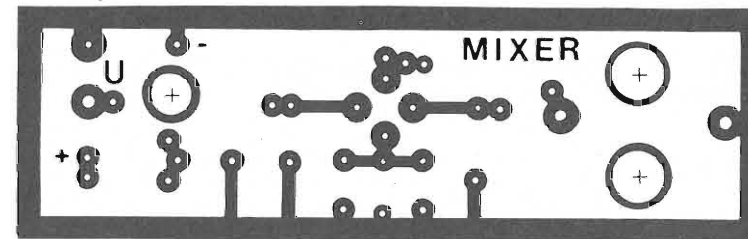


lato rame

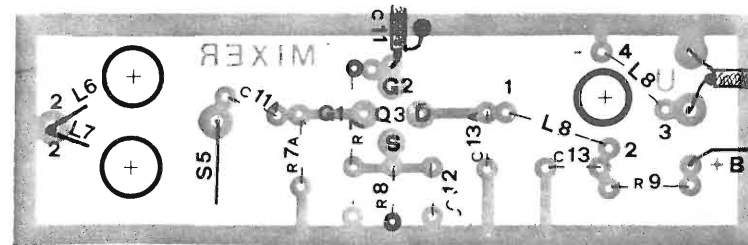


lato componenti

Basetta mixer 1ª conversione
(scala 1:1)



lato rame



lato componenti

Agendo ora sul comando di accordo della radiofrequenza (denominato RF-PEAK) dovremo notare un considerevole incremento dell'intensità del segnale ricevuto; ritoccando poi il comando di C_{v2} (denominato RF-ADJ) renderemo più selettiva la ricezione.

Agendo poi sul comando di GAIN-1 (potenziometro P_1) noteremo un ulteriore incremento del segnale, potenziato ancora di più agendo sul potenziometro P_2 (GAIN-2).

Se tutto sarà andato come dianzi detto potremo controllare il funzionamento su tutta l'escursione della gamma nelle onde medie e corte.

A ogni variazione di frequenza operata mediante il comando di band-spread o di dial, dovrà seguire una variazione del comando di accordo RF (RF-PEAK) come dianzi esposto.

Comunque queste operazioni sono di estrema semplicità e più facili a effettuarsi in pratica che non a spiegarle per iscritto.

Resterà poi da tarare la scala graduata presente sulle manopole in modo che le graduazioni corrispondano ad altrettanti valori di frequenza.

Tutte le operazioni di taratura andranno fatte con un minimo di attenzione e di competenza e naturalmente con la strumentazione adeguata.

Dimenticavo di dire che sia il mosfet Q_3 che il fet Q_{10} sono montati su zocchetti. * * * * *

(segue al prossimo numero)

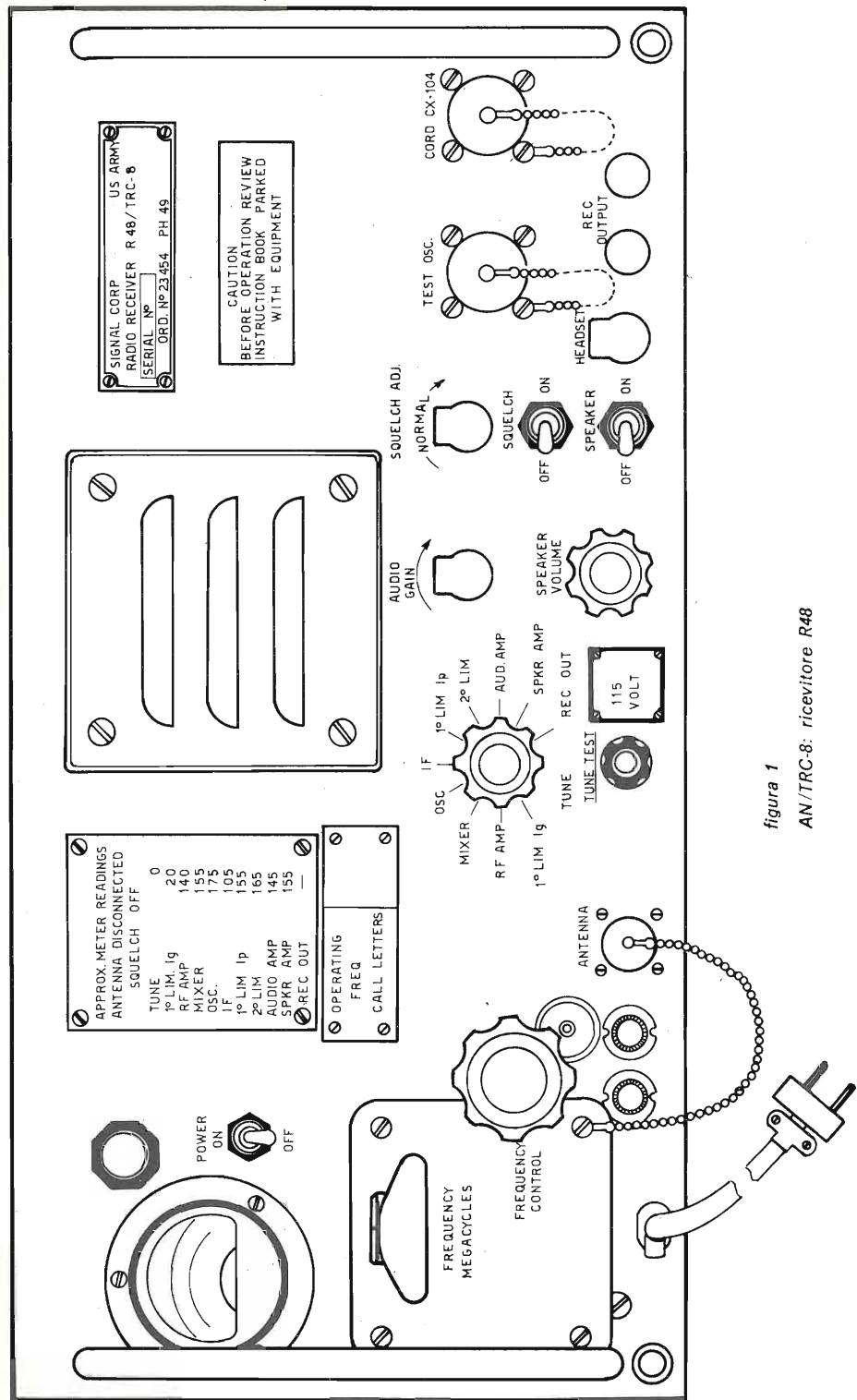


figura 1
AN/TRC-8: ricevitore R48

Descrizione del ricevitore

Il pannello del ricevitore (figura 1) presenta (da sinistra a destra e dall'alto in basso):

- Uno strumento di misura con doppia graduazione (in mA e in dB).
- L'interruttore generale « POWER ON - OFF »; nella posizione « ON » il ricevitore si alimenta.
- Una tabellina indicante i massimi e minimi valori che deve segnare lo strumento per le varie posizioni del commutatore di misura (in alcuni esemplari del R-48/TRC-8 su questa tabellina sono riportati solamente i valori medi).
- L'altoparlante.
- Una finestrella contrassegnata « FREQUENCY MEGACYCLES » per la lettura della frequenza di lavoro sul quadrante di sintonia.
- Una tabellina « OPERATION FREQ. CALL LETTERS » usata per scrivervi le frequenze di lavoro e di riserva.
- La manopola del comando principale di sintonia « FREQUENCY CONTROL » con bottone zigrinato di bloccaggio del comando.
- Un commutatore di inserimento dello strumento di misura a undici posizioni che corrispondono rispettivamente a:

- | | |
|---------------------------|---|
| 1 - TUNE | Utilizzato per controllare e affinare la sintonia del ricevitore; misura la componente continua in uscita del discriminatore. |
| 2 - 1 ^o LIM 1g | Misura la corrente di griglia della prima valvola limitatrice. |
| 3 - RF AMP | Misura la corrente di placca della valvola amplificatrice alta frequenza. |
| 4 - MIXER | Misura la corrente di placca della valvola miscelatrice. |
| 5 - OSC | Misura la corrente di placca della valvola oscillatrice ad alta frequenza. |
| 6 - IF | Misura la corrente di placca delle valvole amplificatrici a media frequenza e della seconda limitatrice. |
| 7 - 1 ^o LIM 1p | Misura la corrente di placca della prima valvola limitatrice. |
| 8 - 2 ^o LIM | Misura la corrente di uscita del discriminatore. |
| 9 - AUDIO AMP | Misura la corrente di placca della amplificatrice di bassa frequenza. |
| 10 - SPKR AMP | Misura la corrente di placca della amplificatrice di bassa frequenza, del canale a bassa fedeltà. |
| 11 - REC OUT | Misura l'intensità della corrente a bassa frequenza, quattro canali, in uscita del ricevitore. |

- Un comando a cacciavite, con sportellino di protezione, « AUDIO GAIN », per la regolazione del livello di uscita ad alta fedeltà.
- Un comando a cacciavite, con sportellino di protezione, « SQUELCH ADJ. NORMAL », che agisce sulla sensibilità del ricevitore, cioè nella polarizzazione negativa della griglia degli stadi a media frequenza, per la regolazione dello squelch.
- Un interruttore « Squelch ON - OFF » di inserimento dello squelch. Quando questo viene inserito (ON), è possibile regolare a mezzo dello « Squelch Adj. », la sensibilità del ricevitore in modo che lo stesso funzioni solo se la intensità della portante in arrivo risulta superiore a un livello prestabilito. In caso di ricezione di portanti inferiori a tale livello, gli stadi del ricevitore vengono automaticamente bloccati al fine di impedire la ricezione di disturbi o di segnali troppo deboli.
- Un bocchettone di innesto « CORD CX-104 », che serve per innestarsi il cavo di unione del ricevitore con l'alimentatore PP115 dal quale si preleva la tensione di rete.
- L'uscita del cavetto di alimentazione che tramite una spina viene innestato nella cassetta di giunzione JB-110.
- Due fusibili da 2 A.
- Una presa per l'innesto del cavo coassiale d'antenna (« ANTENNA »).

- Un pulsante « TUNE TEST » per il controllo della sintonizzazione del ricevitore sul trasmettitore corrispondente. Premendolo, si inverte il senso d'inserzione dello strumento di misura quando il relativo commutatore è in posizione « TUNE ».
- Una manopola « SPEAKER ON - OFF » di inserzione dell'altoparlante.
- Una presa a jack con sportellino di protezione « HEADSET » per inserire la cuffia dell'operatore sul canale a bassa fedeltà.
- Due morsetti « REC. OUTPUT », terminali di uscita del canale ad alta fedeltà che solitamente vengono usati per il comando a distanza con l'apparato C112/TRA-2.

A volte, unitamente al ricevitore, è possibile anche reperire l'oscillatore di prova **TS-237/TRC-8**.

È questo un generatore di armoniche, controllato a quarzo, progettato e costruito per fornire le armoniche necessarie per l'allineamento degli stadi a radiofrequenza del ricevitore.

Un quarzo che oscilla a 5 MHz fornisce frequenze armoniche comprese nella gamma da 230 a 250 MHz.

L'alimentazione per il funzionamento dell'oscillatore, che impiega una sola valvola del tipo 6AG7, viene prelevata dal ricevitore R48 mediante il bocchettone che si trova sul pannello frontale.

Descrizione particolareggiata del R-48/TRC-8

Come già prima accennato, l'apparato R-48/TR-8 è un ricevitore del tipo supererodina a conversione unica con valore di media frequenza di 28,5 MHz.

Monta complessivamente quindici valvole del tipo e con le funzioni indicate a pagina seguente e visibili anche nello stenogramma di figura 2.

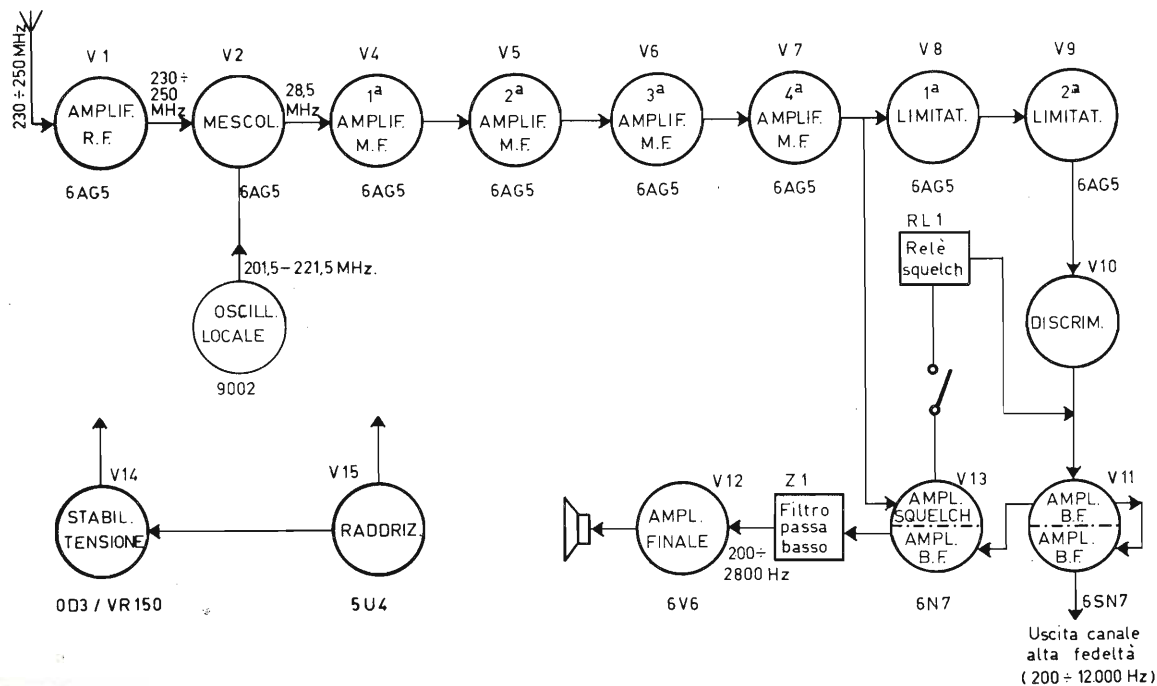


figura 2

R48 - TRC-8: stenogramma

V1 (6AG5)	amplificatrice di RF;
V2 (6AG7)	mescolatrice;
V3 (9002)	oscillatrice di conversione;
V4 (6AG5)	prima amplificatrice di media frequenza;
V5 (6AG5)	seconda amplificatrice di media frequenza;
V6 (6AG5)	terza amplificatrice di media frequenza;
V7 (6AG7)	quarta amplificatrice di media frequenza;
V8 (6AG5)	prima limitatrice;
V9 (6AG5)	seconda limitatrice;
V10 (6AL5)	discriminatrice;
V11 (6SN7)	amplificatrice finale di bassa frequenza per il canale ad alta fedeltà e pre-amplificatrice di bassa frequenza per il canale a bassa fedeltà;
V12 (6V6)	amplificatrice finale di BF per il canale a bassa fedeltà;
V13 (6N7)	squelch, amplificatrice di bassa frequenza;
V14 (0D3/VR150)	regolatrice di tensione di alimentazione;
V15 (5U4)	raddrizzatrice di alimentazione.

Il segnale captato dall'antenna viene amplificato dalla valvola amplificatrice RF (V1) e quindi trasferito alla mescolatrice V2.

L'oscillatore di conversione, rappresentato dalla valvola V3, genera una radiofrequenza che differisce dalla frequenza di lavoro di 28,5 MHz in meno e la trasferisce alla mescolatrice V2.

In quest'ultima valvola si immettono due correnti a radiofrequenza, dal battimento delle quali si ottiene la media frequenza, del valore di 28,5 MHz, modulata in frequenza in modo identico al segnale captato dall'antenna.

Tale media frequenza viene amplificata successivamente dalle quattro amplificatrici di media frequenza V4, V5, V6 e V7, che determinano la maggior parte del guadagno e della selettività del ricevitore.

L'uscita della quarta amplificatrice di media frequenza (V7) viene portata alla prima limitatrice V8 che ha lo scopo di eliminare il più possibile eventuali modulazioni in ampiezza presenti nel segnale.

La seconda limitatrice (V9) provvede a limitare ulteriormente il segnale che vi giunge dalla prima limitatrice in modo da ottenere in uscita un segnale praticamente privo di componenti modulate in ampiezza.

Il discriminatore, che comprende la V10, trasforma le variazioni di frequenza contenute nel segnale proveniente dalla seconda limitatrice V9 in una tensione variabile di bassa frequenza corrispondente esattamente alla tensione originale usata per la modulazione del trasmettitore.

Tale tensione variabile a bassa frequenza viene riportata a controllare la sezione « A » della V11 che nel nostro caso assolve a una doppia funzione:

- amplificatrice finale di bassa frequenza per il canale ad alta fedeltà, in quanto la sua uscita, tramite opportuno accoppiamento, è in parte riportata ai morsetti di uscita del canale ad alta fedeltà;
- prima amplificatrice di bassa frequenza per il canale a bassa fedeltà, in quanto parte della sua uscita viene portata alla sezione « B » della stessa V11 che ha funzione di seconda amplificatrice di bassa frequenza per il canale a bassa fedeltà.

Il segnale di bassa frequenza così amplificato attraversa il filtro passa-basso Z1 che provvede alla eliminazione delle frequenze superiori a 2.800 Hz e giunge all'amplificatore finale di bassa frequenza V12 a cui risulta collegato l'altoparlante, tramite adatto trasformatore, e la cuffia (uscita del canale a bassa fedeltà). La stessa tensione di ingresso della prima limitatrice V8 controlla il funzionamento della V13 la cui corrente anodica comanda il relè-squelch RL1.

Quest'ultimo, quando lo squelch è inserito, provvede a bloccare il funzionamento dell'amplificatore di bassa frequenza V11, eliminando così qualsiasi rumore in uscita, quando non vi è portante in arrivo al ricevitore.

Nel ricevitore possono essere impiegate linee concentriche per realizzare circuiti serie e parallelo a elevato Q, ad altissime frequenze.

Si ottengono così elevate amplificazioni, grande selettività, stabilità in frequenza e basse perdite.
 Le linee concentriche hanno il vantaggio di essere auto-schermate, cioè non irradiano energia in quanto i campi elettromagnetici sono contenuti all'interno del conduttore esterno.
 Uno schema di principio di queste linee concentriche è mostrato in figura 3.

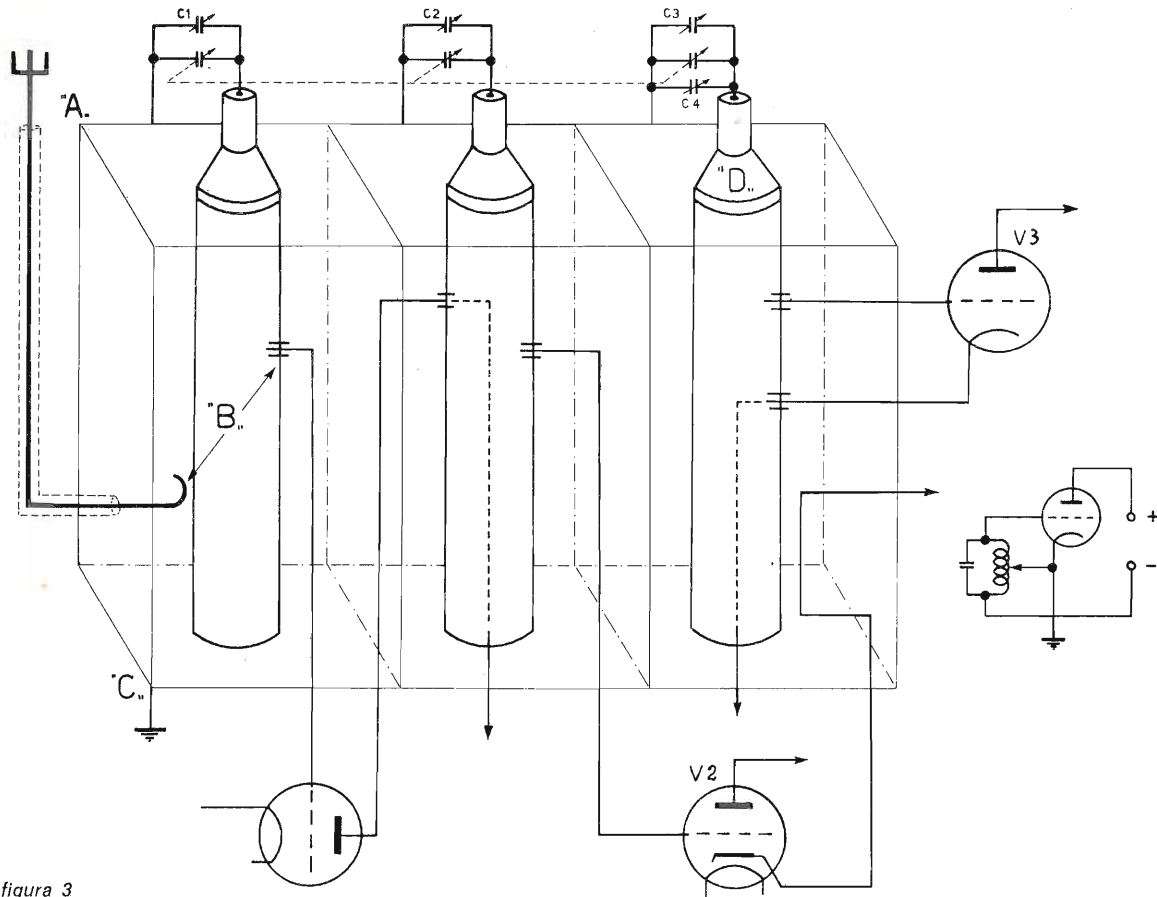


figura 3
 AN/TRC-8 - ricevitore R48: linee concentriche.

I condensatori C1, C2, C3 sono dei trimmer e servono per ridurre la lunghezza delle linee risonanti.
 C4 è un condensatore compensatore automatico per le variazioni di temperatura; la sua capacità diminuisce con l'aumento di induttanza degli altri elementi.
 Il punto « A » è l'estremo aperto (massima impedenza).
 Il punto « B » è l'impedenza di accoppiamento il cui valore cresce con lo spostarsi verso l'estremo aperto.
 Il punto « C » è l'estremo cortocircuitato (impedenza zero).
 La V2 è la mescolatrice RF.
 Il punto « D » sta a indicare la linea interna del circuito risonante dell'oscillatore che è di diametro più piccolo, cioè a induttanza maggiore e quindi a frequenza di risonanza minore (28,5 MHz).
 La V3 è l'oscillatrice tipo Hartley il cui schema di principio è illustrato nel piccolo schema sul lato destro della figura 3.

A cosa può servire questo ricevitore oltre che a risvegliare in me antichi ricordi? Oltre all'uso per cui era stato realizzato e cioè l'impiego come parte ricevente in un ponte radio che, unito a una apparecchiatura a frequenze vettrici (TC21), consentiva l'uso di quattro canali telefonici, può essere usato senza alcuna modifica per l'ascolto di comunicazioni tra aerei nella banda 230-250 MHz.
 Un altro interessante impiego si ha facendolo precedere da vari convertitori per l'ascolto delle UHF (430, 1290 MHz, ecc.).
 Per i più bravi vi è anche la possibilità di « tirarlo » direttamente sulle bande dei 144 o 430 MHz.
 L'apparato R48/TRC-8 è reperibile presso vari surplussari italiani, in particolar modo nella zona di Roma.
 Il suo prezzo di vendita è abbastanza contenuto; alla mostra di Pordenone venivano richieste 60-70.000 lire.
 Lo schema del medesimo, per non rubare troppo spazio ad altri interessanti articoli (occuperebbe ben tre pagine della rivista!) verrà inviato a chi me ne farà richiesta accompagnandola con L. 500 in francobolli quale rimborso delle spese di fotocopiatura e spedizione.
 Con la speranza di avervi interessato con questa descrizione vi saluto e vi auguro buon ascolto. * * * * *

ELENCO APPARECCHIATURE SURPLUS
 descritte dal 3/1961 al 9/1975

apparato	Autore	n. riv.	pag.
BBC603	(H.J. Allison)	3/61	136
Radiotelefono AN-CRC7	(Redazione)	3/61	152
Radiotelefono AN-URC4	(Redazione)	3/61	153
BC221 (schema)	(Redazione)	6/61	317
APN4 (schema)	(Redazione)	6/61	318
BC659 (schema)	(Redazione)	10/61	424
BC348	(Redazione)	10/61	426
Preamplificatore			
Packard Bell mod. K	(G. Pezzi)	7/62	432
AR18 - Ammodernam.	(Z. Gandini)	1/63	40
Funksprechgerät f (1ª parte)	(G. Pezzi)	2/63	93
Funksprechgerät f (2ª parte)	(G. Pezzi)	3/63	171
Radiosonda AN/AMT11	(G. Pezzi)	4/63	222
BC357H	(G. Pezzi)	11/63	680
Provalvole I/177	(G. Pezzi)	5/64	139
Indice delle più diffuse apparecchiature surplus	(G. Pezzi)	7/64	268
		8/64	341
		11/64	536
		1/65	27
		2/65	88
		3/65	153
Feldfunkspreker b	(G. Pezzi)	2/65	113
BC312-342-314-344	(A. Tagliavini)	9/65	550
BC624-625 Elaborazione	(A. Vannoni)	2/66	112
AR18 - Dati tecnici completi	(G. Pezzi)	5/66	306
HQ120X	(G. Tosi)	7/66	448
WS88	(G. Tosi)	8/66	492
AN/APR1	(G. Pezzi)	9/66	564
BC603	(I. Cheti e G. Pezzi)	1/67	54
G4/216 (1ª parte)	(Redazione)	4/67	288
G4/216 (2ª parte)	(Redazione)	5/67	342
58 MK1	(A. Ugliano)	8/67	569
UKW E.e.	(P. Vercellino)	6/68	449
BC652A	(G. Gentili)	8/68	623
BC659	(U. Bianchi)	2/69	118
BC1000	(U. Bianchi)	5/69	436
SX28	(U. Bianchi)	7/69	602
BC728A	(U. Bianchi)	9/69	785
BC1203 e BC454	(G. Buzio)	9/69	827
19 MK II e III	(U. Bianchi)	12/69	1083
BC603 - Modifiche	(T. Guazzotti)	1/70	53
R77/ARC3	(U. Bianchi)	2/70	204

BC610 (1ª parte)	(U. Bianchi)	4/70	416
Sistema di nomenclatura delle apparecchiature alleate (AN/...)	(P. Vercellino)	5/70	495
BC610 (2ª parte)	(U. Bianchi)	6/70	632
BC603 - Modifiche	(W. Medri)	7/70	718
BC221 (Attenuatore per)	(E. Romeo)	7/70	750
AR18 - Modifiche	(G. Vinci)	7/70	752
BC611	(U. Bianchi)	8/70	838
19 MK II (modifiche)	(C. Boarino)	8/70	842
G/207 - Modifiche	(A. Ugliano)	8/70	852
BC312 - Modifiche	(P. Garlassi)	9/70	951
HRO	(U. Bianchi)	10/70	1070
BC453 - R23/ARC5	(P. Vercellino)	11/70	1196
BC348-BC224	(U. Bianchi)	12/70	1262
AN/URM23	(U. Bianchi)	2/71	158
BC603 - Modifiche	(W. Medri)	3/71	292
BC454 - Nota	(G. Monai)	4/71	402
AR88 (1ª parte)	(U. Bianchi)	4/71	413
AR88 (2ª parte)	(U. Bianchi)	6/71	620
BC348 - Modifiche e note	(G. Baffoni)	8/71	823
AR77	(U. Bianchi)	8/71	861
BC604 - 684 (1ª parte)	(U. Bianchi)	10/71	1053
BC604 - 684 (2ª parte)	(U. Bianchi)	12/71	1284
BC312 - 342 - Modifiche	(G. Buzio)	1/72	87
BC221	(M. Mazzotti)	2/72	269
BC221 (varianti) e T74	(U. Bianchi)	4/72	501
AN/VRC19	(U. Bianchi)	6/72	844
SP600JX	(U. Bianchi)	8/72	1120
Mosley - CM1 (1ª parte)	(U. Bianchi)	10/72	1382
Mosley - CM1 (2ª parte)	(U. Bianchi)	12/72	1661
OC11	(U. Bianchi)	2/73	258
HQ110	(U. Bianchi)	4/73	612
AN/GRR-5	(U. Bianchi)	10/73	1588
BC604 (note)	(U. Bianchi)	12/73	1850
SP603 (aggiornam.)	(U. Bianchi)	2/74	253
B44 Mk II (1ª parte)	(U. Bianchi)	4/74	584
B44 Mk II (2ª parte)	(U. Bianchi)	6/74	860
AR8506B (1ª parte)	(U. Bianchi)	10/74	1519
AR8506B (2ª parte)	(U. Bianchi)	12/74	1845
Dizionario del surplus	(G. Buzio)	1/75	34
BC604 - Modifiche	(U. Bianchi)	2/75	222
Contro-Dizionario del surplus	(U. Bianchi)	3/75	337
AN/URC-4 - Modifiche	(U. Bianchi)	5/75	731
Contro-controelenco VT	(G. Chelazzi)	5/75	672
Dizionario valvole surplus inglesi	(G. Chelazzi)	6/75	846
AN/TRC-8-R48	(U. Bianchi)	9/75	1333

Un tipico, versatile

MUSICA ELETTRONICA

sintetizzatore

(approccio analogico)

Paolo Marincola

Dopo la descrizione di carattere generale che ho presentato nell'articolo precedente (vedi **cq** n. 8/75), cerchiamo di esaminare più a fondo e con maggior dettaglio i problemi relativi alla struttura di un tipico sintetizzatore. E' opportuno sottolineare che, con il termine «tipico», intendiamo riferirci a uno strumento non eccessivamente sofisticato, ma sufficientemente complesso e versatile da poter meritare l'appellativo di «sintetizzatore». Il primo problema che si presenta, ovviamente, è quello di generare una certa frequenza («pitch») ogni volta che sulla tastiera viene premuto un certo tasto corrispondente a una certa nota.

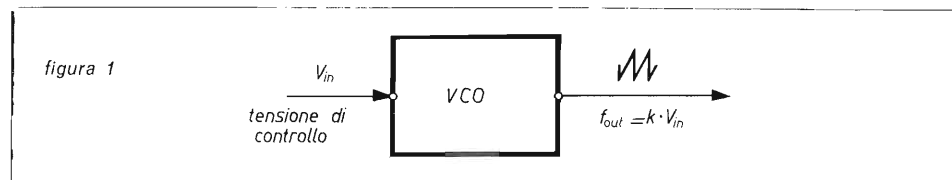
L'oscillatore controllato in tensione

Come abbiamo visto precedentemente, l'approccio «analogico» al sintetizzatore impone la presenza di un VCO (Voltage Controlled Oscillator o, con termine italiano, oscillatore controllato in tensione).

Nei sintetizzatori che sfruttano il metodo delle formanti per la generazione dei timbri (e che, d'altra parte, è molto usato, specialmente negli strumenti più economici), il VCO produce un timbro base, che di solito coincide con quello di un dente di sega.

Negli strumenti con generazione digitale del timbro (metodo della sintesi del periodo o analoghi), invece, la forma d'onda generata può essere qualunque, anche se viene preferita l'onda rettangolare o quadra per il corretto pilotaggio dei circuiti digitali.

In ogni caso, la frequenza della forma d'onda generata deve essere proporzionale a una tensione di controllo che viene applicata all'ingresso del VCO (figura 1).



Il primo problema che si incontra, in tal caso, è quello della linearità: in altri termini, il coefficiente di proporzionalità k di figura 1 deve essere rigorosamente costante per variazioni relativamente ampie della tensione d'ingresso.

Già per uno strumento con tastiera a tre ottave, infatti, la relazione tra la frequenza d'uscita e la tensione d'ingresso deve essere lineare su quasi una decade di frequenze.

Tolleranze eccessivamente larghe sulla linearità possono portare, come è facile comprendere, a imprecisioni sulla frequenza delle note alle due estremità della scala.

Un altro requisito, anch'esso molto importante, per un VCO, è quello della stabilità, intesa sia nel tempo che per variazioni ambientali (non è raro, in strumenti di tipo economico, percepire variazioni di frequenza al variare della temperatura).

L'intervallo tra due note successive (semitono) corrisponde a una variazione di circa il 6% in frequenza, ed è chiaro che un buon VCO deve avere una stabilità molto migliore di tale valore.

Se dividiamo l'intervallo corrispondente a un semitono in cento parti, e chiamiamo «cent» l'intervallo corrispondente a 1/100 di semitono, è facile verificare che la variazione di un cent in frequenza corrisponde a una variazione di circa lo 0,06% (cioè 600 parti su 1.000.000).

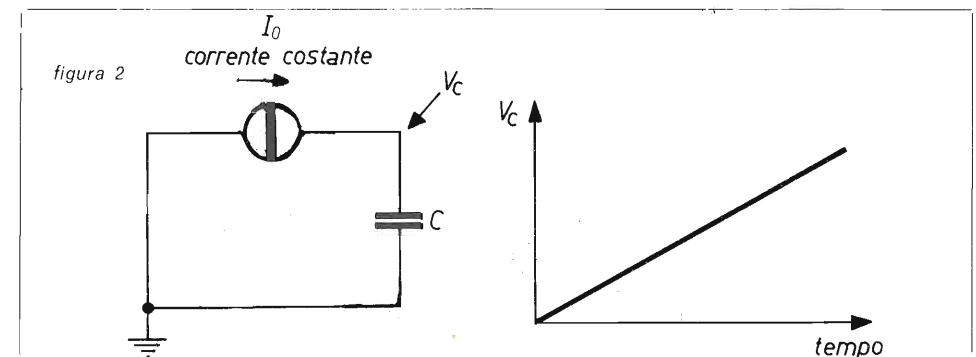
Ora, in determinate condizioni, un orecchio ottimamente esercitato è in grado di individuare variazioni periodiche corrispondenti a pochi cent.

Ne segue che, per valutare la stabilità di un VCO, un buon criterio è quello di verificare che esso riesca a mantenere il valore di una certa frequenza entro pochi cent dal valore standard.

La tabella fornisce, appunto, i valori standard delle frequenze delle varie note nella scala cosiddetta «temperata».

nota (Hz)	numero dell'ottava								
	0	1	2	3	4	5	6	7	8
DO	16.351	32.703	65.406	130.81	261.62	523.25	1046.5	2093.0	4186.0
DO #	17.324	34.648	69.296	138.59	277.18	554.36	1108.7	2217.5	4434.9
RE	18.354	36.708	73.416	146.83	293.67	587.33	1174.4	2349.3	4698.6
RE #	19.445	38.891	77.782	155.56	311.13	622.25	1244.5	2489.0	4978.0
MI	20.601	41.203	82.407	164.81	329.63	659.26	1318.5	2637.0	5274.0
FA	21.827	43.654	87.307	174.61	349.23	698.46	1396.9	2793.8	5587.7
FA #	23.124	46.249	92.499	184.99	369.99	739.99	1479.9	2959.9	5919.9
SOL	24.499	48.999	97.999	195.99	391.99	783.99	1567.9	3135.9	6271.9
SOL #	25.956	51.913	103.83	207.65	415.31	830.61	1661.2	3322.4	6644.9
LA	27.500	55.000	110.00	220.00	440.00	880.00	1760.0	3520.0	7040.0
LA #	29.135	58.270	116.54	233.08	466.16	932.32	1864.7	3729.3	7458.6
SI	30.867	61.735	123.47	246.94	493.88	987.76	1975.5	3951.1	7902.1

Un VCO può, naturalmente, essere costruito in base a principi molto diversi. Comunque, di solito, viene sfruttato il fatto che la tensione ai capi di un condensatore varia linearmente nel tempo, se il condensatore viene caricato con una corrente costante (figura 2).

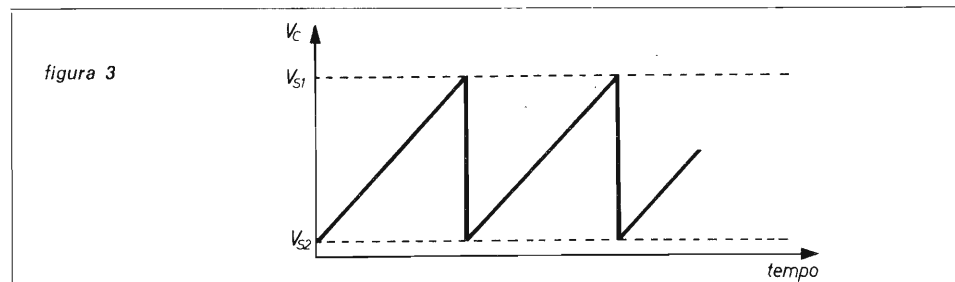


Stabilito ciò, supponiamo di poter costruire un circuito che realizzi il seguente processo:

(a) il condensatore viene lasciato libero di caricarsi linearmente finché la tensione ai suoi capi non raggiunge un certo valore di soglia V_{s1} ;

(b) a questo punto il condensatore viene fatto scaricare il più rapidamente possibile;

(c) quando la tensione ai capi del condensatore raggiunge lo zero (o, in generale, un altro valore di soglia V_{s2}), il ciclo riprende dal passo (a); (figura 3).



E' facile verificare che con un tale circuito abbiamo generato un dente di sega la cui frequenza dipende soltanto dal valore della corrente I_0 , dalla capacità C e dai due valori di tensione V_{s1} e V_{s2} (o, meglio, dalla loro differenza).

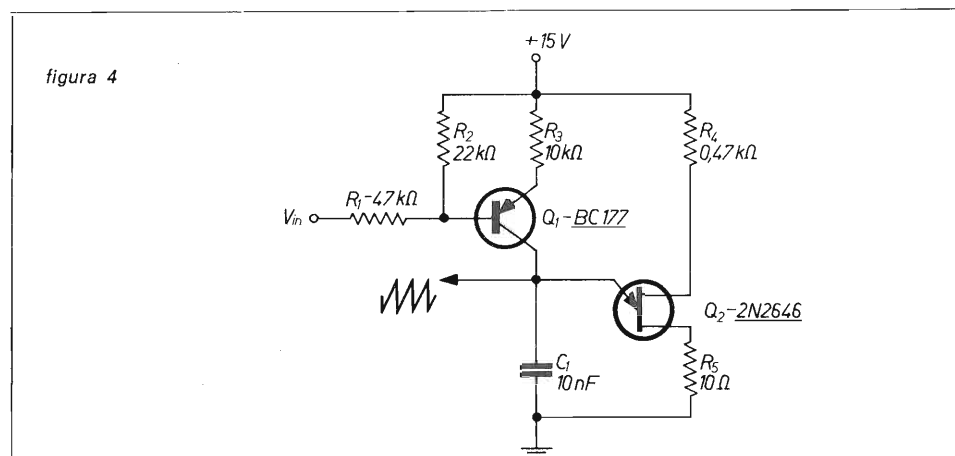
Se ora riusciamo a rendere la corrente I_0 proporzionale a una tensione di controllo, ecco che, mantenendo costanti C e le tensioni di soglia, abbiamo realizzato un semplice ed efficiente VCO, con l'ulteriore vantaggio di avere in uscita una forma d'onda la cui ampiezza non dipende dalla frequenza e che è direttamente utilizzabile per i nostri scopi.

Un attento esame del processo sopra descritto mette altresì in chiaro i limiti di un tale VCO, relativamente alla linearità e alla stabilità.

Poiché il tempo di scarica del condensatore, per quanto piccolo, non può mai essere reso nullo, ne consegue che, al fine di avere una buona linearità, il tempo di scarica deve essere trascurabile rispetto al minimo tempo di carica; in altri termini, rispetto al periodo corrispondente alla massima frequenza desiderata. Inoltre il coefficiente di proporzionalità che lega la tensione di controllo alla corrente di carica deve essere quanto più possibile costante e indipendente dalla temperatura, dalla tensione di alimentazione e così via.

Infine, i due valori V_{s1} e V_{s2} devono essere quanto più possibile costanti, nelle medesime condizioni; ad analoghi requisiti deve soddisfare, ovviamente, anche il condensatore C .

Un circuito molto semplice ma abbastanza soddisfacente è quello raffigurato in figura 4.



La tensione di controllo V_{in} viene ripartita dai resistori R_1 e R_2 e applicata alla base del transistor Q_1 .

La corrente di collettore di Q_1 , è, entro ampi limiti, praticamente proporzionale a V_{in} , per cui C_1 si carica linearmente, fino a che la tensione ai suoi capi non raggiunge il valore della tensione di picco del transistor unigiunzione (UJT) Q_2 . A questo punto Q_2 entra nella zona di resistenza negativa e C_1 si scarica molto rapidamente attraverso di esso e il resistore R_5 ; quando la tensione ai capi di C_1 raggiunge il valore della tensione di valle di Q_2 (prossima a zero volt), quest'ultima diventa un circuito praticamente aperto per C_1 e il ciclo riprende.

Con i valori dati in figura per i componenti, la frequenza del dente di sega prelevato ai capi di C_1 (tramite un circuito ad alta impedenza d'ingresso, per non influenzare il processo di carica) si aggira sui 13 kHz per una tensione d'ingresso di zero volt, e sui 400 Hz per $V_{in} = 12$ V.

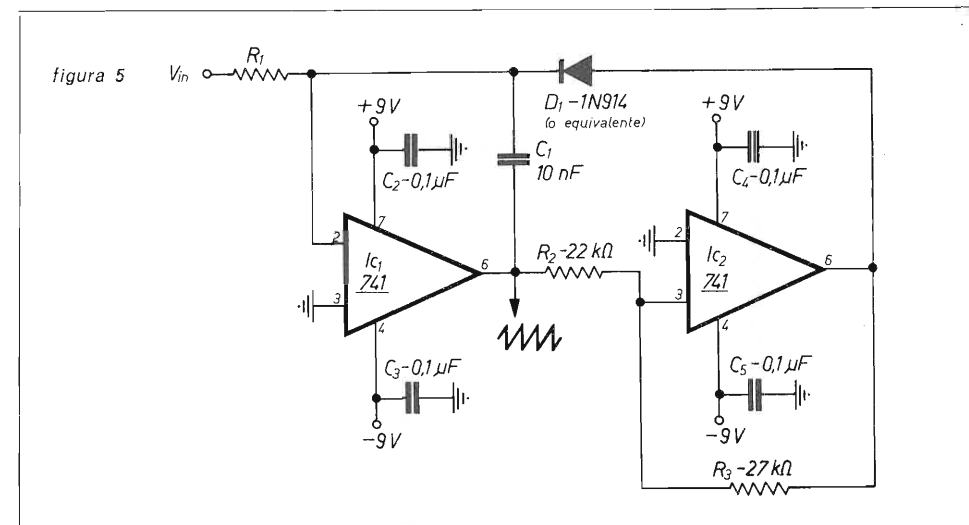
Apprezzabili differenze, comunque, possono essere notate in fase sperimentale, dovute al fatto che i parametri del UJT possono variare entro limiti relativamente ampi anche tra unità dello stesso tipo.

La linearità è abbastanza buona nel campo di tensioni indicato, ma scade rapidamente al di fuori di esso.

Per quanto riguarda la stabilità, la tensione di alimentazione, anzitutto, deve essere stabilizzata; le variazioni di frequenza con la temperatura non sono eccessivamente pronunciate per via del buon comportamento, da tale punto di vista, dei parametri del UJT, e potrebbero essere ulteriormente migliorate compensando opportunamente le variazioni dei parametri di Q_1 .

L'ampiezza del dente di sega, infine, si aggira intorno ai $6 \div 7$ V.

Un altro circuito che abbiamo sperimentato (e che tuttora si comporta ottimamente) è quello schematizzato in figura 5.



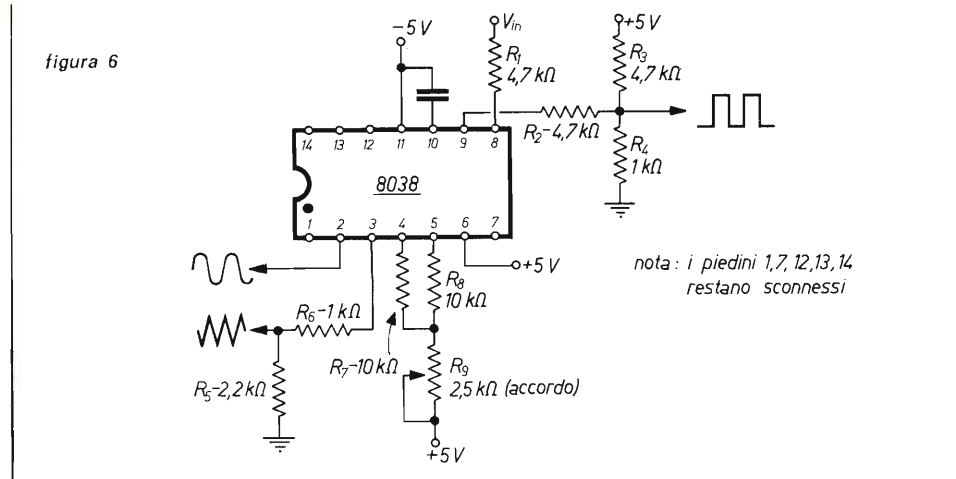
Utilizza due amplificatori operazionali del tipo 741, molto comuni ed economici: Ic_1 lavora come integratore, e Ic_2 come trigger di Schmitt.

La linearità è molto soddisfacente, e l'estensione in frequenza è migliore di quella del circuito precedente, soprattutto verso le basse frequenze (è possibile raggiungere frequenze inferiori a 1 Hz).

La tensione d'ingresso deve essere negativa rispetto massa; e il coefficiente di proporzionalità fra tensione e frequenza dipende unicamente dal valore di R_1 . Un altro circuito interessante è quello rappresentato in figura 6: esso fa uso di un circuito integrato di tipo 8038 della Intersil, il cui reperimento, comunque, è problematico, mentre il costo non è dei più bassi.

Per contro, la stabilità è di tipo « roccioso », e il circuito fornisce tre forme d'onda in uscita (quadra, triangolare e sinusoidale a bassa distorsione); anche la linearità è ottima.

figura 6



nota: i piedini 1,7,12,13,14 restano sconnessi

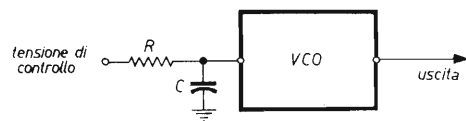
E' bene, al solito, usare una tensione di alimentazione stabilizzata e non superiore ai 15 V; nell'usare questo circuito integrato, occorre inoltre fare molta attenzione affinché la tensione di controllo non scenda mai al di sotto di 3 V rispetto alla tensione di alimentazione (cioè, con tensione di alimentazione di +5 V, la tensione di controllo sarà compresa tra i +2 V, e i +5 V; con tensione di alimentazione di +15 V, la tensione di controllo sarà compresa tra i +12 V e i +15 V, e così via).

E' ovvio che la limitazione di fondo insita nella scelta di un VCO come generatore di frequenze in un sintetizzatore consiste nell'intrinseca monofonicità del sintetizzatore stesso.

Naturalmente una certa polifonicità può essere raggiunta usando più VCO, in connessione con tastiere diverse, o anche con la stessa tastiera, nel qual caso occorreranno opportuni circuiti di selezione e instradamento, prevedibilmente molto complessi. Per contro la presenza di un VCO semplifica notevolmente altri problemi; ad esempio, è molto facile ottenere l'effetto di « vibrato », consistente in variazioni periodiche, di ampiezza relativamente piccola, della frequenza: è sufficiente, infatti, sovrapporre alla tensione di controllo una tensione periodica di ampiezza e forma opportuna.

L'effetto di « glide » (o glissato, o portamento) cioè il passaggio graduale da una certa nota all'altra attraverso tutte le frequenze intermedie si ottiene, ancor più semplicemente, interponendo tra tensione di controllo e VCO una resistenza e un condensatore, come è mostrato in figura 7: se la tensione di controllo varia bruscamente, il gruppo RC interposto tra essa e il VCO « addolcisce » il salto, e al VCO viene così permesso di passare attraverso tutte le frequenze intermedie, con velocità dipendente, ovviamente, dalla costante di tempo del gruppo RC.

figura 7



Ancora, l'accordo dello strumento può venire realizzato semplicemente sovrapponendo alla tensione di controllo una tensione continua regolabile, prelevata dal cursore di un trimmer.

Di questo e di altri problemi, comunque, ci occuperemo più in dettaglio in seguito.

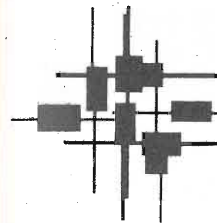
Per ora mi preme prendere in esame altri e più sofisticati sistemi di generazione delle frequenze, ed è quanto faremo nel prossimo articolo, passando in rassegna i metodi digitali e quelli che impiegano i « Phase Locked Loops ». * * * * *

Enrico Urbani (IØENU)*, Livio Lascari, Eutizio Niresi

Voltanauta x Elionauta = VOLTAGALVANAUTA[©]

© copyright cq elettronica

articolo
promosso dalla
I.A.T.G.



In una precedente nota abbiamo presentato il **Voltanauta**[©]: un piccolo battello con chiglie alternate di rame e zinco collegate in parallelo, i terminali vanno a due motori Graupner TO5 con demoltiplica 45/1 che azionano ciascuno una ruota a pale.

Il modellino appena messo in acqua naviga a una discreta velocità tuttavia non costante per fenomeni di polarizzazione tra le chiglie.

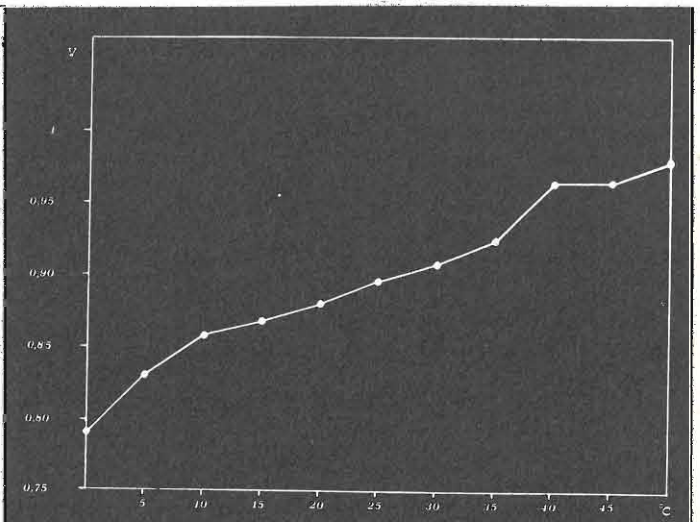
E' stato illustrato il principio delle reazioni elettrochimiche (pila di Volta) e si è avuto un concreto sospetto sulla importanza della temperatura dell'acqua per il rendimento del sistema (1).

Allo scopo di verificare sperimentalmente questa ipotesi abbiamo costruito un secondo modello identico al primo con nove chiglie, la centrale di Cu alternando le altre di Zn e Cu, la faccia esterna delle due ultime è stata verniciata.

In queste condizioni la superficie totale elettricamente attiva è per ciascuno dei due metalli di 320 cm²

figura 1

In ascisse le temperature alle quali sono state misurate le tensioni (indicate in ordinate) generate dai sistemi di chiglie metalliche in parallelo: motori non collegati. Ogni valore è la media di sei determinazioni.



* Direttore dell'Istituto di Istologia ed Embriologia, Facoltà di Scienze Matematiche, Fisiche e Naturali della Università di Roma.

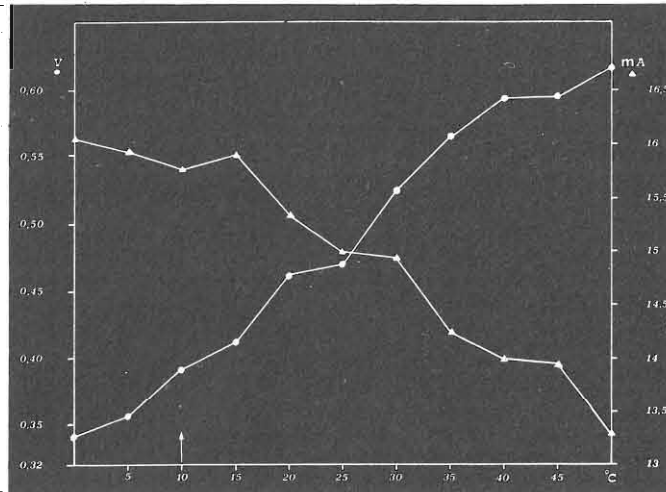
La distanza tra le chiglie è stata aumentata (0,5 cm) per cercare di ridurre i fenomeni di polarizzazione osservati nel prototipo dove le chiglie stesse erano più piccole, più numerose e perciò più vicine.

Il battello è stato posto in un contenitore con acqua di fonte termostatabile a differenti temperature e la tensione ai morsetti misurata con voltmetro elettronico (figura 1).

Nelle stesse condizioni ma con i motori in movimento, cioè sotto carico, abbiamo misurato tensioni e intensità di corrente (figura 2).

figura 2

Stesse condizioni di lavoro della figura 1 ma con i motori collegati. Nella ordinata di sinistra le tensioni (punti), in quella di destra le correnti (triangoli). Anche in questo caso i valori riportati sono la media di sei determinazioni. La freccia indica lo spunto dei motori alla temperatura di $\pm 2^\circ\text{C}$.



L'esame dei grafici conferma la ipotesi di lavoro dimostrando che il comportamento del Voltanauta dipende non solo dalla sua « costituzione » ma è condizionato dalla situazione termica ambientale.

Questo per il biologo che si occupi di bionica (2, 3, 4, 5) e di « animali artificiali » è quanto mai suggestivo e pone una problematica serie di interrogativi per nuovi temi di ricerca.

Sempre nell'ambito della bionica abbiamo progettato e realizzato l'Elionauta© ossia un battello che ha, invece delle chiglie, un ponte di pile solari al silicio e ne abbiamo riferito su questa rivista (6).

Questo modello è veramente divertente, velocissimo al sole ma « pigro » all'ombra: abbiamo allora inserito un accumulatore (condensatore) in parallelo tra le pile solari e i motori.

Con questo accorgimento il battello riesce a superare limitate zone di ombra grazie alla scarica dell'accumulatore che si è caricato durante la navigazione solare.

* * *

Da queste premesse non poteva che venire l'idea di « incrociare » il Voltanauta con l'Elionauta creando un « ibrido » (direbbe un genetista) tra due animali artificiali di differente **organizzazione anatomica** tendente però allo stesso scopo: la mobilità in acqua; è ovvio che scriviamo questo sorridendo!

E' nato così il Voltagalvanauta© (7) che ha un ponte solare, chiglie di rame e zinco e i consueti due motori che azionano ruote a pale (figure 3, 4).

Ponte solare e chiglie sono in parallelo sui motori: è previsto un commutatore per azionare i motori solo attraverso le chiglie oppure dalle chiglie in parallelo con il ponte solare (figure 5, 6).

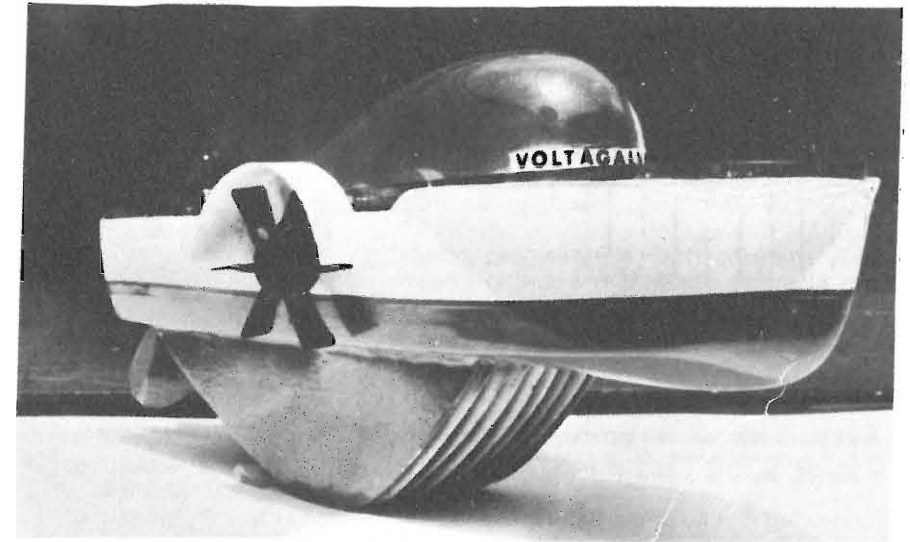


figura 3

Voltagalvanauta: sono visibili le chiglie e la ruota motrice di tribordo.

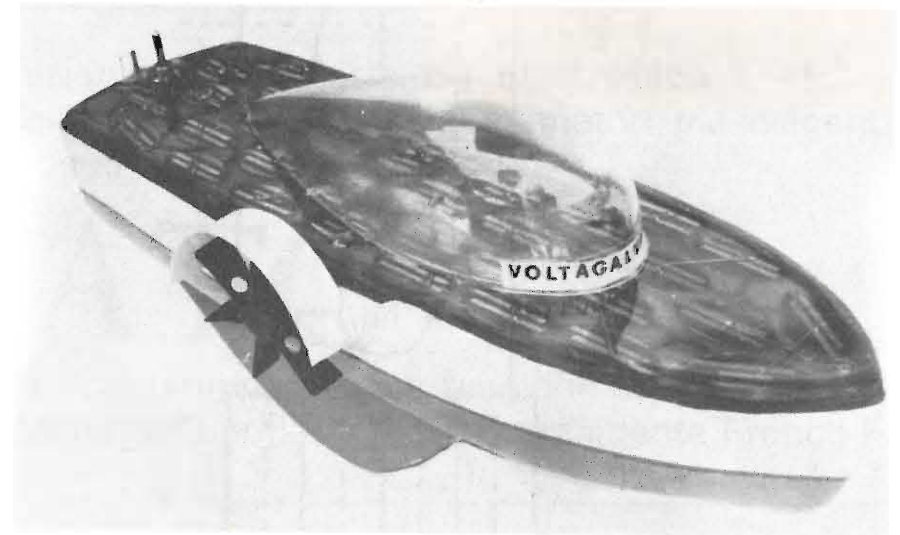


figura 4

Voltagalvanauta con il ponte solare di celle al silicio e il commutatore a poppa (le dimensioni del battello sono: lunghezza 24 cm, larghezza massima 10 cm, altezza massima 11 cm).

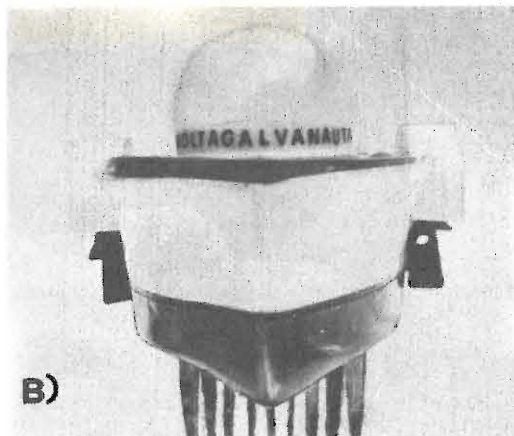
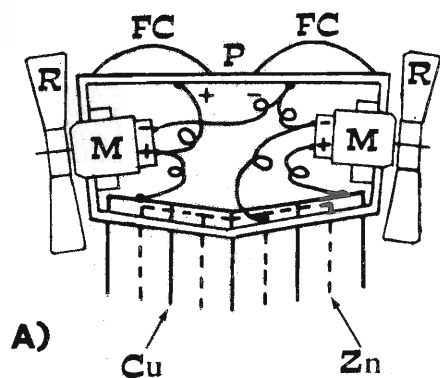


figura 5

A) Sezione trasversale del battello: chiglie di rame (Cu) e zinco (Zn), M = motori, R = pale motrici, P = ponte solare, FC = fotocellule.
B) Il battello visto di fronte.

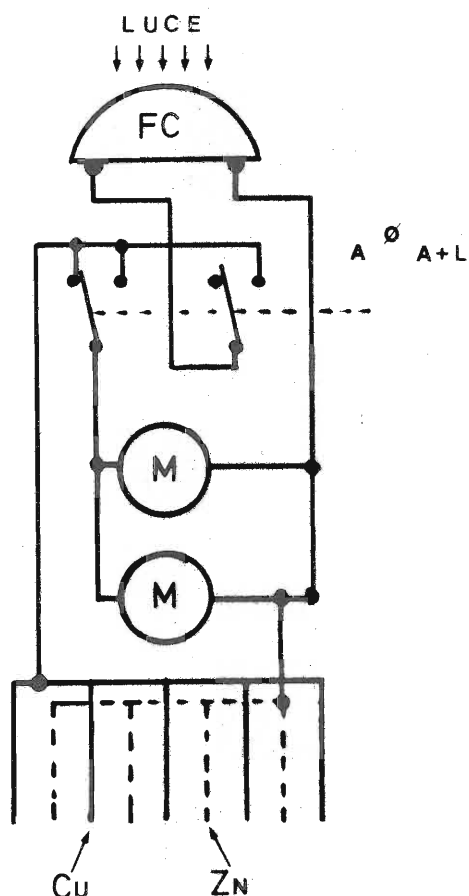


figura 6

Schema elettrico: riferimenti come in figura 5: a destra il deviatore con la posizione di zero (Ø), A = motori collegati alle chiglie, A+L = motori collegati alle chiglie e al ponte fotosensibile.

In queste condizioni il battello naviga al sole a velocità sostenuta e all'ombra a velocità più ridotta, dovuta alla minore erogazione di energia dalle chiglie. Un risultato previsto e verificato, per quanto ancora non documentato da misure precise, è che le chiglie metalliche vengono depolarizzate dalla corrente generata dal ponte solare (1,42 V a 16,5 mA) e pertanto si trovano pienamente efficienti quando il battello passa dal sole all'ombra ossia la coppia Cu-Zn si comporta alternativamente da pila voltaica o da cella elettrolitica. La « pigrizia » o « stanchezza » del Voltanauta, determinata dalla polarizzazione delle chiglie, viene perciò sensibilmente attenuata dalla azione del ponte solare. Il Voltagalvanauta è in conclusione un modello capace di trasformare energia chimica, termica e luminosa in energia meccanica: per un biologo-bionico ciò non è di poco conto. Ringraziamo vivamente **A. Capalbi**, professore di Elettrochimica in questa Università, per la competente attenzione critica con la quale segue le nostre ricerche.

Bibliografia

- 1) URBANI E., LASCARI L. & NIRESI E. - *Il Voltanauta* - **cq elettronica**, n. 6 (1975).
- 2) URBANI E. - *Archi riflessi e tartarughe elettroniche* - Atti 3° Congr. Cibernetica e Biofisica (C.N.R.), (1974).
- 3) URBANI E. - *Cibernetica, Bionica e « animali artificiali »* - Cultura e Scuola: Ente Naz. bibl. Popolari e scolastiche, in stampa, (1975).
- 4) URBANI E., LASCARI L. & NIRESI E. *Tartarughe elettroniche e modelli biocibernetici* - **cq elettronica**, n. 12 (1974).
- 5) URBANI E., LASCARI L. & NIRESI E. - *Un pipistrello elettronico* - In stampa su **cq elettronica**, n. 10 (1975).
- 6) URBANI E., LASCARI L. & NIRESI E. - *Elionauta: un navigatore a pile solari* - **cq elettronica**, n. 8 (1975).
- 7) Per le notizie sulla vita e le opere fondamentali di Luigi Galvani (1737-1798) e Alessandro Volta (1745-1823) si consulti una buona Enciclopedia.

Per iniziativa della rivista **cq elettronica** è stata creata l'Associazione dedicata ai radioamatori più esigenti e più proiettati al futuro:

IATG Radiocomunicazioni

Gruppo italiano tecniche avanzate
presidente Giorgio Totti - vicepresidente Franco Fanti

Quota di iscrizione "una tantum" **L. 1.500**
Quota associativa 1975 **L. 1.000**

IATG - Bologna, via Boldrini, 22 - tel. 55.12.02

Crossover elettronico a due vie

dottor Renato Borromei

La maggior parte dei diffusori reperibili in commercio sono composti da due o più altoparlanti preceduti da opportuni filtri passivi che hanno il compito di suddividere lo spettro sonoro del segnale proveniente dall'amplificatore in due o più campi ristretti di frequenza.

All'altoparlante adatto a riprodurre le note gravi verranno inviate solo le frequenze comprese tra 20 e 1.500 Hz circa (a seconda del tipo di altoparlante usato), mentre a quello dei medi e degli acuti verrà inviato il segnale contenente le frequenze comprese tra 1.500 e 20.000 Hz.

In questo articolo tratterò solo dei sistemi di diffusori a due vie, riservandomi di trattare eventualmente quelli a tre vie in un articolo successivo.

Esistono vari tipi di filtri passivi, ma quello maggiormente usato è mostrato in figura 1, la cui curva di risposta ricavata sperimentalmente è rappresentata in figura 2.

figura 1

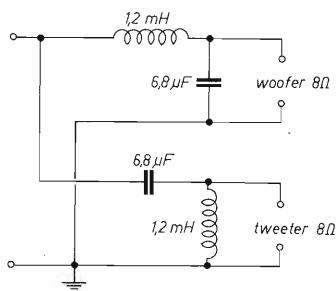
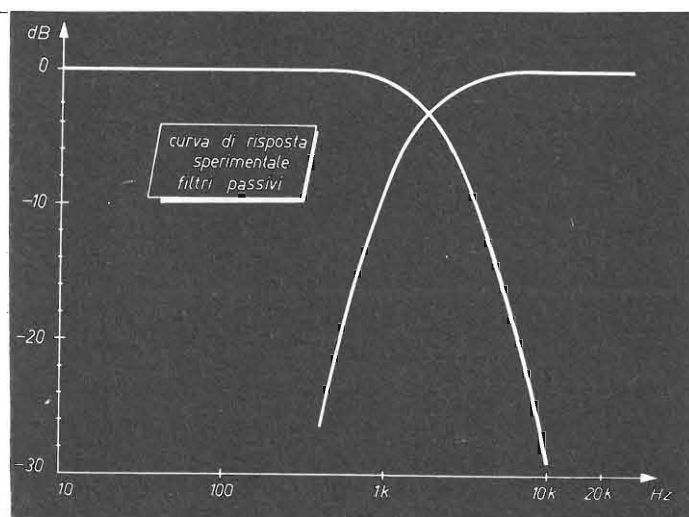


figura 2



Consideriamo la parte relativa al woofer.

Tale filtro, detto « filtro passa-basso », lascia passare completamente, senza alcuna attenuazione rispetto all'ampiezza del segnale a 100 Hz, le frequenze inferiori a f_0 .

Per f_0 si intende la frequenza alla quale il segnale subisce una attenuazione di -3 dB.

Tale valore di f_0 viene detto « frequenza di taglio » e dipende dai valori dei componenti L e C.

Nel caso da me considerato $f_0 = 1.800$ Hz.

Oltre a f_0 il segnale viene attenuato di 12 dB per ottava, pendenza normalmente usata nei diffusori commerciali.

Analogamente accade per la parte del filtro relativa alla gamma dei medio acuti, denominato « filtro passa-alto ».

In questo caso infatti vengono lasciate inalterate le frequenze superiori ai 2.000 Hz mentre vengono attenuate di 12 dB per ottava quelle inferiori ai 2.000 Hz.

La frequenza di taglio f_0 di entrambi i filtri deve essere uguale, poiché solo così la risposta globale del sistema sarà lineare.

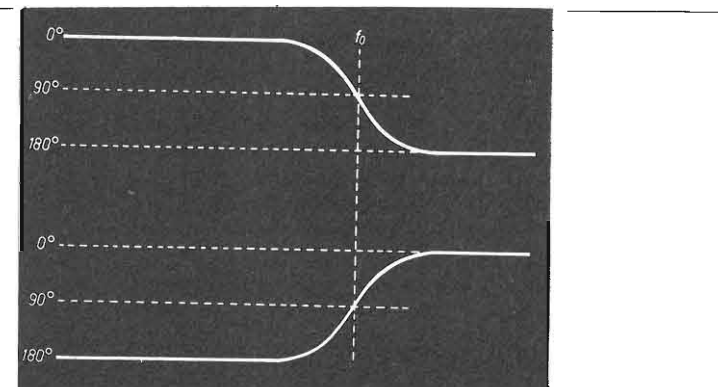
E' anche importante esaminare come si comportano i filtri rispetto allo sfasamento esistente tra il segnale di ingresso e quello all'uscita del passa basso e del passa alto.

Prendiamo di nuovo in esame la figura 1: inviamo al filtro un segnale proveniente da un generatore di BF, dopo averlo opportunamente amplificato, colleghiamo un oscilloscopio a doppia traccia all'ingresso e all'uscita del filtro passa-basso in modo tale da poter vedere i due segnali contemporaneamente e osservare come si comportano rispetto alla fase, al variare della frequenza del generatore.

Avremo che essi risultano essere in fase fino a 800 Hz, mentre il segnale di uscita inizia a sfasarsi in ritardo rispetto a quello di ingresso fino a raggiungere uno sfasamento di 90° alla frequenza di taglio e addirittura di 180° a 10.000 Hz. Tale sfasamento, inevitabile, è dovuto alla natura stessa del filtro e il suo andamento dipende dalla pendenza di esso.

Ripetiamo l'esperimento con il filtro passa-alto, partendo da 10.000 Hz. Questa volta lo sfasamento inizia a 6.000 Hz fino a diventare di 90° in anticipo rispetto al segnale di ingresso, alla frequenza di taglio, e di 180° a 100 Hz, come è rappresentato in figura 3.

figura 3



Purtroppo ciò non avviene in maniera rigorosa in quanto i filtri non si trovano a lavorare su carichi ideali resistivi ma su carichi con impedenza complessa come gli altoparlanti.

Per questo le loro caratteristiche si scostano dall'ideale sopra accennato. Anche le pendenze delle due curve dei filtri passivi passa-basso e passa-alto devono essere il più possibile identiche, cosa che non sempre avviene in tali filtri a causa delle tolleranze dovute alle bobine e ai condensatori.

E' per questo che talune Case costruttrici hanno messo in commercio dei diffusori aventi dei filtri di crossover elettronici, ottenendo dei risultati davvero eccellenti.

Quello che è illustrato in questo articolo è appunto un **crossover elettronico a due vie** molto semplice da realizzare e dalle caratteristiche notevoli; ma prima di passare alla sua descrizione, è opportuno mettere in evidenza gli svantaggi dei tradizionali filtri passivi.

1) Dissipano parte della potenza fornita dall'amplificatore.

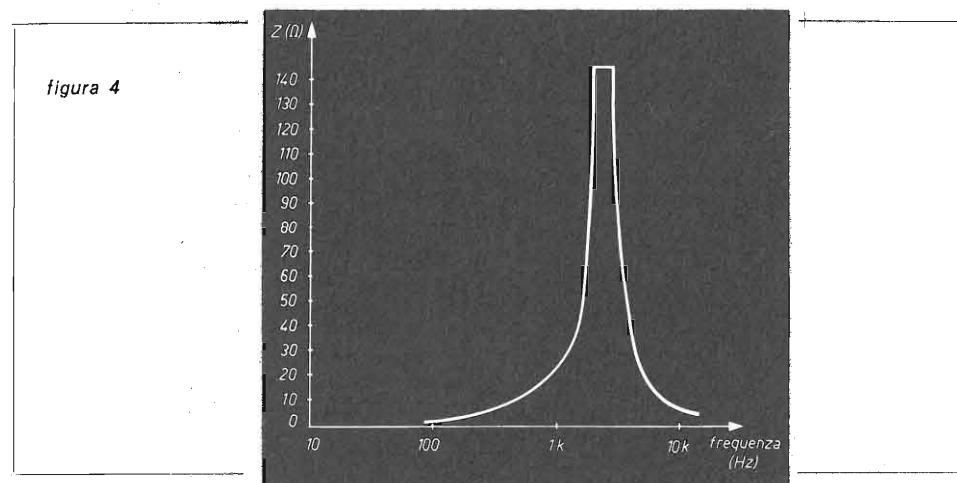
Il filtro passivo, prendiamo ad esempio quello passa-bassi, ha delle perdite resistive per cui il segnale uscente dall'amplificatore viene in parte a essere dissipato dal filtro.

Una ulteriore perdita di potenza la si ha quando si ha a che fare con unità a diverso rendimento e si usano dei potenziometri per poter adattare il rendimento di esse a quello dell'altoparlante meno efficiente.

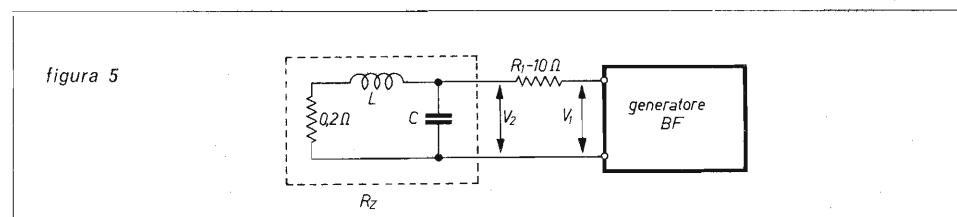
Nel caso di filtri attivi tale punto rimane sempre da rispettare anche se questa volta si dà meno potenza anziché buttarne via sulle resistenze.

2) Riducono notevolmente il fattore di smorzamento dell'amplificatore.

Consideriamo la figura 4, in cui viene riportata l'impedenza del filtro passa-basso al variare della frequenza.



Una curva simile vale naturalmente anche per il filtro passa-alto. Tale misura l'ho effettuata come mostrato in figura 5, supponendo che la resistenza interna dell'amplificatore sia di $0,2 \Omega$.



In questo modo noi misuriamo l'impedenza R_Z del filtro, che è quella che vede l'altoparlante.

Misurando la caduta di tensione che si verifica ai capi della resistenza R_1 avremo che:

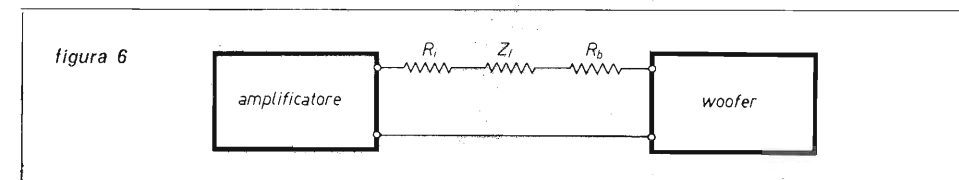
$$R_2 = \frac{V_2 \cdot R_1}{V_1 - V_2}$$

A frequenze molto basse l'impedenza del filtro è praticamente quella della sola bobina, che risulta essere (anche sperimentalmente):

$$Z = \sqrt{(\omega L)^2 + R^2} = 1,1 \Omega$$

Nella zona compresa tra 100 e 800 Hz, la più importante, l'impedenza aumenta gradatamente fino a diventare di 11Ω a 800 Hz, frequenza alla quale il filtro inizia ad attenuare; dopodiché raggiunge dei valori molto elevati (circa 790Ω) in corrispondenza della frequenza di taglio.

Consideriamo la figura 6.



Il fattore di smorzamento f dell'amplificatore in assenza dei filtri passivi è dato da:

$$f = \frac{Z_a}{R_i + R_b}$$

dove Z_a è l'impedenza dell'altoparlante in Ω ;
 R_i è la resistenza interna dell'amplificatore in Ω ;
 R_b è la resistenza in c.c. della bobina mobile dell'altoparlante in Ω .

Inserendo tra l'amplificatore e l'altoparlante i filtri passivi, avremo che:

$$f = \frac{Z_a}{R_i + R_b + Z_f}$$

dove Z_f è l'impedenza del filtro.

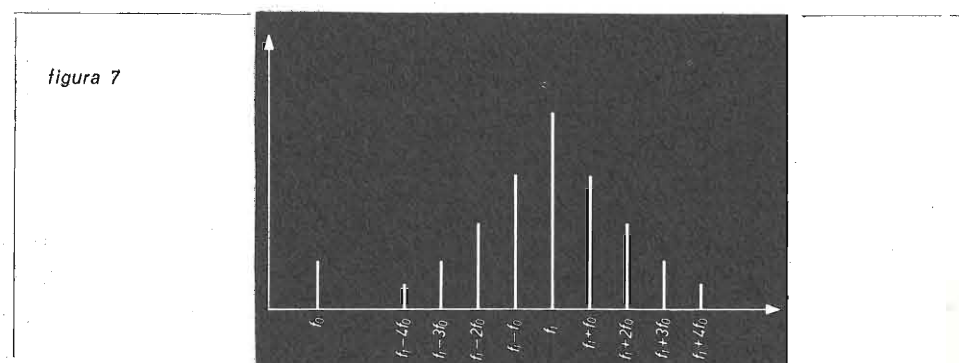
Da ciò si deduce che tale valore, così importante per il corretto funzionamento dell'altoparlante, diminuisce con l'impiego dei tradizionali filtri passivi.

3) Distorsione da intermodulazione.

Altera in maniera notevole la timbrica della sorgente sonora.

Tale distorsione si produce quando due o più segnali a frequenza diversa vengono applicati a un elemento non perfettamente lineare, ottenendo all'uscita di esso dei segnali parassiti d'intermodulazione che non erano presenti all'entrata dell'amplificatore.

Se noi applichiamo all'entrata di esso due segnali aventi frequenza f_0 (ad esempio 50 Hz) e f_1 (ad esempio 8.000 Hz) aventi ampiezza diversa ($f_0 : f_1 = 4 : 1$), all'uscita dell'amplificatore noi troviamo due segnali parassiti di frequenza $f_0 + f_1$ (8.050 Hz) e $f_0 - f_1$ (7.950 Hz). Se teniamo poi presente che f_0 è presente con le sue armoniche, otterremo quanto è rappresentato in figura 7.



Tali segnali vengono detti **residui di intermodulazione** e la loro misura permette di valutare la distorsione da intermodulazione.

Tale fenomeno avviene a causa delle inevitabili non linearità sia degli amplificatori che degli altoparlanti.

Mentre in questi ultimi la distorsione da intermodulazione può essere ridotta sensibilmente affidando a unità distinte la riproduzione delle varie parti dello spettro, nell'amplificatore il problema rimane.

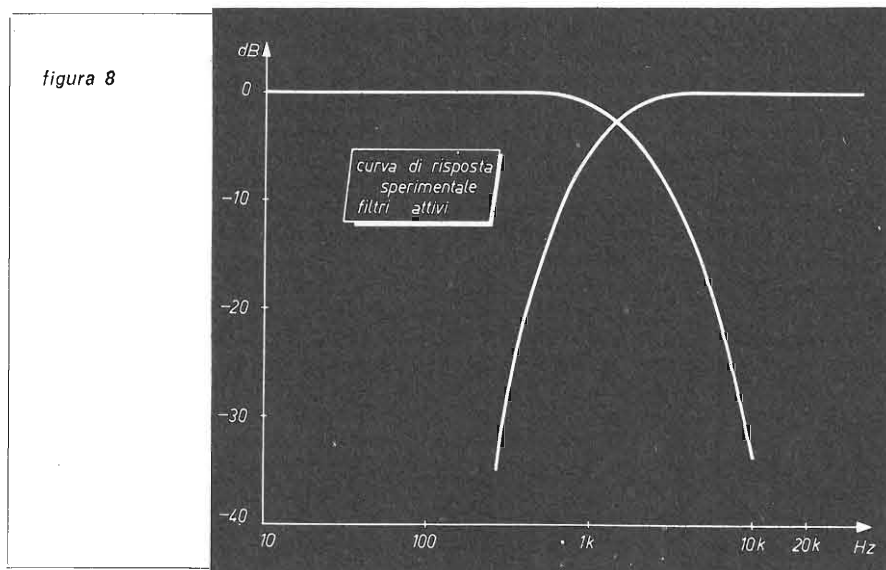
Il vantaggio offerto dal crossover elettronico è appunto quello di suddividere lo spettro sonoro prima che esso venga inviato all'amplificatore finale: in questo modo si ha una riduzione sensibile della IMD (distorsione da intermodulazione). Un'altra causa di distorsione nei filtri passivi in cui le induttanze sono provviste di nucleo, sono le non-linearità non evitabili del materiale magnetico e la possibile saturazione di quest'ultimo.

Filtri attivi

Un metodo per eliminare gli svantaggi dei filtri passivi tradizionali è quello di usare un crossover elettronico costituito da due filtri attivi dei quali uno passa-basso e uno passa-alto.

Tale apparecchio va collegato in una catena Hi-Fi all'uscita del preamplificatore mentre all'uscita del filtro passa-basso è collegato l'amplificatore per il woofer e a quella del passa-alto l'amplificatore per il midrange-tweeter.

Ciascun filtro passa-basso e passa-alto si comporta come mostrato in figura 8.



Tutta la potenza fornita dall'amplificatore o meglio dagli amplificatori giunge completamente ai diffusori per cui sono sufficienti potenze inferiori a quelle normalmente usate in presenza di filtri passivi.

Questo vale specialmente per i medi-acuti per cui in genere l'optimum si raggiunge usando un amplificatore da 30 W per i bassi e uno da 15 W per i medio-acuti. Come vedremo più avanti, l'impedenza di uscita del filtro si mantiene costantemente bassa; inoltre questa volta tra l'amplificatore finale di potenza e l'altoparlante non ci sono delle impedenze venendo a mancare quella del filtro passivo per cui avremo un miglioramento notevole del fattore di smorzamento.

Ciascun filtro è provvisto all'uscita di un potenziometro di volume per cui è facile regolare la potenza inviata a ciascun amplificatore; di conseguenza si possono bilanciare altoparlanti con resa diversa, come spesso accade.

Svantaggi

- 1) Richiedono l'uso di più amplificatori e precisamente uno per filtro.
- 2) E' un po' laboriosa, se non si possiede una adeguata attrezzatura, la loro calibrazione.
- 3) Richiedono una alimentazione.

*

Dopo aver elencato vantaggi e svantaggi che comporta l'uso dei filtri attivi, passiamo alla descrizione vera e propria del circuito e alla sua realizzazione pratica.

In figura 9 è rappresentato lo schema elettrico del filtro passa-basso.

La pendenza della curva e la frequenza di taglio sono determinate dai valori dei componenti R_1 - R_{10} , C_1 e C_2 .

Il guadagno dell'integrato è unitario e la resistenza R_{11} e il condensatore C_3 servono per il suo corretto funzionamento verso le frequenze più alte.

figura 9

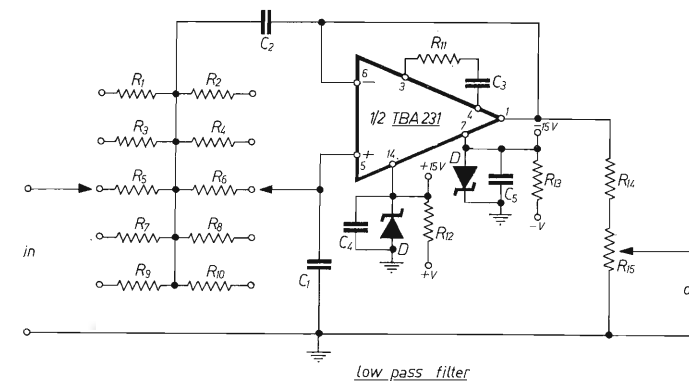
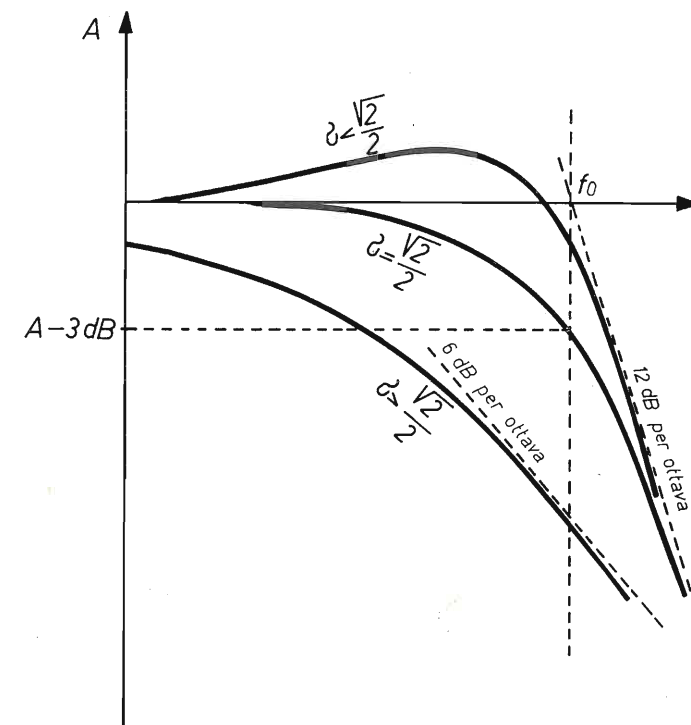


figura 10



La risposta del filtro attorno alla frequenza di taglio e la pendenza della curva di attenuazione sono determinate da σ , detto coefficiente di smorzamento del filtro.

Una volta prefissato il guadagno e la frequenza di taglio, la curva di risposta del filtro è determinata dal valore del coefficiente di smorzamento.

Avremo il grafico riportato in figura 10 in cui sono rappresentate tre curve per diversi valori di σ , dove σ è il coefficiente di smorzamento, f_0 è la frequenza di taglio e A è il guadagno.

Mentre per $\sigma > \sqrt{2}/2$ si ha una diminuzione del guadagno con una pendenza pari a 6 dB per ottava (curva A), per $\sigma < \sqrt{2}/2$ si ha un aumento del guadagno con la presenza di un picco e al limite, per $\sigma = 0$, il sistema va in oscillazione con una frequenza pari a f_0 .

Per $\sigma = \sqrt{2}/2$ si ha il responso di « Butterworth », del secondo ordine, che è il più piatto possibile e all'inizio non presenta un picco o un avvallamento, mentre il guadagno cala gradatamente fino a -3 dB alla frequenza di taglio e diminuisce ulteriormente con una pendenza pari a 12 dB per ottava.

Ponendo pertanto $\sigma = \sqrt{2}/2$; $R=R_{1,9}=R_{2,10}$, sono valide le seguenti formule:

$$G=1; \sigma = \sqrt{C_1/C_2}; f_0 = \frac{1}{2 \cdot \pi \cdot R \sqrt{C_1 \cdot C_2}}$$

dove G è il guadagno;
 σ è il coefficiente di smorzamento;
 f_0 è la frequenza di taglio.

Se $C_2 = 2 C_1$:

$$\sigma = \sqrt{2}/2 \text{ e } f_0 = \frac{1}{2 \cdot \pi \cdot R \cdot C_1 \cdot 1,41}$$

Se, ad esempio, $f_0 = 1.000 \text{ Hz}$ e $R = 100 \text{ k}\Omega$, avremo che:

$$C_1 = \frac{1}{6,28 \cdot 1,41 \cdot 10^8} = 1.130 \text{ pF} \text{ e } C_2 = 2.260 \text{ pF}$$

L'impedenza di uscita del filtro è inferiore ai 2.000Ω e senza potenziometro è inferiore ai 150Ω , valori che si adattano bene a qualsiasi tipo di amplificatore finale di potenza.

In figura 11 è riportato lo schema elettrico del filtro passa-alto. Ponendo $C_6 = C_7 = C$ e $R_{16-20} = R_1$ e $R_{21-25} = R_2$, avremo le seguenti formule:

$$G=1; \sigma = \sqrt{R_1/R_2}; f_0 = \frac{1}{2 \cdot \pi \cdot C \sqrt{R_1 \cdot R_2}}$$

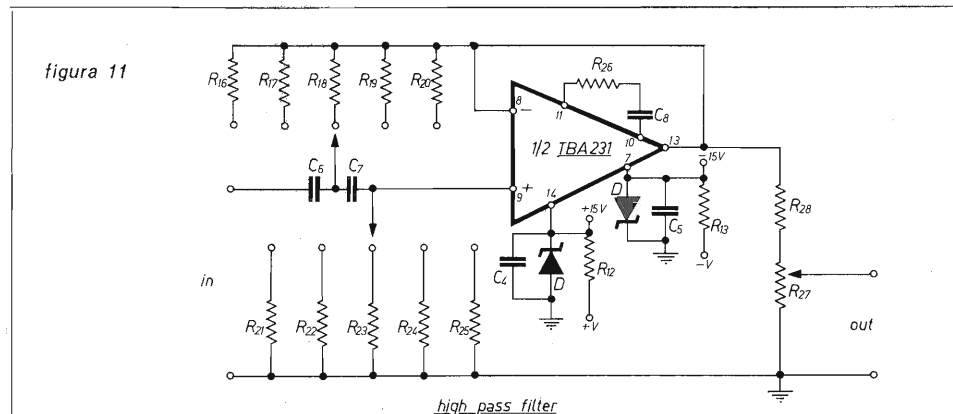


figura 11

high pass filter

Se $R_2 = 2 R_1$:

$$\sigma = \sqrt{2}/2 \text{ e } f_0 = \frac{1}{6,28 \cdot C \cdot 1,41 \cdot R_1}$$

Per $f_0 = 1.000 \text{ Hz}$ e $R_1 = 100 \text{ k}\Omega$:

$$C = \frac{1}{6,28 \cdot 1,41 \cdot 10^8} = 1.130 \text{ pF} \text{ e } R_2 = 200 \text{ k}\Omega$$

Il dimensionamento dei due filtri è quindi abbastanza semplice; l'unico inconveniente è la difficile realizzazione dei valori dei componenti così calcolati, specie se teniamo presente che i due filtri devono avere la stessa frequenza di taglio. In tabella ho riportato i valori dei componenti dei due filtri per cinque diverse frequenze di taglio; per semplicità di calcolo ho preferito tenere costanti i valori dei condensatori C_1, C_2, C_6, C_7 e variare di conseguenza $R_{1-10}, R_{16-20}, R_{21-25}$.

f_0 (Hz)	filtro passa-basso	filtro passa-alto
750	$R=R_1=R_2$ 150 k Ω	R_{16} 150 k Ω R_{21} 300 k Ω
941	$R=R_3=R_4$ 120 k Ω	R_{17} 120 k Ω R_{22} 240 k Ω
1.241	$R=R_5=R_6$ 91 k Ω	R_{18} 91 k Ω R_{23} 182 k Ω
1.660	$R=R_7=R_8$ 68 k Ω	R_{19} 68 k Ω R_{24} 136 k Ω
2.000	$R=R_9=R_{10}$ 56 k Ω	R_{20} 56 k Ω R_{25} 112 k Ω

C_1 1000 pF
 C_2 1000 pF // 1000 pF
 C_3, C_4, C_5 100 nF
 C_6, C_7 1000 pF
 C_8 100 nF

R_{11} 4,7 Ω
 $R_{12}=R_{13}$ vedi testo
 R_{14} 220 Ω
 R_{15} 4,7 k Ω logaritmico
 R_{16} 4,7 Ω
 R_{26} 4,7 Ω
 R_{27} 4,7 k Ω logaritmico
 R_{28} 220 Ω

D zener da 15 V, 0,5 W

Naturalmente nulla vieta di usare dei valori diversi da quelli sopra riportati purché rispettino le formule precedentemente elencate.

Bastano anche piccole variazioni dai valori teorici per ottenere dei notevoli spostamenti nella frequenza di taglio e nella pendenza della curva di attenuazione. Se è possibile, conviene quindi cercare tali valori tra quelli disponibili con l'ausilio di un ponte RCL.

Altrimenti consiglio di usare dei valori standard per i condensatori e dei buoni trimmer per le resistenze (tipo « trimpot » a vari giri).

In figura 12 è riportato il circuito stampato del crossover elettronico, lato rame, per una versione mono con le cinque possibili frequenze di taglio, selezionabili tramite un commutatore esterno.

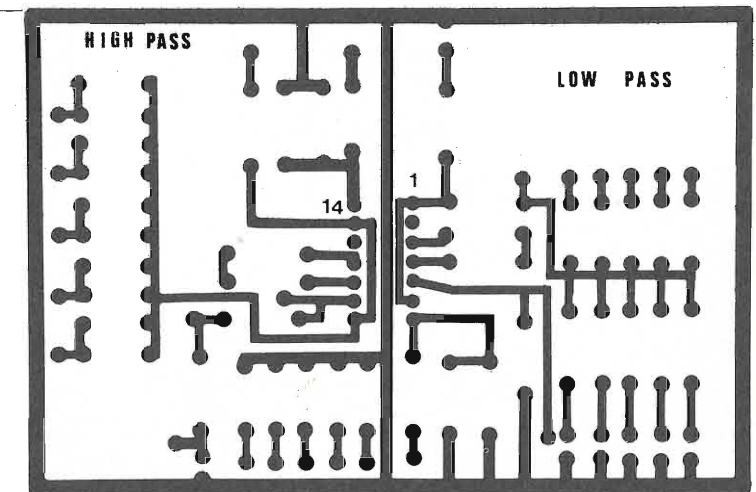
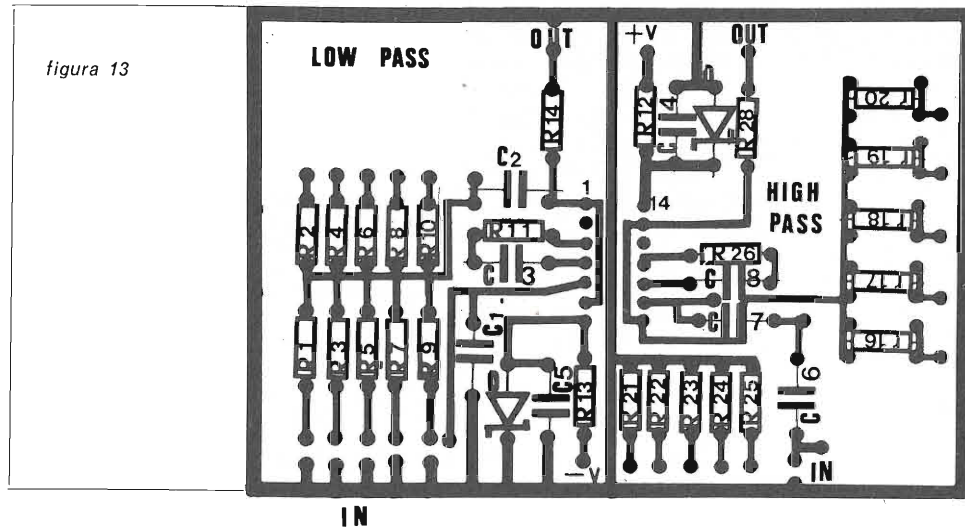


figura 12

In figura 13 è riportato lo stesso circuito stampato, lato componenti.



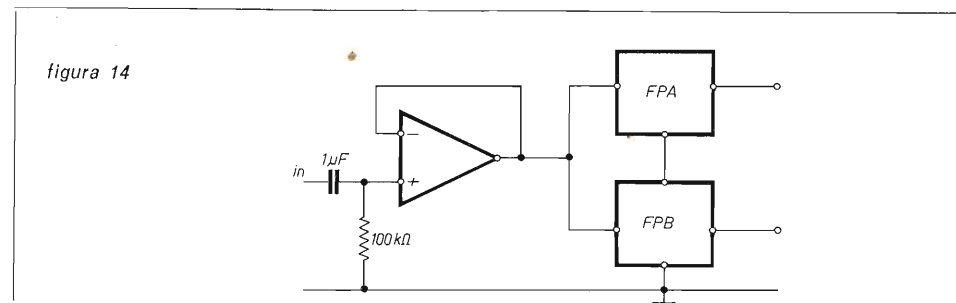
Faccio notare che gli ingressi dei due filtri non sono collegati insieme nel circuito e ciò va fatto mediante del filo schermato, come pure per i collegamenti sul potenziometro, che serve per regolare l'intensità del segnale, e quelli al commutatore e all'uscita.

Per alimentare l'apparecchio sono sufficienti ± 15 V, 30 mA ben stabilizzati, che possono essere anche prelevati dai finali di potenza a cui andrà collegato, se quest'ultimo è del tipo a doppia alimentazione cioè senza condensatore di uscita. Le resistenze $R_{12}=R_{13}$ vanno eventualmente calcolate in base alla tensione a disposizione; se, ad esempio, possediamo dei finali di potenza con una alimentazione di ± 45 V, tenendo presente che l'assorbimento del crossover è di 15 mA, avremo che:

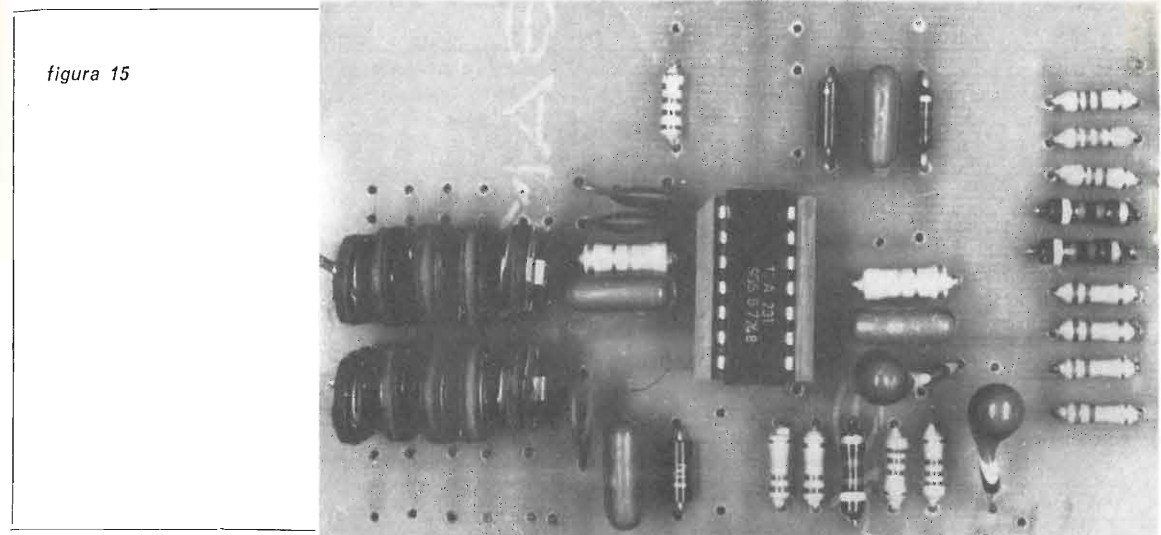
$$R_{12} = \frac{45 - 15}{0,015} = 2.200 \Omega, 1 \text{ W.}$$

Qualora il crossover fosse collegato a un preamplificatore e a un finale di potenza ad alimentazione singola, è necessario aggiungere all'ingresso e all'uscita di ogni filtro un condensatore da $1 \mu\text{F}$ e tra l'ingresso del filtro passa-basso e la massa una resistenza da $100 \text{ k}\Omega$.

Ottimo sarebbe pilotare il filtro con un altro amplificatore operazionale usato come follower, come mostrato in figura 14, specie se il preamplificatore usato non è a bassa impedenza.



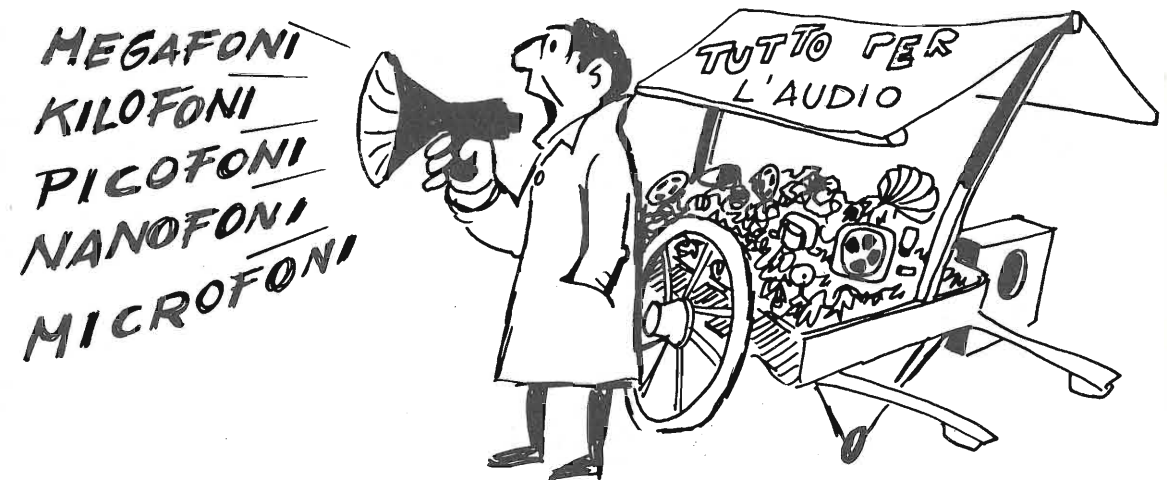
L'alimentazione di tale integrato, come pure la compensazione in frequenza, è identica a quella per l'integrato usato nei filtri passa-basso e passa-alto.



In figura 15 è mostrata la fotografia del prototipo da me realizzato, in cui per semplicità visiva ho omesso i collegamenti esterni alla basetta e in mancanza dei « trimpot » ho usato dei comuni trimmer.

Per quanto riguarda infine la scelta dei finali di potenza da inserire all'uscita del crossover elettronico, vanno bene tutti i tipi, purché buoni!

A tale proposito sto sperimentando un amplificatore finale di potenza relativamente semplice e dalle caratteristiche ottime, che spero di presentare quanto prima su queste pagine. * * * * *



una terrificante esperienza
un dramma di portata fantozziana

L'asservimento di una porta munita di motore elettrico

ing. Enzo Gardina

Vi aprirà la porta quasi ogni mese
d'ora in avanti il Digitalizzator cortese.

*

Venne un dì alla mia magione
un esponente della commerciale produzione
e disse mi con aria disinvolta:
« Faresti qualcosa per aprire la mia porta? »
« E' la prima volta che il problema sento »
risposi esterrefatto sul momento,
ma rivoltomi al Digitalizzatore tosto,
che tengo in un canto di nascosto,
tirai fuori idee a profusione
e infine anche l'auspicata soluzione.
Dato che la commerciale trattativa,
si sperimentò dopo, giammai non partiva,
ormai adeguato a certi fatti,
vado a sottoporvi tutti gli atti.

Non per carenza di estro poetico, ma per puro buon senso passo per un po' in prosa e vi vado a sciorinare quella terrificante esperienza mirante a realizzare un complesso sofisma che aveva come fine ultimo l'asservimento di una porta munita di motore elettrico.

Sulle prime si tentò uno schema senza parti meccaniche in movimento (soli circuiti integrati e triac) che dovette essere velocemente scartato per le condizioni operative proibitive, nonostante le promesse del datore di specifiche che grosso modo garantiva:

« Cotali impianti saran montati
da operai e tecnici specializzati »,
Ossia da un muratore e da un elettricista,
e non uno di tipo illuminista,
che ha studiato le leggi della scienza
e sa quando avvien l'interferenza,
bensì da un uomo a cui niente cale
se i comandi si connettono all'industriale
nelle giornate umide e piovose
attraverso ingiunzioni mal interrato e corrose.

Per cui si ripiegò su un sistema misto a integrati e relais dal costo ragionevolissimo e dalla sicurezza di funzionamento elevata, tale che permettesse di sopportare le gravose condizioni operative.
Ma vediamo le specifiche di funzionamento che da sole fanno un poema.

Deesi la porta aprir
all'inquilino che ha da sortir,
attendere un tempo prefissato
e poscia chiudere il porticato.
Pare semplice fin qui,
ma non basta solo così!
Se, durante la fase di chiusura,
si introduce una soave creatura
tra le fauci dei battenti,
bisogna prevenirgli gli accidenti
e quindi riaprire il portone
riciclando da capo l'operazione,
ma non si dee invertir la marcia di botto
a scampo di ritrovarsi con il motore rotto,
perciò un tempo di ritardo ha da crearsi
per permettere al motore di fermarsi.
Uno stato di blocco va inoltre considerato
e, per quanto non sia chiaro il perché sia così usato,
per uscire da uno stato siffatto
solo il pulsante di apertura dee essere adatto;
e le cose non sono sempre le stesse
ma, a secondo delle premesse,
il comando ha da divenir
un ordine di « attendere » o di « aprir ».
Va come ultima ricordata l'elettroserratura
pilodata dallo stato di apertura.



Tali specifiche, anche se messe in prosa, farebbero poema ugualmente.
In pratica bisogna considerare tre tempi che fanno stato separati e possibilmente precisi:

- 1 - apertura;
- 2 - attesa;
- 3 - chiusura;

e uno stato di durata illimitata che sarebbe il blocco.
Per introdurre al completo nel problema il lettore vanno sottolineate alcune cose che puntualizzano le specifiche poste.

1° problema - La difficoltà pratica (in termini sia realizzativi che di spesa) di installare switches di fondo corsa sui battenti, difficoltà dovuta al fatto che a priori non si sa che tipo di porta può essere installato (porta a battente - sia semplice che doppia-, porta scorrevole - sia semplice che doppia -, porta a saracinesca, porta a compasso, e così via).
Tale problema consiglia di usare una tempificazione interna degli stati e non ricorrere a nessun sensore di fondo corsa che porrebbe problemi di installazione diversi a seconda dei casi.

2° problema - E' funzione indiretta del primo; dato che, per ovvie ragioni di produzione, è desiderabile avere un unico tipo di marchingegno per qualsiasi tipo di porta e dato anche che ogni tipo di porta ha una tempificazione diversa e non dello stesso ordine di grandezza, scaturisce da ciò la necessità della massima adattabilità col minimo dei cambiamenti.

Per questo secondo problema è necessario un ulteriore chiarimento: posta come premessa che i tre tempi base sono singolarmente modificabili, consideriamo due tipi di porte in antitesi, tra loro, lapalissiana: la porta di un garage a unico battente e una porta a vetri a doppio battente (tipo aeroporto per intendersi); bene, la prima avrà una tempificazione media di 30 sec in apertura e chiusura

(dieci secondi più, dieci secondi meno), mentre la seconda avrà una tempificazione media di apertura/chiusura di 3 sec (secondo più, secondo meno). A questo punto è chiaro dove si va a parare: è necessario poter regolare, con una precisione relativa soddisfacente, entrambi i ranges, e questo, risulta evidente, non lo si può ottenere semplicemente regolando dei trimmer. Siamo dunque arrivati al buio pesto che caratterizza l'inizio di ogni progetto e, prima di aprire un qualsiasi spiraglio, voglio sottolineare (stavolta in prosa) la gravità delle altre specifiche:

- 1 - lo stato di blocco subentra, dietro comando, in uno qualsiasi dei tre tempi fondamentali;
- 2 - dallo stato di blocco si esce solo dietro comando di apertura;
- 3 - se il blocco è stato dato durante la « attesa » il comando di apertura non deve generare una effettiva apertura, ma solo un comando di « inizio attesa » (questo comunque vale indipendentemente dal fatto che il sistema sia stato bloccato);
- 4 - analogamente, a cancello chiuso, il comando di chiusura non deve generare alcun effetto;
- 5 - con il comando di apertura si sblocca anche l'eventuale elettroserratura;
- 6 - un comando di apertura dato durante lo stato di chiusura (e viceversa) deve generare un piccolo tempo di pausa per permettere al motore di fermarsi nel frattempo;
- 7 - Si deve tener conto della eventuale fotocellula di protezione che opera come un comando di apertura, eccetto che a battenti chiusi, stato in cui la lampadina del proiettore deve spegnersi.

Come si vede, mi pare che poco sia lasciato al caso, l'unica cosa che per fortuna non era prevista era l'eventualità malsana che un pazzo furioso desse il comando di apertura e subito dopo quello di chiusura, cosa che comportava un tentativo di apertura e subito dopo uno stato completo di chiusura a battente praticamente chiuso.

In questa eventualità si confida molto sulle possibilità di sopravvivenza della frizione di cui ogni motore elettrico adibito a tal uopo è provvisto.

Detta frizione, si constata sperimentalmente, può resistere per svariati minuti senza logorarsi a un tale stress, per cui si auspica in definitiva che una pazzia di tale tipo non sia ripetitiva a tempo indeterminato.

Mi pare di aver detto tutto e quindi si può sicuramente procedere verso la retta via della soluzione che a questo punto risulterà evidente a chiunque: affittare per modica cifra un piccolo computer programmabile.

Effettivamente sarebbe una strada dal minimo dispendio di energie mentali, ma, mi dice il Digitalizzatore, è offensivo nei suoi riguardi sprecare in tal modo un macchinario degno di ben altre applicazioni.

Pazienza!

Allora guardiamo la figura 1 e sorbiamoci un altro poema di spiegazioni.

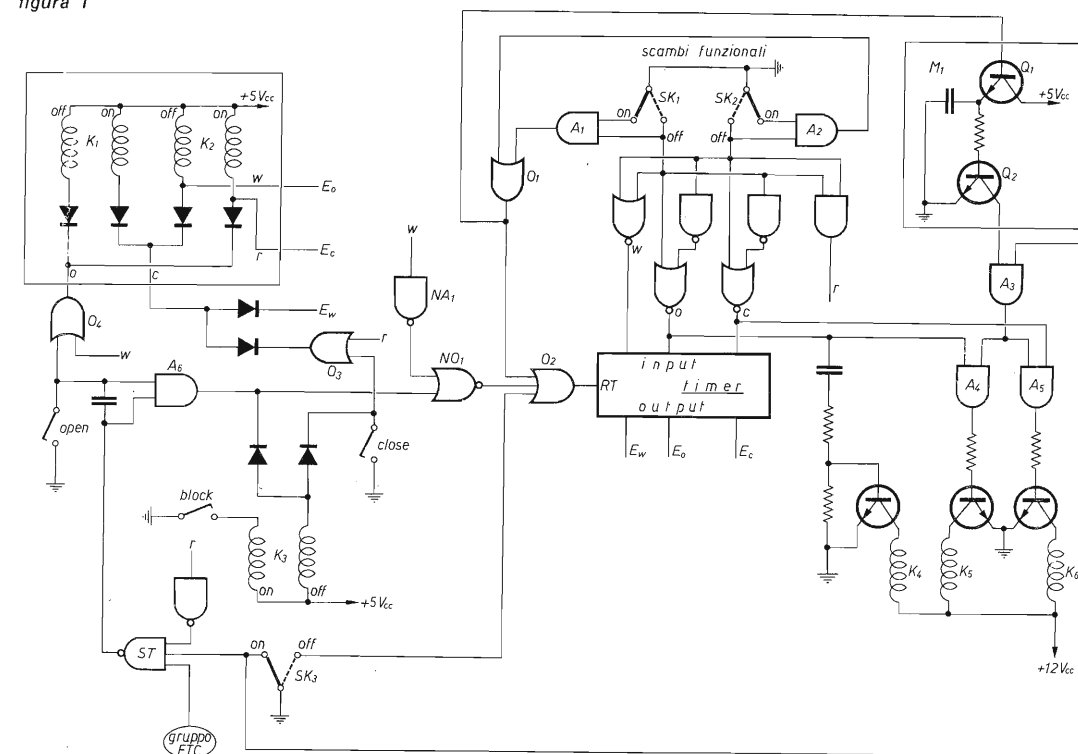
Nel sofisticato marchingegno vi saranno la bellezza di sei relais di cui tre ad autotenuta meccanica pilotabili direttamente con gli integrati (K_1, K_2, K_3); due di potenza opportuna per il servo-motore (K_5, K_6) e uno di piccola potenza per la elettro-serratura (K_4).

Quelli ad autotenuta sono a due scambi ($5V_{cc}$), quelli del motore a tre scambi ($12V_{cc}$) — per prevedere anche motori trifase — e l'ultimo a uno (sempre $12V_{cc}$).

La seguente tabellina infine contribuirà ulteriormente a chiarire il caos generalizzato:

relay 1	relay 2	stato
ON	ON	r = reset (riposo)
OFF	ON	o = open (apertura)
OFF	OFF	w = wait (attesa)
ON	OFF	c = close (chiusura)

figura 1



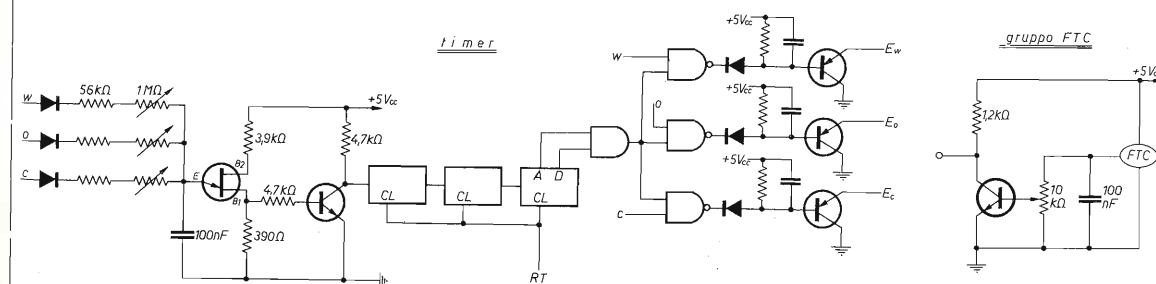
Precisazione inutile: gli stati OFF e ON sono puramente simbolici dato che stiamo parlando di relais ad autotenuta, e quindi del tutto simmetrici.

E andiamo a incominciare.

Nello stato di reset sia premuto il pulsante di open: il gruppo relais funzionali si metterà nello stato OFF-ON poiché gli stati di w, o, c, r, escono tutti a livello logico 1 e quindi l'OR sull'open si troverà come ingresso 0 e 0 (uscita 0) permettendo al gruppo di posizionarsi come voluto.

Il timer (vedi figura 2) scanderà i suoi secondi e alla fine interverrà la condizione E_o (END OF OPEN - livello logico 0) a mettere il gruppo funzionale nello stato OFF-OFF.

figura 2



Considerando nessuna interferenza esterna, alla fine del wait (E_w) interverrà lo stato ON-OFF (close) e così via, alla fine della close (E_c) torneremo nel reset (ON-ON).

E vediamo ora le eccezioni, che sono i fatti più determinanti al fine del circuito. Il gruppo di due AND e due OR (A_1, A_2, O_1, O_2 selettori di reset) connessi agli scambi funzionali determina il reset del timer (RT - livello logico 1), per cui se nello stato di open viene premuto il close e viceversa si ha una inversione dei due relais K_5 e K_6 previo un piccolo tempo di ritardo dovuto al monostabile casereccio M_1 .

Infatti, premendo per esempio l'open, i due relais funzionali K_1 e K_2 si mettono in OFF-ON, il gruppo delle sei porte connesse agli scambi funzionali decodifica lo stato di open $o = 1$ e il relay K_5 si chiude.

Due piccoli incisi: 1) le dette sei porte potrebbero bellamente essere sostituite con una decodifica, ma per ragioni di economia è stata scelta tale soluzione; 2) il comando $o = 1$ genera lo scatto della elettroserratura tramite il relay K_4 che deve rimanere eccitato per un tempo di $1 \div 2$ sec dalla carica del condensatore.

Orbene, se nello stato di open viene premuto il close, K_1, K_2 passeranno in ON-OFF e la decodifica casereccia decodificherà il close $c = 1$, ma contemporaneamente dai settori di reset scapperà fuori un 1 logico, infatti nella frazione di tempo in cui la parte mobile dello scambio passa da un contatto fisso all'altro i due ingressi dello AND stanno entrambi a 1 e l'OR O_1 riunisce su un'unica linea i due possibili avvenimenti.

Tale 1 logico, oltre a resettare il timer, viene rilevato da O_1 (emitter follower) che carica istantaneamente il condensatore, generando in definitiva un output = 0 del monostabile M_1 per tutto il tempo della scarica.

Tale valore zero, passato agli AND A_4, A_5 , da A_3 , inibisce l'effetto del comando di close per qualche secondo, permettendo al motore di fermarsi.

Molti chiederanno: « con quale coraggio si premono i pulsanti di open e close che hanno come barriera tra i relais e se stessi gli OR O_3 e O_4 ? ».

Vediamo quando intervengono tali OR.

O_3 , se reset = 1, inibisce il comando di close e gli permette solo lo sblocco di K_3 ; O_4 , se wait = 1, inibisce il comando di open verso i relais funzionali, ma gli apre una strada verso il reset del timer RT attraverso A_6, NO_1, O_2 tramite NA_1 . « E che vò di? ».

Chiaro! Durante il wait, il comando di open non permette cambiamenti di stato, ma anzi ci si è così affezionato che, resettando il timer, contribuisce a reiniziare il ciclo di wait.

Il gruppo FTC (fotocellule) che può essere composto da uno o più elementi (basta aumentare gli ingressi dello Schmitt-Trigger) esce a livello logico 1 per allarme e vediamo cosa combina: esce a livello zero dallo ST generando un impulso di apertura (tramite il condensatore di open) e mantenendo fisso lo zero verso RT. Si capisce la necessità del condensatore dal seguente esempio: durante la close passo con l'auto attraverso le fotocellule, si scatena il processo di allarme e le porte si riaprono, dopodiché mi si spegne il motore (dell'auto — non confondiamo —) e non riesco più a partire.

La fotocellula mi continuerebbe a premere il pulsante di apertura con solerte preoccupazione della mia incolumità dimenticandosi del povero servomotore che infine arriverebbe al paradiso dei motori, novello San Lorenzo.

Tutto quindi molto chiaro, ma sento una voce dal fondo che trepida per la sorte degli altri ingressi allo ST.

Niente paura: sono i comandi di esclusione fotocellula che devono avvenire durante lo stato di block e durante quello di reset, condizioni entrambe in cui devo spegnere la lampadina della fotocellula (il gruppo FTC si metterebbe subito in agitazione non vedendo più quella calda luce all'altra estremità della strada e si affannerebbe a dare disperati comandi di open pensando magari a povere innocenti creature stritolate da un cancello ineluttabilmente insensibile).

Vediamo infine lo stato di blocco (realizzato da K_3) che (non toccando i relais funzionali) mantiene memoria di come stavano andando le cose nell'istante in cui è stato dato il comando. Nelle specifiche iniziali era richiesto che solo l'open potesse sbloccare, ma nello schema propinato compare un diodo in più per cui è possibile sbloccare anche di close.

Valgono comunque tutte le regole già viste per l'open.

Quando SK_3 va in posizione ON viene piazzato uno zero logico su ST bloccandolo e contemporaneamente un 1 logico a O_2 bloccando così il conteggio del timer. Chiarite quali sono le intenzioni di figura 1, andiamo a vedere il contenuto del TIMER (figura 2).

Tutto chiaro no?

Ma sì! non lasciatevi influenzare dalle apparenze!

Ci troviamo di fronte a un classico caso di monotimer triplo, ossia un solo timer capace di generare tre tempi diversi e separatamente regolabili in funzione di quali degli ingressi ha livello 1.

Un normalissimo oscillatore a unigiunzione insomma, l'unica accortezza è che i tre diodi di input devono essere al silicio (tassativo).

A valle troviamo una catena di tre divisori per 10 (SN7490 vulgaris) all'ultimo dei quali, sui piedini di output A e D, è connesso lo AND finale.

Il pastrocchio successivo serve per smistare nuovamente l'uscita e per creare un piccolo tempo di permanenza del segnale indipendentemente da ciò che avviene a monte.

Mi spiego con un esempio: siamo arrivati alla fine di un tempo operativo, l'ultima decade a destra segna 9 (condizione $A=D=1$), e la porta NAND selezionata da uscita 0.

Se io cercassi di sfruttare tale segnale per cambiare stato succederebbe che nell'istante in cui le lamine dei relais funzionali iniziassero la corsa, si resettarebbe il timer, non solo, ma anche gli stati w e c diventerebbero inesistenti; mancherebbe quindi la possibilità di sfruttare il comando generato.

Per vincere l'inerzia dei relais occorre dunque quella tripletta di monostabili.

Il condensatore, cuore della tempificazione, così come è, dà escursioni da 10 a 50 sec circa ed è da notare che sostituendo il suddetto si cambia facilmente il range di escursione.

Detto componente deve essere ottimo sotto tutti i punti di vista e possibilmente NPO (senza variazioni di capacità con la temperatura). Se qualcuno a questo punto mi domanda perché non ho fatto un semplice temporizzatore monostabile a transistor lo radio dall'albo dei pierini: con tempi di quell'ordine di grandezza si va su condensatori dell'ordine di $500 \div 1000 \mu F$ che — a parte il fatto che non possono essere NPO — peccano di una grande variabilità attorno al valore nominale (costruttivamente e nel tempo) introducendo forti problemi di test sull'apparato.

Sempre nella stessa figura 2 si vede come è realizzato il gruppo FTC che parte dal presupposto di usare una coppia di proiettore/ricevitore commerciali dall'amplificatore incorporato; lo stadio esterno ivi descritto è dunque più che altro un regolatore di sensibilità.

Tutto il cocchio esce a livello logico 1 in caso di allarme (fotoricevitore non illuminato).

S'era detto all'inizio: « I relais ad autotenuta sono tutti a due scambi ».

Bene! E che ci si fa con lo scambio che avanza? Ma è semplice: ci si accende la lampadina del proiettore!

Il tutto verrà simpaticamente montato in serie/parallelo, ossia troveremo gli scambi di K_1 e K_2 in parallelo tra loro e in serie a K_3 per ottenere la condizione di spegnimento solo nelle due situazioni

K_1	K_2	K_3
ON	ON	ON
X	X	X

(X = indifferente).

Alcune precisazioni:

- 1 - Ovunque si trovino inputs svolazzanti, bisogna munirli di una resistenza da $1\text{ k}\Omega$ verso $+5V_{cc}$.
Per input svolazzante intendo un qualsiasi piedino di ingresso di una porta che va verso scambi di relais, pulsanti, etc. Questo serve a evitare impulsi malefici che vagolano nell'aere; vi devo comunque informare che il prototipo non ce l'aveva e sta funzionando da più di un anno. Per la stessa ragione è bene mettere dei condensatori da $100\text{ nF} \div 1\text{ }\mu\text{F}$ in parallelo ai pulsanti di comando.
- 2 - Tutti i transistori di segnale NPN sono BC109, i PNP BC178, l'unigiunzione GE 2N2646, per quanto riguarda i tre finali di potenza vanno scelti su misura per i relais usati.
Si può cominciare con dei BC125 e man mano che si bruciano arrivare a un 2N3055 (sto scherzando).

Tutta la paccottiglia anonima (resistenze, condensatori) va dimensionata in funzione del materiale usato (relais e transistori) nonché in funzione delle specifiche richieste (tempi di ritardo, di funzionamento, ecc.).

* * *

I Digitalizzator cortese vi ringrazia per la gentile attenzione dedicatagli e vi attende su questo schermo per il prossimo show.

*Il Digitalizzatore colpi duramente
Tal che l'eco nell'aria ancor si sente.*



CARATTERISTICHE

- Potenza in uscita:
300 W in AM e 500 in SSB
- 4 Valvole
- Ventola di raffreddamento
- Selettore di potenza a
3 posizioni
- Strumenti indicatori di
accordo e modulazione

RAMMENTIAMO INOLTRE I LINEARI NORGE ORA POTENZIATI A
100 W IN AM E 150 W IN SSB
NEI DUE MODELLI: BASE/MOBILE E SOLO BASE

COSTRUZIONI ELETTRONICHE PROFESSIONALI
MILANO - VIA BOTTEGO 20

Esclusivista per la SICILIA: **M.A.EL. ELETTRONIC** - Via Mazzini 24-42 - 91022 CASTELVETRANO - Tel. 41858

note
Amtron

ANALIZZATORE PER TIRISTORI

CARATTERISTICHE TECNICHE

Alimentazione: 115 - 220 - 250 Vc.a. - 50-60 Hz
 Alimentazione continua: $-14,5 +14,5$ Vc.c.
 Segnalazione conduzione e cortocircuito: indicazione ottica a LED
 Campi di misura
 Corrente di gate: da $0,1 \div 100$ mA in 4 portate con i seguenti valori di fondo scala: $0,1-1-10-100$ mA
 Tensione di gate: da $0 \div 10$ V in due portate con i seguenti valori di fondo scala: $1-10$ V
 Tensione catodo - Gate: a variazione continua da 0 ± 10 V
 Circuiti integrati impiegati: L141T1
 Diodi impiegati: $8 \times 1N4001$
 LED impiegati: CM 4 - 83
 Dimensioni: $230 \times 135 \times 155$
 Peso: 1490 g

Con il Kit AMTRON UK 808/S è possibile realizzare uno strumento per la valutazione dell'efficienza dei tiristori, di sicuro funzionamento e di semplice uso. Il suo scopo è la misura delle caratteristiche di gate, ossia di accensione. Appositi segnalatori a diodi luminescenti segnalano il passaggio in conduzione, raggiunto il quale è possibile comodamente leggere su un preciso strumento la tensione e la corrente necessaria ad ottenere l'effetto. In base a questi dati è possibile progettare i circuiti di accensione e di pilotaggio.
 Lo strumento di misura, alimentato attraverso amplificatori operazionali integrati, ha una resistenza interna tale da influenzare in maniera minima le grandezze misurate. Sia la misura della corrente che della tensione avviene in più scale selezionabili per mezzo di adatti commutatori. La polarizzazione principale dell'elemento da controllare può essere resa sia diretta che inversa per mezzo di un apposito commutatore; mentre la polarizzazione di gate può essere variata con continuità da $0 \div \pm 10$ V.

Anche se non ha raggiunto l'universalità d'uso del transistor, l'SCR (silicon controlled rectifier) è un dispositivo allo stato solido estremamente interessante, le cui elevate prestazioni in tensione, corrente e rendimento lo hanno reso forse di maggiore uso nelle grandi applicazioni industriali che nelle attività dilettantistiche. Ciò non toglie che esistono anche SCR di prestazioni tali da interessare molti dilettanti. L'importante è sapere cosa può e non può fare questo semiconduttore.
 Si tratta infatti di un particolare tipo di diodo al silicio che è formato da ben quattro strati aventi opposto drogaggio. L'SCR è compatto, non ha parti in movimento, lavora silenziosamente, non risente delle vibrazioni e degli urti. Un SCR montato in maniera corretta e di buona marca non ha praticamente limiti di durata, contrariamente ai corrispondenti sistemi elettromeccanici che può sostituire.
 L'SCR o diodo controllato può sostituire un rettificatore, con il vantaggio che la corrente continua all'uscita può essere regolata entro vasti limiti, con apparecchiature abbastanza semplici. In questa applicazione se ne vede l'utilità nei cariche batteria regolati.
 Può funzionare da interruttore a scatto comandato da un impulso elettrico di intensità molto minore della corrente principale che lascia passare. Infatti il diodo controllato si comporta da interruttore e può funzionare solo negli stati di aperto e chiuso, a differenza dei transistori che si comportano come resistenze variabili pilotate. Un breve impulso applicato ad uno dei suoi tre elettrodi (il GATE) basta a farlo passare in conduzione. Rimarrà in questo stato finché la corrente principale non passerà

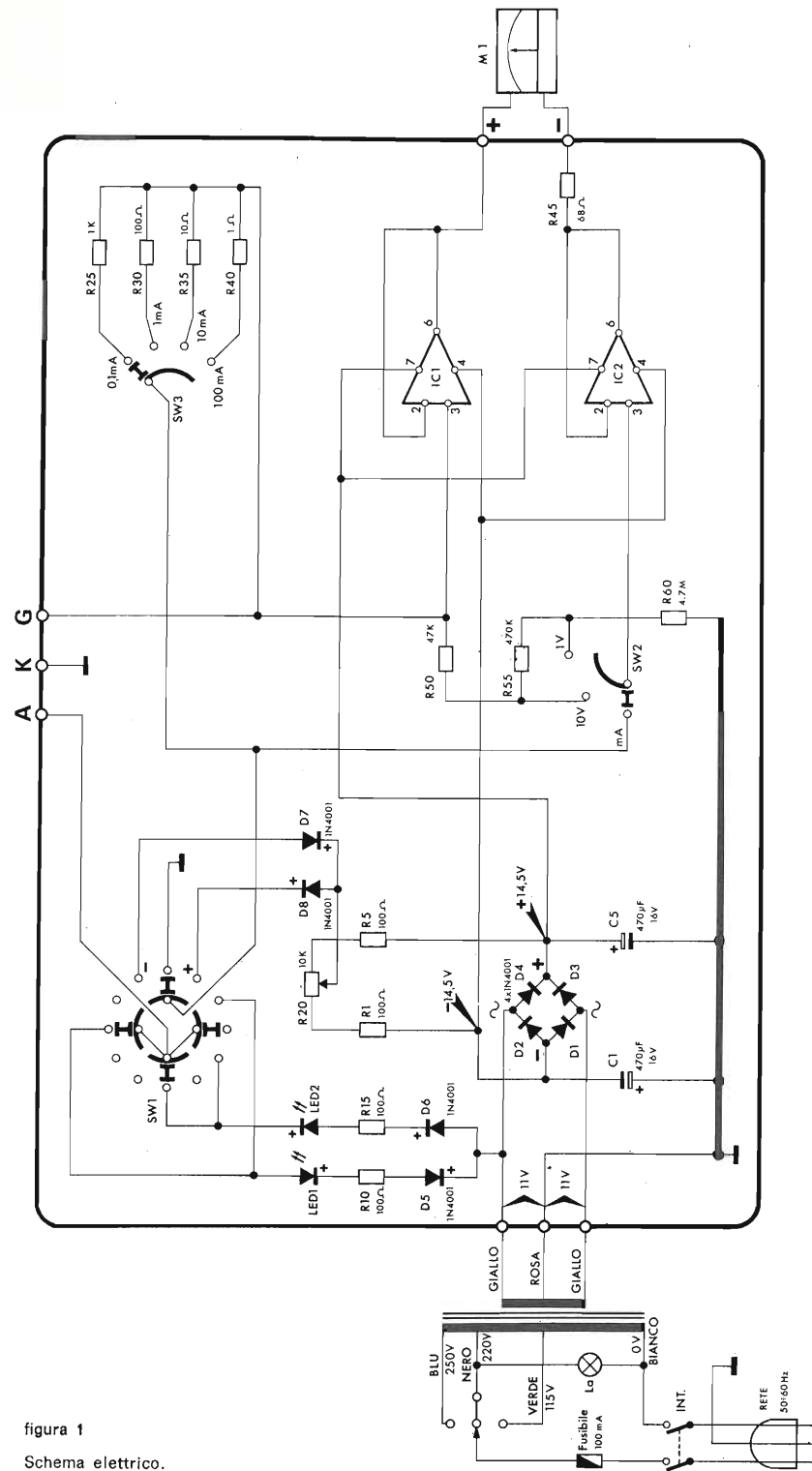


figura 1
Schema elettrico.

per lo zero. Si comporta come un relè dotato di contatto di autoaggancio, quindi non è necessario che la corrente di pilotaggio permanga nell'elettrodo di controllo per tutta la durata della conduzione. Può quindi svolgere funzioni di memoria in circuiti logici di potenza. L'SCR può essere portato in conduzione con un impulso della durata che può variare da 1 a 4 microsecondi. Per sganciarsi ha bisogno che la corrente principale si inverta per un tempo che normalmente è di 10-20 microsecondi. Sono però stati sviluppati diodi controllati nei quali questo tempo è molto ridotto, che hanno trovato applicazioni in dispositivi invertitori ad alta frequenza usati per la trasformazione della corrente continua in corrente alternata.

In questo modo la corrente continua (per esempio quella di trazione delle ferrovie) può essere fatta passare attraverso trasformatori e quindi nuovamente raddrizzata oppure lasciata allo stato di corrente alternata come per esempio nelle centrali d'emergenza ad accumulatori usate negli ospedali. Gli invertitori ad alta frequenza con diodi rapidi possono essere usati anche come generatori di ultrasuoni di potenza da usare per esplorazioni sottomarine o per la pulizia a fondo di oggetti delicati e complicati, per la saldatura delle materie plastiche. La portata della corrente principale può andare da qualche ampère al migliaio di ampère per elemento con tensioni che superano il migliaio di volt.

La corrente di controllo è straordinariamente piccola e richiede potenze medie piccolissime, per la brevissima durata degli impulsi, il che trasforma il diodo controllato in un amplificatore di guadagno eccezionalmente alto. I circuiti di controllo possono passare segnali di bassissimo livello con le conseguenti semplificazioni. Il tutto ad un costo nettamente competitivo rispetto ai vari dispositivi che è capace di sostituire con un coefficiente di affidabilità molto alto.

Il diodo controllato può sostituire da solo una notevole serie di componenti dei quali diamo un elenco incompleto:

Thyatrions, relè, amplificatori magnetici e reattori saturabili, contatori, autotrasformatori a rapporto variabile, fusibili, temporizzatori, reostati, tubi a vuoto, transistori di potenza in commutazione eccetera.

Il diodo controllato è un semiconduttore al silicio a quattro strati PNPN che funziona da interruttore.

La sua azione come elemento bistabile è dovuta ad una reazione interna tra gli strati. Altri dispositivi tutti molto interessanti sono derivati dalla tecnica costruttiva del diodo controllato. Ne elenchiamo alcuni:

L'interruttore controllato al silicio (SCR) che può essere interrotto da un impulso di comando di segno opposto a quello di accensione senza che la corrente principale debba passare per lo zero.

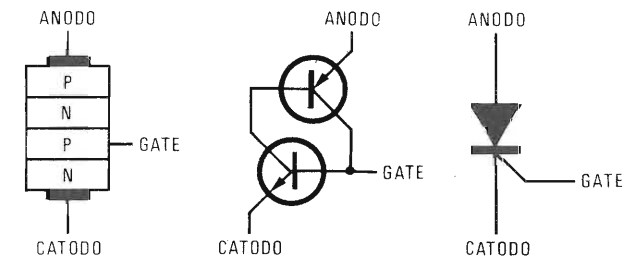
Il diodo controllato attivato dalla luce (LASCR) nel quale l'impulso di accensione è dato dalla luce, realizzando così un efficiente fotointerruttore.

Il diodo a quattro strati di Shockley usato anche nella tecnica delle microonde.

Il cuore di un elemento PNPN è una piastrina a quattro strati che sono alternativamente drogati con segno P e con segno N. I dispositivi con elettrodi connessi solo agli strati esterni sono detti « diodi a quattro strati ». I diodi controllati hanno un terzo elettrodo connesso ad uno degli strati intermedi e costituiscono la famiglia che dobbiamo studiare. Gli interruttori controllati al silicio hanno elettrodi connessi a ciascuno dei quattro strati.

Non daremo dettagli sulle tecniche costruttive dei dispositivi, che sono analoghe a quelle di altri tipi di semiconduttori. Vedremo invece come si comporta il dispositivo dal punto di vista degli elettrodi esterni. In figura 2 si vede come si può passare per successive analogie dal dispositivo a quattro strati ad un sistema di due transistori opportunamente connessi, con i quali si può simulare il comportamento dell'SCR.

figura 2
Rappresentazione analogica mediante transistori.

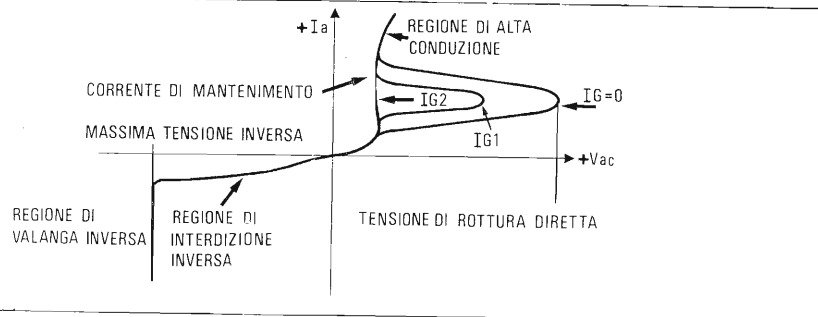


Il guadagno totale dei due transistori interconnessi come in figura 2 è pari al prodotto dei guadagni dei due transistori separati come nel circuito Darlington, dal quale differisce per avere i due transistori di polarità opposta, e per non essere modulabile. Le caratteristiche tensione-corrente dei dispositivi a quattro strati. Vediamo in figura 3 le caratteristiche di un tipico SCR. Aumentando la corrente di pilotaggio si restringe la regione delle caratteristiche che sta tra la corrente di rottura e la corrente di mantenimento. Se la corrente di pilotaggio è sufficientemente alta il dispositivo si comporta come un normale diodo a semiconduttore.

LA REGOLAZIONE DELLA CORRENTE ALTERNATA

Il fatto che l'SCR sia un dispositivo unidirezionale non limita le sue applicazioni nel campo della corrente continua. Infatti, inserito in un opportuno schema, il diodo controllato può effettuare la regolazione anche delle correnti alternate. Basta per questo montare due SCR in parallelo ma con polarità invertita (antiparallelo) ed effettuare il pilotaggio in modo adeguato per ottenere un regolatore di corrente alternata efficiente. Questo sistema è stato però superato in epoca abbastanza recente con l'introduzione di un nuovo dispositivo, il TRIAC, che si comporta esattamente come i due SCR in antiparallelo, ma può essere acceso nelle due direzioni mediante un unico elettrodo. Su tale elettrodo inviamo una successione di impulsi negativi e positivi della stessa frequenza della tensione da regolare otterremo la regolazione della corrente alternata secondo la fase ossia la posizione dell'impulso rispetto alla semionda considerata. Prima di dire qualcosa sulla tecnologia del TRIAC, sarà meglio spiegare come avviene la regolazione di una tensione alternata da parte di questi dispositivi facendo riferimento allo schema di due SCR in antiparallelo per una maggiore comprensione.

figura 3
Caratteristiche
di un tipico SCR.



Si abbia una tensione alternativa di Vc.a. di frequenza F (per esempio 50 Hz). Il sistema di regolazione funzionerà secondo i diagrammi di figura 4. Consideriamo dapprima le semionde positive della tensione alternata. Queste potranno venir trasferite al carico solo attraverso il tiristore Th1 che verrà acceso dall'impulso i_1 . In quel preciso istante Th1 passerà in conduzione (punto A) e tale rimarrà fintanto che la tensione non passerà attraverso il valore zero (punto B). Ora non passerà nessuna corrente fintanto che su G2 non avremo l'impulso i_2 che accenderà Th2 disposto in senso inverso a Th1 e perciò in grado di passare solo le semionde negative. La conduzione di Th2 partirà quindi dal punto C ed arriverà al punto D. Si ripasserà quindi alla semionda positiva e così via. La corrente sul carico sarà data dalla somma di $I_{Th1} + I_{Th2}$ ed avrà la forma indicata nel grafico IRL. Facendo spostare con un opportuno circuito variatore di fase l'impulso di accensione lungo il semiperiodo che lo interessa, avremo l'accensione più o meno ritardata del tiristore corrispondente e quindi una polarizzazione più o meno spinta della corrente di entrata con una regolazione continua.

Naturalmente, siccome la forma della onca di uscita non è più perfettamente sinusoidale, e tale differenza della forma ideale si accentua man mano che si prosegue con la parzializzazione, avremo un'onda fondamentale seguita da una serie infinita di armoniche.

Talvolta non è necessario un filtraggio, ma talvolta interessa che la tensione rimanga sinusoidale anche all'uscita. Questo è possibile mediante appositi filtri.

Il TRIAC funziona nello stesso modo, solo che l'elettrodo di comando è uno solo, al quale si fanno pervenire gli impulsi positivi e negativi in successione. Tali impulsi sono in genere ricavati mediante semplicissimi sistemi, dalla stessa tensione che deve essere regolata, ottenendo dei regolatori di poco costo che sono in grado, per esempio, di regolare la luce di una lampada mediante la semplice manovra di un potenziometro.

Siccome tutti i foglietti illustrativi dei triac danno il loro schema applicativo, è inutile descriverlo in questa sede.

Rispetto al gruppo di regolazione in antiparallelo ad SCR il sistema a TRIAC, pur ottenendo lo stesso risultato, introduce una semplificazione eccezionale, in quanto i sistemi di pilotaggio indipendente dei due tiristori pongono al progettista problemi non indifferenti per la formazione di impulsi della giusta fase reciproca, e richiedono schemi piuttosto complicati ed ingombranti.

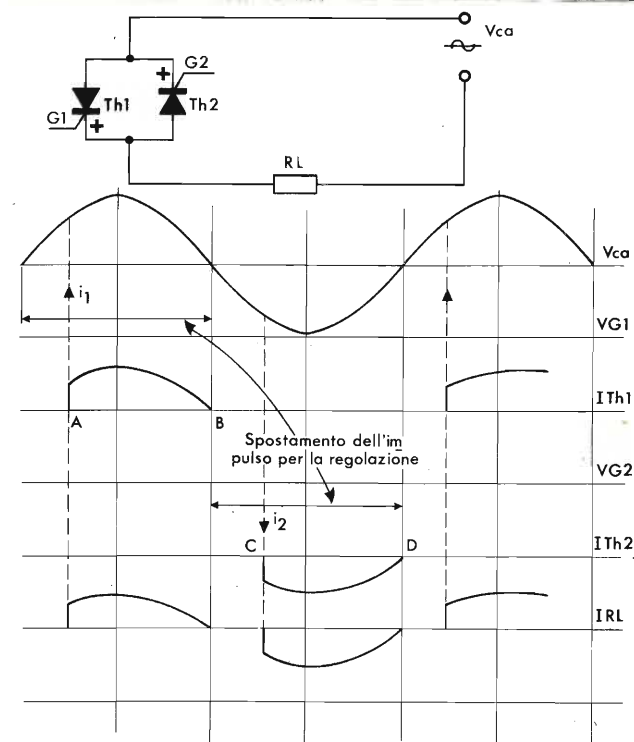
Il TRIAC fa a meno di circuiti complessi ed è capace di passare potenze molto elevate in rapporto all'ingombro, per cui sono diventati comuni i regolatori di luce (Light dimmer) che non occupano più spazio di un normale interruttore ed hanno un prezzo alla portata di tutti.

E' interessante vedere come funziona internamente la conduzione del Triac in rapporto all'andamento della tensione sull'elettrodo di controllo.

Il grafico tensione corrente è uguale per la parte positiva a quello del tiristore visto in figura 3. A differenza di questo, l'andamento nella parte negativa è uguale ed opposto a quello della parte positiva.

figura 4

Caratteristiche di comando.



Un fatto interessante, che limita il problema dei controlli di fase è che il TRIAC ha la capacità di essere portato in conduzione da impulsi sia negativi che positivi di comando indipendentemente dal segno della polarizzazione degli elettrodi principali.

DESCRIZIONE DELLO SCHEMA

In pratica l'UK 808/S misura le caratteristiche di pilotaggio dei diodi controllati e dei Triac. Per mezzo del potenziometro R20 si applica all'elettrodo di pilotaggio dell'elemento una tensione positiva o negativa a scelta, mediante il commutatore SW1, e variabile con continuità da $0 \div \pm 10$ V. Al momento dello scatto in conduzione del dispositivo si accenderà l'una o l'altra delle due lampade LED 1 o LED 2 a seconda della polarità applicata agli elettrodi principali. Nel caso di cortocircuiti ambedue le lampade si accenderanno senza che all'elettrodo di controllo ci sia polarizzazione.

In caso di interruzione le lampade non si accenderanno qualsiasi sia il valore della polarizzazione. Una volta stabilito il punto minimo di scatto si possono leggere i valori della corrente e della tensione di gate sullo strumento indicatore M1 secondo le varie portate selezionate per le correnti dal commutatore SW3 e per le tensioni dal commutatore SW2. Quest'ultimo dispone anche di una posizione che predispone lo strumento alla misura delle correnti. Lo strumento è alimentato dai due amplificatori operazionali IC1 ed IC2 che hanno il compito di migliorare le caratteristiche d'ingresso dello strumento indicatore M1 in modo da influire in maniera trascurabile sulle grandezze misurate.

Siccome gli amplificatori hanno guadagno unitario, si tratta solo di un adattamento d'impedenza. Il guadagno unitario è dovuto al fatto che la controreazione è totale e questo si vede sullo schema dal cortocircuito tra uscita ed entrata (piedini 6-2).

Per le misure in corrente la misura assorbe dal circuito solo $100 \mu A$ per 1 mA fondo scala dello strumento. Le misure di tensione avvengono con una resistenza d'entrata di $5 M\Omega$. La corrente viene letta sotto forma di caduta di tensione sui resistori di shunt R25, R30, R35, R40 in quattro portate.

L'alimentazione avviene dalla rete con la possibilità di scelta tra tre tensioni diverse. La tensione di rete viene applicata al trasformatore di alimentazione attraverso un interruttore a due poli ed un fusibile di portata opportuna. Una lampada spia indica che lo strumento è acceso e pronto per l'uso. Il secondario del trasformatore è a due sezioni in modo da avere verso massa due tensioni continue uguali e di segno opposto, dopo che la corrente alternata è stata raddrizzata dal ponte di Graetz monofase formato dai diodi D1, D2, D3, D4. Il gruppo provvede, previo livellamento da parte dei condensatori C1 e C5, all'alimentazione sia dello strumento vero e proprio che degli amplificatori operazionali.

15° ANNUAL W/W RTTY DX "Calgary Centennial" Sweepstakes

Il **Canadian Amateur Radio Teletype Group**, sponsor del Contest, propone agli RTTYers l'edizione 1975 con le seguenti regole:

- 1) DATA: dalle 02,00 GMT sabato 4 ottobre 1975 alle 02,00 GMT lunedì 6 ottobre 1975 con una attività effettiva non superiore alle 30 ore.
- 2) FREQUENZE: tutte le bande riservate ai radioamatori da 3,5 a 28 MHz.
- 3) PAESI: quelli della lista ARRL e KL7, KH6, VO.
- 4) CLASSIFICHE: a) singolo operatore; b) multioperatore; c) SWL.
- 5) MESSAGGI: numero del messaggio, tempo GMT e zona.
- 6) PUNTI: due punti per QSO con la propria zona mentre per le altre zone è valida la tabella.
- 7) MOLTIPLICATORI: ogni Paese collegato, e in più i distretti americani e canadesi che sono considerati Paesi.
- 8) SCORE: totale dei punti x totale dei Paesi x totale dei continenti (max 6) (100 punti di abbuono per ogni collegamento con VE/VO).

Inviare i logs entro il 1/12/1975 a:
**CARTG - 85 Fifeshire Road
 Willowdale (Ontario - Canada)
 M2L 2G9**

ATTENZIONE VENDO o cambio con BC603-604 funzionanti al 100%, corredati di microfono e cuffie, con RX-TX Lafayette HE20T con VFO, 24 canali quarzati, perfettamente funzionante. Rispondo a tutti.
 Oreste Rehini - 27030 Zinasco Nuovo (PV).

CERCO ESAGAMMA IF71 o multigamma IF81 o IF92 della imcardio. Funzionanti e non manomesse con modifiche personali. Cambio con radioregistratori della National nuovi con garanzia oppure con cuffia Koss ESP9 nuova con garanzia. A scelta ho valvole nuovissime anni 35-45 e materiale Hi-Fi tutto nuovissimo.
 C. Coriolano - via Spaventa, 6 - 16151 GE-Sampierdarena.

AUTOMOBILE NSU 110C bianca autoradio immatricolata 1966 ma percorsi soli 70.000 km recente revisione dovendo sgomberare box scambiasi con moderno ricetrasmittente decametriche.
 G.I. Crismanovich - via Emo 33/1 - 34100 Trieste - ☎ 726387 e 732251.

ATTENZIONE VENDI! Chitarra elettrica 6 corde volume, tono, presa jack - cambio tono + ampliif. 30 W potenza usato poche settimane. Vendo il tutto a L. 110.000 oppure cambio con baracchino 27 MHz W 23 ch quarzati tipo Lafayette HB23. Scrivetemi tutti risponderò!!!
 Giorgio Platter - via Rumanon 45 - 39046 Ortisei (BZ).

CESSATA ATTIVITA': vendo transceiver Sommerkamp FT DX 505; nuovo, usato solo per 15 QSO. Standard 806, da R1 a R9, più 145.550 + 144.600 + 144.480. Pony 23 canali CB. Scrivetemi o telefonate: ci metteremo d'accordo.
 Luciano Rovacchi - piazza S. Zenone 1 - 42100 Reggio Emilia - ☎ 0522-35671 - 41077.

VENDO ORGANO ELETTRONICO Vox Continental a L. 140.000 più vendo noto corso di Elettronica in 18 dispense.
 IWSAKN, Carlo Lainà - via del Coro 7 - 57025 Piombino - ☎ 34760.

VENDO, ANCHE SEPARATAMENTE TX HT44 - SX117 Hallicrafters - Modificati a 220 V. Stato perfetto con tutti gli accessori + alcune valvole di ricambio - antenna 2 EL-HY Gain TH2 MK3 poco usata. Permuterei con transceiver Hallicrafters Cyclone o lo acquisterei, esclusi perditempo.
 I8NLC - via Ottaviano 76 - 80040 S. Gennaro Ves. (NA).

VENDO 130 RIVISTE varie di elettronica risalenti a qualche anno fa, o cambio con materiale elettronico. Scrivere per maggiori informazioni.
 Vairo Risoldi - SS. Flaminia Ternana 271 - 05035 Narni (TR).

QUASI GRATIS offro display sette segmenti Opcoa SLA7, con caratteri alti 7 millimetri dalla leggibilità nettamente migliore rispetto gli altri tipi in commercio, per 1950 lire l'uno. Cedo inoltre per 25000 lire trattabili ricevitore 27 MHz, ottima sensibilità, con VFO e quarziera incorporati, realizzato con transistori bipolari, FET e integrato in BF, aspetto esterno di tipo professionale con grosso S-meter e doppia possibilità di eliminare splatters.
 Edoardo Tonazzi - viale A. Salandra 31 - 70124 Bari.

DIAPROIETTORE 6 x 6 costruito in pressofuso, tipo Zeus 2, sistema a slitta va e viene con riduttori 24 x 36, lampada 250 W e ventilatore, obiettivo Rollei-Heidosmat 3.5/150, pronto, con 6 metri prolunga vendo L. 40.000.
 Aldo Fontana - sal. S. Leonardo 13/11 - Genova - ☎ 589016.

INTERRUZIONE ATTIVITA' VENDO: transceiver TRIO-Kenwood model TS-515 completo di Power Supply PS-515, microfono Turner SS9 454C il tutto praticamente nuovo con scatole di imballaggio intatte, libretto di istruzioni schema e tutte le dotazioni accessorie. Inoltre vendo BC-312, RX surplus frequenza coperta da MHz 1.5 a MHz 1.8 completo di altoparlante il tutto per L. 530.000.
 Tullio Pierucci - via Oldrina 4 - 28053 Castelletto Ticino (NO) - ☎ 0331-972317.

CAMBIO CON RX 80-40-20-10 funzionante seguente materiale: Canon FTOL + obiettivo + Lunasix 3 + tele 300 + borsa. Usato ma funzionante.
 Emilio Guida - Castello Angioino - Gaeta (LT).

CEDO COPPIA WALKIE-TALKIE tipo Tower 100 mW 5 transistori quarzo in trasmissione canale 14 L. 8000 seminuovi. 3 MOSFet MEM564 + 6 FET 2N3819 + 2 FET BF244A + 8 BC113 + 4 BF173 + 3 2N708 in blocco L. 10.000 nuovi modulo BF STE A41 da riparare L. 2.500. Modulo STE AG10 generatore di nota 1750 Hz L. 4.000 nuovo. In blocco L. 20.000 + altro materiale in regalo.
 Rocco Binetti - via Monte Grappa 170 - 70124 Bari.

CEDO MATERIALE ELETTRONICO VARIO, nuovo e usato + riviste di elettronica.
 Paolo Masala - via S. Saturnino 103 - 09100 Cagliari.

CAUSA BISOGNO IMMEDIATO REALIZZO vando nuovi o mai usati: Chinaglia oscilloscopio 110 kL., provatransistori 16 kL. Amtron (tarati, perfetti) Signal Tracer 25 kL. Wattmeter B.F. 15 kL., Generatore B.F. 18 kL., TVI Filter 4 kL., impedance adapter 8 kL., Dual 1218 110kL., 2 casse Sony 50 W 170 kL., 40+40 W continui indistori 8 Q, 120 kL., TV portatile GBC 17", 90 kL., RTX Command 23 ch 85 kL., Ground Plane 27 MHz 8 kL. Paolo Lenisa - via F.lli Bandiera 11 - 45027 Trecenta (RO).

LUCI PSICHELICHE, monocanali 1000 W max, regolazione sensibilità e luminosità, generatore di effetti luminosi interno. Vendo L. 20.000.
 Mauro Venturini - via Amendola 64 - 48022 Lugo (RA).

SPOGGIO LIBRERIA: Corso Radiotecnica I ediz. R.T. 61 Milano rilegato 1/2 tela pag. 1260 come nuovo L. 5.000. Corso teo/pratico di TV in 80 lezioni ediz. Rostro 61 rileg. 1/2 tela nuovo pag. 1000 circa L. 4.000. Radio Handbook II ediz. italiana CELI 58 rilegato prezzo copertina L. 10.000. Volumi 2 rileg. tela rossa / /beta Catalogo 69 Componenti Elettronici G.B.C. nuovissimi solo L. 3.500. Macchina Polaroid Color Pack II usata raramente solo L. 12.000, tutto + spese.
 Fernando Mondini - via Bozzo Costa 95/3 - 16035 Rapallo (GE).

CEDO FOTORIPRODUTTORE COPILAS a L. 30.000 (nuovo lire 59.000) usato solo poche volte.
 Dario Mastrangelo - 66037 S. Eusanio del Sangro (CH).

Ricevitori **BC312 - BC348 - BC603 - BC683 - ARR15 - R748A** (100/156 Mc) - **AN-GRR5 - ARN6** complete di loop e control box. Voltmetri elettronici **TS-505/U** - Generatori B.F. **TS-382 F/U** - Frequenzimetri **BC221** - Frequenzimetri **FR-6/U** (100-500 Mc) - Provavalvole 1-177-B completi di cassetta aggiuntiva. Tubi **6032** convertitori di immagini per infrarosso - Filtri infrarosso Ø 6".

LETTORI, DATE PIU' VALORE AI VOSTRI ANNUNCI!

Avrete certo notato che da molti mesi **cq** seleziona le offerte e le richieste in quattro grandi classi: **CB, OM/SWL, SUONO, VARIE**.

Questo è stato attuato per dare un migliore servizio a voi inserzionisti, per semplificare la ricerca, per rendere più sicuro il reperimento delle notizie che interessano il singolo. Approfittatene, dunque, e vicino alla casellina □ in cui dovete fare la X, indicate anche la categoria della inserzione.

Al retro ho compilato una

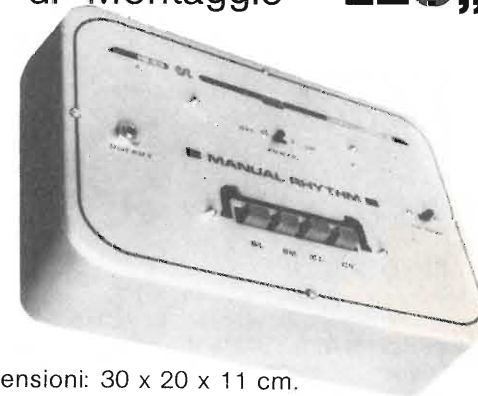
Esempio:

OFFERTA CB RICHIESTA

cq offre la più ampia e qualificata rubrica di inserzioni **gratuite** tra tutte le riviste italiane del ramo: **date valore alle vostre merci selezionando le inserzioni!**

NOVITA' DALLA KIT-COMPEL

"MANUAL RHYTHM" Scatola di Montaggio "LEO,"
GENERATORE MANUALE DI RITMI
 completo di elegante mobiletto



- Quattro strumenti:

**CASSA
 BONGO
 CLAVE
 PIATTI**

- Comando a tastiera
- Regolazione tono piatti
- Uscita adatta a qualsiasi amplificatore
- SEI transistori, SETTE diodi

Dimensioni: 30 x 20 x 11 cm.
 Corredato di manuale con le istruzioni di montaggio:
 10 pagine e disegni in scala 1:1.

**RICHIEDETECI PREZZI E DATI TECNICI DETTAGLIATI
 CERCHIAMO DISTRIBUTORI IN ZONE LIBERE**

KIT-COMPEL - via Torino, 17 - 40068 S. Lazzaro di S. (Bologna)

FOSCHINI AUGUSTO

via Vizzani, 68/d - ☎ 34.14.57 ab. 27.60.40
 40138 BOLOGNA

CINEMO-DERIVOMETRO pantografo ottico-meccanico per rilevamento, montato originariamente su aerei. Completo di cassetta contenitrice, manuale per l'uso. Contiene innumerevoli componenti ottici di altissima qualità come oculare, obiettivo acromatico, specchi piani alluminati. Sino ad esaurimento L. 20.000 cad.



COSTRUZIONI
APPARECCHIATURE
ELETTRONICHE

via Francesco Costa 1-3
☎ (0175) 42797 - 12037 SALUZZO (CN)



AMPLIFICATORE RF 26 ÷ 30 MHz
INPUT 1 ÷ 5 W - OUTPUT 40 W RF
ALIMENTAZIONE 12,5 Vcc

Per funzionamento in c.a.
richiedere alimentatore VASPRO 5



TRASFORMATORI DI ALIMENTAZIONE
primario 220 V c.a. 50 Hz

TR/004V06	secondario 6,0 V	0,5 A	L. 990	TR/060V06	secondario 6,0 V	10,0 A	L. 4.950
TR/004V07	secondario 7,5 V	0,5 A	L. 990	TR/060V12	secondario 12,0 V	5,0 A	L. 5.060
TR/004V09	secondario 9,0 V	0,4 A	L. 990	TR/060V18	secondario 18,0 V	3,5 A	L. 5.225
TR/004V12	secondario 12,0 V	0,3 A	L. 1.103	TR/060V24	secondario 24,0 V	2,5 A	L. 5.390
TR/004V18	secondario 18,0 V	0,2 A	L. 1.150	TR/060V48	secondario 48,0 V	1,3 A	L. 5.610
TR/004V24	secondario 24,0 V	0,15 A	L. 1.210	TR/090V12	secondario 12,0 V	7,0 A	L. 6.765
TR/040V06	secondario 6,0 V	5,0 A	L. 3.435	TR/090V18	secondario 18,0 V	5,0 A	L. 6.985
TR/040V07	secondario 7,5 V	4,5 A	L. 3.520	TR/090V24	secondario 24,0 V	4,0 A	L. 7.200
TR/040V09	secondario 9,0 V	4,0 A	L. 3.685	TR/090V48	secondario 48,0 V	2,0 A	L. 7.645
TR/040V12	secondario 12,0 V	3,0 A	L. 3.850	TR/090V64	secondario 64,0 V	1,5 A	L. 8.085
TR/040V18	secondario 18,0 V	2,0 A	L. 4.015	TR/300V12	secondario 12,0 V	10,0 A	L. 20.930
TR/040V24	secondario 24,0 V	1,5 A	L. 4.235	TR/300V18	secondario 18,0 V	10,0 A	L. 21.450
TR/040V48	secondario 48,0 V	0,8 A	L. 4.345	TR/300V24	secondario 24,0 V	10,0 A	L. 22.003
				TR/300V48	secondario 48,0 V	5,0 A	L. 25.300
				TR/300V64	secondario 64,0 V	3,5 A	L. 27.500

AMPEROMETRI ELETTROMAGNETICI

AS20	2 A f.s. scala rettang. cm 5,5 x 5	L. 4.400
AS50	5 A f.s. scala rettang. cm 5,5 x 5	L. 4.400
AS100	10 A f.s. scala rettang. cm 5,5 x 5	L. 4.180
AS150	15 A f.s. scala rettang. cm 5,5 x 5	L. 4.180
IS/20	isolatore in mica per TO-3 con rondelle in fibra e viti	L. 275

VOLTMETRI ELETTROMAGNETICI

SC15	15 V f.s. scala rettangolare cm 5,5 x 5	L. 4.403
SC20	20 V f.s. scala rettangolare cm 5,5 x 5	L. 4.953
SC40	40 V f.s. scala rettangolare cm 5,5 x 5	L. 5.500
SC80	80 V f.s. scala rettangolare cm 5,5 x 5	L. 6.633

ALIMENTATORI STABILIZZATI VARPRO 2 A

Ingresso: 220 V 50 z
Uscita: da 0 a 15 V cc
Stabilità: 2% dal minimo al max carico
Ripple: inferiore a 1 mV

VARPRO 3 A

Caratteristiche simili al VARPRO 2 ma con max corrente erogabile di 3 A

VARPRO 5 A

Caratteristiche simili ai precedenti ma con max corrente erogabile di 5 A

VARPRO 10 A

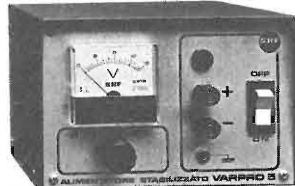
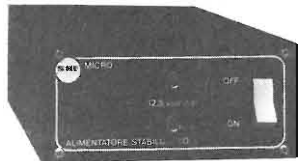
Caratteristiche simili ai VARPRO 2 A / 3 A / 5 A ma con max corrente erogabile di 10 A

ALIMENTATORE STABILIZZATO MICRO 1,5

Tensione fissa 12,5 V carico max 1,5 A

Tutti i modelli sono autoprotetti con apposito circuito a limitazione di corrente.

CONDIZIONI DI VENDITA: PORTO: assegnato, importo come da tariffa postale. - PAGAMENTO: anticipato sconto 3%, contrassegno netto. - CONSEGNA: entro 15 giorni.



RIVENDITORI

- ALBA** : SANTUCCI - via V. Emanuele, 30
DISCOLANDIA - Corso Italia, 18
- CAGLIARI** : E.S.A.R. - via Umberto 1°, 8 - QUARTO S. Elena
- CANICATTI** : E.R.P.D. di VANFIORI - via Milano, 286
- GENOVA** : ELCO - piazza Remondini, 5a
VIDEON - via Armenia, 15
E.L.I. - via Cecchi, 105 r.
- PALERMO** : TELEAUDIO di FAUSILLI - via N. Garzilli, 19
via Gallei, 34
- PINEROLO** : OBERTO - Stradale Saluzzo, 11
- ROMA** : G.E.D. - via A. Dei Bono, 68 ROMA LIDO
- SAVONA** : D.S.C. - via Ugo Foscolo, 18
- TARANTO** : PIERRO - via P. Amedeo, 376
- TORINO** : ALLEGRO - Corso Re Umberto, 31
CUZZONI - Corso Francia, 91
TELSTAR - via Gioberti, 18
V.A.L.L.E. - via Carena, 2

CERCASI CONCESSIONARI PER ZONE LIBERE

La Kit Color

forte dei successi ottenuti prosegue nella vendita della



Mod. Seletron TVC SM7201

SCATOLA DI MONTAGGIO PER TELEVISORE A COLORI DA 26"

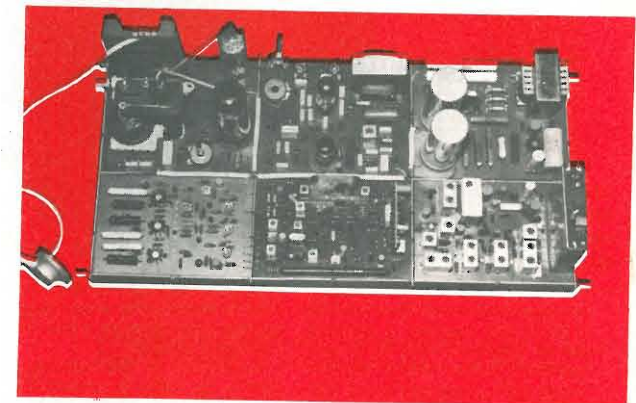
KIT COMPLETO TVC SM7201
L. 312.000

SENZA MOBILE E CINESCOPIO
L. 168.000

(IVA e porto esclusi)

ASSOLUTA SEMPLICITA' DI MONTAGGIO

- I circuiti che richiedono speciali strumenti per la taratura sono premontati ed allineati.
- La messa a punto di tutti gli altri circuiti si effettua con un comune analizzatore.
- Un dettagliato manuale di istruzioni allegato fornisce tutte le indispensabili specifiche per il montaggio e la messa a punto.
- Il nostro Laboratorio Assistenza Clienti è a disposizione per qualsiasi Vostra esigenza.



il cuore elettronico Kit Color

Spett. **KIT COLOR**

Vogliate inviarmi, senza alcun impegno da parte mia, n. 1 opuscolo illustrativo della scatola di montaggio SM 7201.

Allego L. 200 in francobolli per spese postali.

Cognome _____

Nome _____

Via _____

Città _____ C.A.P. _____

Per ulteriori informazioni richiedere, con tagliando a lato, opuscolo illustrativo alla:

KIT COLOR
via M. Malachia De Taddei, 21
Tel. (02) 4986287 - 20146 MILANO

Eccovi "l'altro metodo" (più giovane e veloce)
per imparare senza fatica

l'Elettronica



Elettronica
I 18 fascicoli comprendono: 744 pagine
(210 x 297 mm.), 1243 illustrazioni,
11 materie, 472 argomenti, 220 formule.

Per affrontare una materia così impegnativa come l'Elettronica ci sono due metodi: il primo è quello classico sui libri, studiando la teoria, lavorando solo di cervello; il secondo è il metodo IST per corrispondenza che offre, accanto alle pagine di teoria, la possibilità reale di fare esperimenti a casa vostra nel tempo libero, su ciò che a mano a mano leggerete. Così finalmente in un colpo solo la teoria verrà dimostrata dall'esperimento e l'esperimento convalderà la teoria. In questo modo una materia così complessa come l'Elettronica sarà imparata velocemente, con un appassionante gioco teorico-pratico. Col nuovo metodo IST vedrete che vi basteranno solo 18 dispense per possedere la "chiave dell'Elettronica" che vi aprirà

nuovi e più vasti orizzonti nel vostro lavoro che vi potrà procurare una diversa e più interessante attività. Il corso IST di Elettronica, redatto da esperti conoscitori della materia, comprende 18 fascicoli e 6 scatole di materiale per realizzare oltre 70 esperimenti diversi.

Chiedete subito la 1^a dispensa in visione gratuita.

Vi convincerete della serietà del nostro metodo, della novità dell'insegnamento (svolto tutto per corrispondenza, con correzione individuale delle soluzioni, Certificato Finale, fogli compiti, raccoglitori, ecc.) e della facilità dell'apprendimento. Spedite il tagliando **oggi stesso**. Non sarete visitati da rappresentanti.

IST Oltre 67 anni di esperienza in Europa e 27 in Italia nell'insegnamento per corrispondenza.

Tagliando da compilare e spedire in busta chiusa o su cartolina postale a
**IST - Istituto Svizzero di Tecnica - via S. Pietro, 49/35A
21016 LUINO - tel. (0332) 53 04 69**

Desidero ricevere - per posta, in visione gratuita e senza impegno - il 1° fascicolo di Elettronica con dettagliate informazioni sul corso. (Si prega di scrivere 1 lettera per casella).

Cognome _____
Nome _____
Via _____ N. _____
C.A.P. _____ Località _____

L'IST è l'unico Istituto Italiano Membro del CEC - Consiglio Europeo Insegnamento per Corrispondenza - Bruxelles.

sitcap 7410

PANAPLEX PANEL DISPLAY



Display multiplo a 10 digit, 7 segmenti a gas di uso universale. Ideale per frequenzimetri, orologi, multimetri etc. Alimentazione 180 V Viene fornito completo di foglio di applicazione. L. 9.500

CIRCUITI INTEGRATI MOS

MM5314 orologio a 6 digit	L. 14.000
ICM7045 cronometro digitale multifunzioni	L. 58.000
AY5-1224 orologio 4 digit	L. 5.750
MM50250 orologio con sveglia 6 digit	L. 17.000

NEW 4-DIGIT CLOCK MICROCIRCUIT E1109

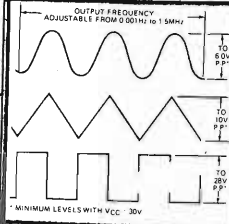
Effettua internamente le divisioni necessarie per essere pilotato da apposito quarzo.
IC E1109 Intersil L. 12.000
Quarzo L. 5.000

JAPAN TRANSISTORS

2SC372	L. 350
2SC620	L. 500
2SC710	L. 350
2SC712	L. 350
2SC774	L. 1.500
2SC775	L. 2.200
2SC778	L. 4.400
2SC799	L. 4.800
2SC839	L. 350
2SC945	L. 350
2SC1017	L. 2.500
2SC1018	L. 3.000
2SC1096	L. 2.500
2SC1307	L. 7.800
2SC1591	L. 9.500
2SD234	L. 1.800
2SD235	L. 1.800
2SK19 FET	L. 950
2SK30 FET	L. 950
2SK49 FET	L. 950
3SK40 MOSfet	L. 1.500

CIRCUITI INTEGRATI

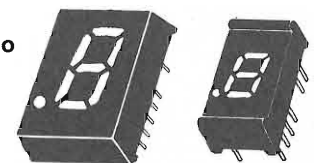
830CE	L. 900
μA723	L. 950
L129	L. 1.600
L130	L. 1.600
L131	L. 1.600
LM309K	L. 2.950
L005	L. 1.800
μA709 TO-DIL	L. 800
μA741 TO-DIL	L. 800
μA747	L. 1.600
NE555	L. 1.200
NE556	L. 1.900
IL74 optocoup	L. 1.300
ICM7038	L. 4.500
DD700	L. 1.900
TAA611B12	L. 1.200
TBA810S	L. 1.950



ICL 8038 INTERSIL

Generatore di funzioni e VCO in unico chip 16 pin. Può generare contemporaneamente 3 forme d'onda da 0.001 Hz a 1.5 MHz. Fornito con schema di applicazione L. 4.500

DISPLAY A STATO SOLIDO DL 747 L. 3.500



per 6 pezzi L. 3.100 cad.

DL 707 L. 2.400

per 6 pezzi L. 2.000 cad.

DL 747 DL 707

altezza cifra 16 mm altezza cifra 8 mm



XTAL DI PRECISIONE

HC 6/U frequenza 1 MHz solo L. 4.500 per frequenzimetri e strumenti digitali.

OFFERTA SPECIALE!!!

Diodi Zener 15 V 20 W per 100 pezzi L. 450 cad. Transistor 2N3375 11 W UHF per 100 pz. L. 2.500 cad.

DIODI LED Ø 5 mm

Rosso diffuso	L. 300
Giallo diffuso	L. 400
Verde diffuso	L. 400

DIODI LED Ø 3 mm

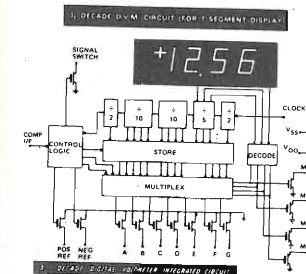
Rosso	L. 250
Verde	L. 250
Giallo	L. 250



KIT OROLOGI DIGITALI

completi di circuito stampato e trasformatore

DV5-8007



Digital voltmeter. Unico chip Mos. Integrazione a doppia rampe. Pilota direttamente un display a 4 digit, 7 segmenti. Indicazione automatica di polarità e OVERRANGE. Completo di data sheet. L. 9.800

SCR

400 V 7 A	L. 1.200
250 V 3 A	L. 900

DIAC

ER900	L. 350
-------	--------

TRIAC

400 V 7 A	L. 1.400
-----------	----------

DIODI A PONTE

200 V 25 A	L. 1.800
------------	----------

DIODI

50 V 3 A	L. 250
----------	--------

mod. 2001 a 6 cifre L. 29.500
mod. 2002 a 6 cifre con sveglia L. 39.500
mod. 2003 a 4 cifre L. 17.500
Contenitore per detti L. 2.500

ALIMENTATORI REGOLABILI E STABILIZZATI IN KIT DI MONTAGGIO

completi di circuito stampato e trasformatore.
mod. 2004 da 1 a 25 V 54 VA con protezione a soglia da 100 mA a 2,7 A L. 16.500
mod. 2005 da 4 a 25 V max 2,2 A con protezi. L. 9.800
Solo trasformatore 18 V 54 VA L. 5.000

LA PRESENTE PUBBLICAZIONE ANNULLA TUTTE LE PRECEDENTI

Non si fanno spedizioni per ordini inferiori a L. 4.000. Spedizione contrassegno maggiorazione L. 800. PREZZI SPECIALI PER INDUSTRIE, fare richieste specifiche

MOELLER
INTERNATIONAL

VIA CASTELLINI 23
22100 COMO TEL. 031/278044

i migliori Kit nei migliori negozi

Amplificatore 1,5 W 12 V
 Amplificatore 12 W 32 V
 Amplificatore 20 W 42 V
 Preamplificatore mono
 Alimentatore 14,5 V 1 A
 Alimentatore 24 V 1 A
 Alimentatore 32 V 1 A
 Alimentatore 42 V 1 A
 Alimentatore da 9-18 V 1 A
 Alimentatore da 25-35 V 2 A
 Alimentatore da 35-45 V 2 A
 Alimentatore da 45-55 V 2 A
 20103 Amplificatore 2,5 W 12 V
 20104 Amplificatore 7 W 12 V
 20111 Preamplificatore microfono
 20112 Preamplificatore bassa impedenza
 20113 Preamplificatore alta impedenza
 20200 Interruttore crepuscolare a triac
 20201 Regolatore di potenza a triac
 20202 Regolatore di velocità per motorini c. c. (giradischi registratori)
 20210 Fototimer

ANCONA - ELETTRONICA ARTIGIANA
 via XXIX Settembre 8/bc
BERGAMO - TELEBADIOPRODOTTI
 via E. Fermi 7
BIELLA - G.B.R.
 via Candelo 54
BOLOGNA - RADIOFORNITURE
 di NATALI & C. via Ranzani 13/2
BRINDISI - RADIOPRODOTTI
 di MICELI - via Cristoforo Colombo 15
BUSTO ARSIZIO - GALLARATE - C.F.D.
 corso Italia 7 - BUSTO ARSIZIO
CATANIA - TROVATO LEOPOLDO
 piazza M. Buonarroti n. 14
COMO - BAZZONI
 via Vitt. Emanuele 9, 106
COSENZA - ANGIOTTI
 via N. Serra 36/50
FIRENZE - FAGGIOLI
 viale Gramsci, 15
GENOVA - DE BERNARDI
 via Tollo 7/c
IVREA - VERGANO G.
 piazza Pistoni 17
LA SPEZIA - RADIODARTI di GIORGI P.
 via V. Veneto 35
LECCE - V. LA GRECA
 viale Japigia 20/22
MANTOVA - ELETTRONICA
 via Risorgimento 69
MASSA CARRARA - VESCHI FABRIZIO
 via F. Martini 5
MODENA - PARMEGGIANI WALTER
 via Verdi 11

MONFALCONE (GO) - PERESSIN CARISIO
 via Ceriani n. 8
OLBIA - COM.EL.
 di MANENTI - corso Umberto 13
PADOVA - ING. G. BALLARIN
 via Jappelli 9
PALERMO - RUSSO BENEDETTO
 via G. Campolo n. 46
PALERMO - M.M.P. ELECTRONICS
 via Simone Corleo 6/A
PESARO - MORGANTI
 via Lanza 5
PINEROLO - CAZZADORI A.
 via del Pino 38
ROMA - ELETT. PROFESS. F.lli DI FILIPPO
 via dei Frassini 12
ROVIGO - G.A. ELETTRONICA s.r.l.
 corso del Popolo n. 9
S. DANIELE DEL FRIULI - FONTANINI DINO
 via Umberto I, n. 3
SETTIMO TORINESE - AGGIO U.
 piazza S. Pietro 9
TARANTO - R.A.T.V.E.L.
 via Dante, 241
TORINO - IMER
 via Saluzzo 11
TRENTO - STAR'T di Valer
 via Gar
TRIESTE - RADIO TRIESTE
 via XX Settembre, 15
VERCELLI - ELETTRONICA di Bellomo
 via XX Settembre 17

La REAL KIT è presente anche in: FRANCIA - BELGIO - OLANDA - LUSSEMBURGO - SPAGNA - GERMANIA

HEATHKIT

**350 modelli
 in scatole
 di montaggio**

Mod. HN-31

**CARICO FITTIZIO PER
 TRASMETTITORE**

Dà un carico non
 induttivo di 50 Ω con un
 rapporto SWR inferiore
 a 1,5:1. Per il collaudo
 di trasmettitori senza
 emissione di segnale.



AGENTI GENERALI PER L'ITALIA

LARIR International s.p.a.

20129 MILANO - VIALE PREMUDA, 38/A
 TEL. 79.57.62 - 79.57.63 - 78.07.30

**ELETTRONICA
 RC
 BOLOGNA**

sede: 40137 bologna - via laura bassi, 28 - telef. 051/34.15.90

FREQUENZIMETRI DIGITALI

0 ÷ 70 MHz

FREQUENZA: 10 Hz a 70 MHz
 IMPEDENZA: 1 MΩ 10 pF
 SENSIBILITA': migliore di 10 mV fino a 20 MHz
 TRIGGER: automatico
 TENSIONE MAX INGRESSO: 100 V eff.
 PRECISIONE DI LETTURA: ± digit.
 TEMPO DI LETTURA: 12/10 sec. lett. Hz 99.900
 12/1000 sec. lett. KHz 99.999
 USCITA MARKER: 1 MHz 100 KHz
 ALIMENTAZIONE: 220 V AC 50/60 Hz
 PESO: kg. 2
 DIMENSIONI: cm. 5,5 x 24 x 24

0 ÷ 360 MHz

FREQUENZA: 10 Hz a 70 MHz
 IMPEDENZA: 1 MΩ 10 pF
 SENSIBILITA': migliore di 10 mV fino a 20 MHz
 TRIGGER: automatico
 TENSIONE MAX INGRESSO: 100 V eff.
 PRECISIONE DI LETTURA: ± digit.
 TEMPO DI LETTURA: 12/10 sec. lett. Hz 99.999
 12/1000 sec. lett. KHz 99.999
 USCITA MARKER: 1 MHz 100 KHz
 CARATTERISTICHE ENTRATA B
 FREQUENZA: 30 MHz 360 MHz
 SENSIBILITA': 50 mV + 250 MHz -
 - 250 mV + 360 MHz
 IMPEDENZA INGRESSO: 50Ω
 TENSIONE MAX INGRESSO: 50V eff.
 TRIGGER: automatico
 ALIMENTAZIONE: 220 V AC 50/60 Hz
 PESO: kg. 2
 DIMENSIONI: cm. 5,5 x 24 x 24

0 ÷ 700 MHz

FREQUENZA: 10 Hz a 70 MHz
 IMPEDENZA: 1 MΩ 10 pF
 SENSIBILITA': migliore di 10 mV fino a 20 MHz
 TRIGGER: automatico
 TENSIONE MAX INGRESSO: 100 V eff.
 PRECISIONE DI LETTURA: ± digit.
 TEMPO DI LETTURA: 12/10 sec. lett. Hz 99.999
 12/1000 sec. lett. KHz 99.999
 USCITA MARKER: 1 MHz 100 KHz
 CARATTERISTICHE ENTRATA B
 FREQUENZA: 60 MHz a 700 MHz
 SENSIBILITA': 50 mV a 200 MHz -
 - 250 mV a 500 MHz
 IMPEDENZA INGRESSO: 50Ω
 TENSIONE MAX INGRESSO: 50V eff.
 TRIGGER: automatico
 ALIMENTAZIONE: 220 V AC 50/60 Hz
 PESO: kg. 2
 DIMENSIONI: cm. 5,5 x 24 x 24

Prezzo L. 105.000

Prezzo L. 195.000

Prezzo L. 249.000

In ogni frequenzimetro dei tre tipi presentati può essere inserito un quarzo termostato onde renderlo alla pari di un frequenzimetro professionale.

ALIMENTATORE STABILIZZATO PROFESSIONALE ASP 13

ALIMENTAZIONE: 220 V AC ± 30% valore nominale rete
USCITA: 4,5 V 25 V regolabili
TEMPO DI STABILIZZAZIONE: 1/1000 sec.
CARICO CONTINUO: 3 A
 Autoprotetto contro i cortocircuiti e RF
 Completo di strumento voltamper

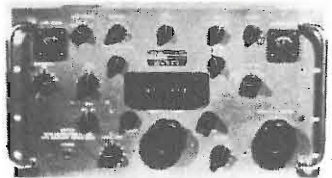
Prezzo L. 18.000

IMPORTANTE

**TUTTI I NOSTRI PRODOTTI
 SONO GARANTITI 1 ANNO
 DA DIFETTI DI COSTRUZIONE
 ED EVENTUALMENTE SOSTITUIBILI**

I PREZZI SI INTENDONO ESCLUSI DI IVA - SPEDIZIONI OVUNQUE - INTERPELLATECI !!!

CONTINUA LA VENDITA ANTENNA CB 27
come inserzione n. 10-1974 - Lire 6.500 + 1.500



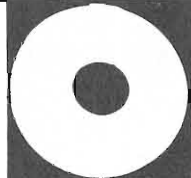
RADIO RECEIVER TYPE R.390/A

Super Ricevitore Professionale adatto per radioamatori e telescriventi. Sintonia continua digitale da 0,5 Mc. fino a 32 Mc. in n. 32 gamme d'onda. Per la sua selettività impiega originariamente filtri meccanici 4-impiega n. 26 valvole elettroniche compreso la sua regolatrice di tensione. La sua alimentazione è di 115 volt oppure 230 A.C. 48-62 periodi. VIENE VENDUTO FUNZIONANTE, PROVATO, COLLAUDATO e corredato del materiale: Altoparlante in cassetta metallica, Cuffia, Manuale tecnico TM.11-856-A. AL PREZZO DI LIRE **750.000** più LIRE 12.500 Imb. Porto, per spedizione aerea Lire 25.000.-

TUTTI I RICEVITORI VENGONO GARANTITI PER UN ANNO

RECEIVER RADIO R-392-URR DIGITAL

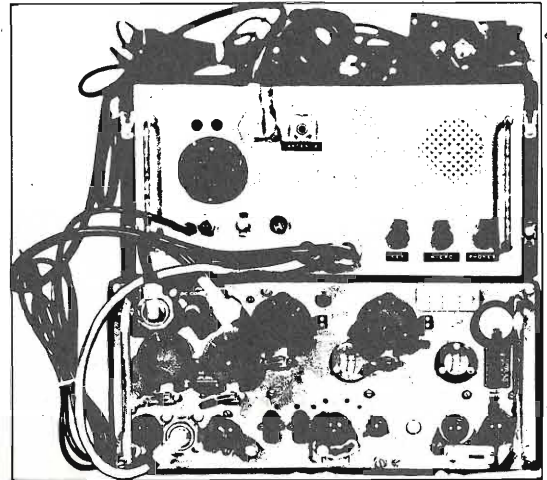
RADIO RICEVENTE DIGITALE COPRE LA FREQUENZA DA 0,5 Mc fino a 32,0 Mc COPERTURA CONTINUA SUDDIVISA IN N. 32 GAMME D'ONDA CON RICERCA VARIABILE CORREDATO DEL SUO CONNETTORE DI ALIMENTAZIONE: ALIMENTAZIONE C. 24 volt 5 ampere; FUNZIONANTE PROVATO E CORREDATO DI MANUALE TECNICO L. **400.000** + 6.000 i.p. ALIMENTATORE SEPARATO STABILIZZATO A 220 volt L. **65.000** + 6.000 i.p. ALTOPARLANTE ORIGINALE 600 OHMS più CONNETTORE L. **15.000** + 1.500 i.p. CUFFIA ORIGINALE 600 OHMS più JECK-CONN. L. **4.000** + 1.500 i.p. FUNZIONANTI PROVATI COLLAUDATI GARANTITI COME TUTTO IL MATERIALE VENDUTO. A parte possiamo fornire il Manuale tecnico originale, **TM 11-5820-334-35** composto di 172 pagine e corredato di schemi al solo prezzo di L. 40.000 + 1.500 s.s.



ROTTOLI DI CARTA NASTRO ADATTI PER REPERFORATORS:
ROTTOLI DI CARTA NASTRO ADATTI PER TRASMETTITORI AUTOMATIC.
ROTTOLI DI CARTA NASTRO ADATTI PER TELEX.
L. **2.000** PER OGNI ROTOLO + 1.500 i.p.



ROTTOLI DI CARTA BIANCA DA GR. 57 AL MO. PER TELESCRIVENTI E TELEX h 210 mm Ø 110 mm NUOVI IMBALLATI L. **3.500** + 1.500 imb. e porto PER PIU' ROTTOLI L'IMBALLO E PORTO SARA' PARZIALE.



TRANSCEIVER TYPE 19 MK-IV

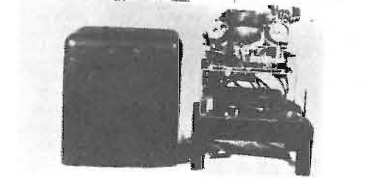
Portata: in Fonia 45 W - Portata in grafia: 90 W Ricetrasmittitore con copertura a frequenza continua da 1,6 Mc a 10 Mc Gamma suddivisa in due settori:

- 1° settore copertura di frequenza da 1,6 Mc a 4 Mc continui
- 2° settore copertura di frequenza da 4 Mc a 10 Mc continui

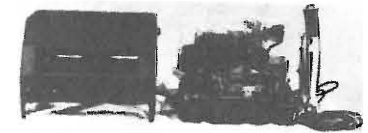
Si possono effettuare anche delle trasmissioni fisse a cristallo sempre compreso la copertura dell'apparato e dietro richiesta cristalli. Il suddetto può operare separatamente in grafia e fonia. Questo apparato viene fornito corredato del suo alimentatore a 220V funzionante, provato, collaudato, compreso i suoi accessori: microfono, tasto, cuffia, cavi di alimentazione, come pure di variometro per aggiustamento, antenna, dipoli, antenne verticali ecc. e della nostra antenna verticale da 6 metri più base.

LIRE 200.000 - più LIRE 20.000 - per imballo e porto (escluso antenna)

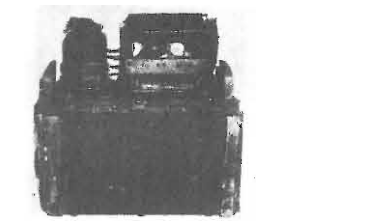
LISTINO GENERALE SURPLUS 1975 ILLUSTRATO Costo L. 2.500 - compreso la sua spedizione: MEZZO STAMPE RACCOMANDATA. Ogni listino contiene un buono premio da L. 10.000 da spendere nei materiali riportati nel listino stesso. Potete inviare la cifra di L. 2.500 in francobolli o versamento sul conto corrente postale n. 22-8238 - 57100 LIVORNO.



TYPING AND NONTYPING REPERFORATOR TELETYPE MODEL 14-FPR23 CORREDATO DI COVER TYPE C.168 ALIMENTAZIONE: 115 volt - A.C. da 25 a 60 cycle ADATTO PER TELESCRIVENTI TG 7-A-B TT 7 e similari L. **80.000** + 15.000 imb. e porto. FUNZIONANTE.



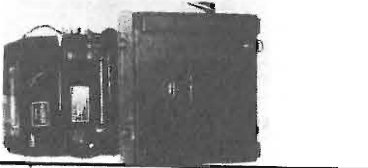
TYPING AND NONTYPING REPERFORATOR TELETYPE MODEL 14-FPR21 CORREDATO DI COVER ALIMENTAZIONE: 115 volt - A.C. da 25 a 60 cycle L. **100.000** + 15.000 imb. e porto.



TYPING REPERFORATORS TRANSMITTER DISTRIBUTOR TG 26A COMPOSTO DAI SEGUENTI MATERIALI CHE SOTTO VI ELENCHIAMO: BASE OF CARRYING CHEST: Base in legno massiccio per supporto degli strumenti FPR17 Typing reperforator unit con tastiera tipo TG 7 per scrivere il nastro. TRANSMITTER DISTRIBUTOR per trasmettere il nastro perforato abbinato TG 7. IL TUTTO RACCHIUSO IN CASSA DI LEGNO MASSICCIO ORIGINALE CHE SERVE PER LA SUA SPEDIZIONE IN TUTTE LE PARTI D'ITALIA. L. **225.000** + 25.000 imb. e porto.



RECEIVER TRANSMITTER DISTRIBUTOR AUTOMATIC MODEL 14 ALIMENTAZIONE 105-125 volt 25-60 cycle CORREDATO DI COFANO L. **70.000** + 15.000 imb. e porto



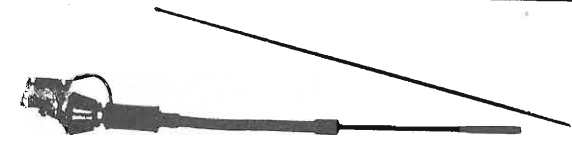
TELESCRIVENTI TIPO TG 7-B ORIGINALI PROVATE COLLAUDATE A FOGLIO CORREDATE DI ROTOLO DI CARTA E RACCHIUSE IN ORIGINALE COFANO DI LEGNO L. **150.000** + 12.500 imb. e porto SPEDIZIONE VIA AEREA L. 25.000 TUTTA ITALIA

POSSIAMO FORNIRE A PARTE DEMODULATORI - CHIEDERE OFFERTA

Antenna verticale americana per 27-Mc.

Antenna verticale americana originale a snodo orientabile caricata alla base, lunghezza tutta aperta cm. 84-composta di due elementi. E' di piccole dimensioni e può servire anche ai CB 27 si può installare su moto-auto-natanti e altre applicazioni. Originariamente opera da 40 a 48 Mc. perchè caricata alla base. Si può modificare per i 27 Mc. seguendo le istruzioni che sono fornite ad ogni acquirente.

Prezzo:
antenna nuova, imballata L. 2.500 cad.
antenna usata, ottime condizioni L. 1.500 cad.
connettori e base per detta L. 4.000 cad.
imballo e porto L. 1.500
per contrassegno diritti postali L. 300

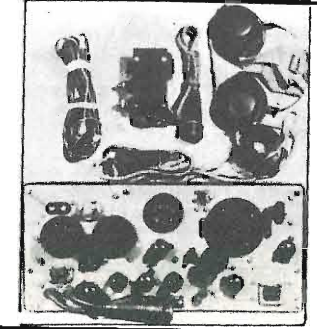


RADIO RICEVENTE E TRASMETTENTE TIPO WIRELESS-SET-62 - 19-MK-II - 35 W fonia 70 W grafia.

Frequenza ricoperta da 1,6 Mc fino a 10 Mc a sintonia continua variabile suddivisa in 2 scale commutabili: da 1,6 a 4 Mc e da 4 a 10 Mc. Corredato di n. 11 valvole termioniche così denominate:

- n. 5 valvole tipo ARP12
- n. 2 valvole tipo CV-65
- n. 1 valvola tipo ARP-35-EF50
- n. 1 valvola tipo ARH2-ECH35
- n. 1 valvola tipo VT-510
- n. 1 valvola tipo AR8

Corredato del suo alimentatore a 12 V D.C. incorporato e corredato di connettore spinotto cavo e morsetti a coccodrillo; Viene fornito dei seguenti accessori: tasto telegrafico, cordone e spina, cuffia microfono, cordone e spina; manuale tecnico ed istruzioni per l'uso e impiego; variometro di antenna per accordare qualsiasi tipo di antenna verticale, fili ecc. (compreso la nostra antenna da 6 metri). Viene venduto: **FUNZIONANTE PROVATO COLLAUDATO, AL PREZZO DI L. 70.000** più L. 10.000 per imballo e porto (escluso antenna).



ALTOPARLANTI PER ALTA FEDELTA' A SOSPENSIONE PNEUMATICA

Modello	Dimens. esterna mm	Profondità mm	Potenza di lavoro watt	Freq. di rison. Hz	Gamma utile Hz	Impedenza ohm	Prezzo
---------	--------------------	---------------	------------------------	--------------------	----------------	---------------	--------

ALTOPARLANTE PER NOTE ALTE (Tweeters)

1	88x88	32	10	—	1.500-18.000	4-8	2.800
2	88x88	32	10	—	2.000-17.000	4-8	3.600
3	130	53	10	—	2.000-16.000	4-8	3.900
4	130	50	20	—	2.000-18.000	4-8	4.200

ALTOPARLANTE PER NOTE MEDIE (Middle range)

5	130	65	10	—	600-18.000	4-8	5.200
---	-----	----	----	---	------------	-----	-------

ALTOPARLANTI PER NOTE BASSE (Woofers)

Da usarsi in cassa chiusa avente il volume specificato (V=volume in litri).

6	V=6	126	-65	8	45	50-10.000	4-8	6.000
7	V=15	170	-65	10	28	50-2.000	4-8	6.800
8	V=20	206	-81	15	26	40-2.000	4-8	8.600
9	V=40	265	-104	20	24	40-2.000	4-8	13.000
10	V=80	315	-132	25	18	35-1.500	4-8	26.000

ALTOPARLANTI A LARGA BANDA (Biconici)

11	170	63	4	90	80-15.000	4-8	2.300
12	205	77	4	70	60-15.000	4-8	2.700
13	265	97	12	65	60-14.000	4-8	7.000
14	315	132	15	50	40-16.000	4-8	17.500

ALTOPARLANTI PER STRUMENTI MUSICALI

15	205	80	15	90	80-7.000	4-8	4.500
16	265	97	30	65	60-8.000	4-8	7.000
17	265	107	60	100	80-4.000	4-8	15.500
18	315	115	30	65	60-7.000	4-8	14.000
19	315	135	40	65	60-6.000	4-8	22.000
20	385	160	80	50	40-6.000	4-8	55.000
21	456	170	80	25/50	20-4.000	4-8	66.000

FILTRO CROSSOVER 3 VIE 12 db

Frequenza d'incrocio 1.200/6.000 Hz. Potenza 40 W impedenza 4-8 ohm a richiesta. Dimensioni cm. 35 x 55 x 30. L. 10.500

KIT ALTOPARLANTI

Per cassa acustica da 40 W, 40 litri composto dai modelli 4-6-9 e crossover 3 vie, 12 db. L. 31.000

AMPLIFICATORE TELEFONICO

« ELECTRONIC DIE »

Realizzato con circuiti integrati, funziona con batteria da 9 volt, consente l'ascolto tramite la diffusione in altoparlante della voce dell'interlocutore in modo chiaro senza dover tenere in mano la cornetta telefonica. Il contenitore plastico ha forma cubica. Ottimo oggetto pubblicitario o promozionale, disponibile in tre colori: bianco, rosso, nero. L. 6.500

TRASFORMATORI DI ALIMENTAZIONE

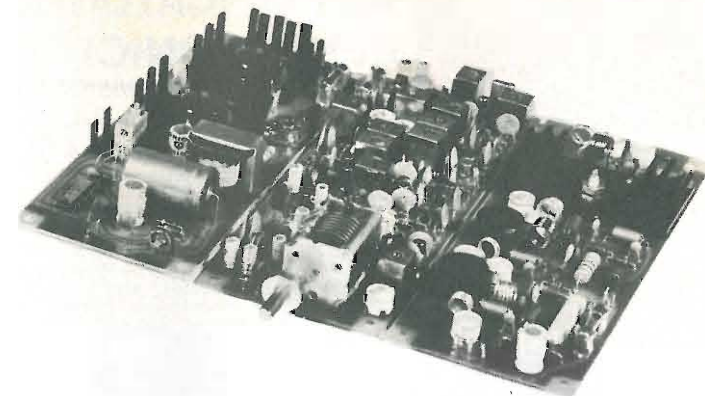
Tensioni e potenze a richiesta. Numero massimo di tensioni in entrata 3, in uscita 7. EVASIONE DELL'ORDINE ENTRO TRE GIORNI.

4 W L.	1.300
10 W L.	2.000
15 W L.	2.300
20 W L.	2.500
30 W L.	3.100
40 W L.	3.700
50 W L.	4.200
70 W L.	4.600
90 W L.	5.200
100 W L.	5.400
130 W L.	6.200
150 W L.	7.000
200 W L.	7.700
250 W L.	9.400
300 W L.	12.000
400 W L.	14.000
500 W L.	16.000

Tariffe postali in vigore dal 25 Marzo 1975. Pacchi postali fino a 1 Kg. L. 460 - da 1 a 3 Kg. L. 580 - da 3 a 5 Kg. L. 700 - da 5 a 10 Kg. L. 1.300 - da 10 a 15 Kg. L. 1.600 - da 15 a 20 Kg. L. 2.000 più diritto postale di contrassegno L. 300.

IMPORTANTE: I prezzi sono comprensivi di I.V.A.

PAGAMENTO: Contrassegno, spese di spedizione a carico dell'acquirente.



Spedizioni celeri
Pagamento a 1/2 contrassegno
Per pagamento anticipato
spese postali a nostro carico

Trasmettitore « Gamma 2 »

Gamma di frequenza: 144-146 MHz
Potenza in antenna: 7 W, AM-FM
Impedenza di uscita: 75 Ω
VFO:
Traslatore: a conversione 600 kHz

Il trasmettitore « Gamma 2 » si compone di tre moduli acquistabili separatamente:

Modulo G2/E

Eccitatore 70 mW di uscita, VFO a conversione, traslatore 600 kHz, oscillatore locale di estrema stabilità, regolazione sensibilità BF, regolazione clipper, presa per sintonia digitale, presa per inserire un oscillatore esterno da 21,4-23,4 MHz (che può essere l'oscillatore variabile di un ricevitore, per funzionamento in transceiver), presa BF per modulare in frequenza l'oscillatore aggiunto, presa BF da inserire sul modulatore AM (che esclude commutazioni di microfono), presa per microfono; la deviazione può variare da 1 kHz a 10 kHz regolando il clipper; semiconduttori impiegati, 15 transistor, 1 mosfet, 1 fet, 7 diodi; alimentazione 12-18 V; dimensioni 18 x 7.

L. 47.000

Modulo G2/P

Amplificatore di potenza, ingresso 70 mW, uscita 7 W in antenna, previsto per modulazione di ampiezza (potenza di modulazione 10 W), monta tre transistor di potenza di cui il finale in grado di sopportare fino a 25 W di dissipazione; alimentazione 12-18 V; impedenza di uscita 75 Ω; dimensioni 18 x 7.

L. 36.000

Modulo G2/M

Modulatore 10 W, adatto al G2/P, monta il circuito integrato TAA611, coppia complementare AC187/188 K, finali di potenza due 2N3055, impedenza di uscita 8+8 Ω, alimentazione 12-15 V; impedenza di ingresso 50 kΩ, sensibilità 20 mV; dimensioni 18 x 7.

L. 19.500

Trasformatore di modulazione 10 W, ingresso bifilare 8+8 Ω, uscita 12 Ω, adatto al G2/M, dimensioni 5 x 6 x 6.

L. 4.000

Acquistando il trasmettitore « Gamma 2 » completo dei tre moduli e del trasformatore di modulazione:

L. 98.000

I moduli si intendono in circuito stampato (vetronite), imballati e con istruzioni allegate.

ELT elettronica - via T. Romagnola, 92 - tel. 0571-49321 - 56020 S. ROMANO (Pisa)

ACEI -

già Ditta FACE

Segue pag. 1.389

v.le E. Martini 9 - tel. (02) 5392378
via Avezzana 1 - tel. (02) 5390335

20139 MILANO

SEMICONDUKTORI

Table listing various semiconductor components (diodes, transistors, thyristors) with their model numbers and prices in Lira.

ZENER

Table listing Zener diode components with their model numbers and prices.

TRIAC

Table listing Triac components with their model numbers and prices.

SCR

Table listing SCR components with their model numbers and prices.

DIAC

Table listing Diac components with their model numbers and prices.

INTEGRATI

Table listing integrated electronic components with their model numbers and prices.

segue INTEGRATI

Table listing integrated components (TIPO, LIRE) for the ZENER, TRIAC, and SCR sections.

Table listing integrated components (TIPO, LIRE) for the REGULATORS and DISPLAY & LED sections.

Table listing integrated components (TIPO, LIRE) for the REGULATORS and DISPLAY & LED sections.

La ditta



AMPLIFICATORI COMPONENTI ELETTRONICI INTEGRATI

v.le E. Martini 9 - tel. (02) 5392378
via Avezzana 1 - tel. (02) 5390335

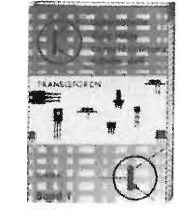
rende noto che le ordinazioni della zona di ROMA possono essere indirizzate anche a:
CENTRO ELETTRONICA BISCOSSI via Della Giuliana, 107 - tel. 319493
00195 ROMA

e per la SARDEGNA:
Ditta ANTONIO MULAS - via Giovanni XXIII - 09020 S. GIUSTA (Oristano) - tel. 0783-70711
oppure tel. 72870

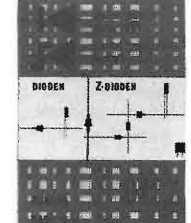
per la zona di GENOVA:
Ditta ECHO ELECTRONICS di Amore - via Brigata Liguria 78/r - 16122 GENOVA - tel. 010-593467
- si assicura lo stesso trattamento -



**ELETTROACUSTICA VENETA - 36016 THIENE (Vicenza)
via Firenze, 24-26 - tel. 0445-31904**



DTE 1
Tabelle dati per transistori europei
L. 2.300 IVA inclusa



DTE 2
Tabelle dati per diodi e zener europei
L. 2.300 IVA inclusa



DTA 3
Tabelle dati per transistori americani
L. 2.300 IVA inclusa



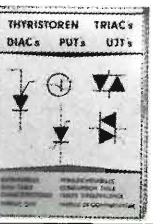
Tabelle dati per transistori giapponesi
L. 2.300 IVA inclusa



VVT 73
Tabelle equivalenza
L. 2.000 IVA inclusa



DVT 74
Tabelle equivalenza diodi e zener.
L. 2.000 IVA inclusa



THT 73
Tabelle equivalenza per S.C.R. - Triacs - Diac's
L. 2.000 IVA inclusa



DIG 1
528 pagine di tabelle equivalenze circuiti integrati
TTL-DTL-ECL-RTL-LSL-MOS
L. 5.800 IVA inclusa

CONDIZIONI DI PAGAMENTO: contrassegno con le spese postali maggiorate nell'importo dell'ordine. La presente pubblicazione annulla le precedenti. Trattiamo pure componenti elettronici - casse acustiche - altoparlanti e crossover. Chiedere listino includendo L. 150 in francobolli per spese di corrispondenza.
SI CONCEDE ESCLUSIVA A PROVINCE LIBERE

N.B.: Per le condizioni di pagamento e d'ordine vedi pag. 1.388

NEC CQ 110

- Classe di funzionamento:
AM - SSB - CW - FSK - RTTY
con tutti i filtri X-tal incorporati
- Stabilità di frequenza:
più di 100 Hz dopo 30 minuti
- Potenza d'entrata del trasmettitore:
300 W PEP
- Impedenza di antenna:
50 - 100 ohm
- Soppressione della portante:
50 dB
- Potenza d'uscita del trasmettitore:
tra 180 e 110 W secondo campo



DF 2 GX ©

- Contatore di frequenza semiconduttore digitale
- Alta sensibilità con ottima resistenza di transmodulazione
- Distribuzione di corrente:
tramite rete di alimentazione incorporata per
110-220-235 V AC oppure 13,5 V DC
tramite trasduttore incorporato
- Sensibilità del ricevitore:
0,3 μ V per 10 dB S/N
- Selettività:
2,4 kHz con 6 dB (SSB)
4,2 kHz con 60 dB (SSB)
0,5 kHz con 6 dB (CW)
1,1 kHz con 60 dB (CW)

CAMPIONE ELECTRONICA ELCA SAS

NEC CQ 110

**Nuova AGC a due stadi evita sicuramente
trasmodulazioni anche a 40 metri nel QRM serale.**

- Gamme di frequenza:
1,5 - 2,0 MHz - 160 metri
3,5 - 4,0 MHz - 80 metri
7,0 - 7,5 MHz - 40 metri
14,0 - 14,5 MHz - 20 metri
21,0 - 21,5 MHz - 15 metri
27,0 - 27,5 MHz - 11 metri
28,0 - 28,5 MHz - 10 metri A
28,5 - 29,0 MHz - 10 metri B
29,0 - 29,5 MHz - 10 metri C
29,5 - 30,0 MHz - 10 metri D
15,0 - 15,5 MHz - WWV/JJY solo ricezione
- Peso: 18 kg
- Dimensioni: 330 x 153 x 322 mm

DF 2 GX ©

Sviluppato dalla più importante società specializzata nella tecnica di microonde per i radioamatori: il CQ 110 di NEC. E' evidente che una delle maggiori imprese del mondo può costruire un apparecchio tecnicamente perfetto. Nel CQ 110 si utilizza il principio supersemplice 9 MHz, ottenendosi così una resistenza di transmodulazione molto alta. Un potente ventilatore raffredda l'apparecchio e contribuisce a una migliore conservazione dei pezzi. Un trasduttore DC permette anche un servizio mobile. Con l'apparecchio si consegna naturalmente anche un microfono come pure un manuale nelle lingue europee internazionali. E poi: siamo tanto convinti della qualità del CQ 110 che accordiamo mezz'anno di garanzia. Ci sembra: Questa è veramente un'offerta straordinaria! La consegna in Europa si farà dal mese di giugno di quest'anno.

Vendita esclusiva per l'Europa:

**CAMPIONE ELECTRONICA
ELCA SAS**

Corso Italia, 14
CH-6911 Campione
Tel.: 091 (Lugano) 689555
Telex: CH 73639 ELCA

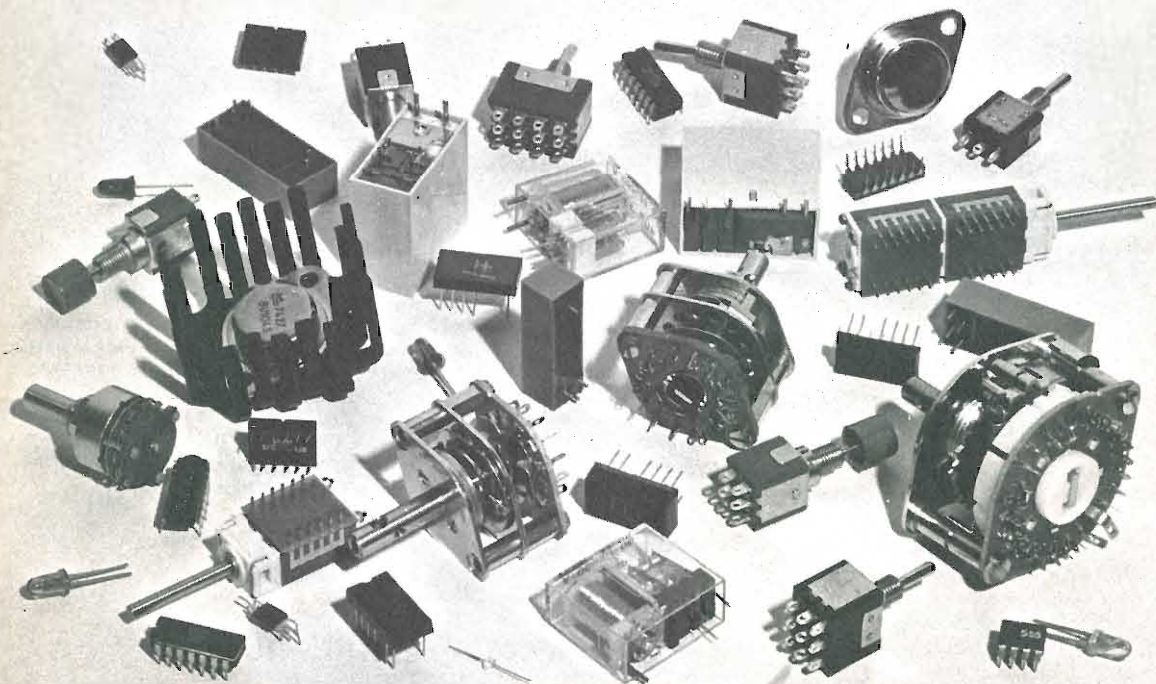
CAMPIONE ELECTRONICA ELCA SAS

elettromeccanica ricci

21040 cislago (va) via palestro 93 telefono (02) 9630511

componenti elettronici

interruttori miniatura - commutatori miniatura - relé reed - relé miniatura - integrati - semiconduttori - display singoli e multipli - led - led microminiatura - componenti vari - surplus.



a richiesta sarà inviato listino prezzi completo.

condizioni: pagamento contrassegno - ordine minimo £. 5.000 - spese di spedizione a carico del committente.

MN ELECTRONIC

mecanorma

NOVITA'



Mecanorma vi offre un mezzo semplice per realizzare voi stessi circuiti stampati con il procedimento a impressione diretta. Utilissimo per la preparazione di prototipi o di piccole serie.

A IMPRESSIONE DIRETTA SU RAME

Richiedeteci subito
il dépliant illustrativo gratis

Nome _____

Cognome _____

Via _____

Città _____

c.p. _____

Caratteristiche

Trasferimento mediante strofinamento
Rigorosa stabilità dimensionale
Assenza di sbordature dell'adesivo
Nettezza dei contorni
Sicurezza di resistenza all'abrasione
Facilità e precisione di posizionamento
Elevata resistenza alle soluzioni chimiche
Rapidità di asportazione ad
incisione avvenuta.

MN
mecanorma

MECANORMA div. dell'Artecnic s.p.a. - via Pessano, 11 - 20151 MILANO



P.O. BOX 227 - 13051 BIELLA - Telef. 015-34740
via Novara 2

esempio di stazione CB

B.B.E. apparecchiature
STUDIATE per ASSECONDARE
ogni ESIGENZA

INTERPELLATECI PER PREVENTIVI

STAZIONI AD USO
PROFESSIONALE E AMATORIALE
OM / CB / VF / CRI / MARITTIMI
ENTI PUBBLICI

Y27S-1



1000 W INPUT

Potenza SSB p.e.p.
Potenza in antenna AM
Input eccitazione
Alimentazione

800 W
420 W
5 W
220 V

OTTIMO PER OGNI DX

Con ROSmetro - Ventola 2 velocità automatica -
Preamplificatore di ricezione

Y27B



560 W INPUT

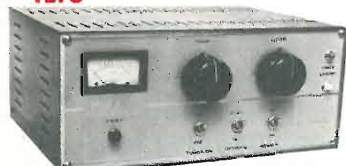
Potenza SSB p.e.p.
Potenza in antenna AM
Input eccitazione
Alimentazione

440 W
250 W
5 W
220 V

MEDIA POTENZA

Con ROSmetro - Ventola 2 velocità automatica -
Preamplificatore di ricezione

Y27C



800 W INPUT

Potenza SSB p.e.p.
Potenza in antenna AM
Input eccitazione
Alimentazione

600 W
320 W
5 W
220 V

ADATTO PER LUNGHI PERIODI DI TRASMISSIONE

Con ROSmetro - Ventola 2 velocità automatica -
Preamplificatore di ricezione

747-BBE



RICE-TRASMETTITORE
23 ch. 5 W - LIMITER
DELTA-TUNE

Y27 Mini



AUTOPROTETTO
ROS - Infinito
INVERSIONE POLARITA'

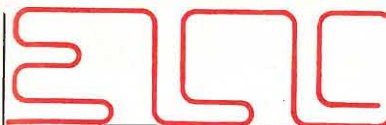
YP



5 A - 12 V
REGOLABILE
CON STRUMENTO



si forniscono stazioni complete
di nostra produzione o a richiesta di altre marche



ELCO ELETTRONICA

via Manin 26/B - 31015 CONEGLIANO
Tel. (0438) 34692

s.n.c.

KIT - Fotoincisione per la preparazione dei circuiti stampati L. 7.500
KIT - Per circuiti stampati composto da: 1 flacone inchiostro protettivo autosaldante 20 cc, 1 pennino da normografo, 1 portapenne, 1000 cc acido concentrato, 4 piastre ramate e istruzioni per l'uso L. 2.800
Cloruro ferrico concentrato 1 litro L. 900
Vernice protettiva autosaldante per la protezione dei circuiti stampati
Confezione da 100 gr L. 600, da 1000 gr L. 4.500
Vernice isolante per EAT - confezione da 100 cc L. 650
Inchiostro antiacido per circuiti stampati autosaldante - confezione da 20 cc L. 600
confezione da 50 cc L. 1.200
Resina epossidica per incapsulaggio dei componenti elettronici - confez. Kit 1/2 kg L. 5.500
confezione Kit 1 kg L. 10.000
Gomma siliconica vulcanizzabile a freddo per incapsulaggio dei componenti elettronici
Confezione da 100 gr L. 2.500
Grasso silicone per dissipazione termica
confezione da 100 gr L. 3.500
Disponiamo di una vasta gamma di prodotti chimici ed accessori per l'elettronica.
Prezzi speciali per quantitativi.
Eccezionale amplificatore a simmetria completamente complementare protetto contro i cortocircuiti d'uscita, 11 transistor. Tutti gli stadi sono direttamente accoppiati.

Dimensioni 205 x 70 mm. Potenza 80 W RMS su carico di 8 Ω - Potenza 60 W RMS su carico di 4 Ω. Alimentazione 45+45 Vcc. Tensione d'ingresso per la massima potenza 1,1 Veff. Impedenza d'ingresso 10 kΩ. Banda passante 20 ÷ 20.000 Hz ± 1 dB L. 23.500
A richiesta forniamo l'alimentatore e trasformatore.

SPECIALE FILTRI CROSSOVER LC 12 dB per ot-tava - Induttanza in aria - Impedenza d'ingresso e uscita 4/8 Ω a richiesta.
2 VIE - Frequenza d'incrocio 700 Hz. Massima potenza sinusoidale d'ingresso: 25 W L. 9.500 - 36 W L. 9.900 - 50 W L. 12.900 - 80 W L. 13.900 - 110 W L. 15.900.
3 VIE - Frequenza d'incrocio 700/4000 Hz. Massima potenza sinusoidale d'ingres.: 36 W L. 10.900 - 50 W L. 11.900 - 80 W L. 15.900 - 110 W L. 18.900 - 150 W L. 22.900.

Aumento del 5% per il controllo dei medi del tipo a tre posizioni.
4 VIE - Frequenza d'incrocio 450-1500-8000 Hz. Massima potenza sinusoidale d'ingresso: 50 W L. 21.900 - 80 W L. 23.900 - 110 W L. 28.900 - 150 W L. 32.900.

Aumento del 10% per il controllo dei medi bassi - dei medi alti del tipo a tre posizioni. Nei controlli è escluso il commutatore. Per altre potenze, altre frequenze d'incrocio o altra impedenza fare richieste.

ALTOPARLANTI PER STRUMENTI MUSICALI

Dimensioni Ø	Potenza W	Risonanza Hz	Frequenza Hz	PREZZO
200	15	90	80/7.000	L. 5.000
250	30	65	60/8.000	L. 8.000
250	60	100	80/4.000	L. 16.900
320	30	65	60/7.000	L. 15.800
320	40	65	60/6.000	L. 24.900
380	80	50	40/6.000	L. 59.000
450	80	25/50	20/4.000	L. 74.500

ALTOPARLANTI PER ALTA FEDELTA'

Impedenza 4/8 Ω a richiesta

TWEETERS

Dimensioni	Potenza W	Frequenza Hz	PREZZO
88 x 88	15	1.500/18.000	3.600
88 x 88	15	2.000/18.000	4.500
95 x 95	50	1.500/20.000	7.200

MIDDLE RANGE

Dimensioni Ø	Potenza W	Frequenza Hz	PREZZO
130	15	600/18.000	6.300
130	25	600/18.000	8.100

WOOFER

Dimens. Ø	Potenza W	Frequen. di rison. Hz	PREZZO
200	80 pneum./dop. cono	50	7.200
200	30 pneumatico	25	12.600
250	35 pneumatico	24	15.200
250	40 pneumatico	24	19.900
320	40 pneumatico	30	30.900
380	70 pneumatico	45	69.000

Per altri tipi di altoparlanti fare richiesta

STRUMENTI

Volmetri 30 V fs dim. 40 x 40 mm	L. 4.000
Volmetri 50 V fs dim. 40 x 40 mm	L. 4.200
Amperometro 2 A fs dim. 40 x 40 mm	L. 4.200
Amperometro 3 A fs dim. 40 x 40 mm	L. 4.200
Amperometro 5 A fs dim. 40 x 40 mm	L. 4.000
Microamper. 100 mA fs dim. 40 x 40 mm	L. 4.400
Microamper. 200 mA fs dim. 40 x 40 mm	L. 4.400
Microamper. 500 mA fs dim. 40 x 40 mm	L. 4.200
Microamper.: 500 mA fs dim. 58 x 58 mm	L. 5.000
Milliamper. 1 mA fs dim. 40 x 40 mm	L. 4.200

LED

Led rossi	L. 400	FND70	L. 2.400
Led verdi	L. 800	FND71	L. 2.400
Led gialli	L. 800	FND500	L. 3.400

TUBI PER OSCILLOSCOPI

2AP1	L. 10.530
3AP1	L. 12.100
5CP1	L. 14.350
7BP7A	L. 20.200
7VP1	L. 24.650

Per altro materiale vedere le Riviste precedenti.

ATTENZIONE

Al fine di evitare disquidi nell'evasione degli ordini si prega di scrivere in stampatello nome ed indirizzo del committente città e C.A.P. in calce all'ordine. Non si accettano ordinazioni inferiori a L. 4.000; escluse le spese di spedizione. Richiedere qualsiasi materiale elettronico, anche se non pubblicato nella presente pubblicazione.

CONDIZIONI DI PAGAMENTO:

a) Invia, anticipato a mezzo assegno circolare o vaglia postale dell'importo globale dell'ordine maggiorati delle spese postali di un minimo di L. 450 per C.S.V. e L. 600/700, per pacchi postali.
b) Contrassegno con le spese incluse nell'importo dell'ordine.

ELETTRONICA **CORNO**

20136 MILANO

Via C. di Lana, 8 - Tel. (02) 8.358.286



FABULOUS BRAND NEW KEYBOARDS WITH READ ONLY MEMORY

INPUT VOLTAGE-12V DC; POSITIVE LOGIC; TTL COMPATIBLE; ODD PARITY 8-BIT, TWO-KEY ROLLOVER; STROBED ROM. 4-BANK ALPHANUMERIC KEYBOARD WITH 77 KEY POSITIONS + SPACE BAR. IDEAL FOR COMMUNICATIONS EQUIPMENT. COMPLETE WITH ASSOCIATED INTEGRATED CIRCUITRY. POWER SUPPLY CONNECTIONS AND BINARY-CODED OUTPUTS ARE MADE TO A PRINTED CARD CONNECTOR AT REAR OF KEYBOARD.

L. 80.000

Modalità:

- Pagamento in contrassegno.
- Spese trasporto (tariffe postali) e imballo a carico del destinatario. (Non disponiamo di catalogo).

N.B. - Per comunicazioni telefoniche dirette o ritiri materiale, il magazzino è a disposizione dal martedì al venerdì dalle ore 14,30 alle 17,30 e sabato dalle 10 alle 12. Nelle altre ore risponderà la segretaria telefonica automatica.

SALONE INTERNAZIONALE DELLA MUSICA HIGH FIDELITY

**4-8
SETTEMBRE
1975**

non dimenticatelo !

sul n. 8
di
cq elettronica
è stato pubblicato
il tagliando
per l'ingresso gratuito

**FIERA DI MILANO
P.ZA 6 FEBBRAIO**

GRATIS

IL NUOVISSIMO CATALOGO MARCUCCI RICETRASMETTENTI 1975

82 pagine di supernovità • più di 500 articoli illustrati.
Richiedetelo presso il Vostro rivenditore di zona o compilate il tagliando e spedite incollato a una cartolina postale alla

MARCUCCI S.p.A. via F.lli Bronzetti, 37
20129 Milano tel. 7386051

Desidero ricevere gratis le 82 pagine di novità Marcucci 1975

Nome _____ Professione _____
Cognome _____ Altri hobbyes oltre all'elettronica: _____
Via _____
Città _____ C.A.P. _____

i migliori QSO **SOMMERKAMP**[®] hanno un nome

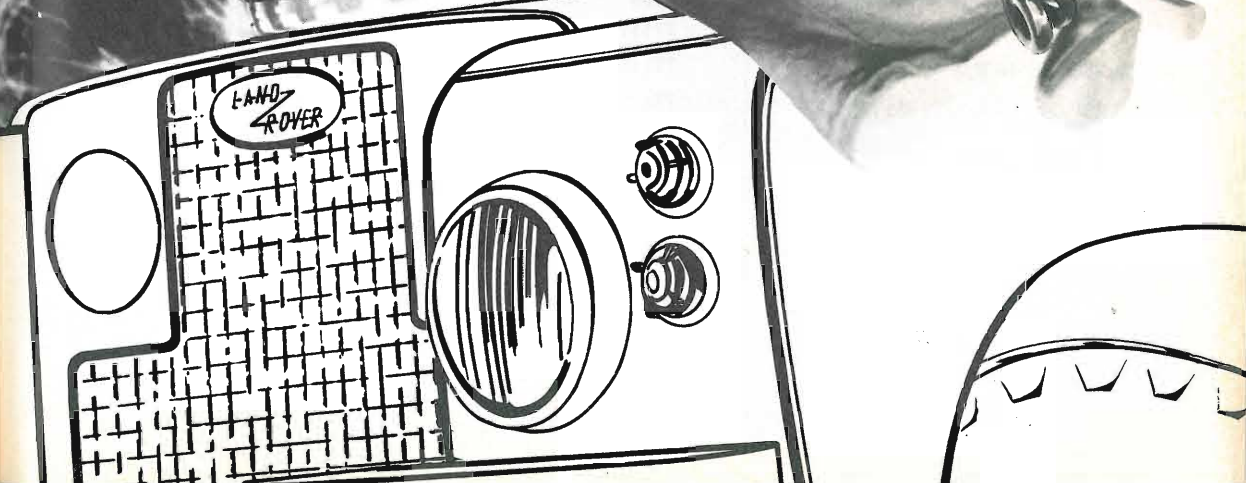
Ricetrasmittitore «Sommerkamp» Mod. TS-660S

60 canali equipaggiati di quarzi
Copre tutte le frequenze della banda cittadina
comprese fra i **26,965 MHz ÷ 27,295 MHz**
Segnale di chiamata Luminoso, controllo volume
e squelch
Regolatore Delta-Tune per una migliore ricezione
Limitatore automatico di rumore
Indicatore che rivela il segnale d'intensità in
ricezione, e funziona come indicatore d'uscita
in trasmissione
Potenza d'uscita: **10 W**
Impedenza antenna: **50 - 52 Ω**
Sensibilità: **1 µV per 100 mW d'uscita S/D 10 dB**
Sensibilità in ricezione: **25 dB**
Potenza uscita audio: **3 W**
Alimentazione: **12 V c.c.**
Dimensioni: **156 x 50 x 205**

ZR/5060-10

IN VENDITA PRESSO TUTTE LE SEDI

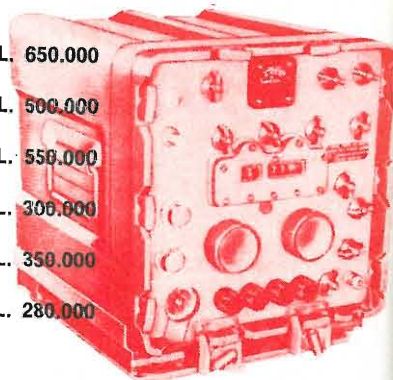
G.B.C.
italiana



RADIORICEVITORI A GAMMA CONTINUA GARANTITI PER SEI MESI



390-A/URR	Collins Motorola da 05 a 32 Mc con 4 filtri meccanici	L. 650.000
390/URR	Collins Motorola da 05 a 32 Mc con filtri a cristallo	L. 500.000
391/URR	Collins Motorola da 05 a 32 Mc con filtri a cristallo	L. 550.000
392/URR	Collins Motorola da 05 a 32 Mc versione veicolare alim. 24 V	L. 300.000
388/URR	Collins Motorola da 05 a 30 Mc con filtri a cristallo	L. 350.000
SP600 JL	HAMMARLUND da 100 Kcs a 15 Mc	L. 280.000



APPARECCHIATURE PER SSB

CV157	Collins SSB Converter ingresso MF da 450 a 600 Kcs	L. 300.000
SBC-1	TMC SSB Converter ingr/ MF 455 Kcs	L. 300.000
SBC-10	TMC SSB Generator canalizzato tutto a transistor	L. 500.000
	RICETRASMETTITORE ARGONAUT TRITON III 200 W PEP	L. 540.000

ANTENNE HY-GAIN E ROTORI

18 AVT	10-80 mt
14 AVQ	10-40 mt
HY-QUAD	8 bande
TH 3MK3	10-15-20 mt
TH 6DXX	10-15-20 mt 2 kW PEP
Antenne HF e VHF - Antenna Specialist	
Rotatori di antenna	
CHANEL MASTER mod. 9502	
CDE-CD44	
CDE-HAM II	

GENERATORI DI SEGNALI RF

ANURM 25D	da 10 Kcs a 54 Mc
ANURM 25F	da 10 Kcs a 54 Mc
TS413 B	da 74 Kcs a 40 Mc
TS497 B	da 2 a 400 Mc
608-D HP	da 2 a 418 Mc

TELESCRIVENTI KLAYNSMITH

TT98	Alimentazione universale RX-TX	L. 250.000
TT98	Alimentazione universale solo RX	L. 200.000
TT117	Alimentazione 115 V RX-TX	L. 220.000
TT117	Alimentazione 115 V solo RX	L. 180.000
TT4	Alimentazione 115 V RX-TX	L. 180.000
TT76	Perforatore scrivente doppio passo con tastiera e trasmettitore automatico incorporato - alimentazione 220 V	L. 250.000
TT176	Perforatore scrivente doppio passo a cofanetto con trasmettitore automatico incorporato - alimentazione universale	L. 180.000
TT107	Perforatore scrivente doppio passo a cofanetto - alimentazione 115 V	L. 120.000

RADIOTELEFONI VHF MARINI

RAY JEFFERSON mod. Triton: 156-162 MHz 12 canali 54 W INPUT
RAY JEFFERSON mod. Atlas: 156-162 MHz 9 canali 54 W INPUT
CARVILL mod. Marine 10: 156-162 MHz 10 W - 10 canali
STANDARD mod. SRC 808: VHF 156 MHz



RADIOTELEFONI GAMMA 27 MARINI

RAY JEFFERSON mod. 905 Wikh Delta Tune
RAY JEFFERSON mod. 605

ECOSCANDAGLIO mod. 5003 scrivente

Portata 100 mt di profondità



Tutti i modelli coprono le gamme AM - BROADCASTING - Bande radiofari - Frequenze marine 100/174 MHz AM-FM - Frequenze marina HF.

SONO DISPONIBILI

RADIOGONIOMETRI: Automatico mod. « RDF 6150 »
 Manuale mod. « RDF 6140 »

Radioac



Ricetrasmittitore SBE; stazione base 23 canali quarzati, 5 Watt - mobile in legno.

I professionisti dell'etere



Rappresentati in tutta Italia da

electronic shop center

via Marcona, 49 - 20129, Milano - Ufficio vendite: tel. 54.65.000

Caro OM,

se vuoi dare il tuo contributo a questa iniziativa leggi attentamente ciò che segue: « IL RADIOAMATORE ITALIANO » è una raccolta di stazioni attive ma non è un elenco o un Call Book italiano, è qualcosa di più.
« IL RADIOAMATORE ITALIANO », un volume che va oltre il semplice elenco di nomi essendo stato concepito per riportare, oltre al nominativo, anche la foto dell'operatore, della stazione o della QSL nonché tutte quelle notizie che possono contribuire a conoscerci meglio. Oltre all'elenco dei nominativi l'opera contiene: elenco paesi DXCC - WAC - WAZ - WAS - Notizie DX - QSL Bureau di tutto il mondo - QSL Managers - Antenne - Apparat - Strumentazione: HF, VHF, UHF, SSTV, SATELLITI, SWL, diplomi vari. Il primo numero uscirà a fine anno.
Se l'iniziativa è di tuo gradimento riempi la scheda e prenota l'Opera.
Una forte stretta di mano... e tanti 73' da ... 16VDB (Romano).

staccare e inviare in busta chiusa

SI PREGA DI SCRIVERE IN STAMPATELLO

SCHEDA PERSONALE

Nominativo
 Cognome e nome
 Profess. (facoltativa) Età (facolt.)
 Via n.
 CAP Città
 P. O. Box Tel.

Attaccare qui la foto
 possibilmente
 in bianco e nero

Licenza n.
 Rilasciata il
 Condizioni di lavoro
 TX
 RX
 Ant.

Principali diplomi conseguiti

Eventuali attività di ricerche

Al Sig.

ROMANO DI BERNARDO
 « IL RADIOAMATORE
 ITALIANO »
 Via Firenze n. 169/3

65100 PESCARA

Vi autorizzo la pubblicazione della mia scheda personale con la foto su « IL RADIOAMATORE ITALIANO » pregandovi di inviarmi contrassegno n. copie del volume al prezzo di Lire 2.500 cadauno per un im-

porto di L. più spese postali.

Data

FIRMA

N. B. - Se conosci nuovi OM o IW ti prego di inviarmi il loro indirizzo per poterli interpellare. GRAZIE.
 Si accettano corrispondenti dalle regioni ancora scoperte e proposte di collaborazione.



PHILIPS

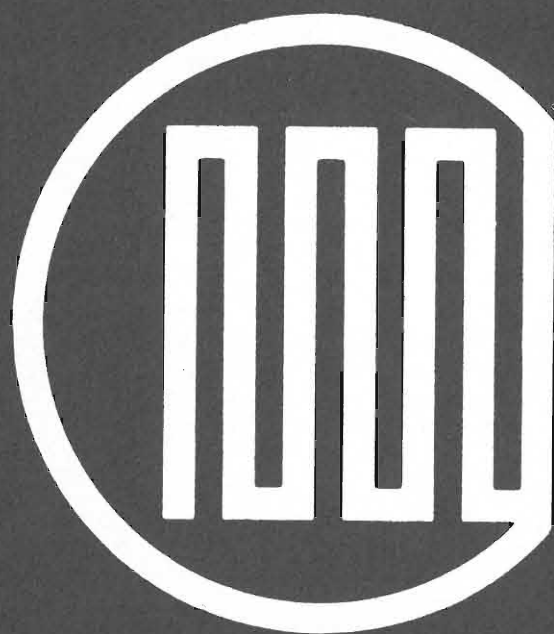
PHILIPS CREDE NELLE RICERCHE DI CHI HA MENO DI 21 ANNI

Se hai un'età tra i 12 e i 21 anni,
 e ti interessano le ricerche, Philips
 crede in te.

E indice un concorso europeo per
 premiare i giovani della tua età
 che abbiano compiuto lavori di ricerca
 e innovazione in qualsiasi campo scientifico e tecnico. Sono in palio
 ricchi premi, borse di studio, viaggi, strumenti scientifici. Se desideri
 partecipare, chiedi il regolamento completo e la scheda di adesione a:

PHILIPS S.p.A.
 Segreteria del Concorso Europeo per
 Giovani Inventori e Ricercatori
 P.za IV Novembre, 3 - 20124 Milano
 Tel. 6994 (int. 359/453)

8° concorso europeo
 PHILIPS per
 giovani inventori
 e ricercatori 1975/76



CTC

THE POWER IN RF POWER

Communications Transistor Corporation
An affiliate of Varian Ass.
VARIAN S.P.A. - LEINI - TORINO

Authorized Distributors:
STE - v. Maniago 15 - MILANO
SFERA - v. Asmara 72 - ROMA



Ricetrasmittitore VHF-FM standard-Nov.El. SR-C140

CARATTERISTICHE

Frequenza 144-146 Mhz. -
N. Canali 12 + 1 canale memoria (di cui 3 quarzati)
Alimentazione 13,8 V.C.C.
Consumo - Ricezione 0,6 A
- Standby 0,2 A. - Trasmissione 2,5 A.

TRASMETTITORE

(Unico quarzo per trasmissione e ricezione
con sgancio per ripetitori a 600 Khz.)
Potenza uscita 10 Watt - Modulazione FM (Dev.
 ± 5 KHz) - Spurie e armoniche - Almeno 50 dB.
sotto la portante.

RICEVITORE

Sensibilità 0,4 μ V. a 20 dB. segnale disturbo
Sensibilità dello squelch 0,2 μ V.
Selettività Attenuazione del canale adiacente,
almeno 60 dB.
Circuito Supereterodina a doppia conversione.

NOVEL.

Radiotelecomunicazioni

Ricetrasmittitore VHF-FM Standard-Nov.El. SR-C146A

CARATTERISTICHE

Frequenza 144-146 Mhz. - N. Canali 5 (di cui 2 quarzati)
Alimentazione 12,5 V.C.C. Consumo - Ricezione 100 mA.
- Standby 13 mA. - Trasmissione 450 mA.

TRASMETTITORE

Potenza uscita 2 Watt - Modulazione FM (dev. ± 5 KHz)
Fattore moltiplicazione dei quarzi 12 volte
Spurie e armoniche Almeno 50 dB. sotto la portante.

RICEVITORE

Sensibilità 0,4 μ V. a 20 dB. segnale disturbo.
Sensibilità dello squelch 0,2 μ V.
Selettività Attenuazione del canale adiacente, almeno 60 dB.
Circuito Supereterodina a doppia conversione.

NOVEL.S.R.L.
Via Cuneo, 3 - 20149 Milano
Telefono 433817 - 4981022



«Devo rassegnarmi a non possedere mai i vostri apparecchi di cui ammiro le caratteristiche. Ma li preparate solamente in scatola di montaggio e io non ho tempo di costruirli».

Questa è la sintesi di molte segnalazioni giunte alla Amtron con tutti i mezzi, persino il telegramma.

E allora, usando la vecchia saggezza di Maometto e della montagna, la Amtron ha deciso di affidare al commercio un certo numero dei suoi apparecchi in versione montata e collaudata.

Questa pagina illustra alcuni fra i più interessanti strumenti.

La Amtron è lieta di pubblicare questa risposta ai molti estimatori dei suoi prodotti, e li ringrazia cordialmente.



annuncia

i "Pronti all'uso per i senza tempo,"

IN VENDITA PRESSO
TUTTE LE SEDI

G.B.C.
italiana

E I MIGLIORI RIVENDITORI

UK 422W

Multimetro digitale

Strumento adatto alla misura di tensioni e correnti sia in c.c. che in c.a. e alla misura delle resistenze con un'altissima precisione.

Gamme di misura:

tensioni 1 V, 10 V, 100 V, 1.000 V
correnti 1 mA, 10 mA, 100 mA, 1 A
resistenze 1 k Ω , 10 k Ω , 100 k Ω , 1 M Ω
Alimentazione dalla rete:
115 - 220 - 250 Vc.a. - 50/60 Hz



UK 580W



UK 422W



UK 675W

UK 580W

Ponte di misura R-L-C

Permette di eseguire misure molto precise di resistenze, induttanze e condensatori. Il sistema di misura a ponte, diverso per ogni grandezza misurata, garantisce la massima precisione.

Alimentazione:

125 - 220 - 250 Vc.a. - 50/60 Hz

Grandezze misurate: R-L-C

Portate di misura: sette decadi

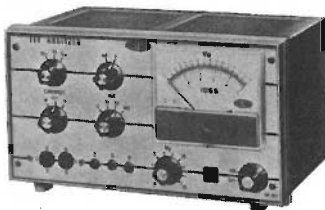
per ciascuna grandezza e centesimi

Precisione: 1%

Misura delle resistenze: da 0 a 1 M Ω

Misura delle induttanze: da 0 a 100 H

Misura delle capacità: da 0 a 100 μ F



UK 807W



UK 692W

UK 807W

Analizzatore per transistori ad effetto di campo

Apparecchio di misura basato su un nuovo concetto circuitale che permette di misurare rapidamente e con grande precisione i parametri caratteristici dei transistori ad effetto di campo (FET) a giunzione.

Alimentaz.: 155-220-250 Vc.a. - 50/60 Hz

Misure sui transistori (FET)

a canale N o P: $I_{\text{DSS}} - V_p - G_m$

Corrente di drain I_{DSS} : da 0 a 100 mA

Tensione di pinch-off: da 0 a 15 V

UK 675W

Alimentatore stabilizzato

12,6 Vc.c. - 7 ÷ 10 A

Alimentatore dalle caratteristiche veramente professionali per apparecchiature di telecomunicazione o diletantistiche funzionanti a 12 V.

Alimentazione:

117/125 - 220/240 Vc.a. - 50/60 Hz

Tensione di uscita: 12 ÷ 12,6 V

regolabili entro un piccolo campo

Corrente di carico nominale: 7 A

Sovraccarico ammesso: 10 A

per tempi non superiori ai 15 minuti

UK 692W

Alimentatore stabilizzato

5,5 ÷ 16 Vc.c. - 2 A

Ottimo alimentatore stabilizzato e regolabile, protetto elettronicamente contro i cortocircuiti accidentali.

Alimentazione:

117/125 - 220/240 Vc.a. - 50/60 Hz

Tensione stabilizzata di uscita:

regolabile da 5,5 a 16 V

Carico massimo: 2 A